

FIG. 1

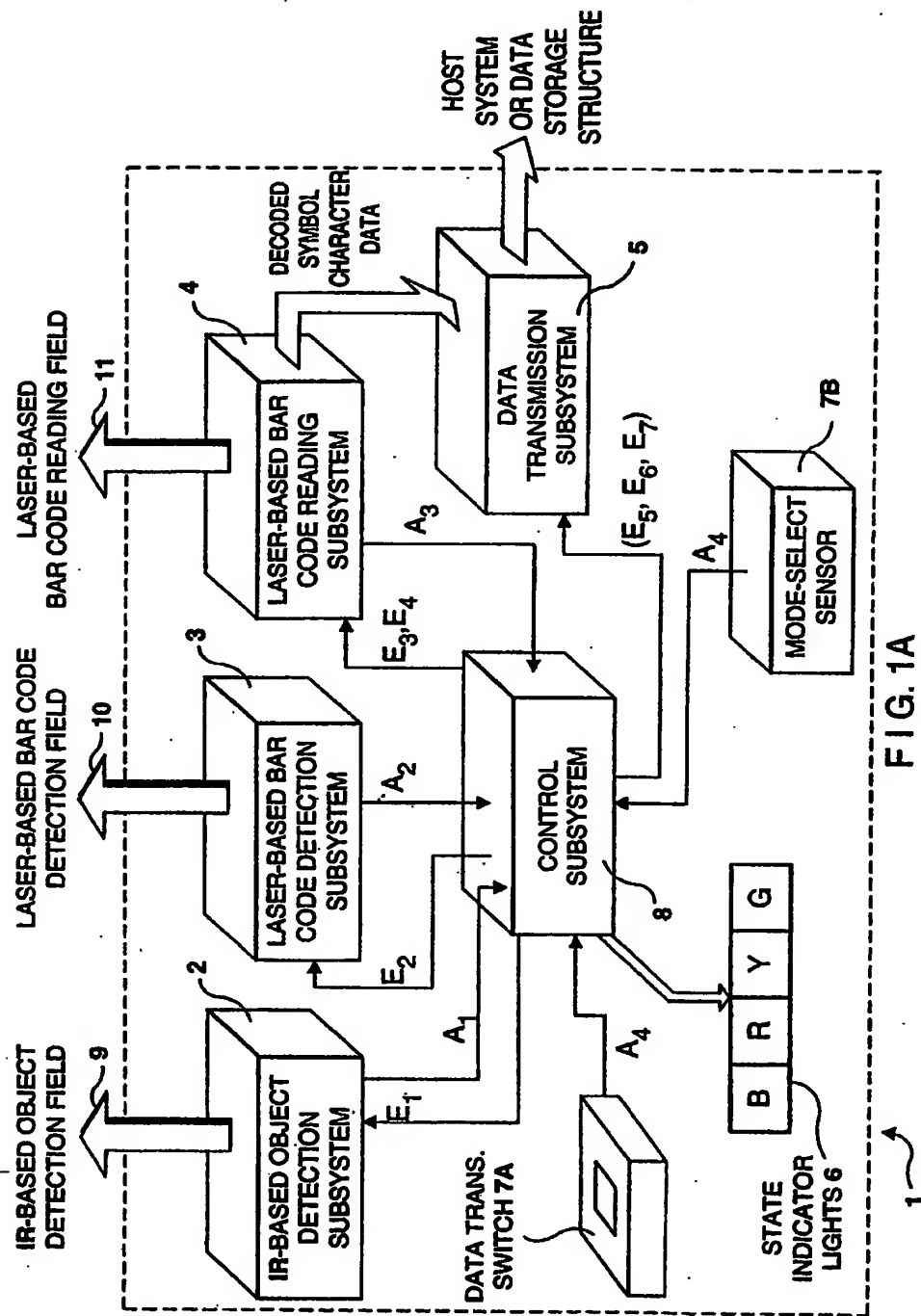
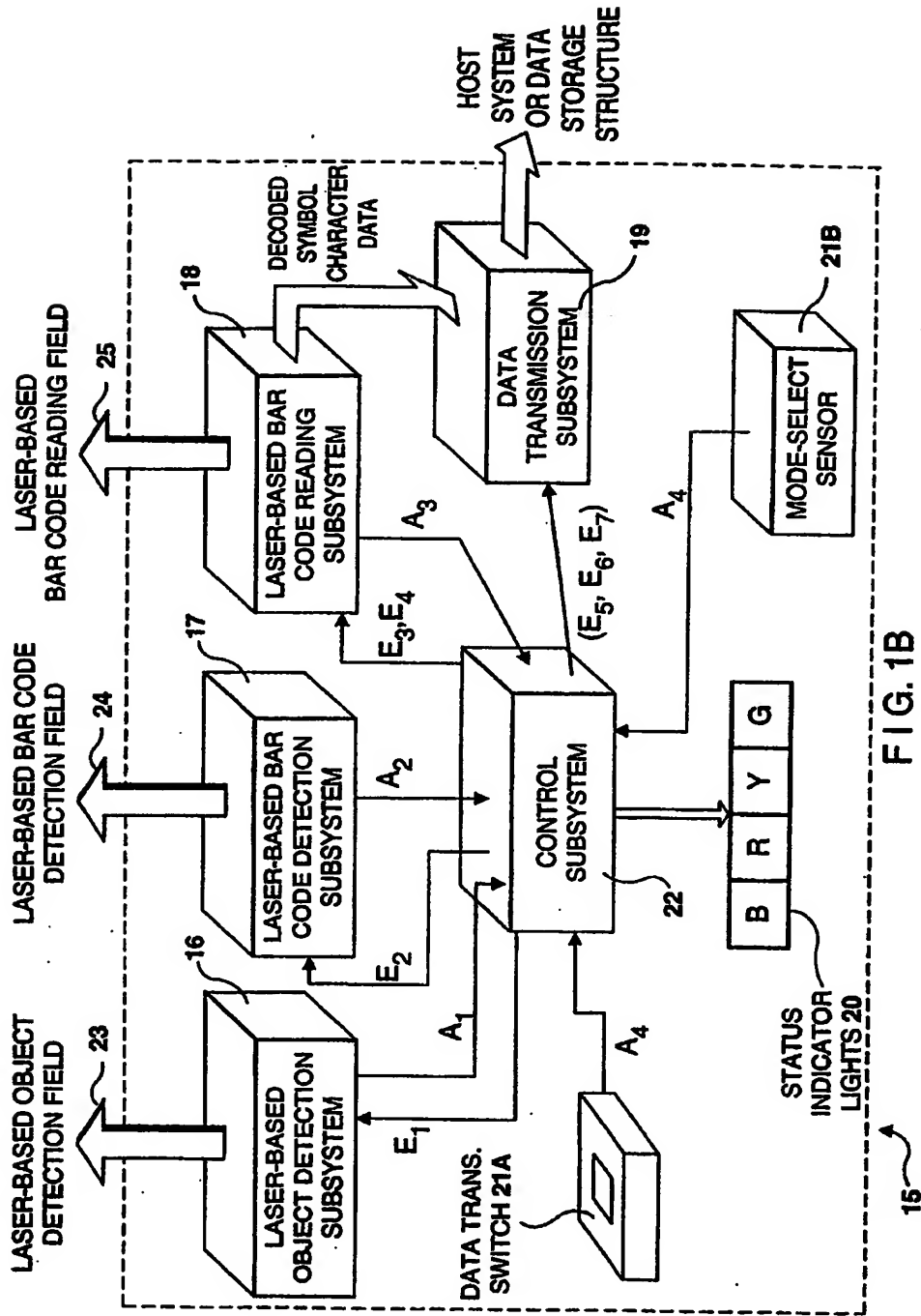


FIG. 1A



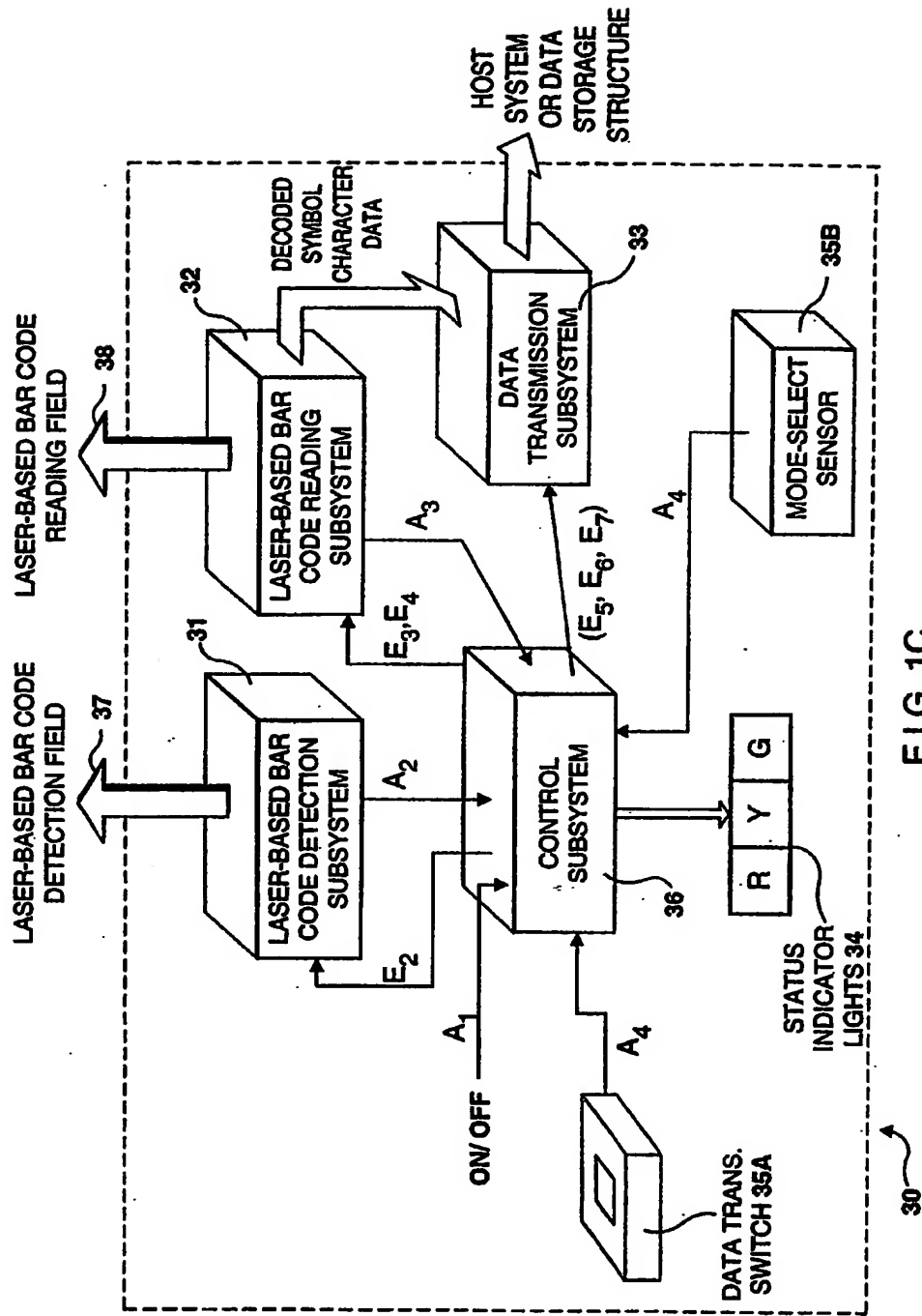
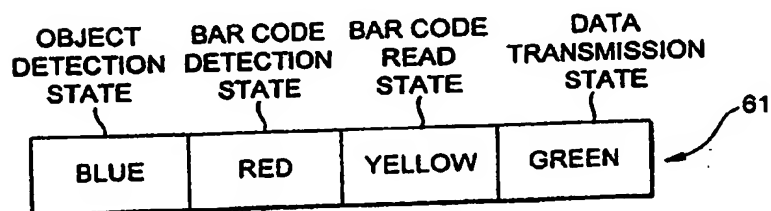
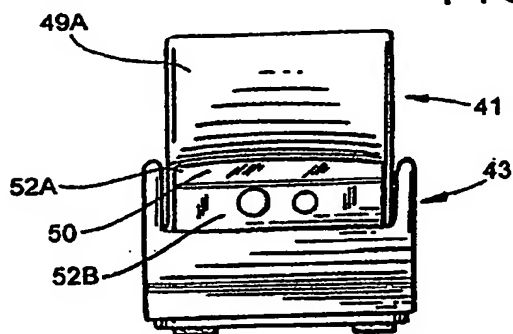
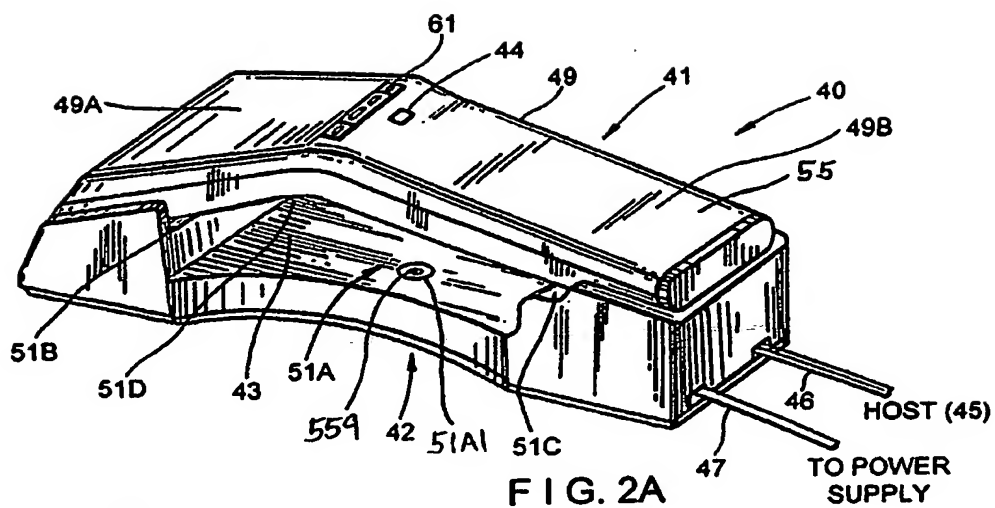
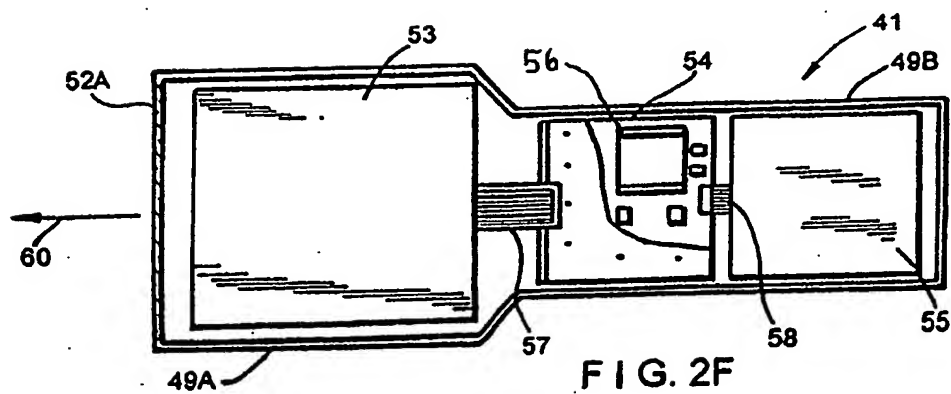
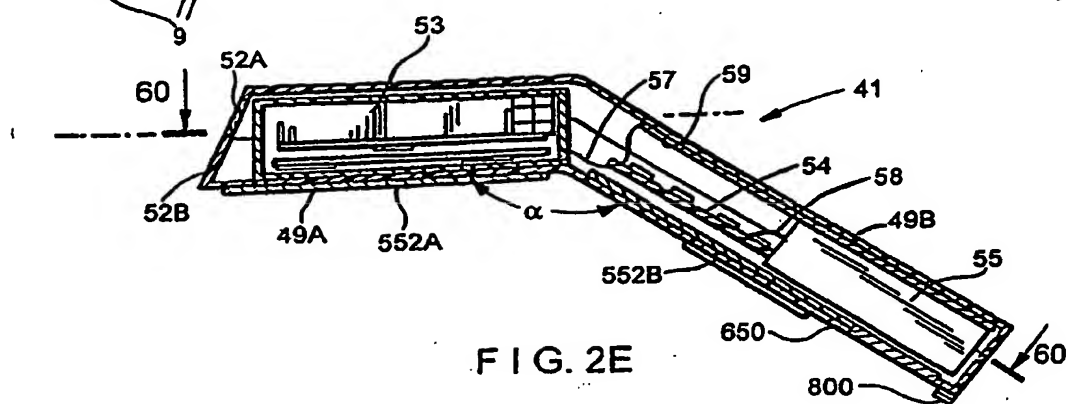
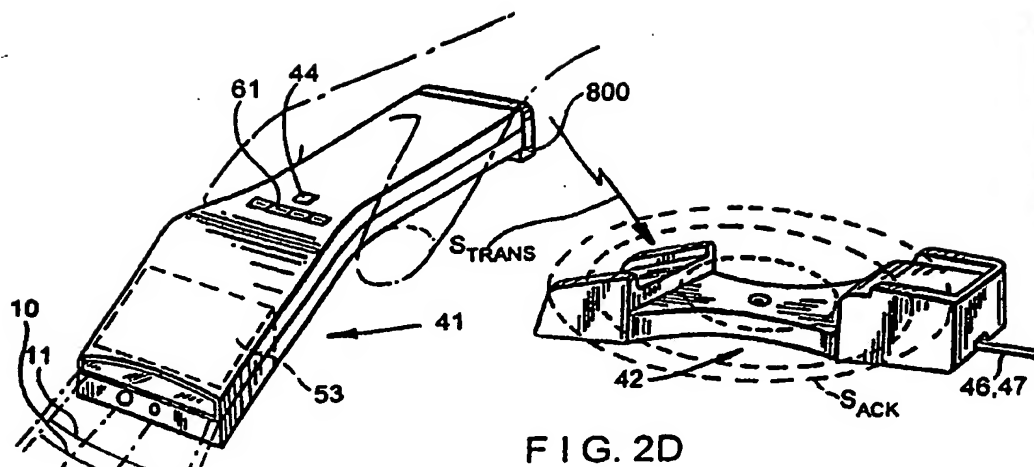


FIG. 1C





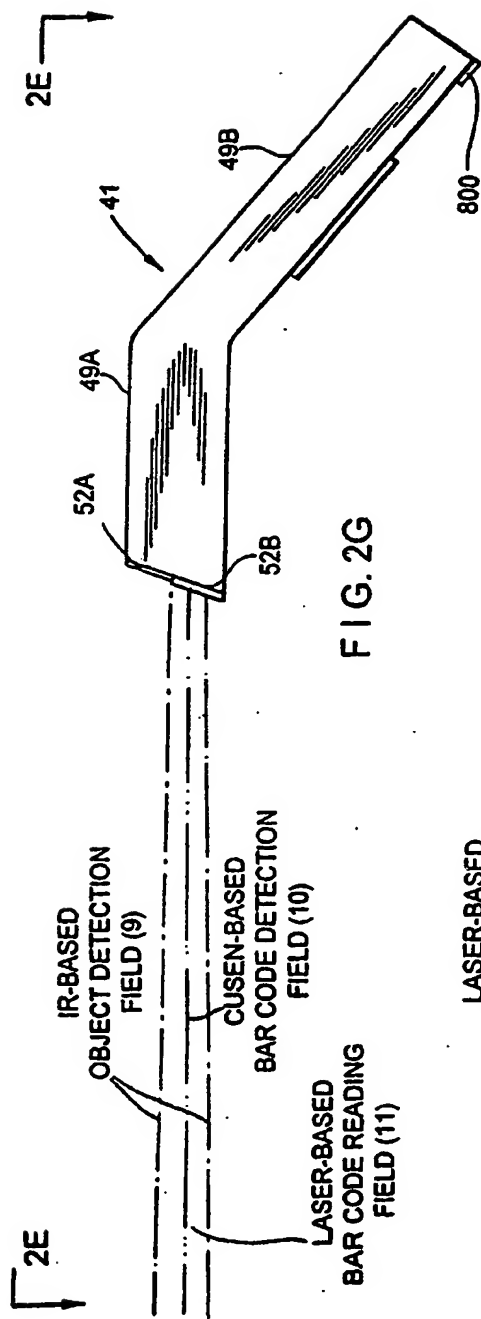


FIG. 2G

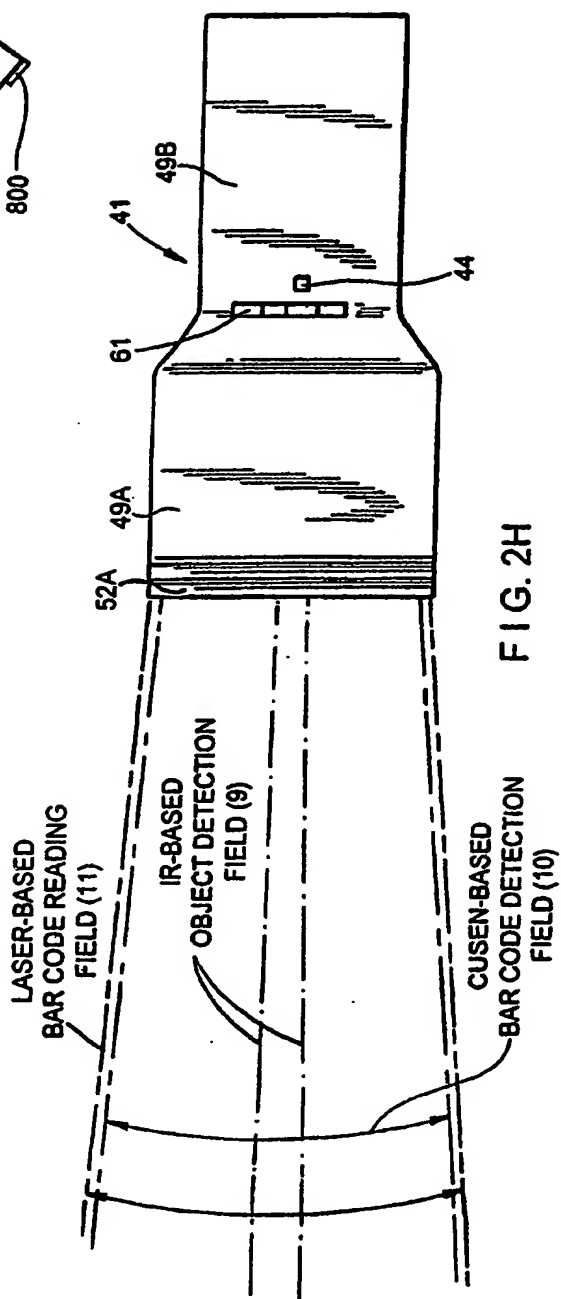
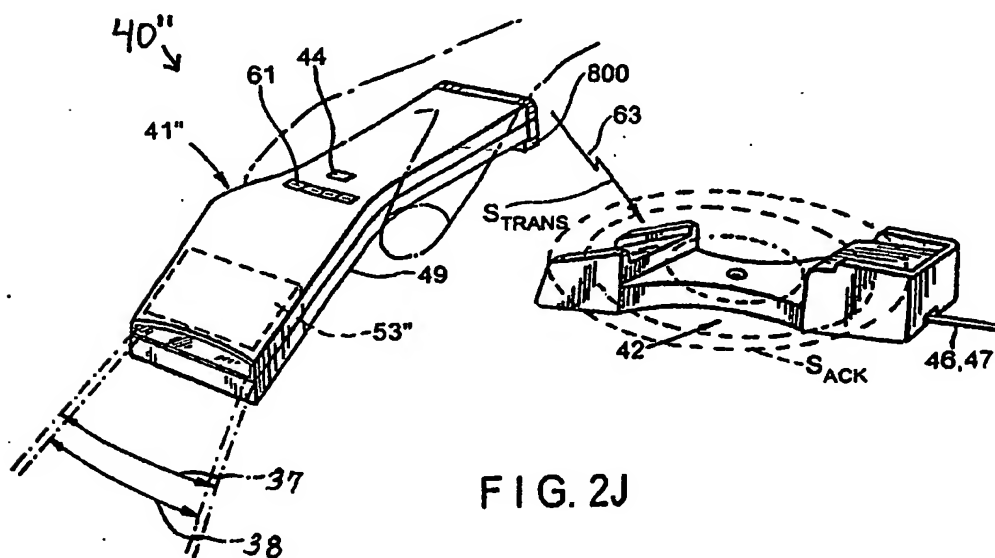
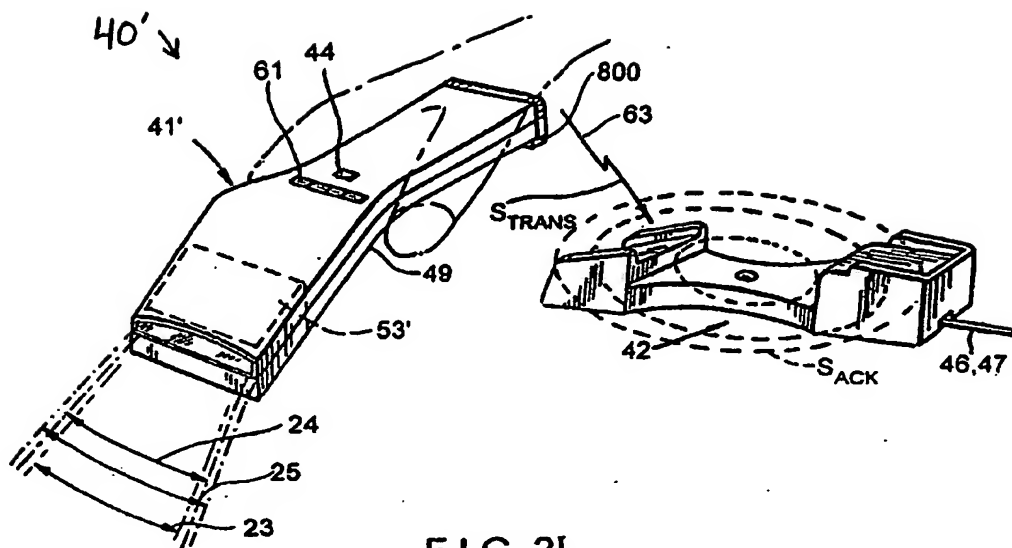
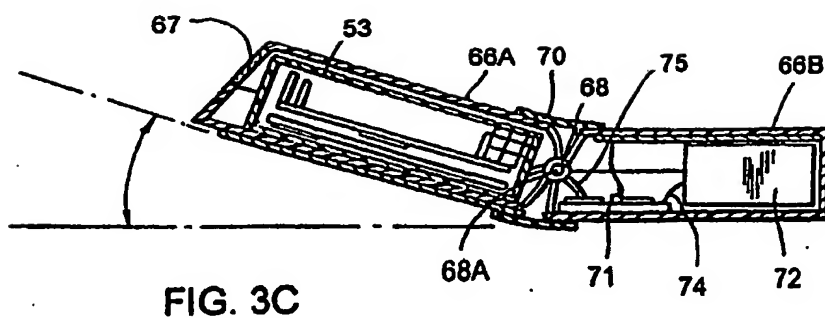
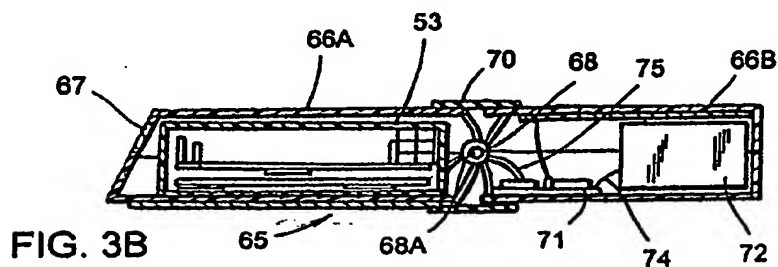
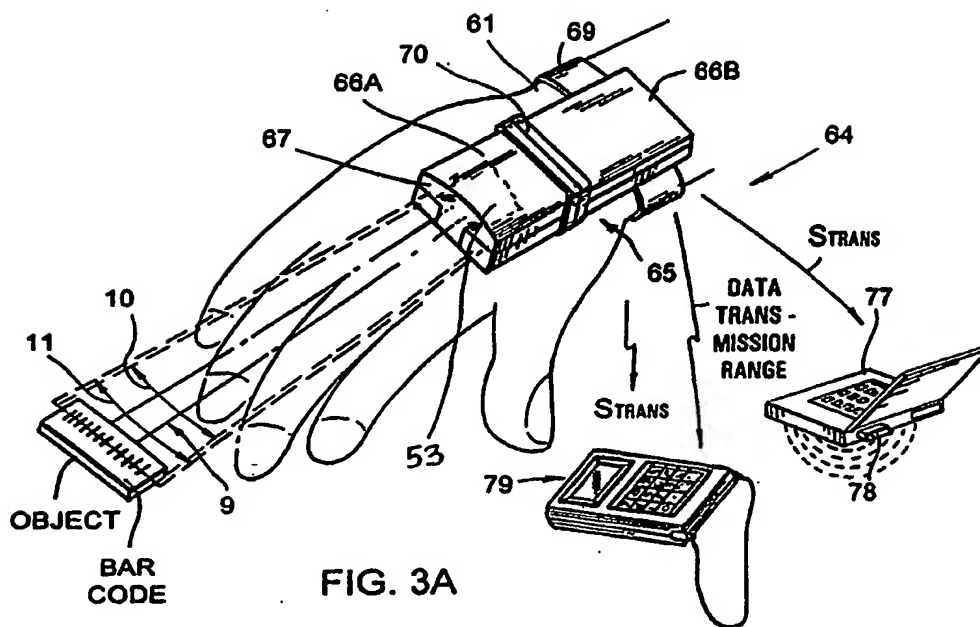


FIG. 2H







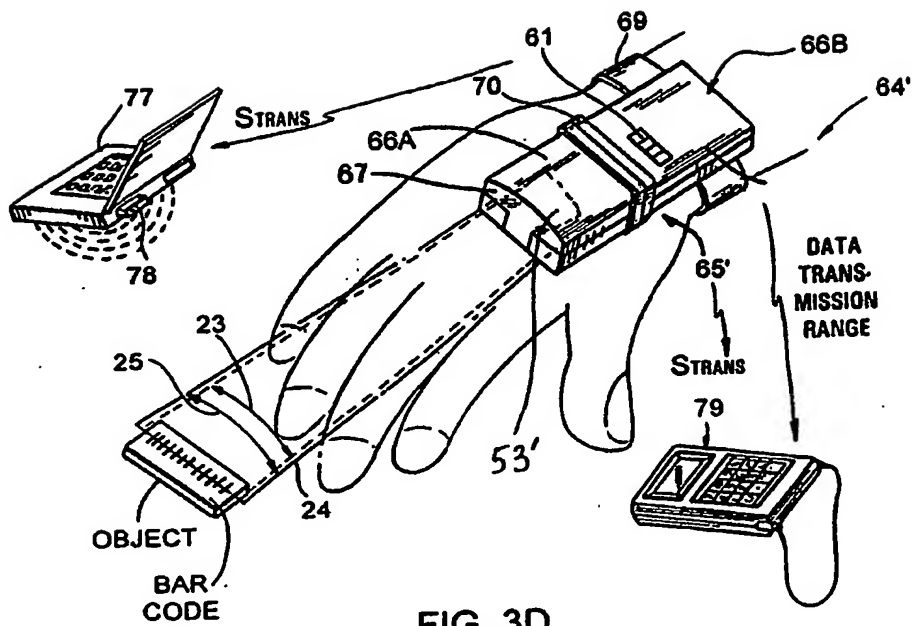


FIG. 3D

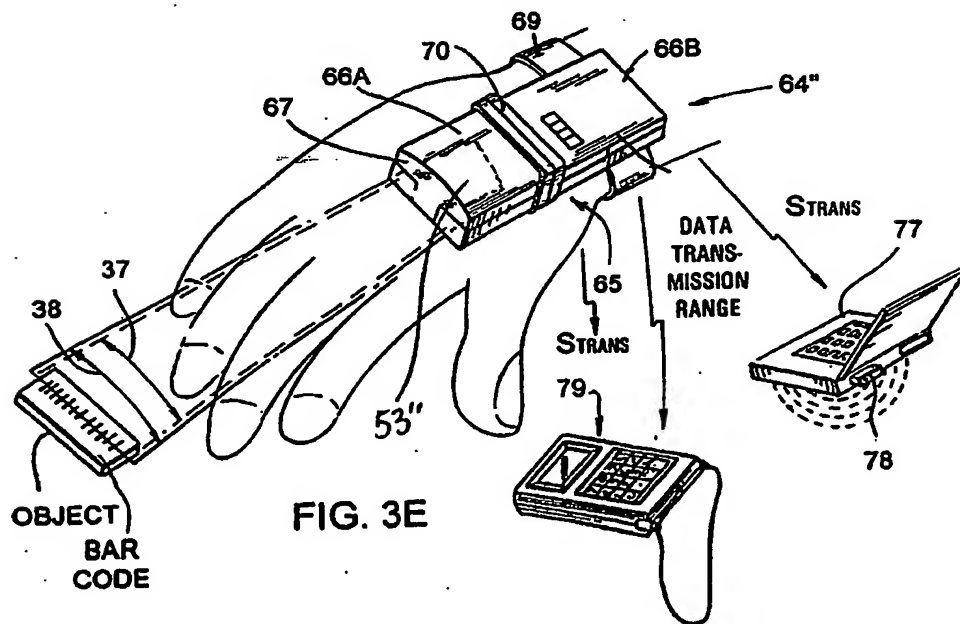
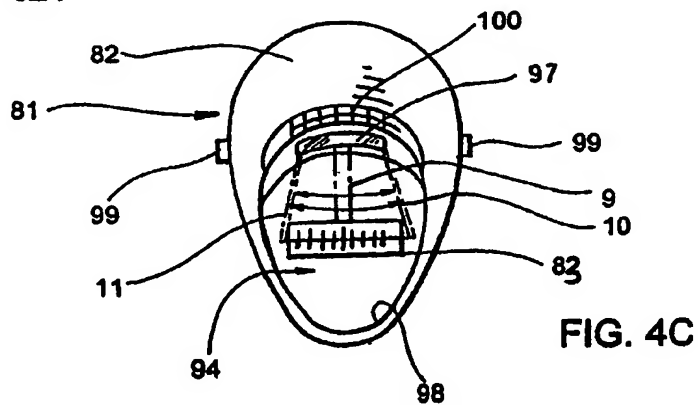
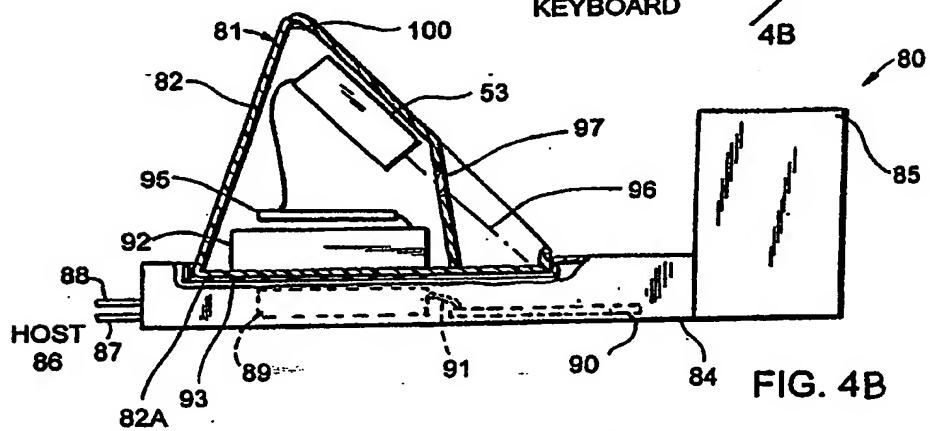
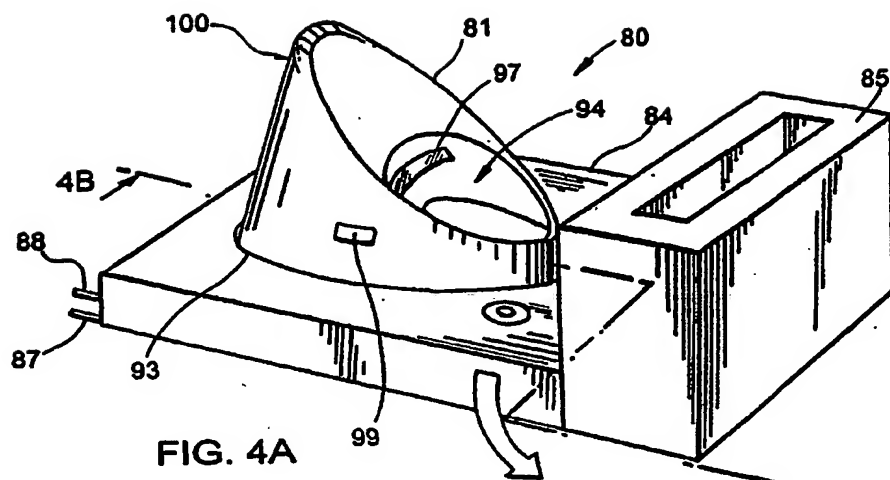
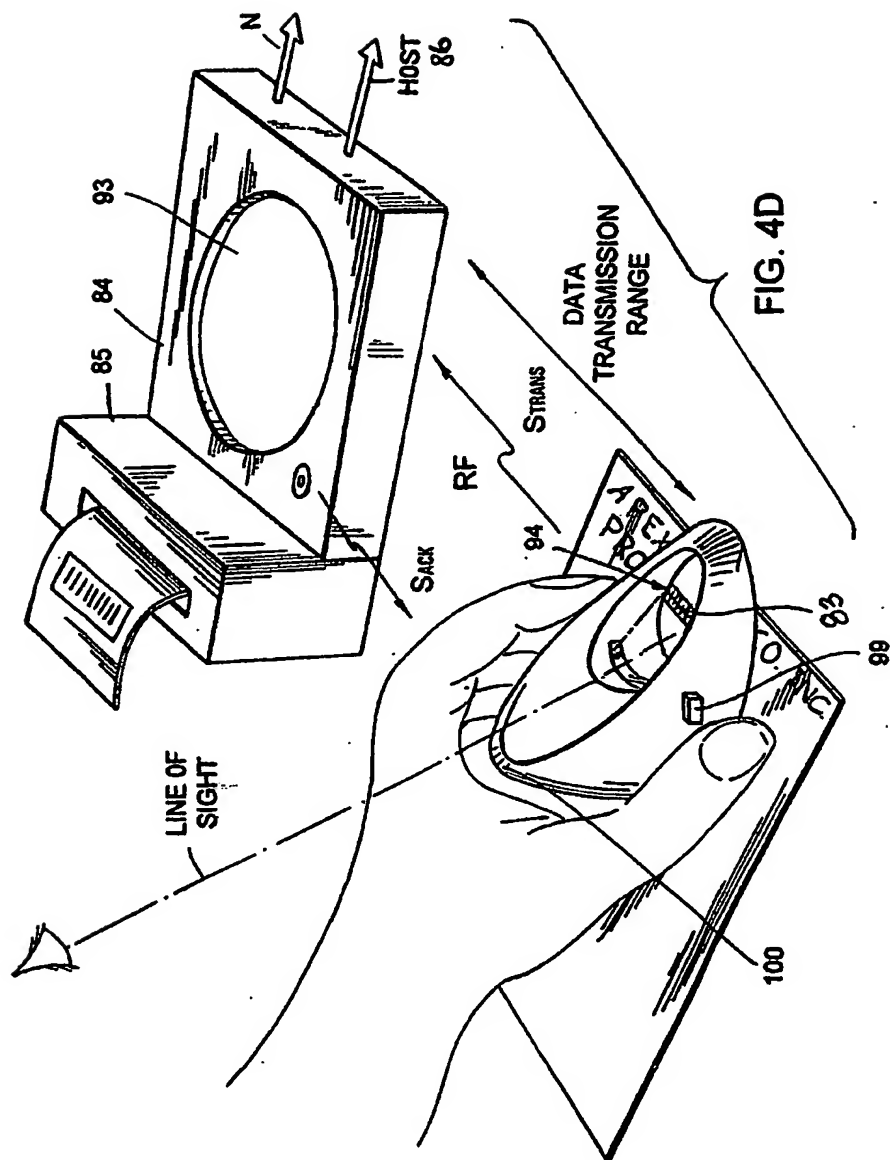


FIG. 3E





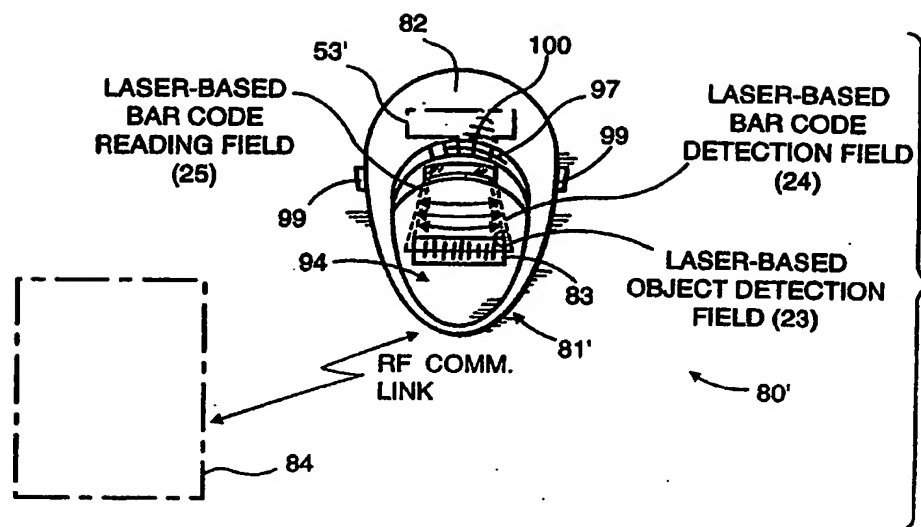


FIG. 4E

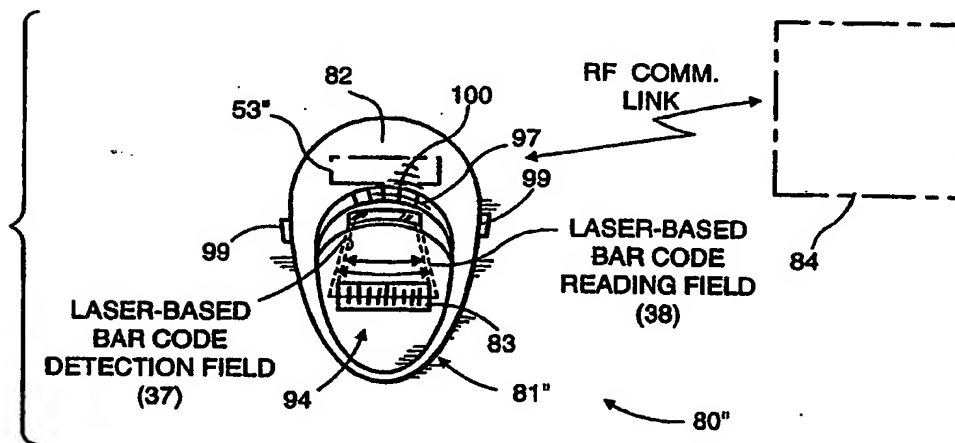


FIG. 4F

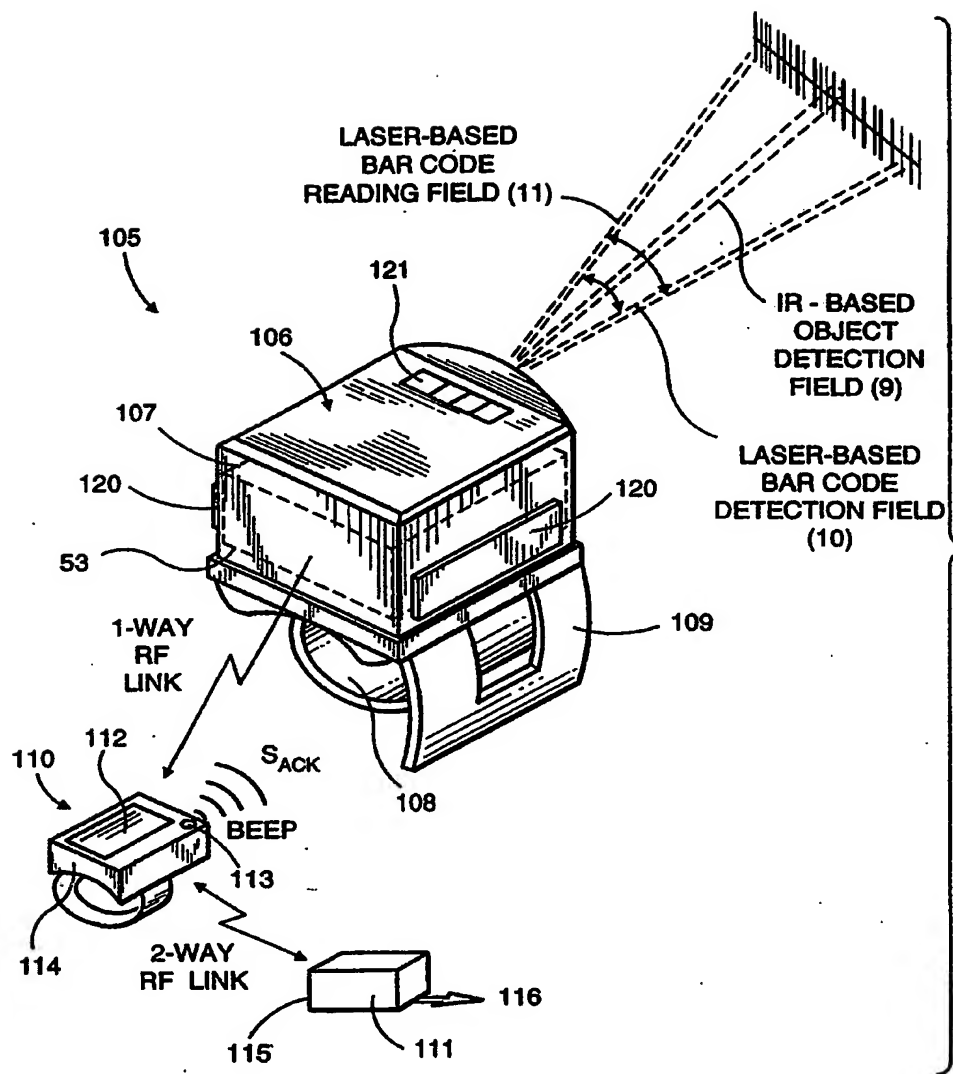


FIG. 5A

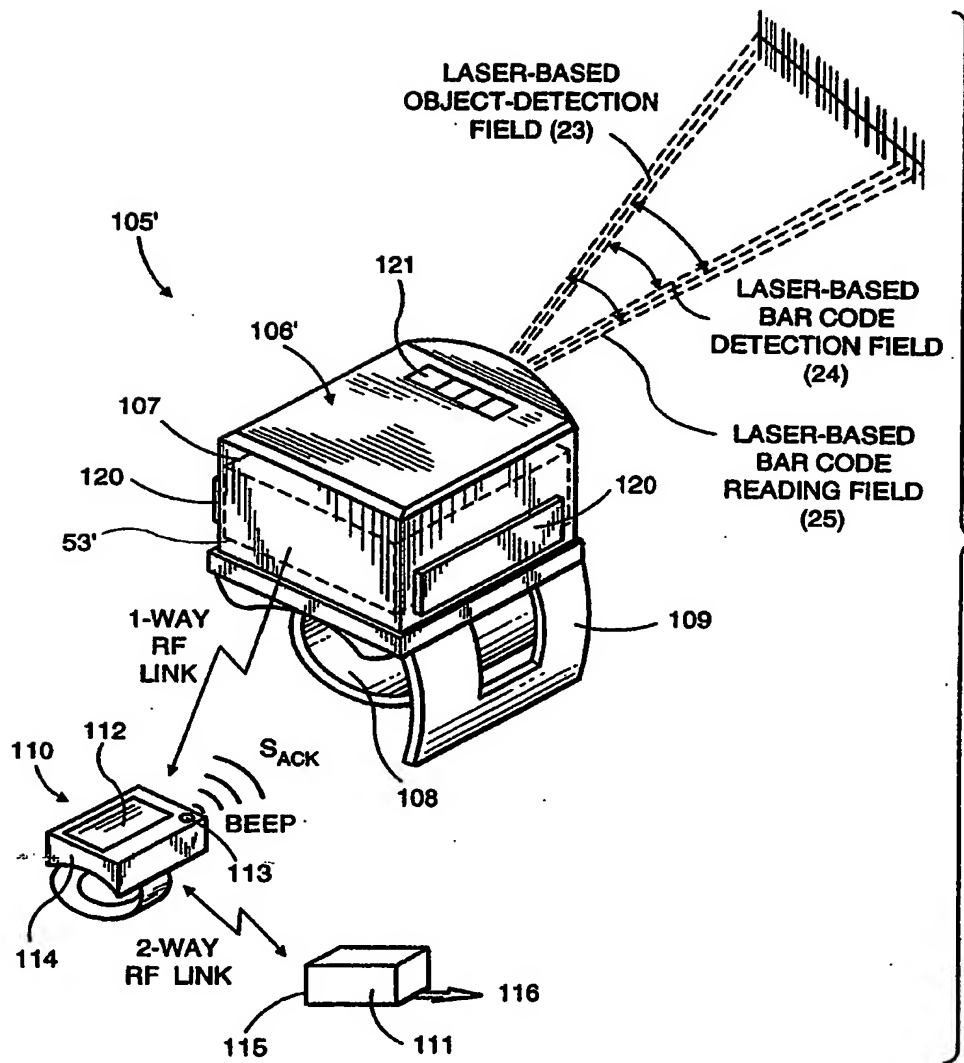


FIG. 5B

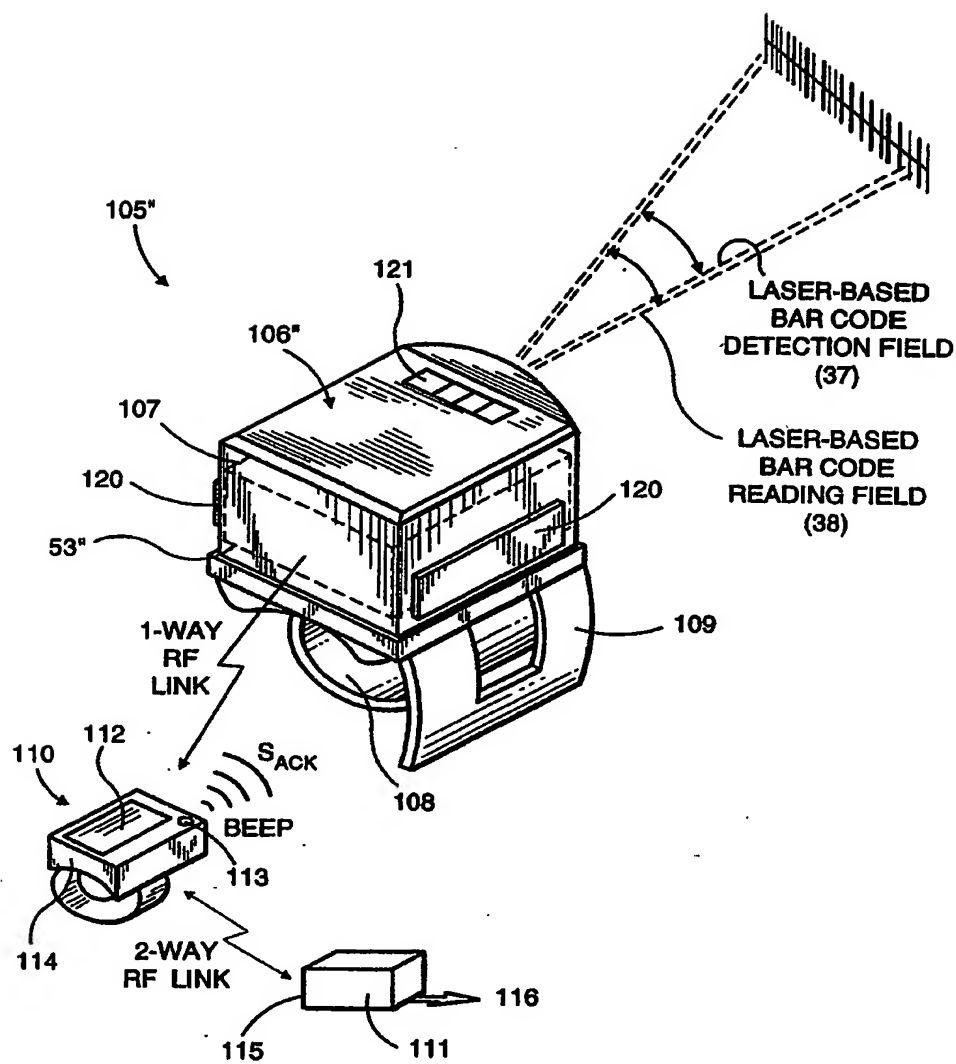


FIG. 5C



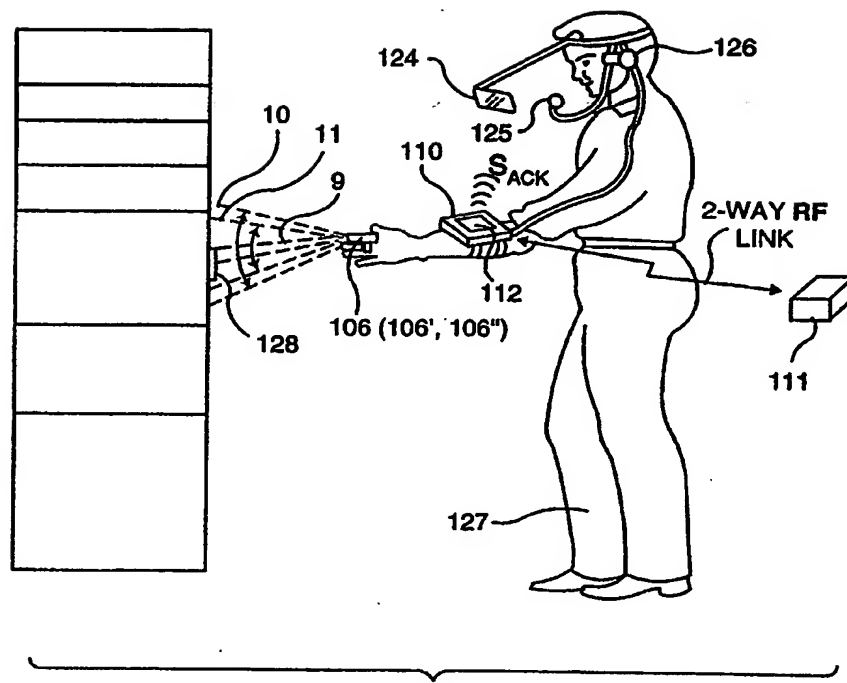
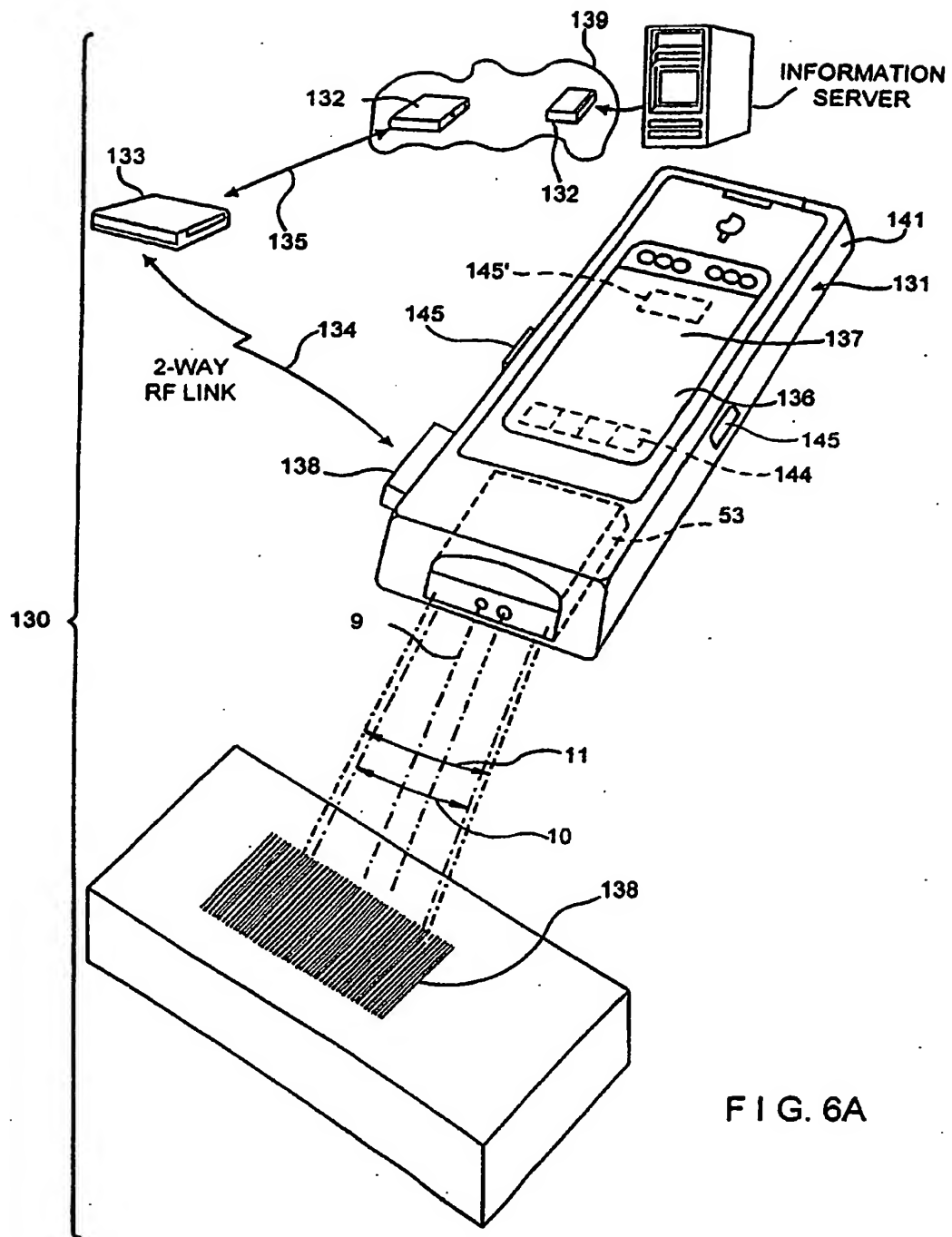
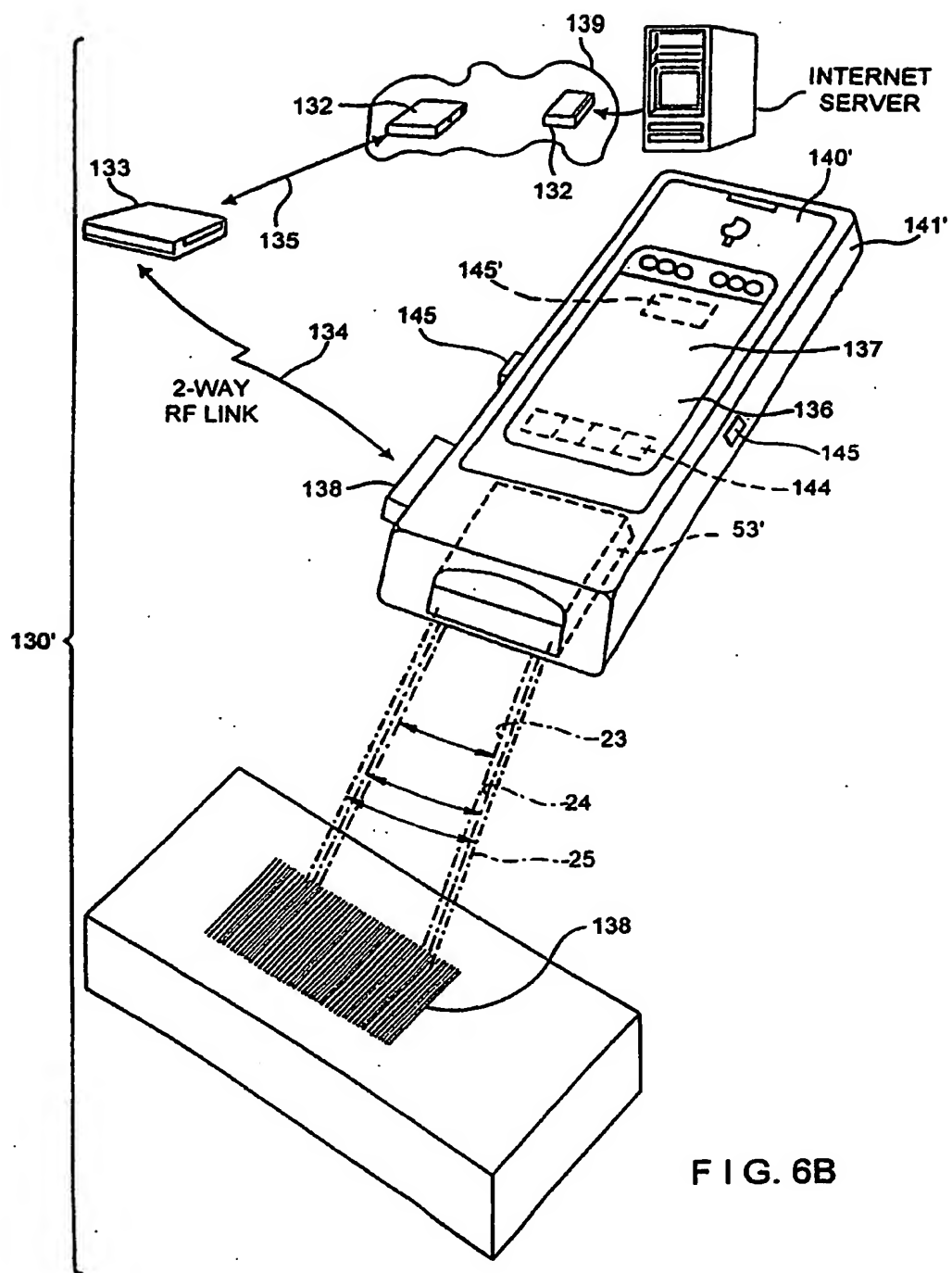


FIG. 5D





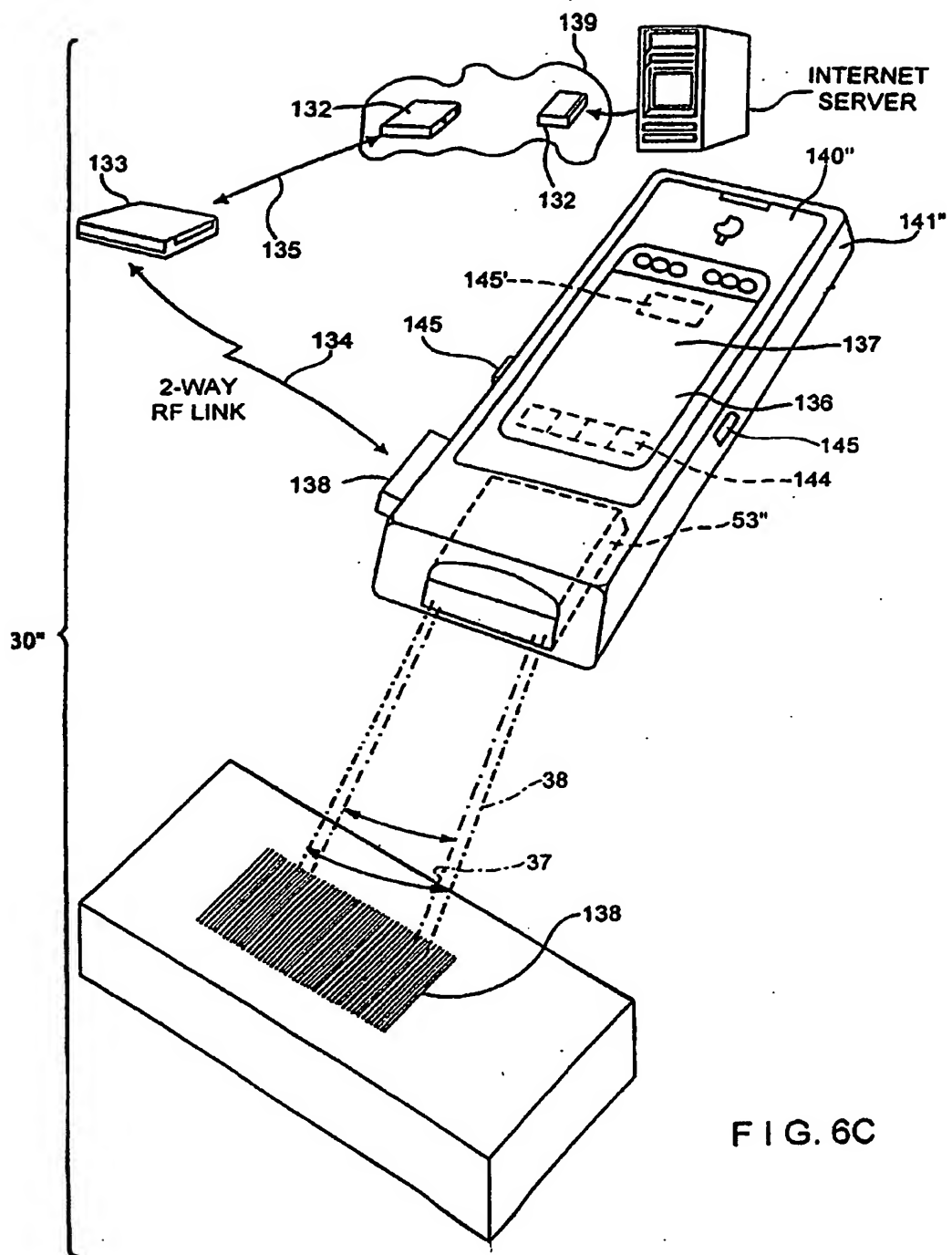


FIG. 6C

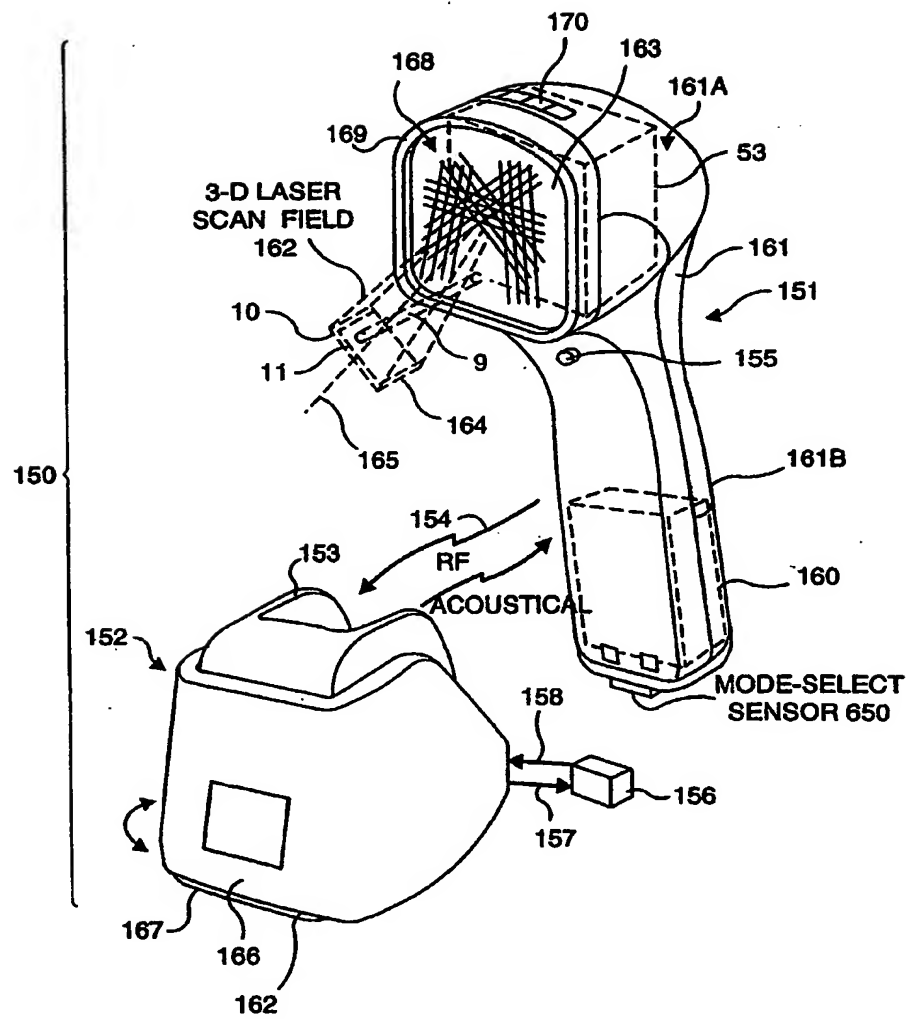


FIG. 7A

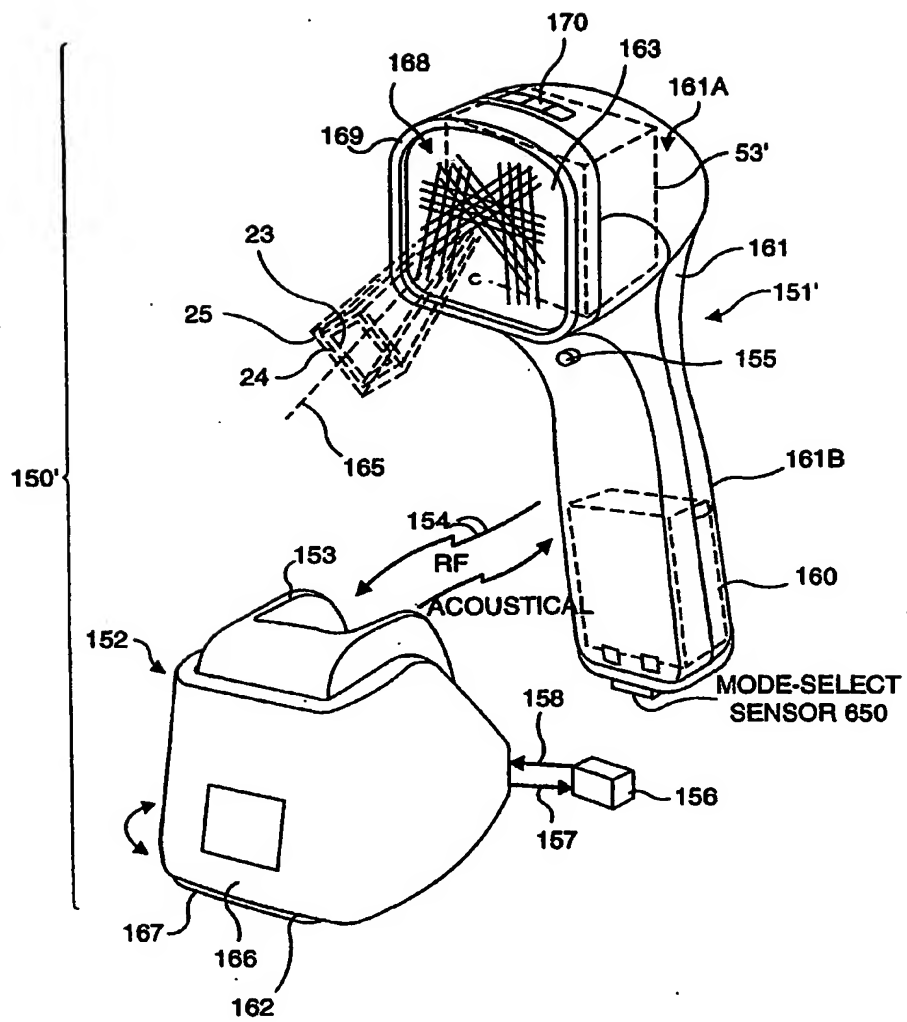


FIG. 7B



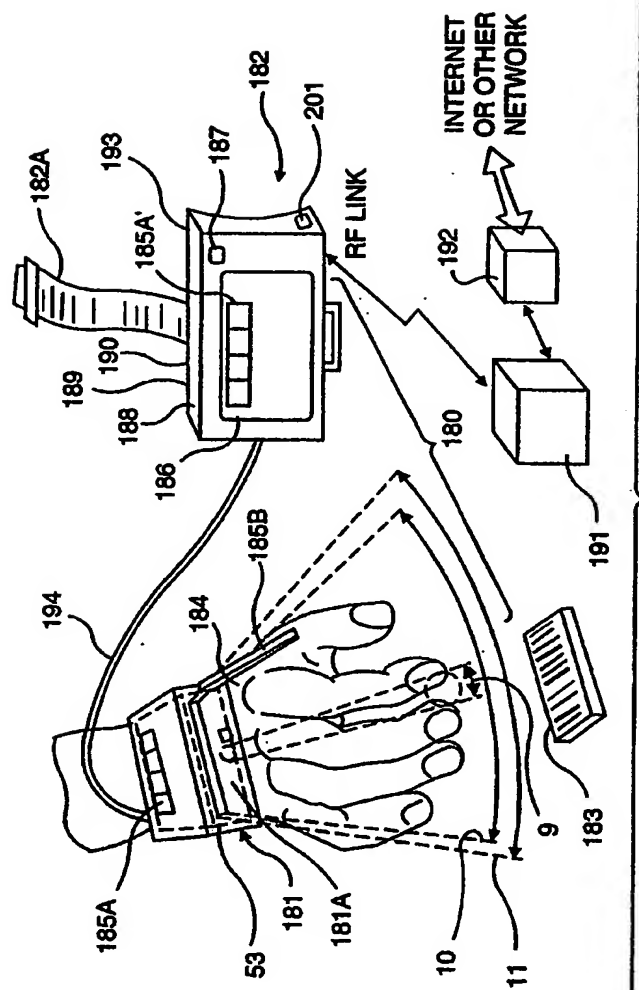


FIG. 8A



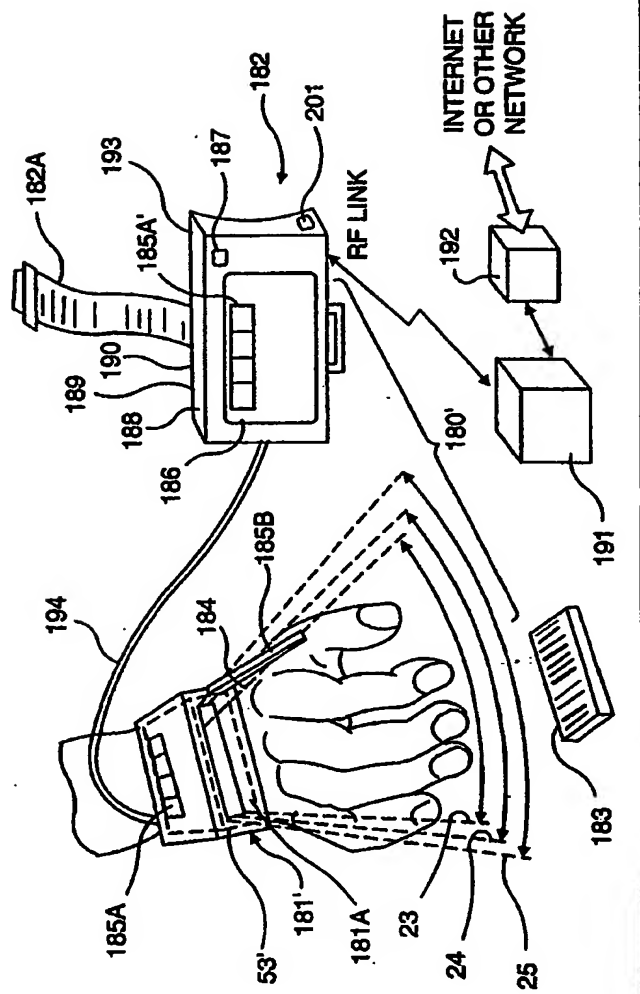


FIG. 8B

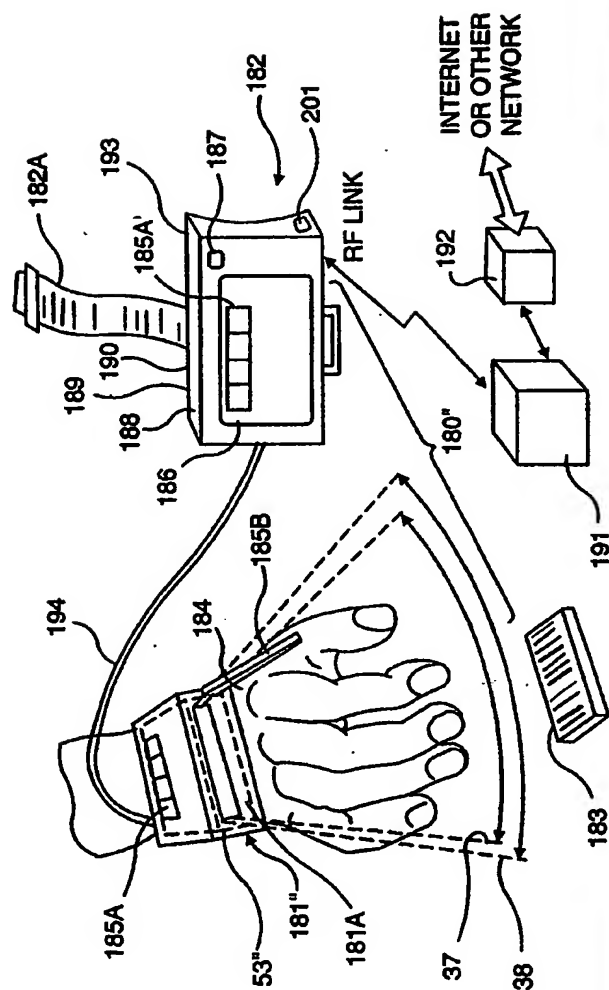


FIG. 8C

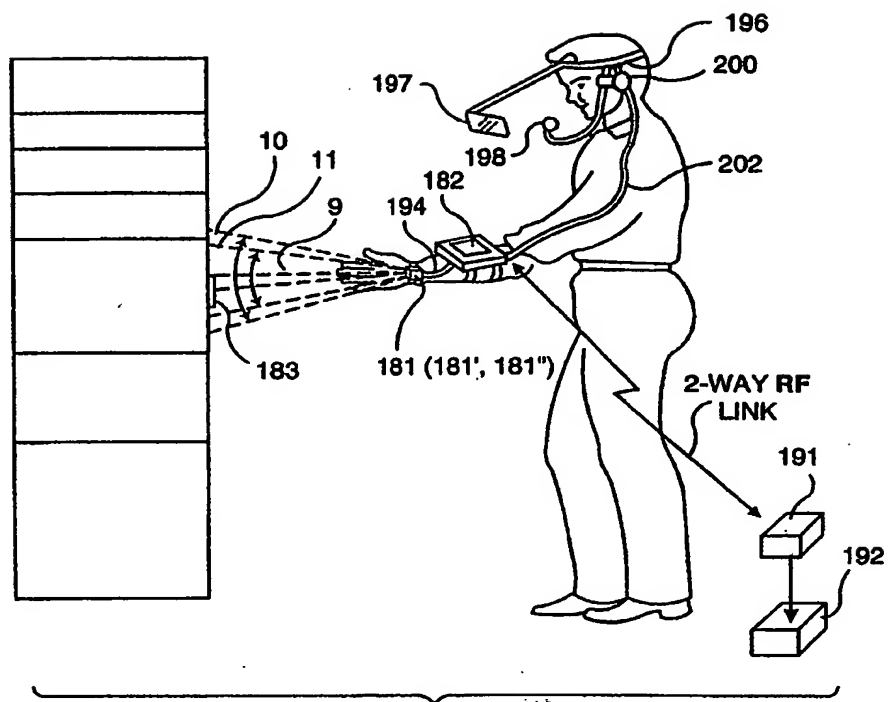
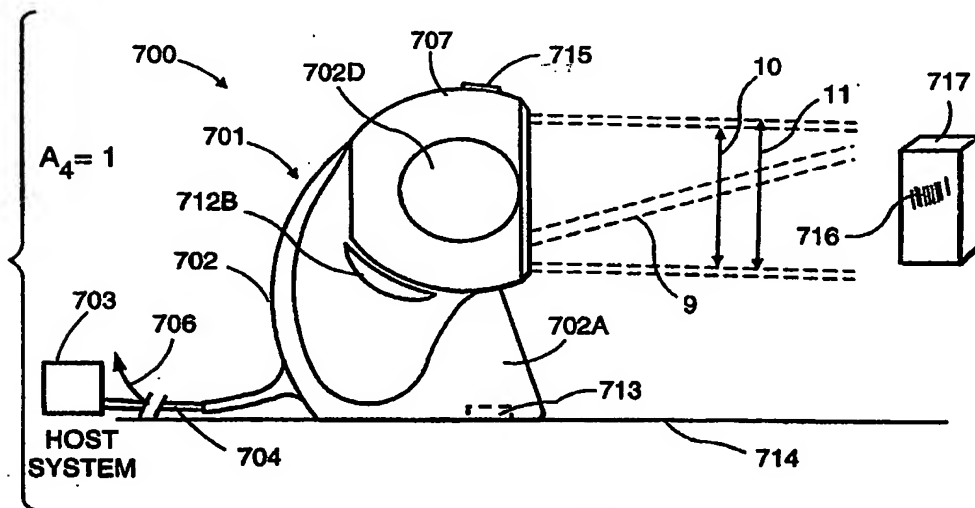
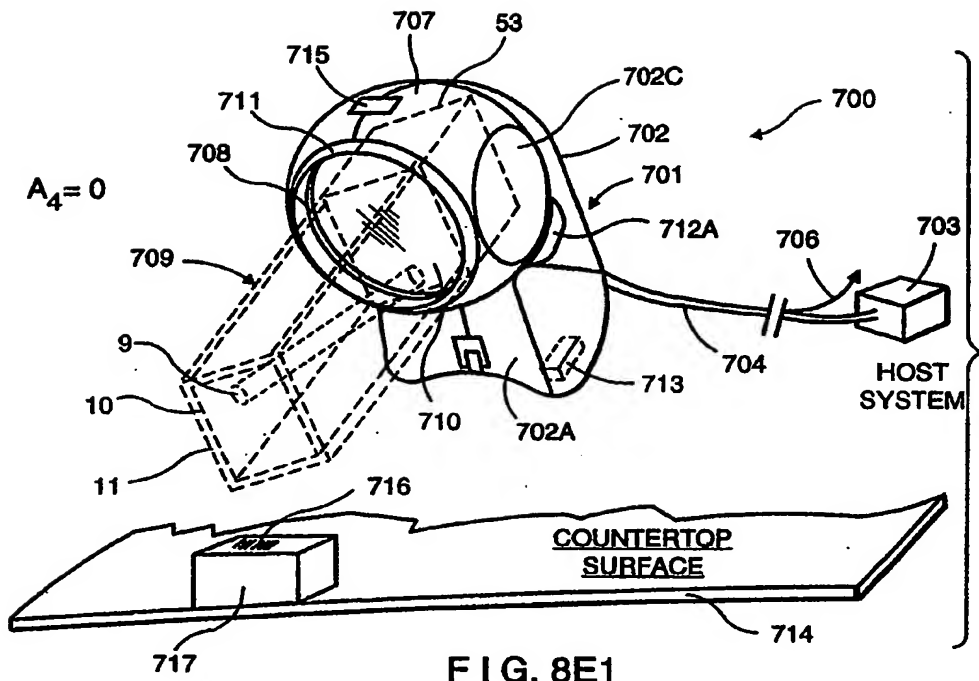
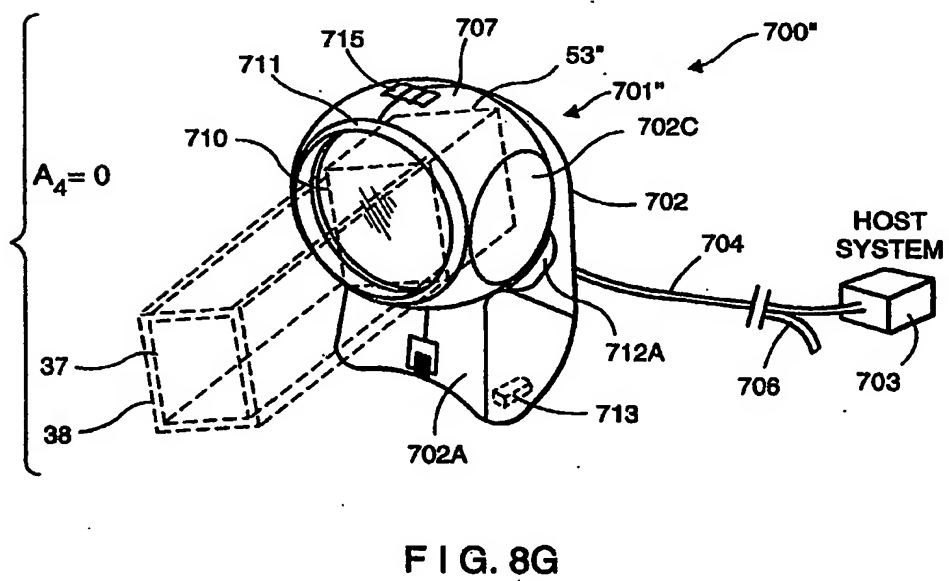
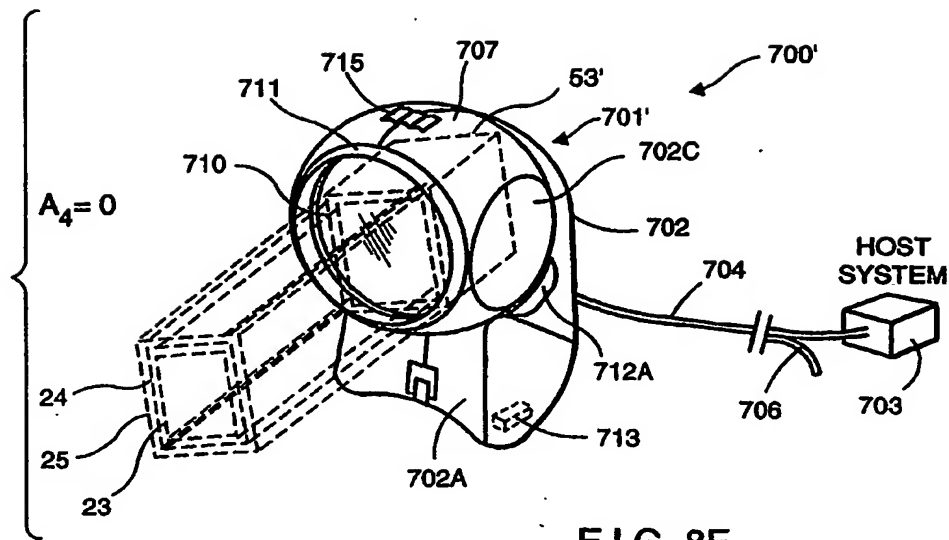


FIG. 8D





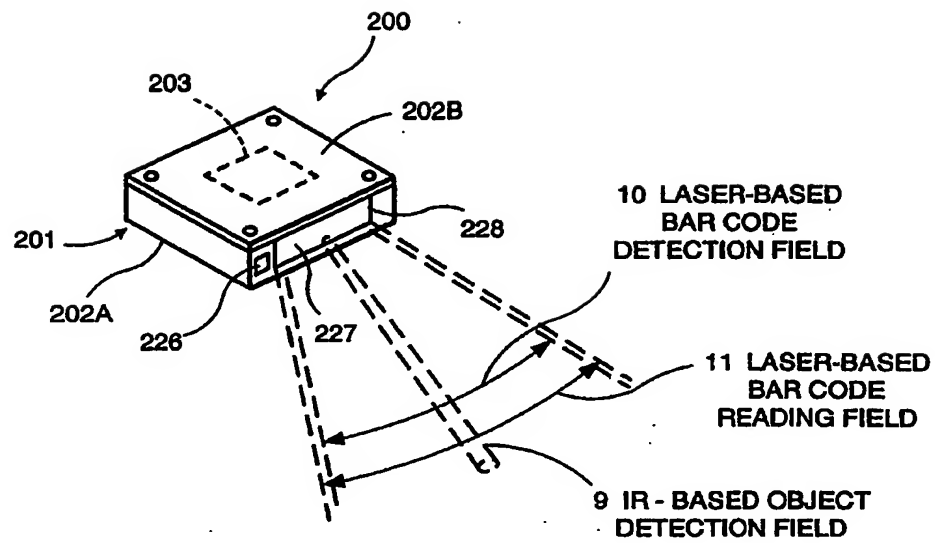


FIG. 9A

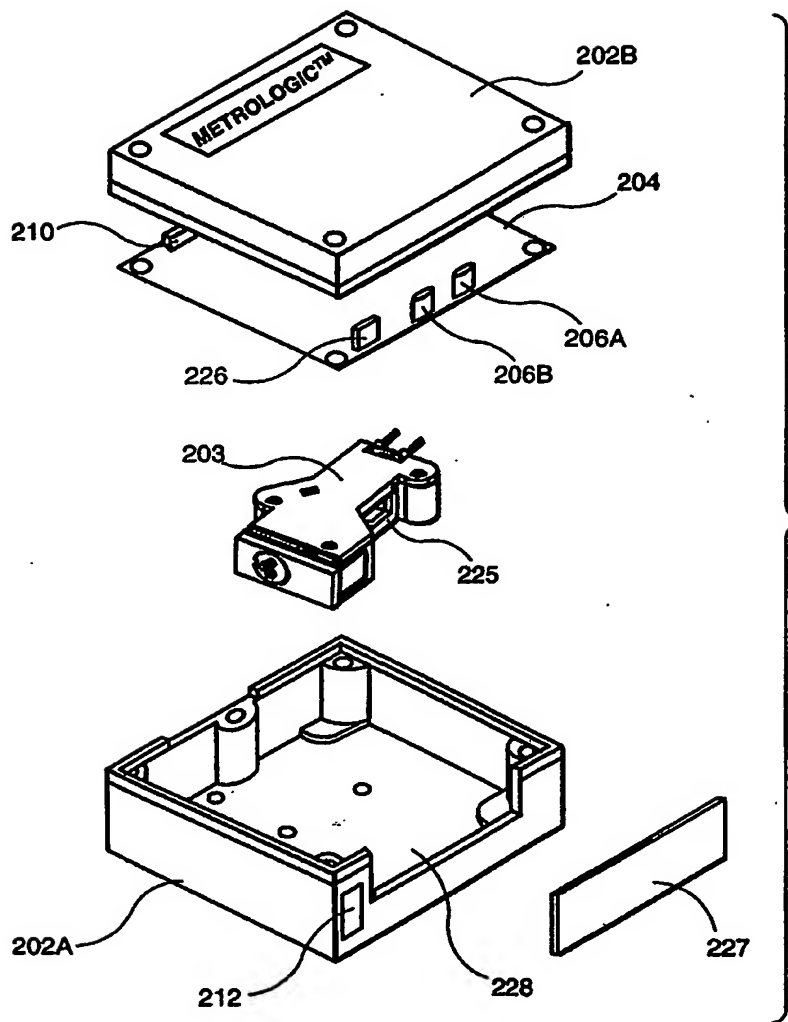


FIG. 9B





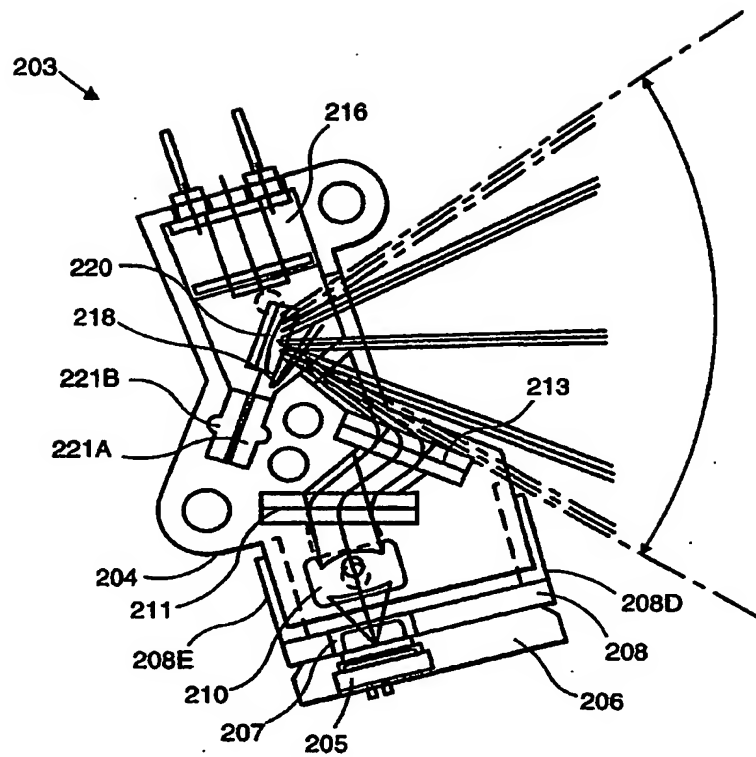


FIG. 9D

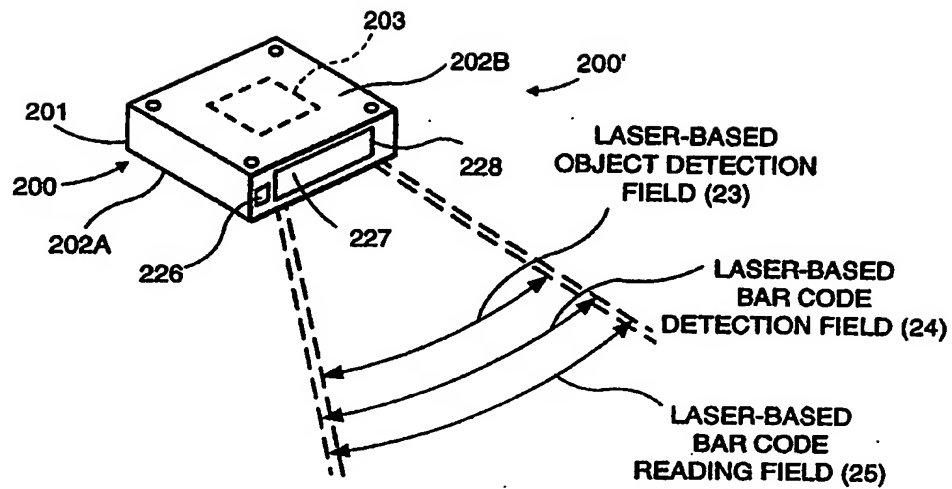


FIG. 9E

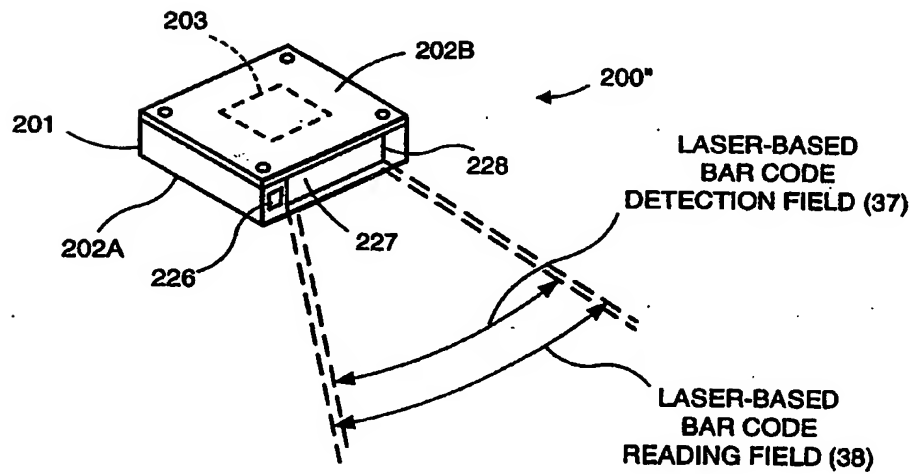


FIG. 9F

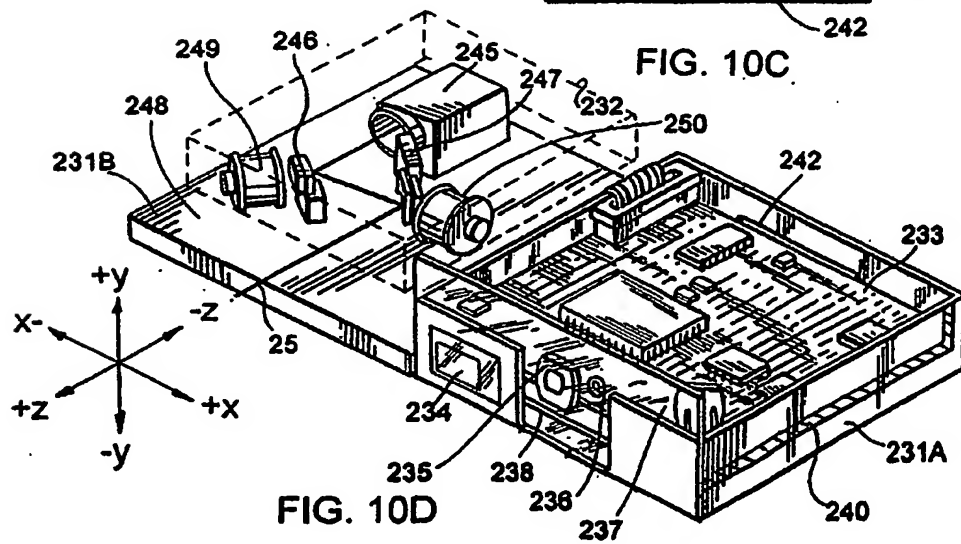
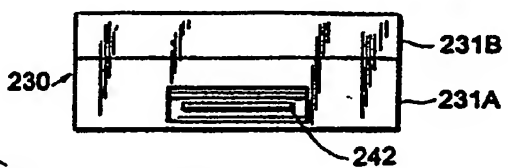
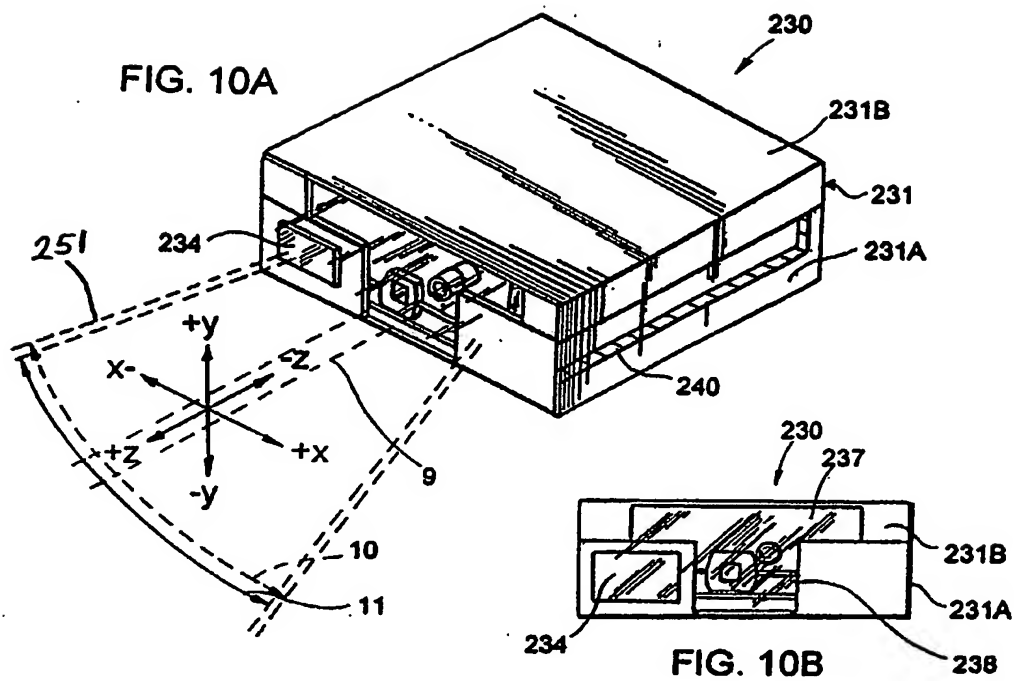


FIG. 10E

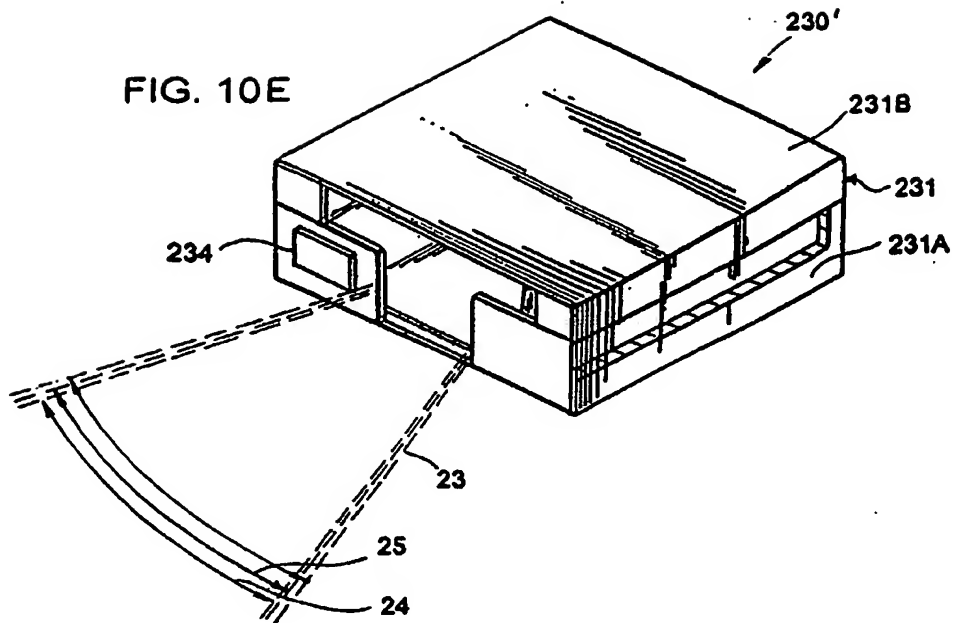
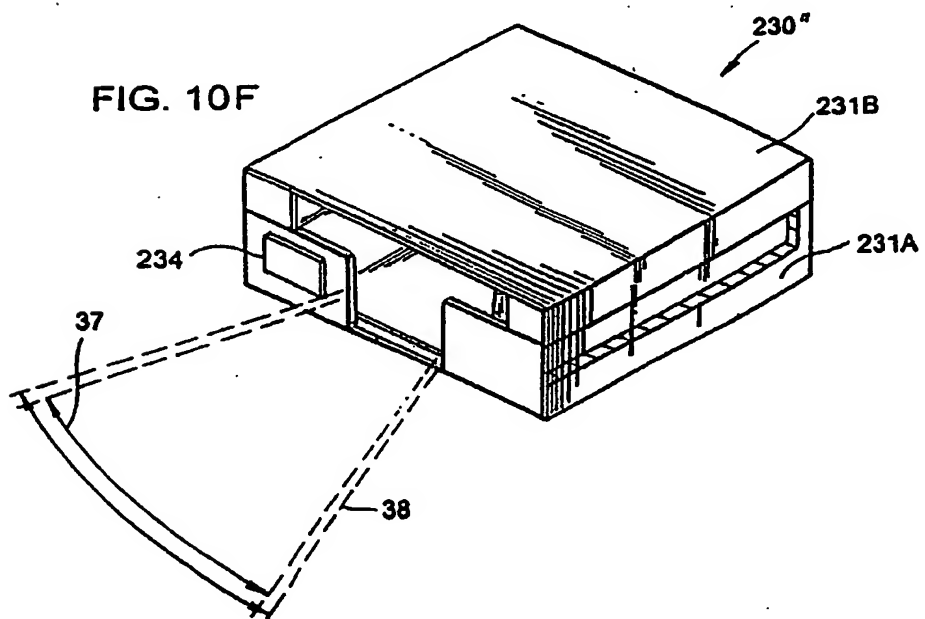


FIG. 10F



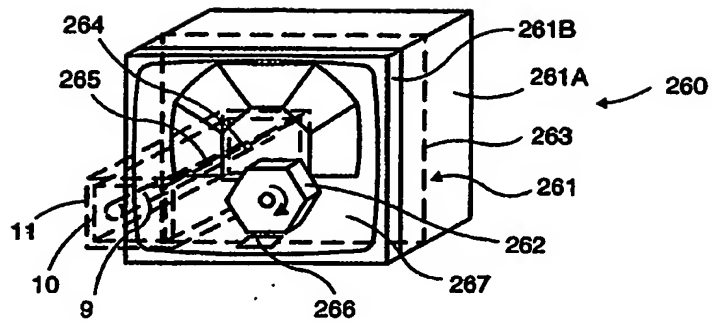


FIG. 11A

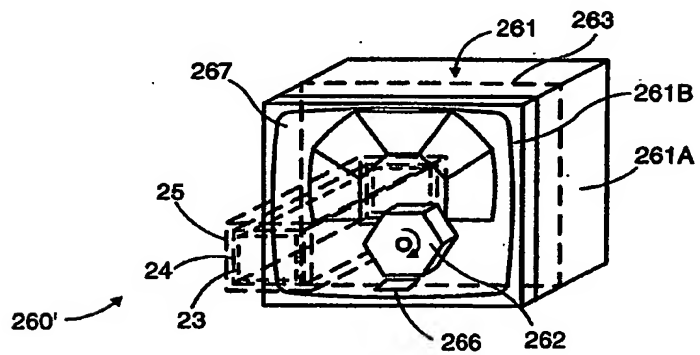


FIG. 11B

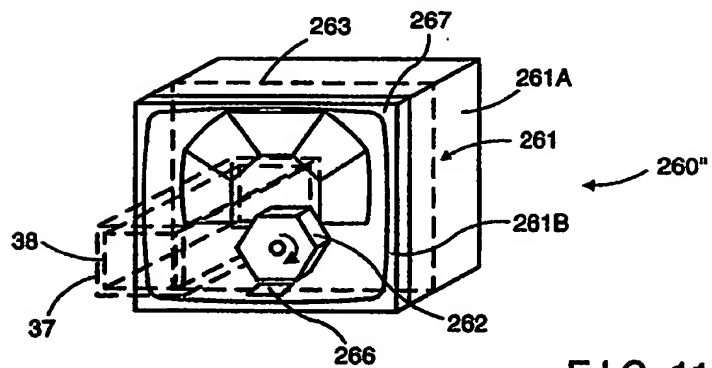
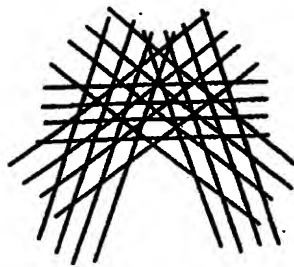
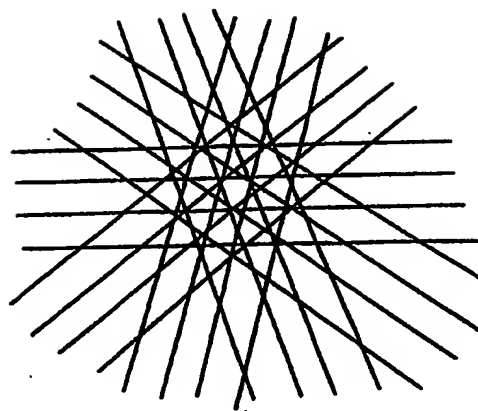


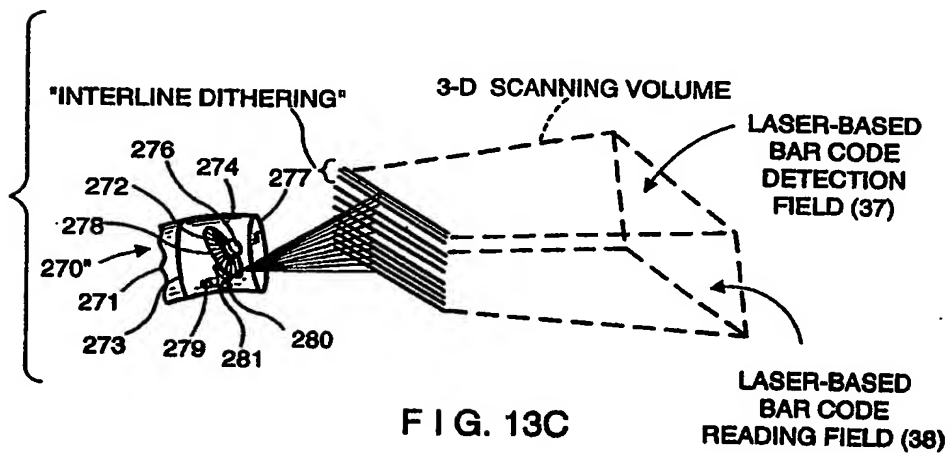
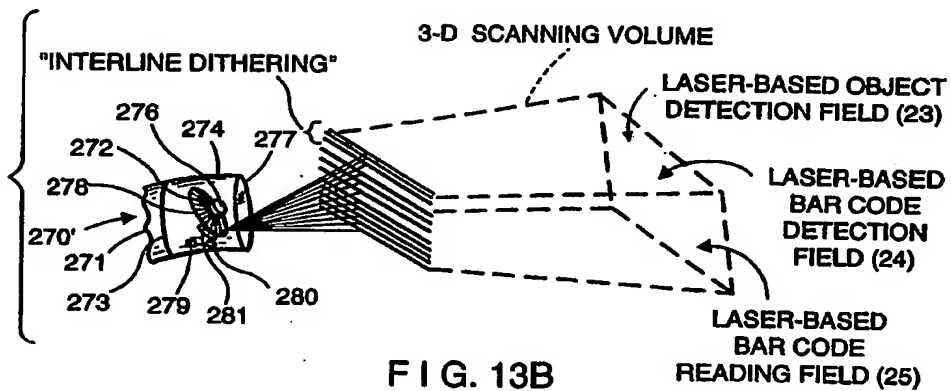
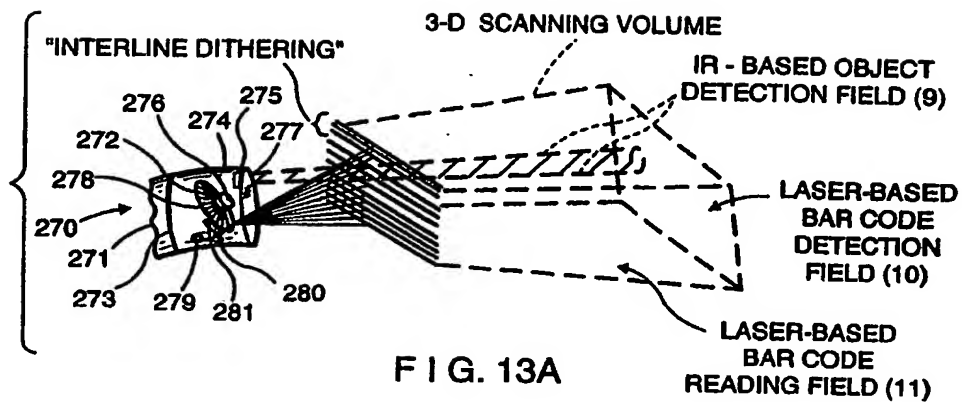
FIG. 11C



**FIG. 12A**



**FIG. 12B**



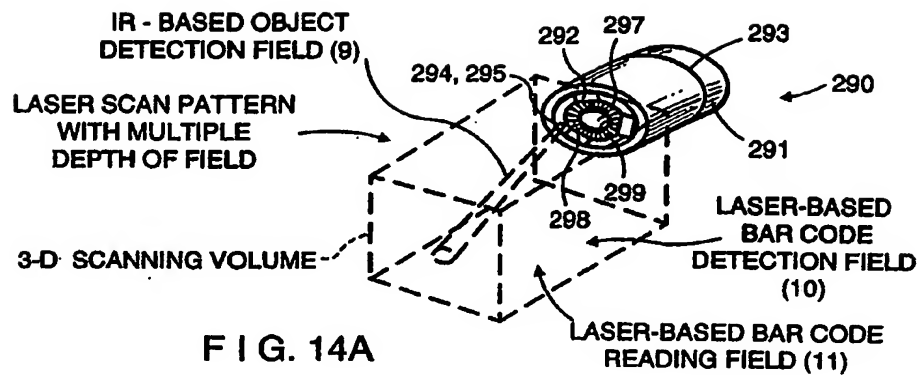


FIG. 14A

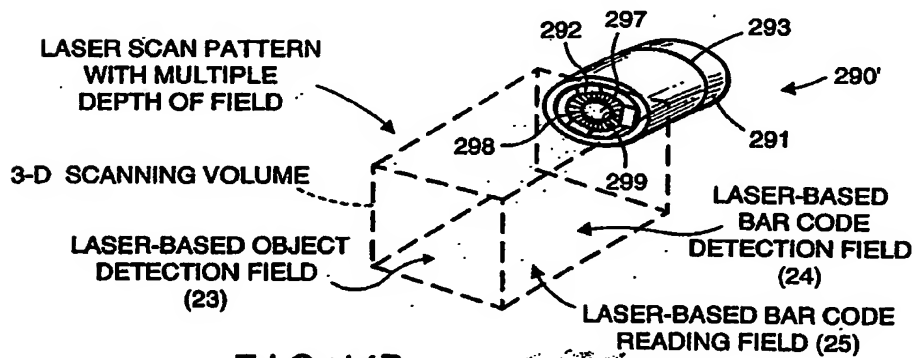


FIG. 14B

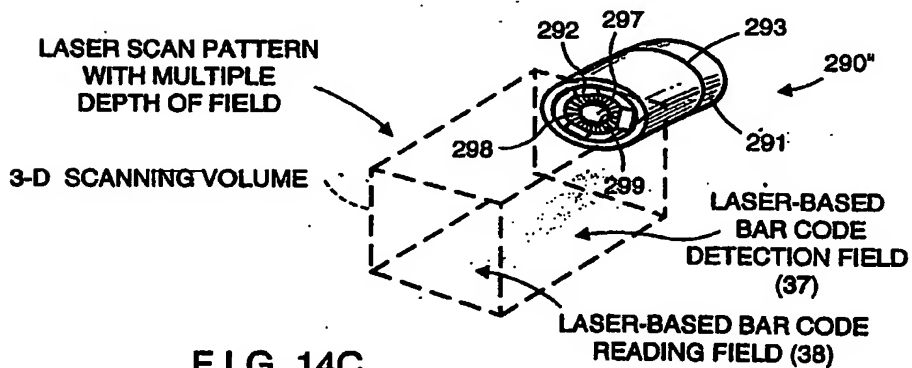


FIG. 14C



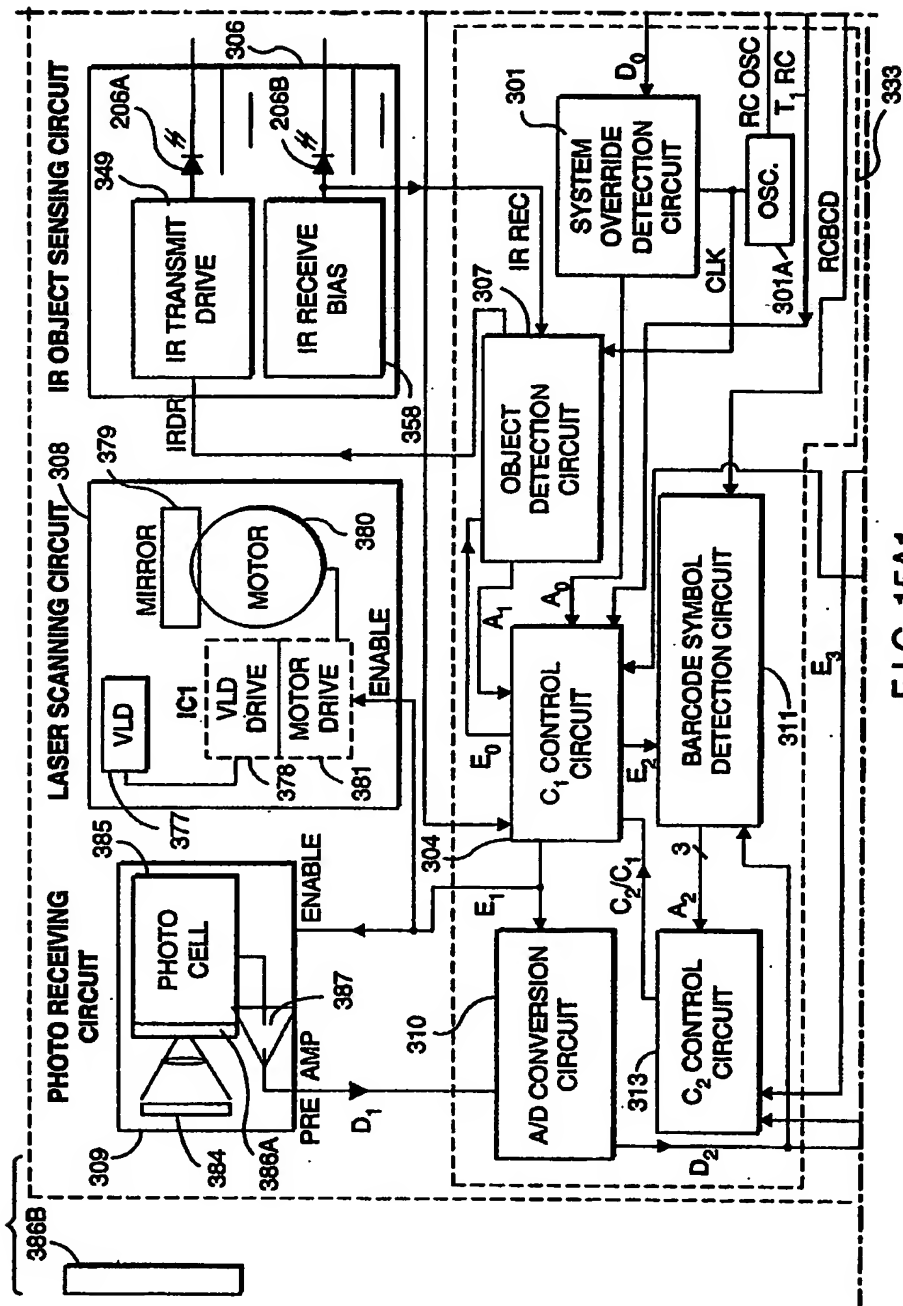


FIG. 15A1

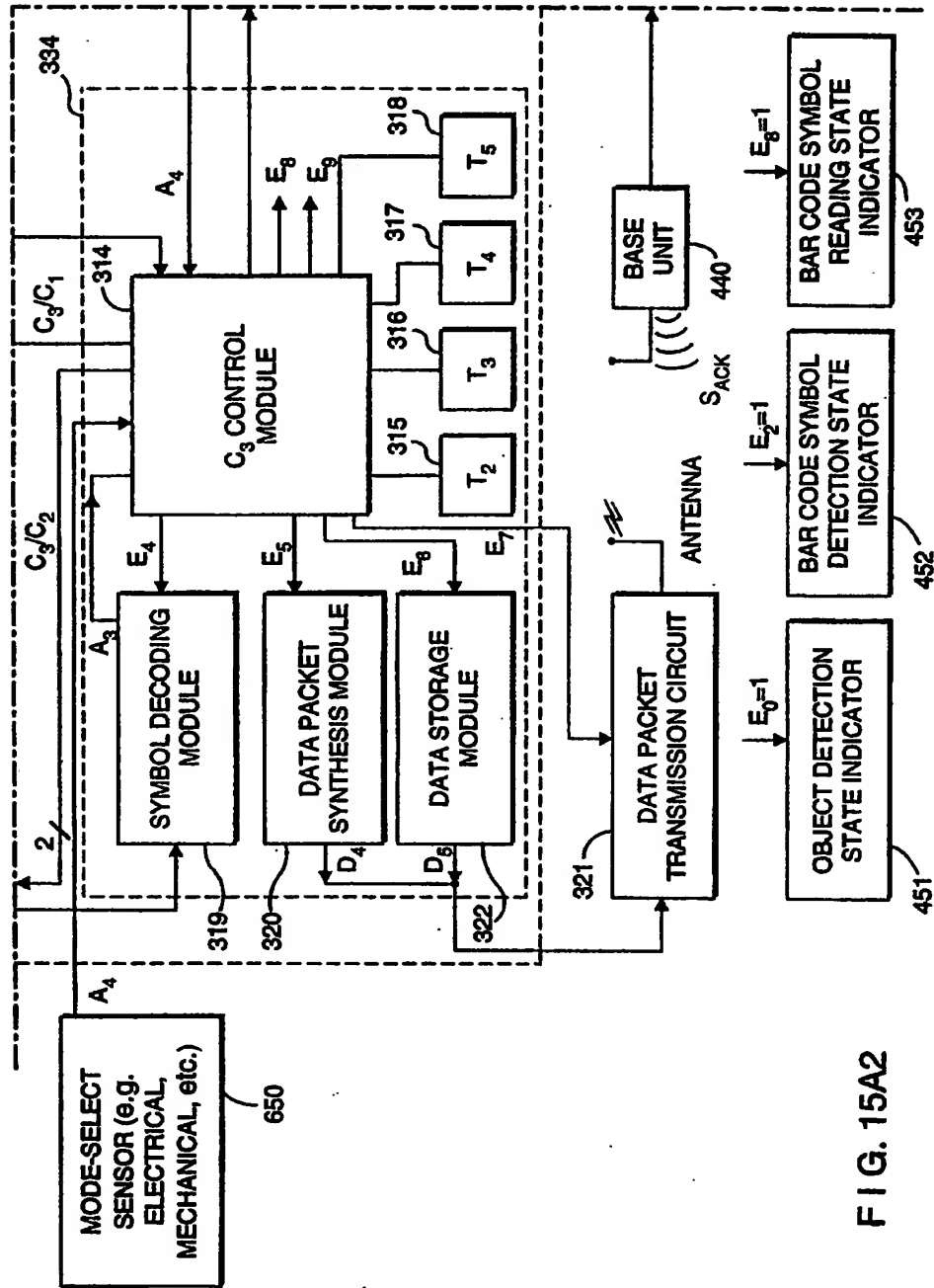


FIG. 15A2

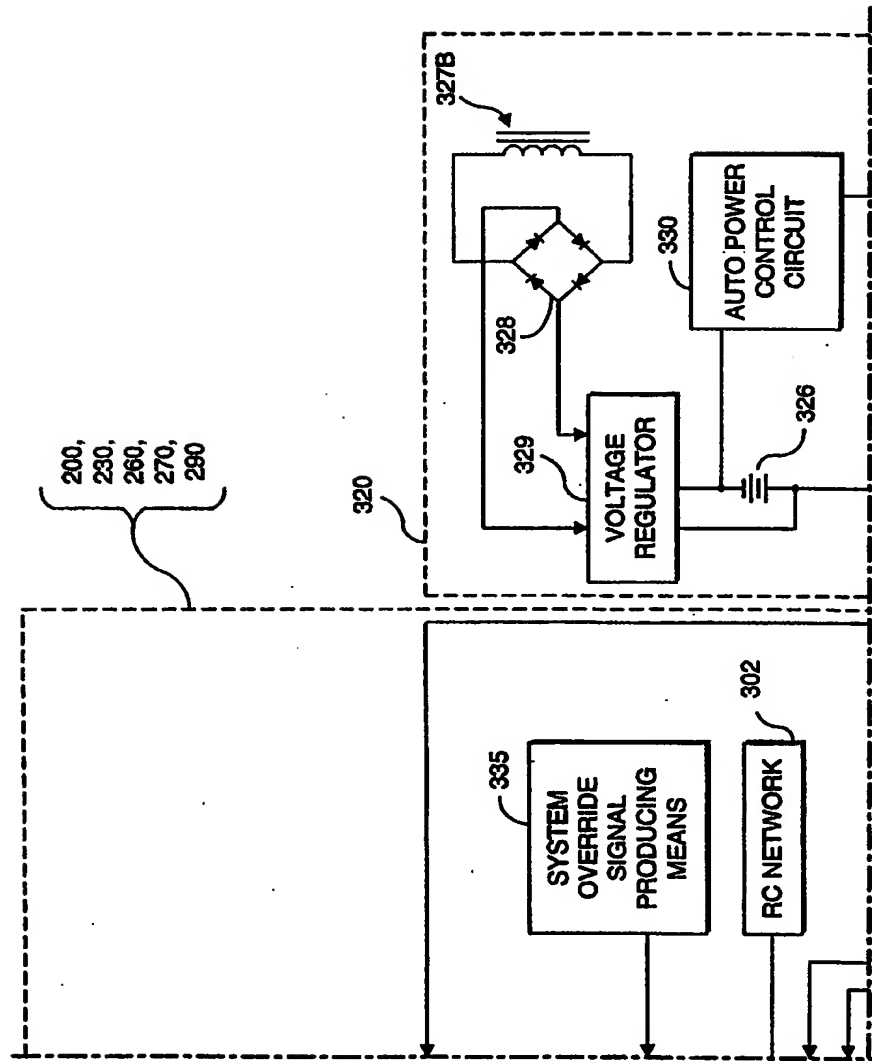


FIG. 15A3

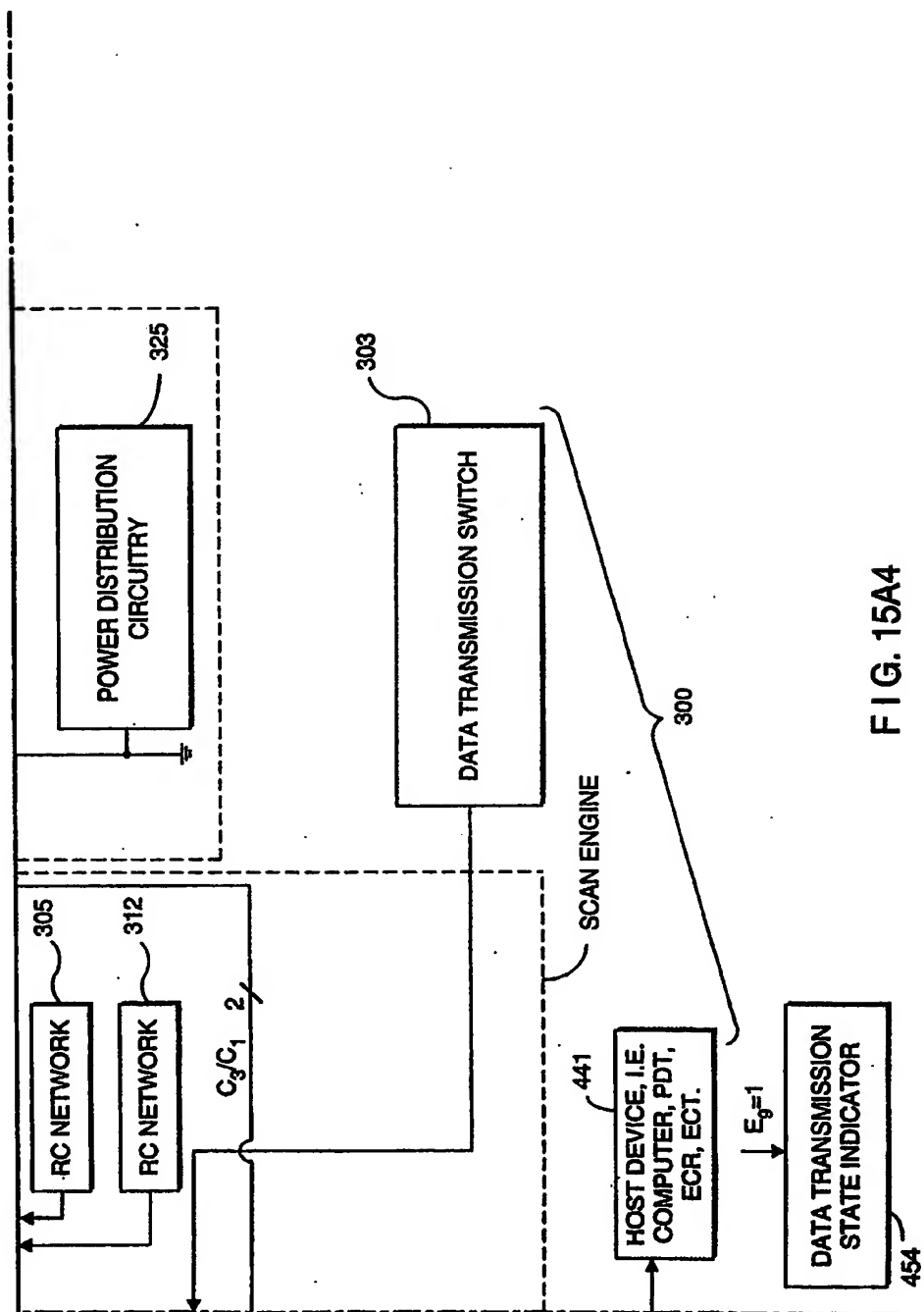


FIG. 15A4

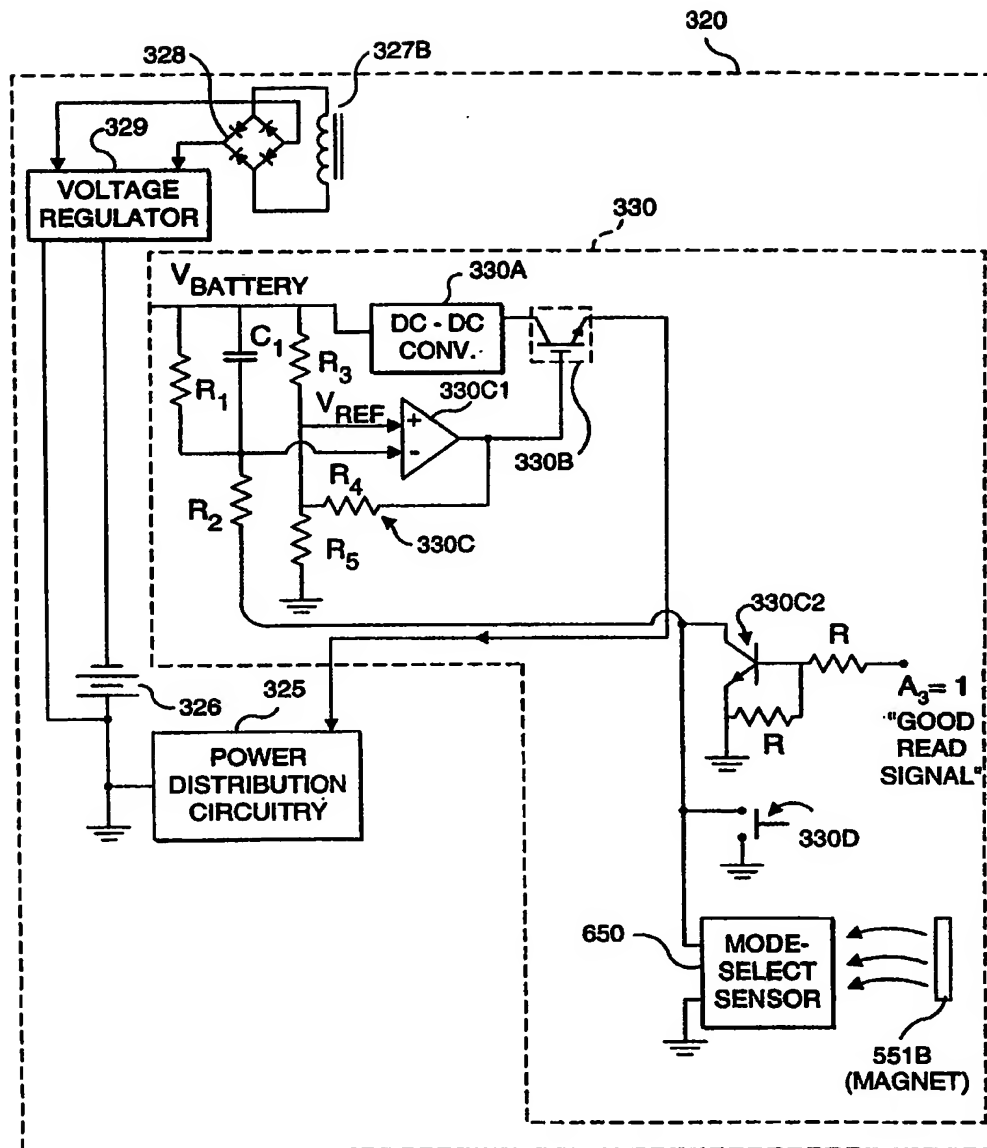
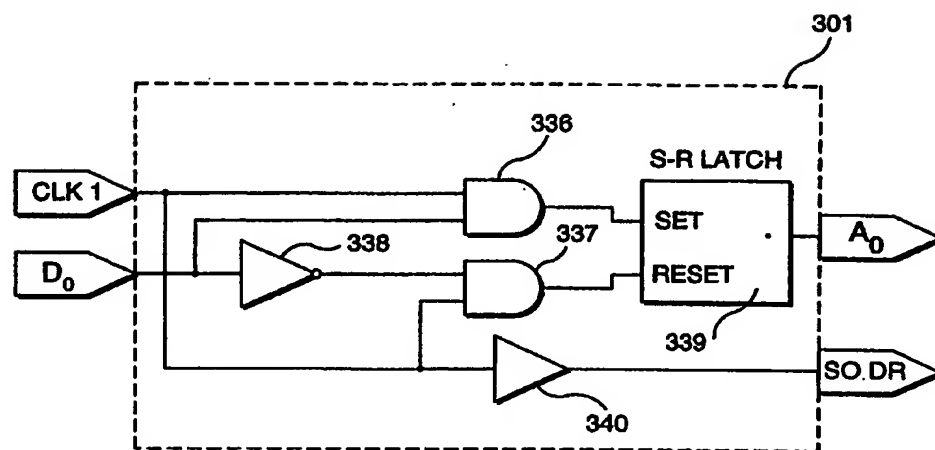


FIG. 15B1



**F I G. 15B2**

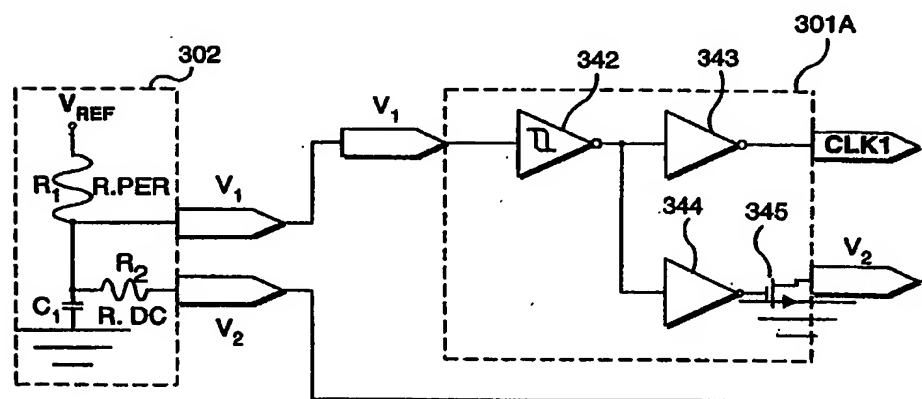


FIG. 15C

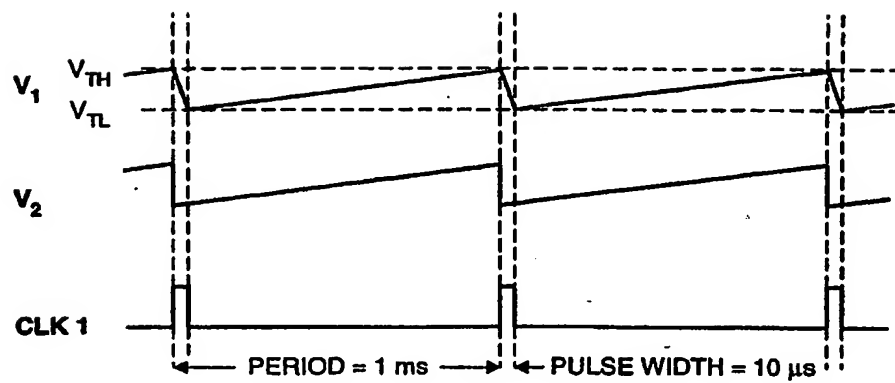


FIG. 15D

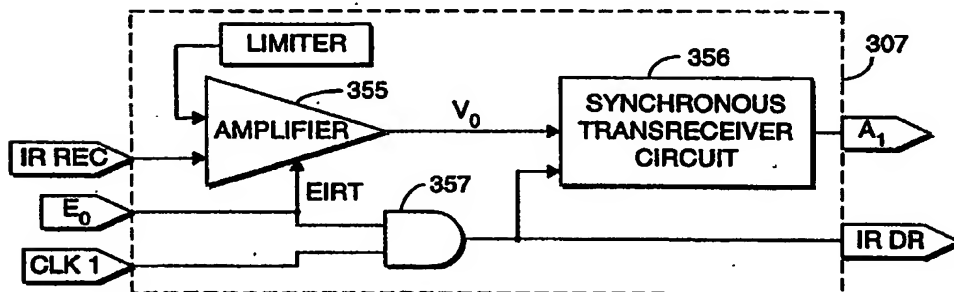


FIG. 15E



FIG. 15F



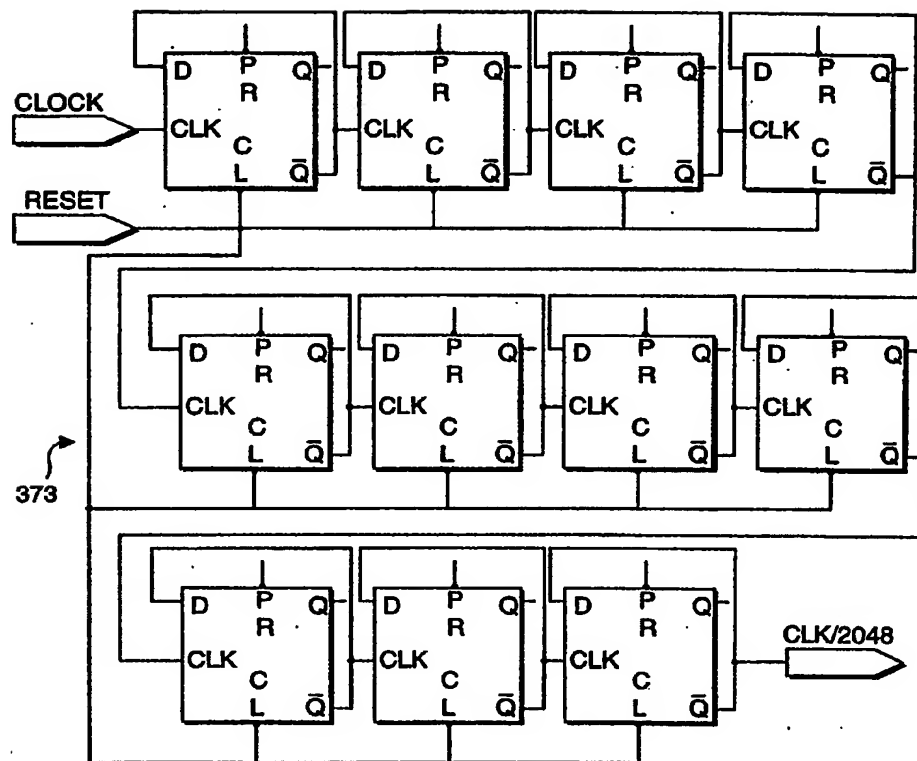


FIG. 15G

$$\left. \begin{aligned} E_0 &= (B_1 + A_0) (C_3 / C_{1-1}) \\ E_1 &= (C_3 / C_{1-2}) + B_1 \\ E_2 &= (C_2 / C_1) (T_1) \end{aligned} \right\}$$

FIG. 15H

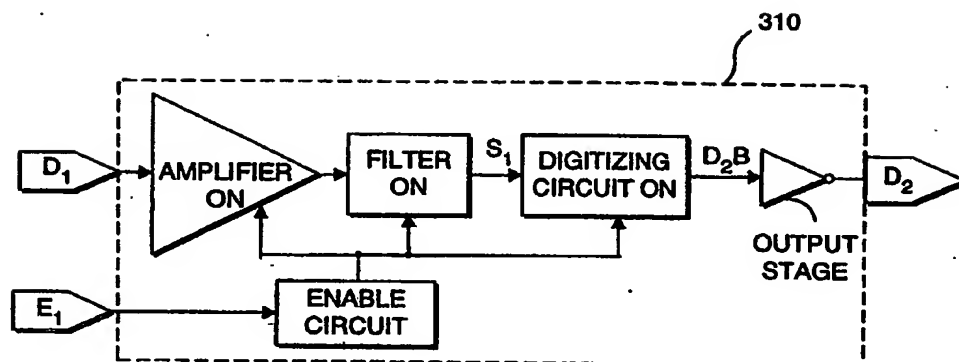


FIG. 15I

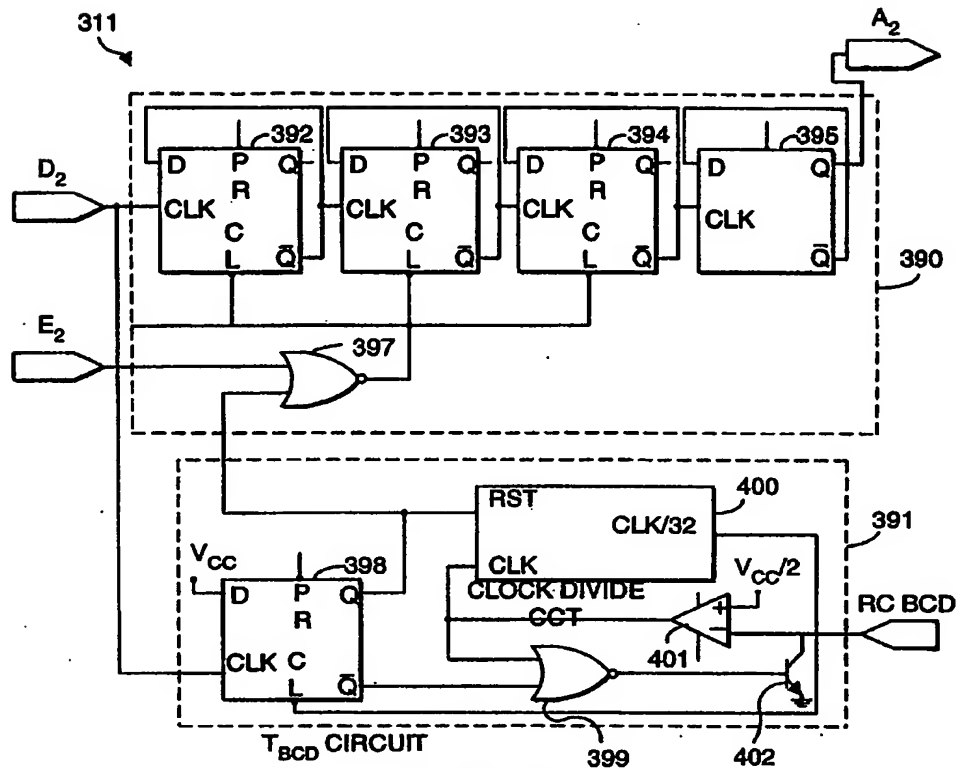


FIG. 15J

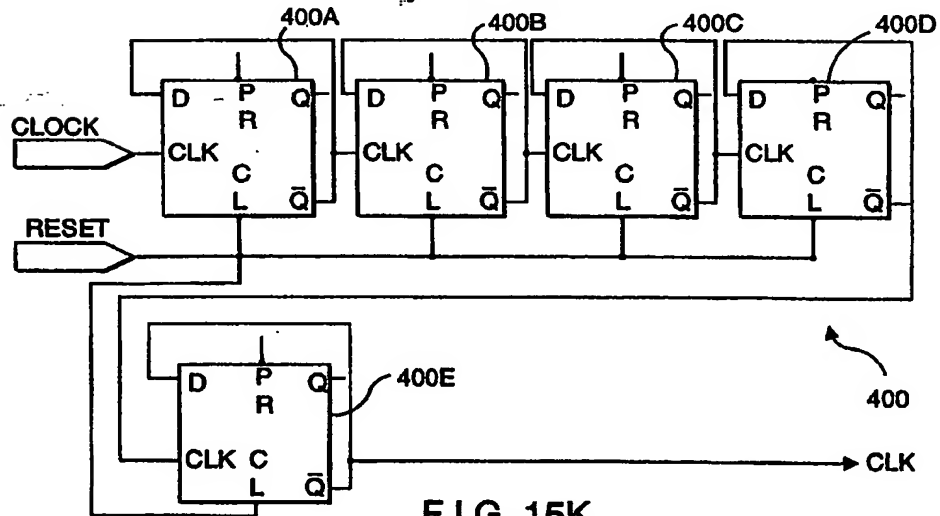


FIG. 15K

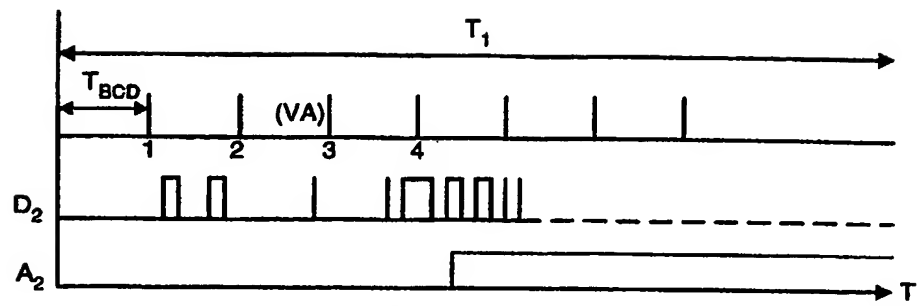


FIG. 15L

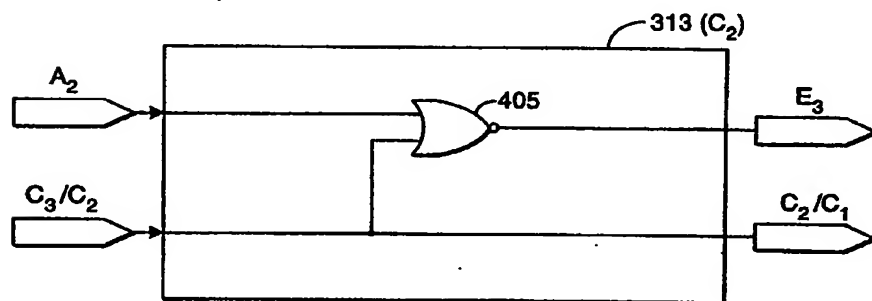


FIG. 15M

$C_3 / C_2$	$A_2$	$E_3$	$C_2 / C_1$
0	0	0	0
0	1	1	0
1	X	1	1

X: DONT CARE (I.E.  $C_3 / C_2$  OVERRIDES  $A_2$ )

FIG. 15N

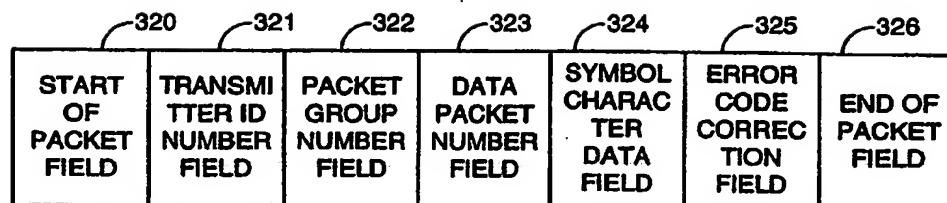


FIG. 150

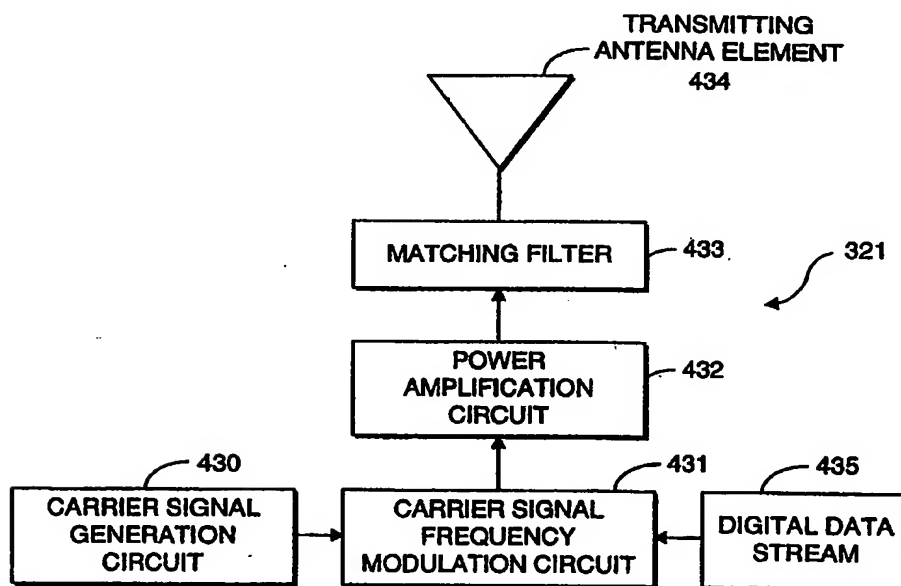


FIG. 16

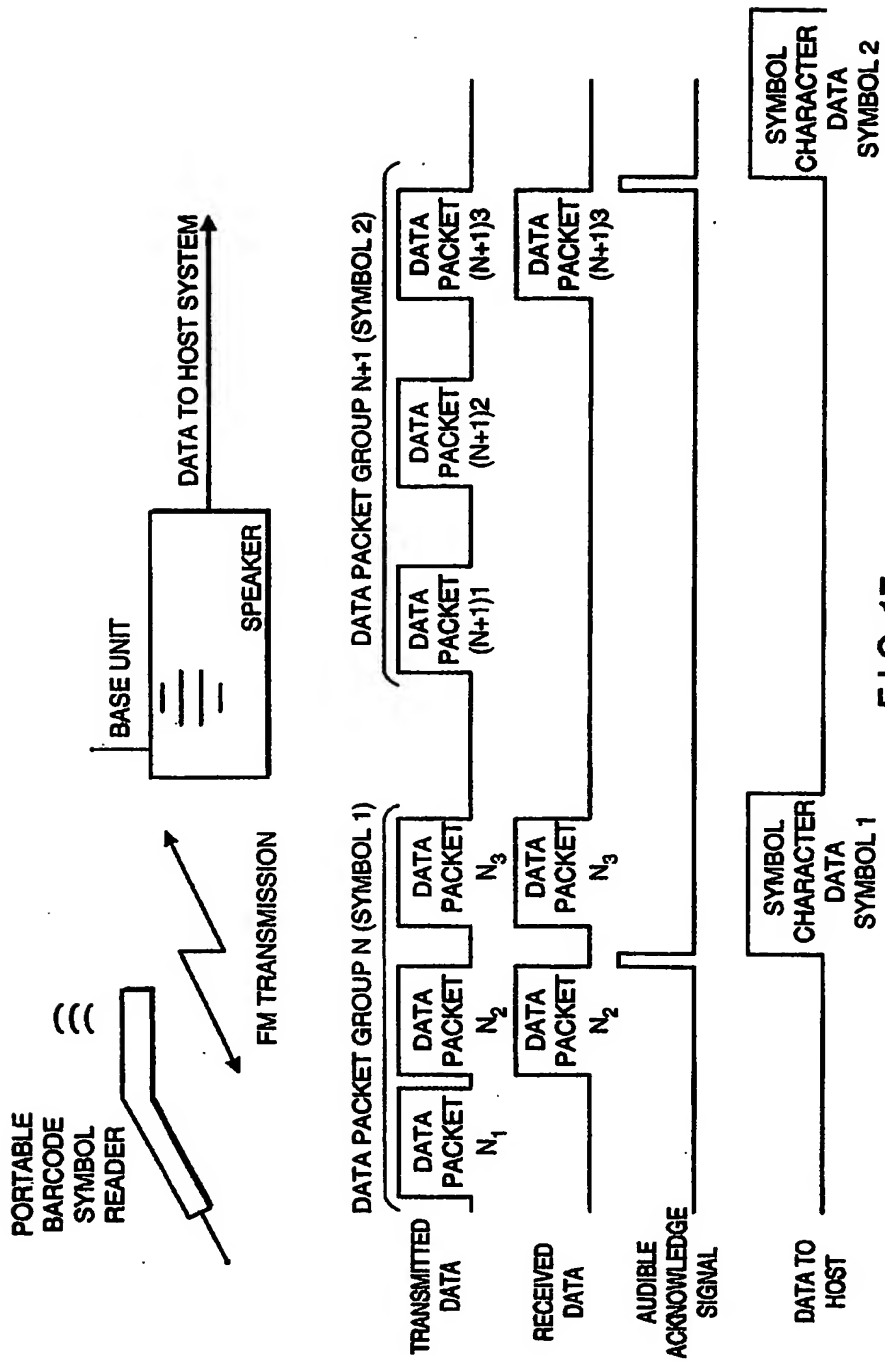


FIG. 17

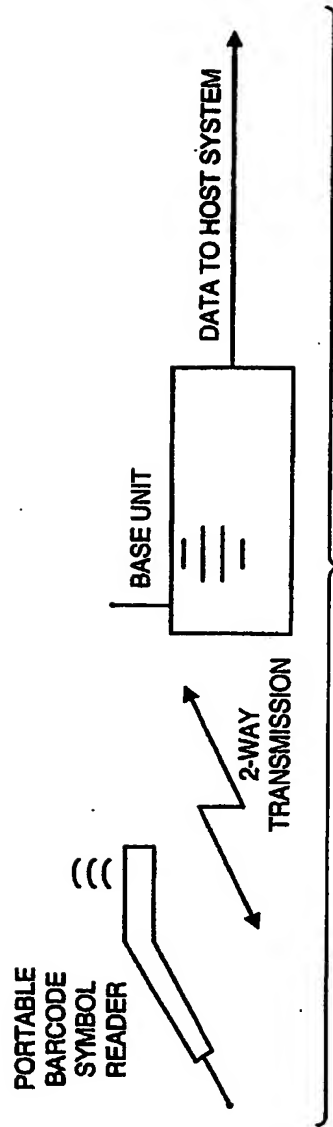


FIG. 18



FIG. 19

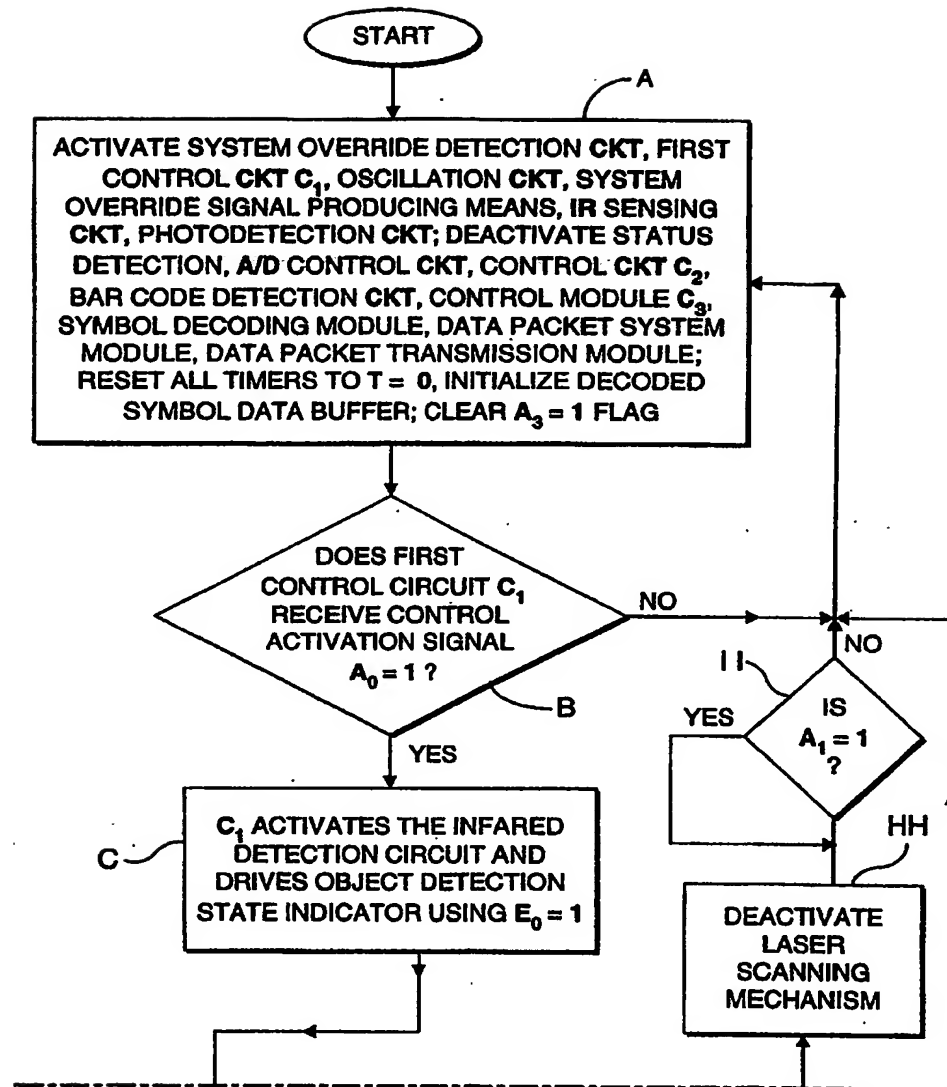
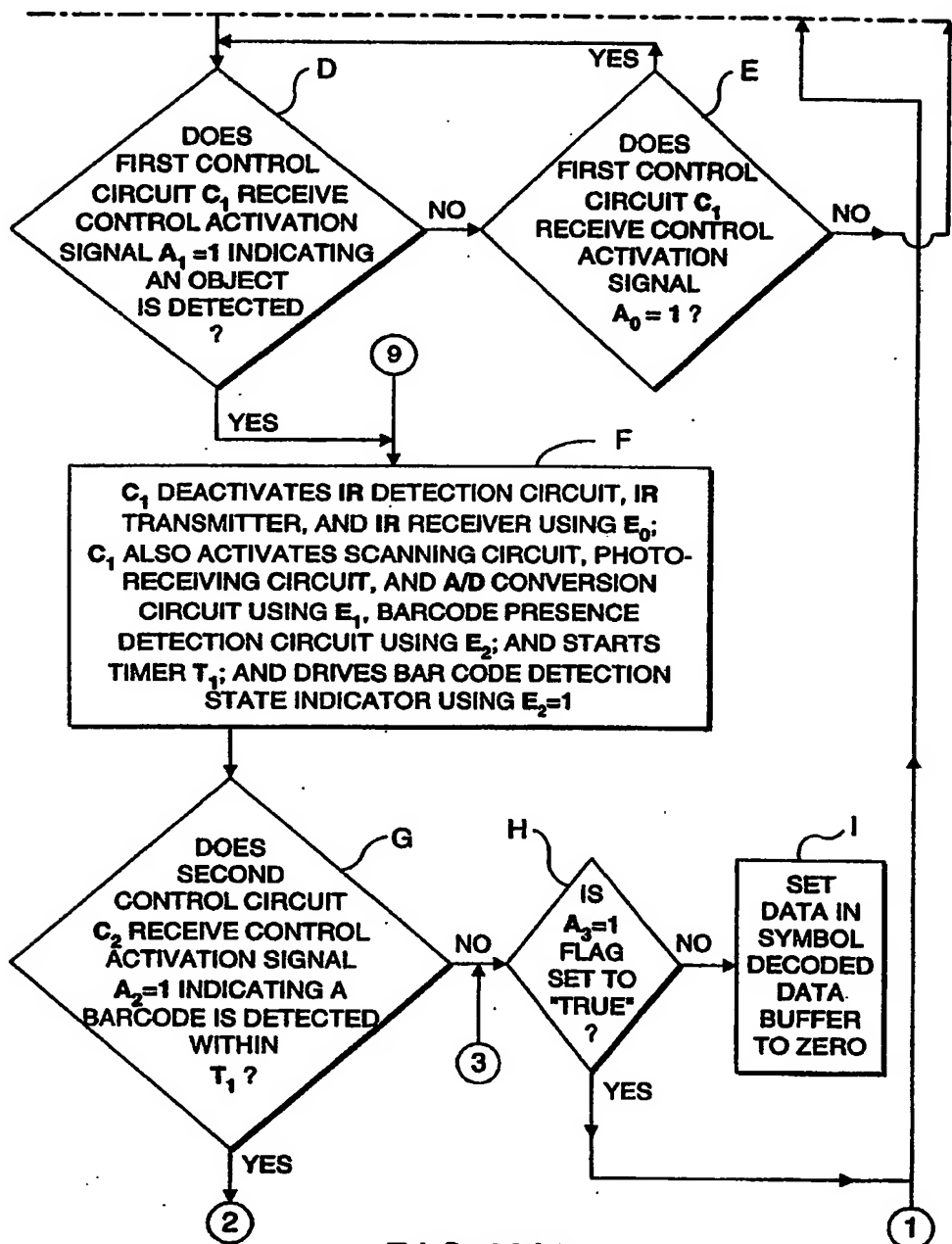
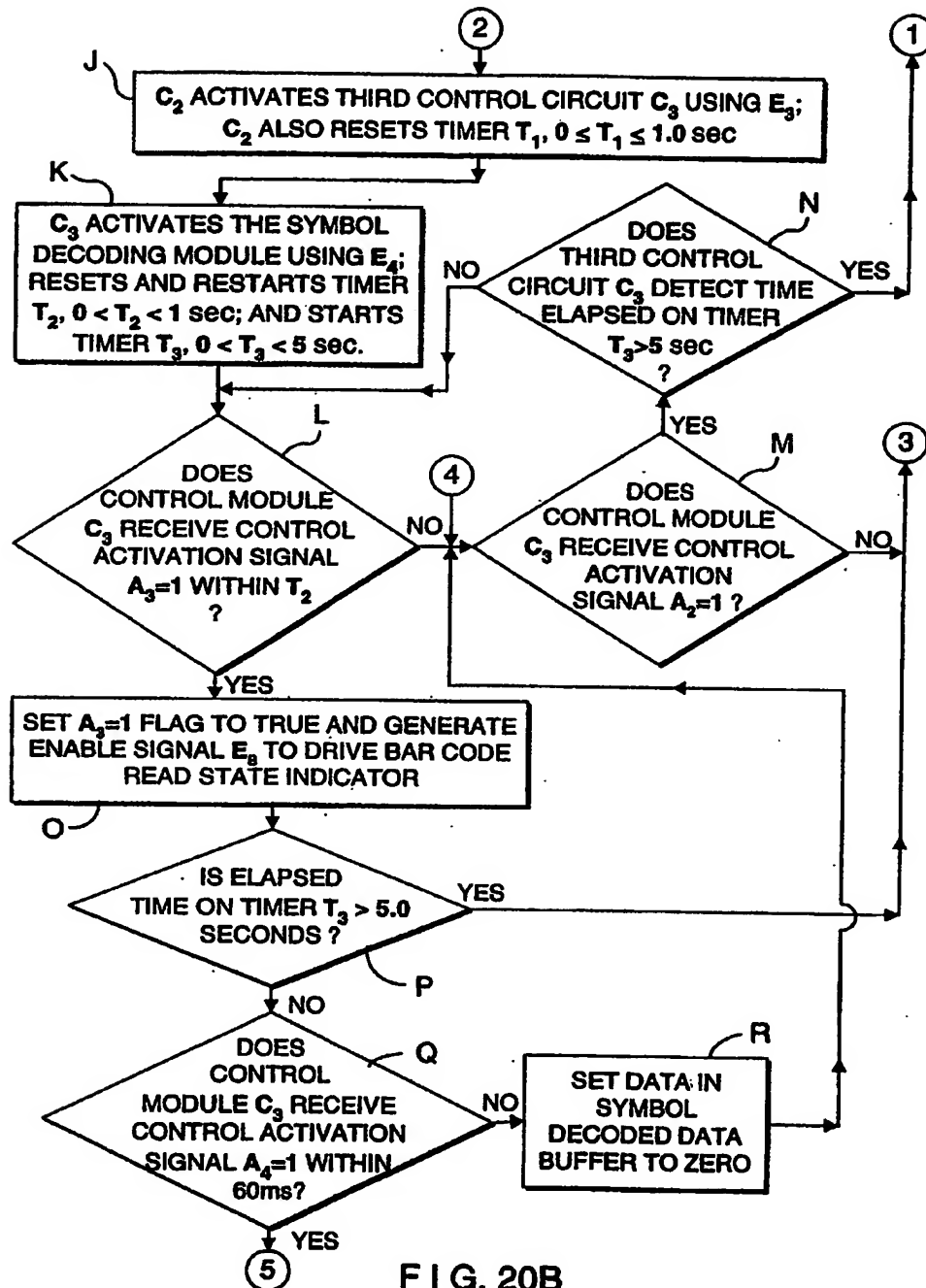


FIG. 20A1







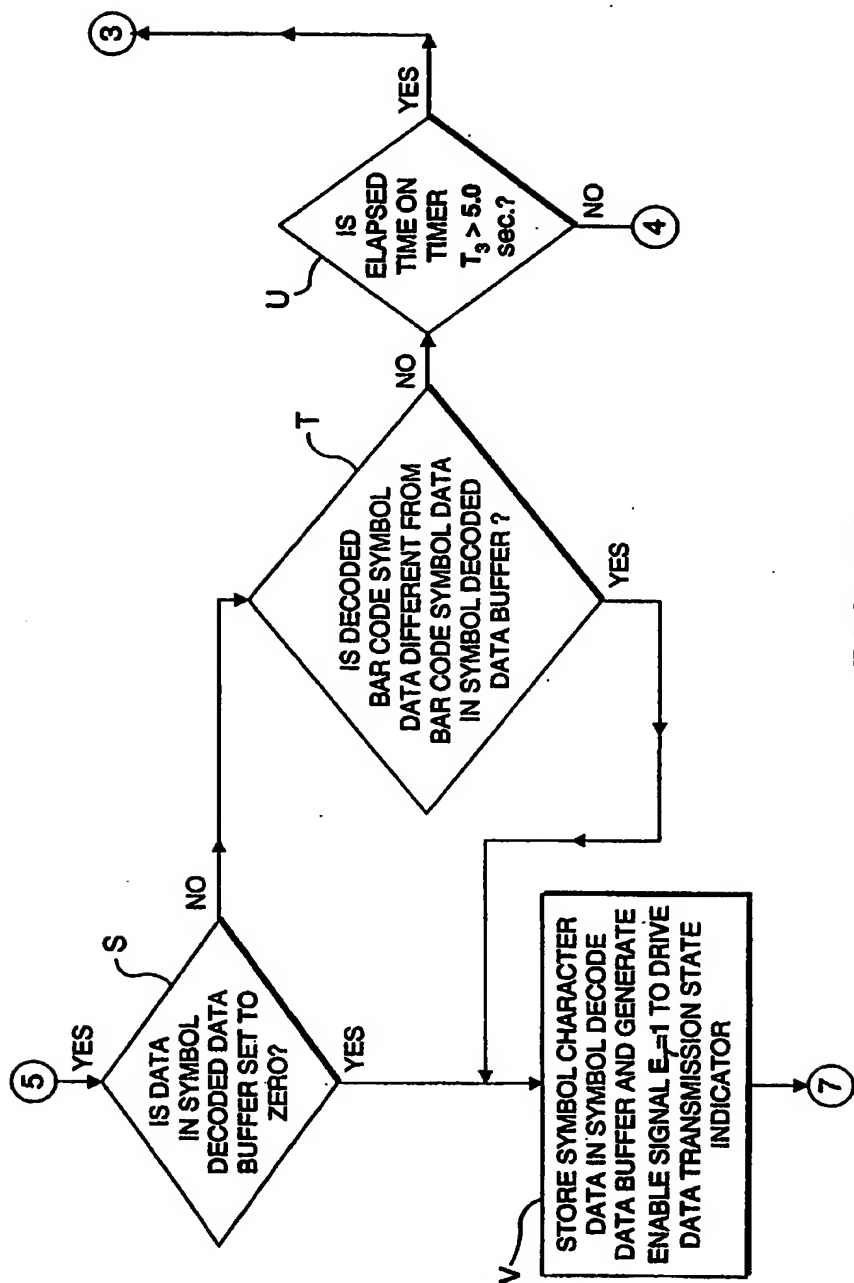


FIG. 20C

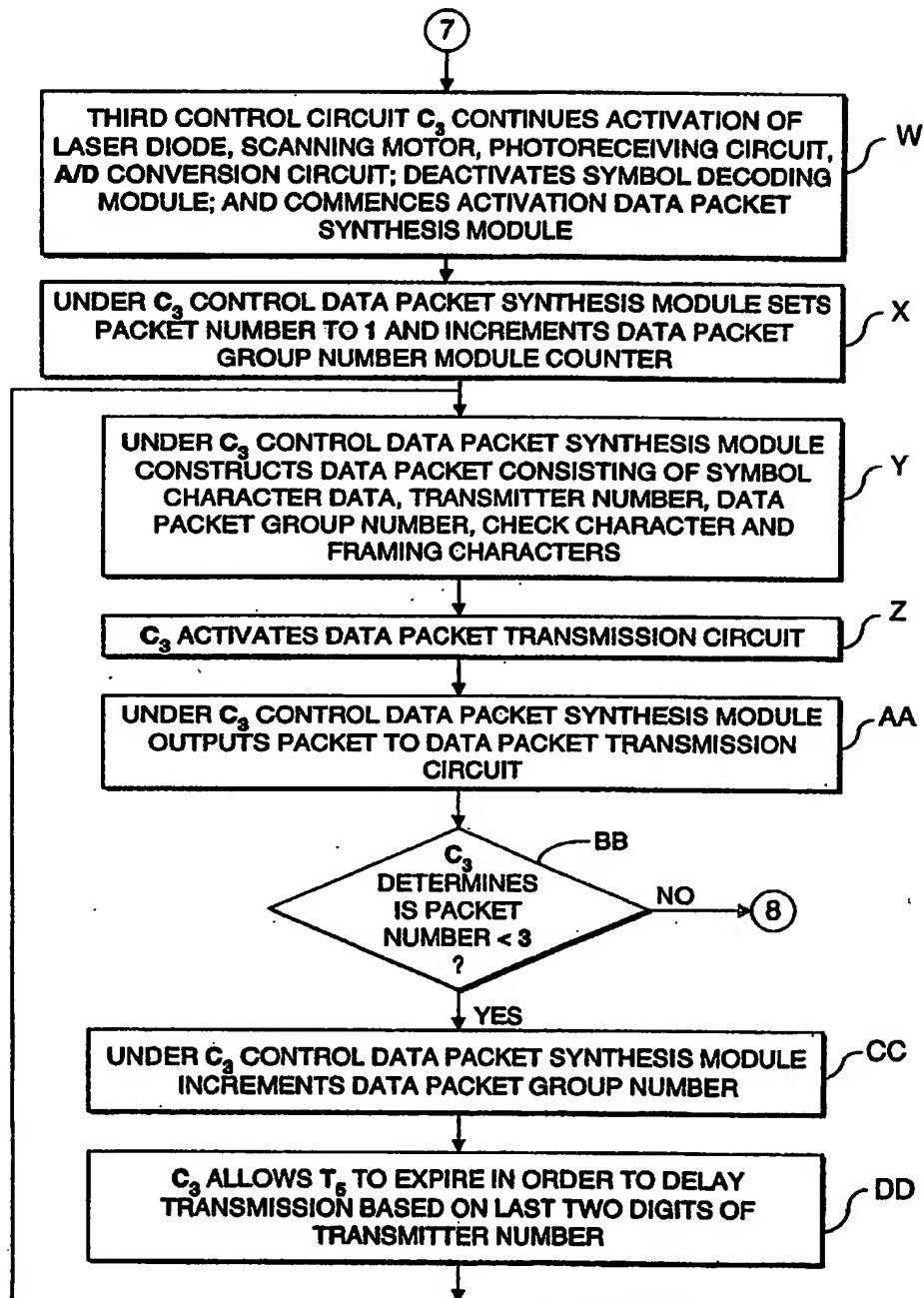


FIG. 20D

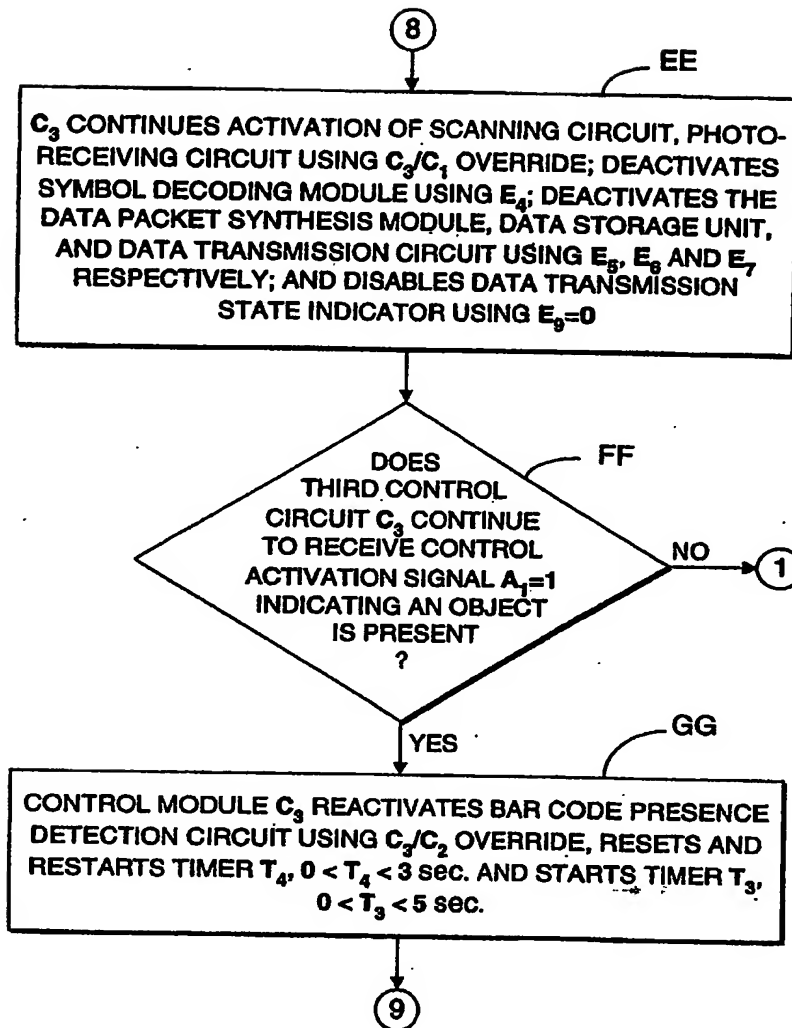


FIG. 20E

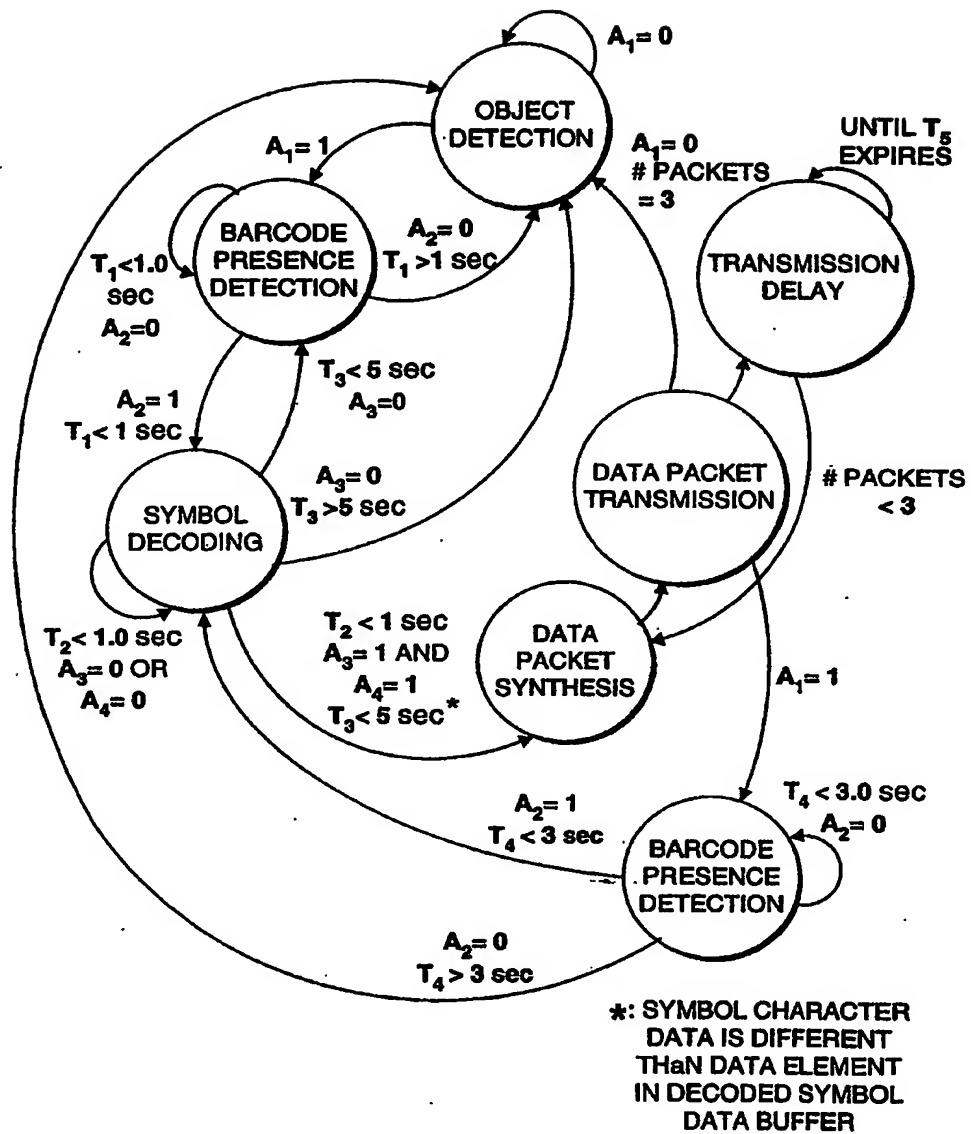


FIG. 21

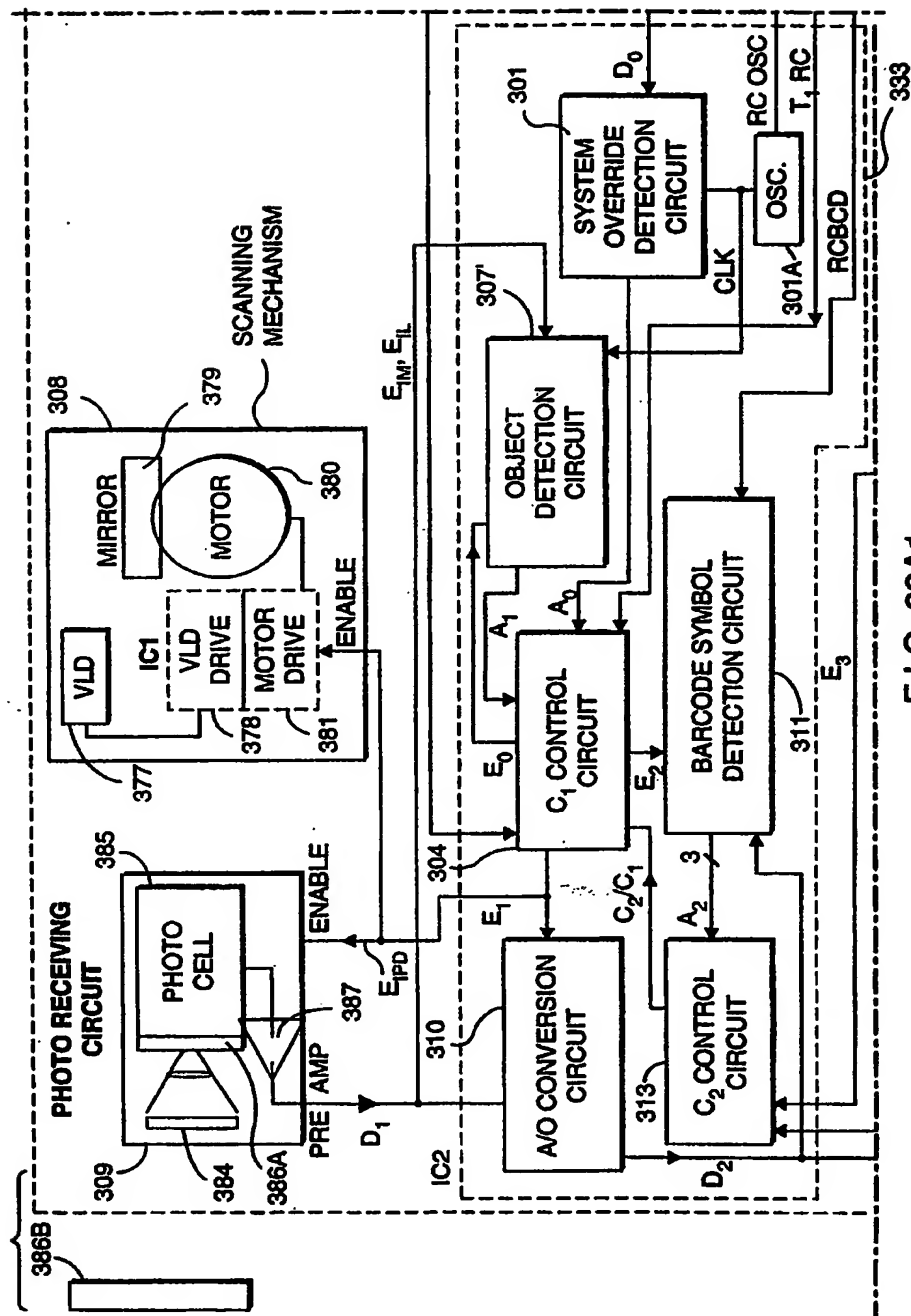


FIG. 22A1

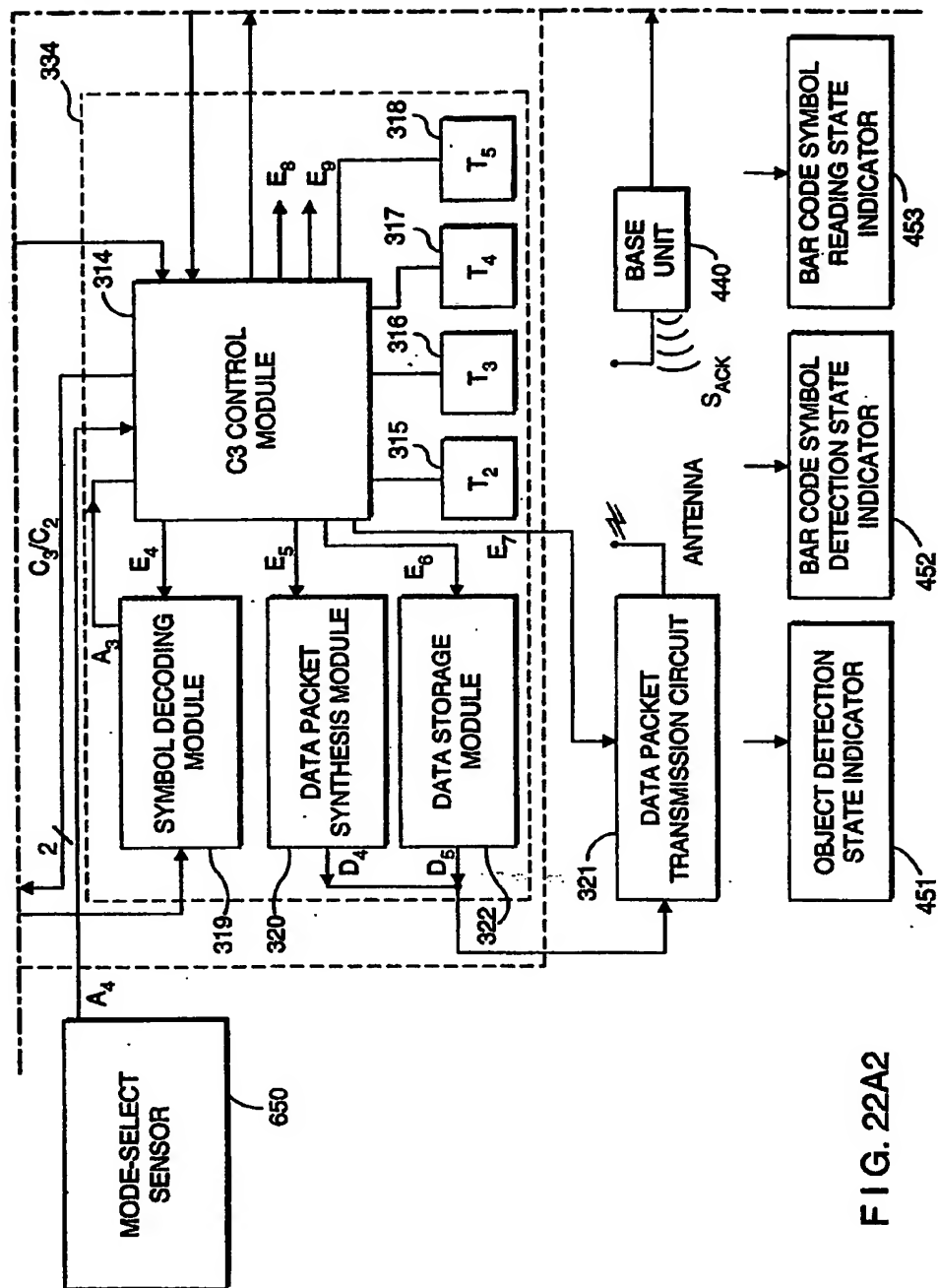


FIG. 22A2



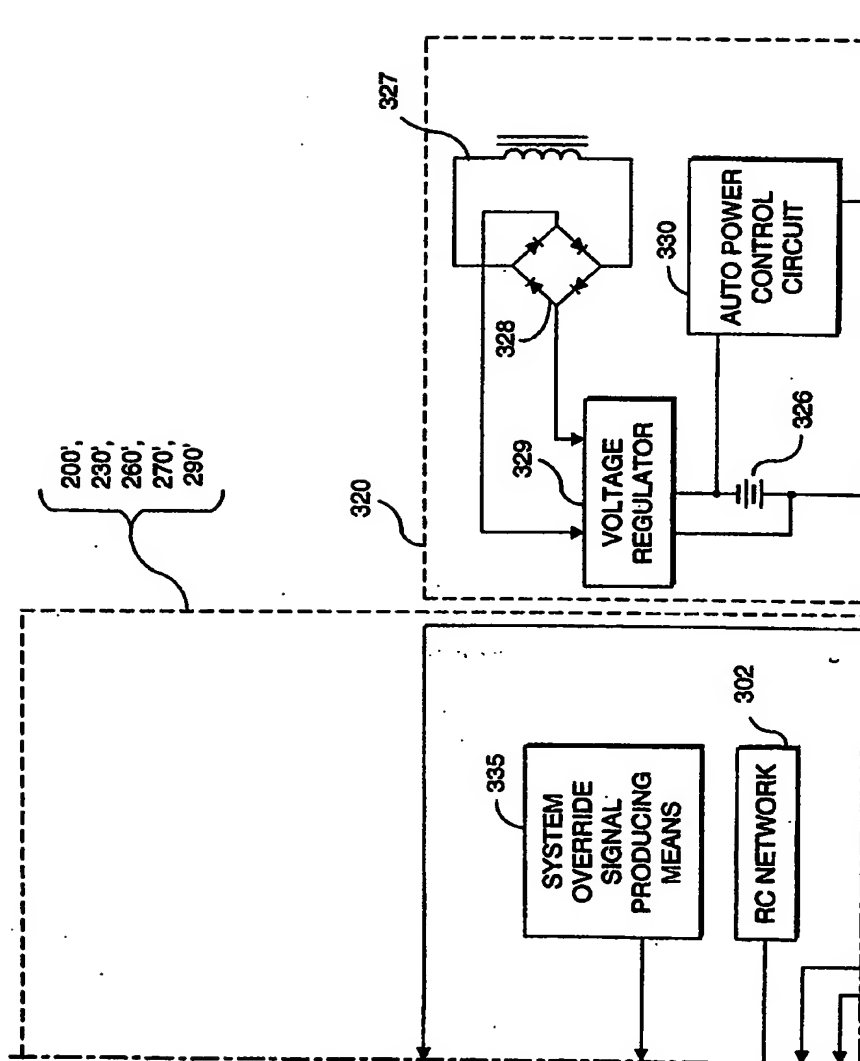


FIG. 22A3

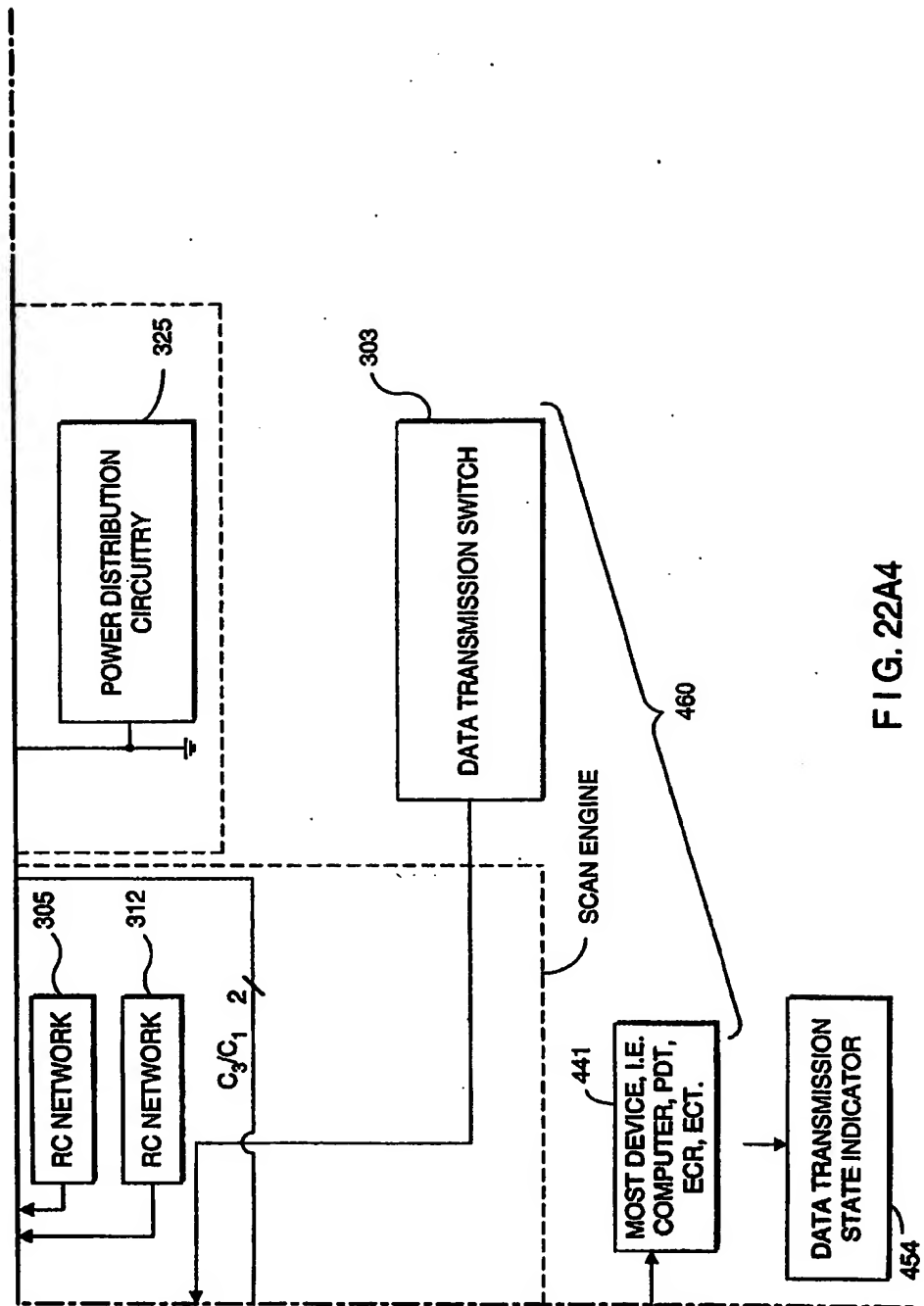


FIG. 22A4

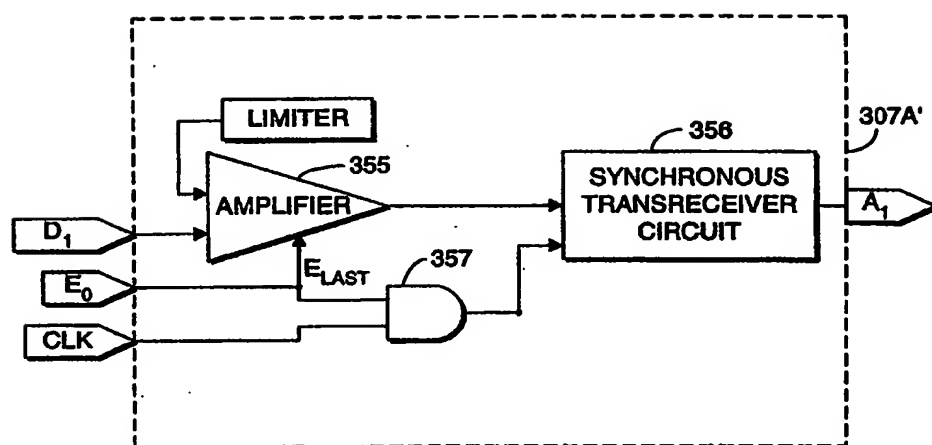


FIG. 22B

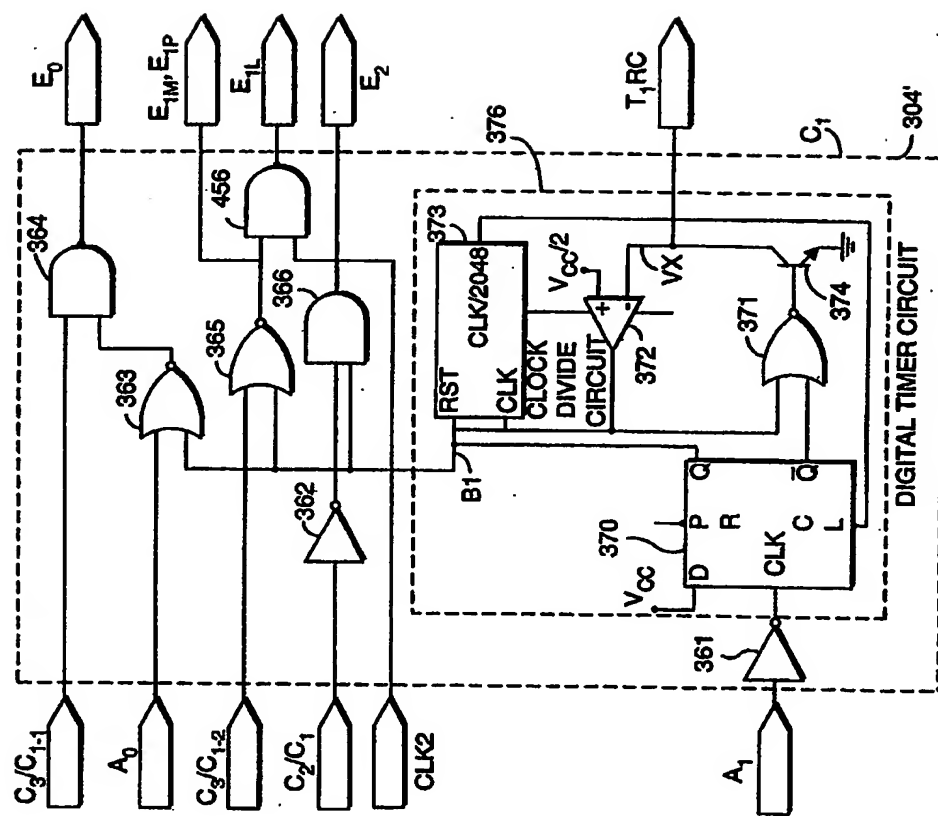


FIG. 22C

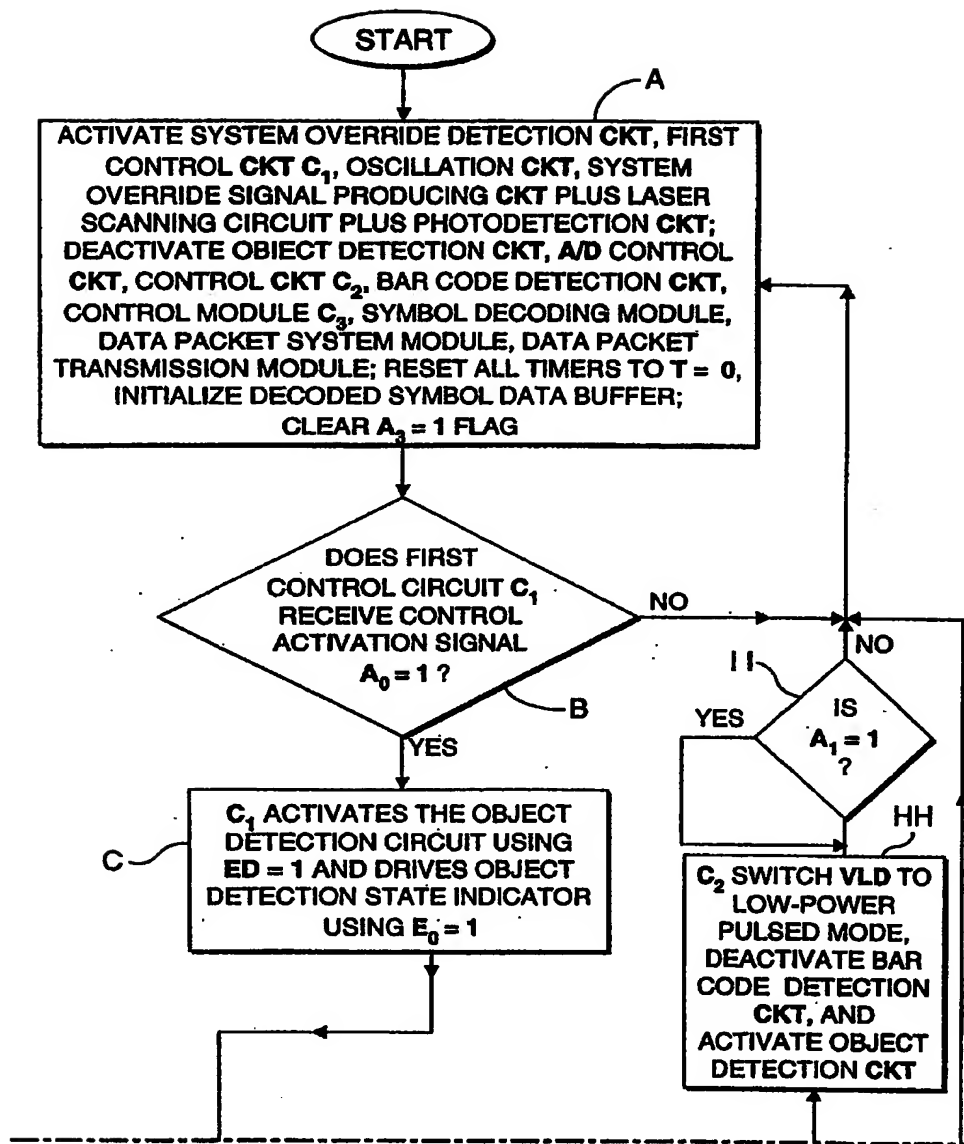


FIG. 23A1

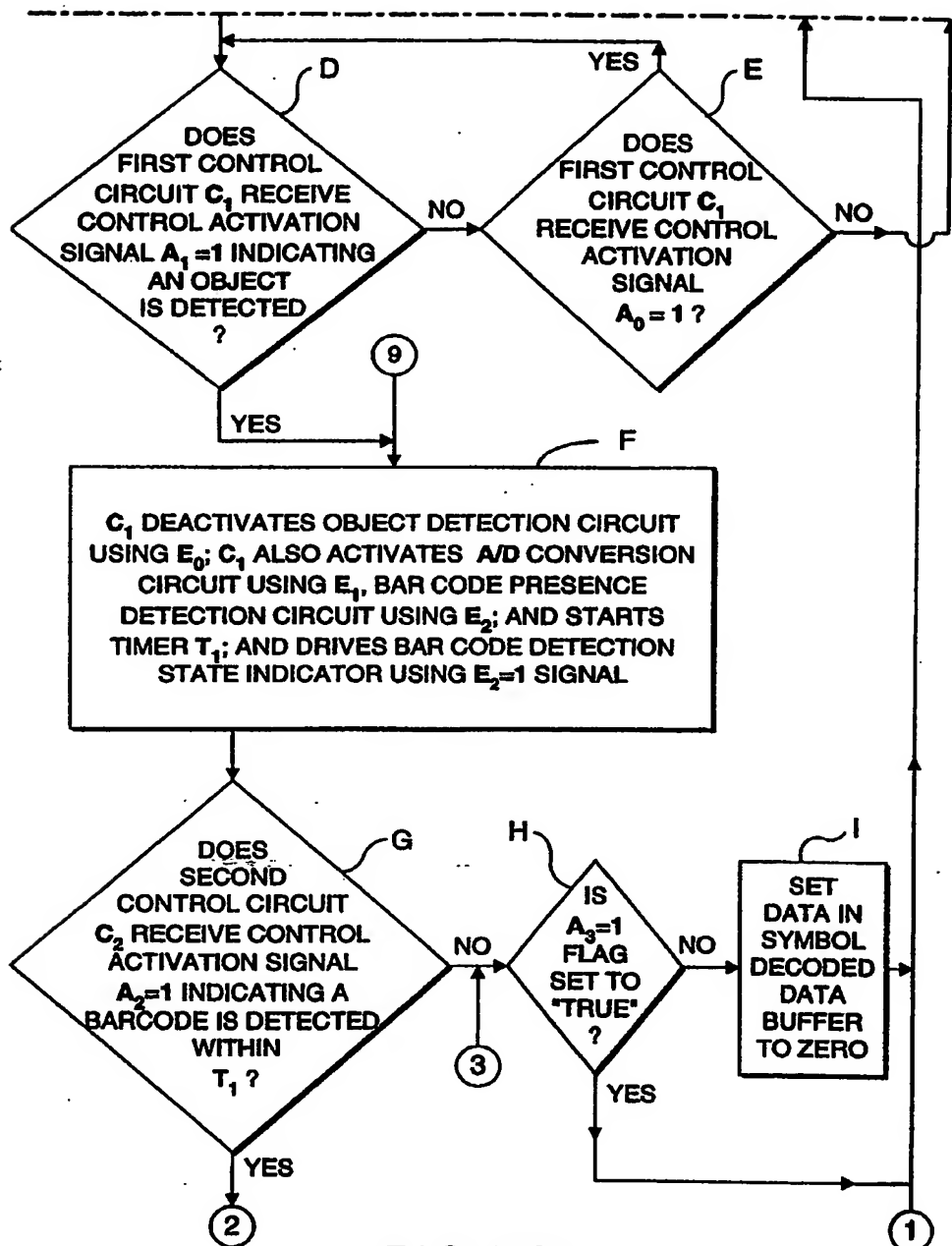


FIG. 23A2

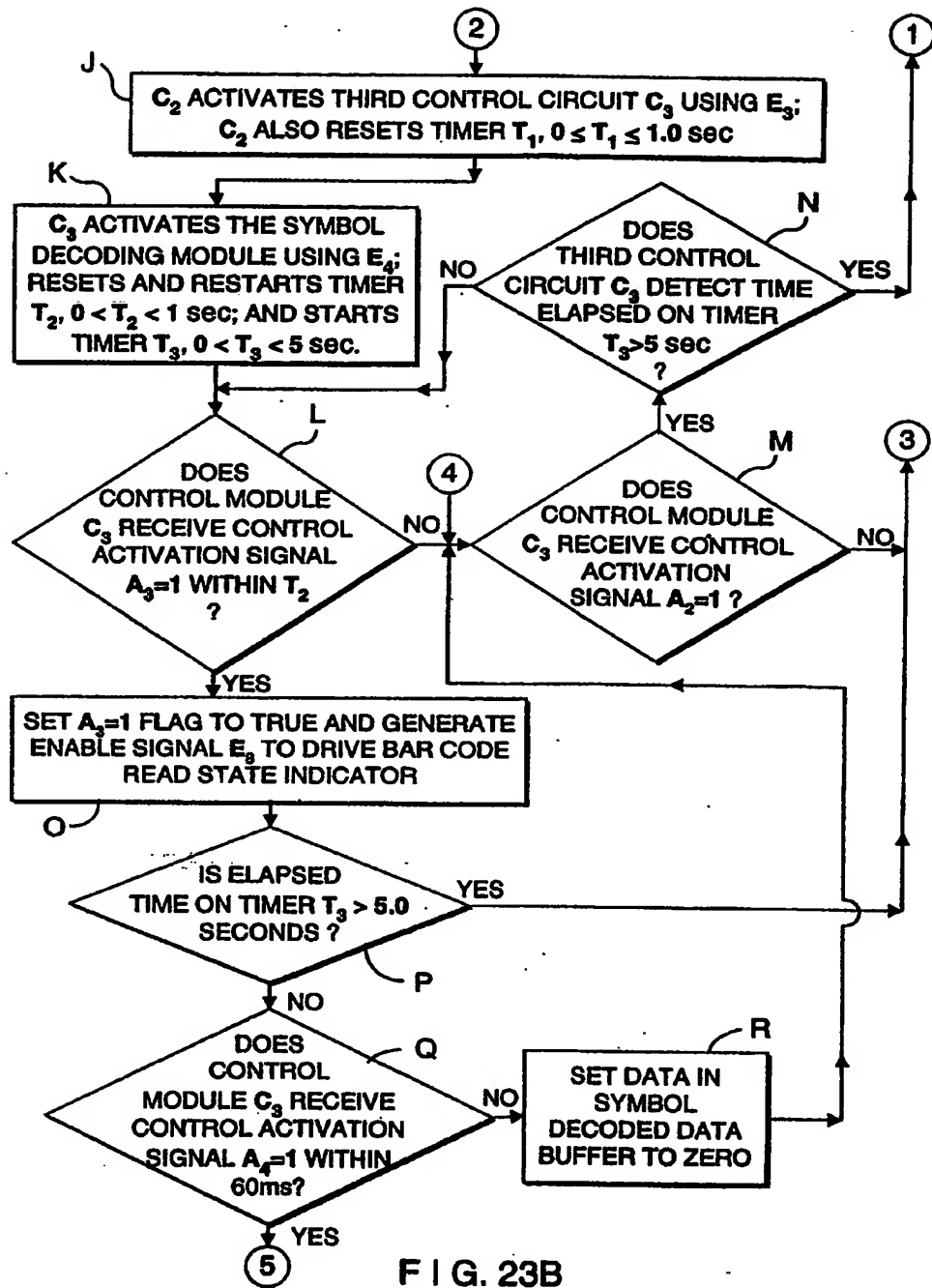


FIG. 23B

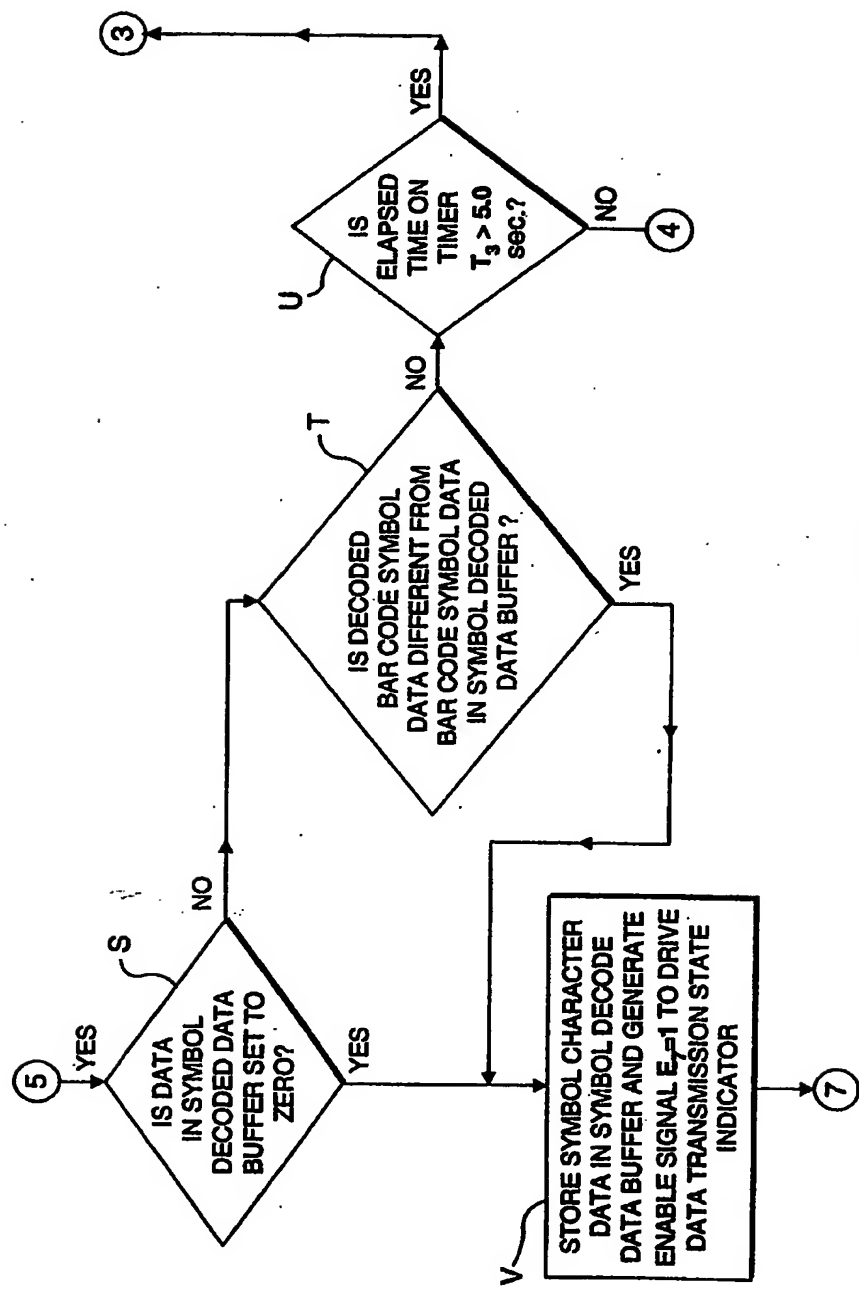


FIG. 23C



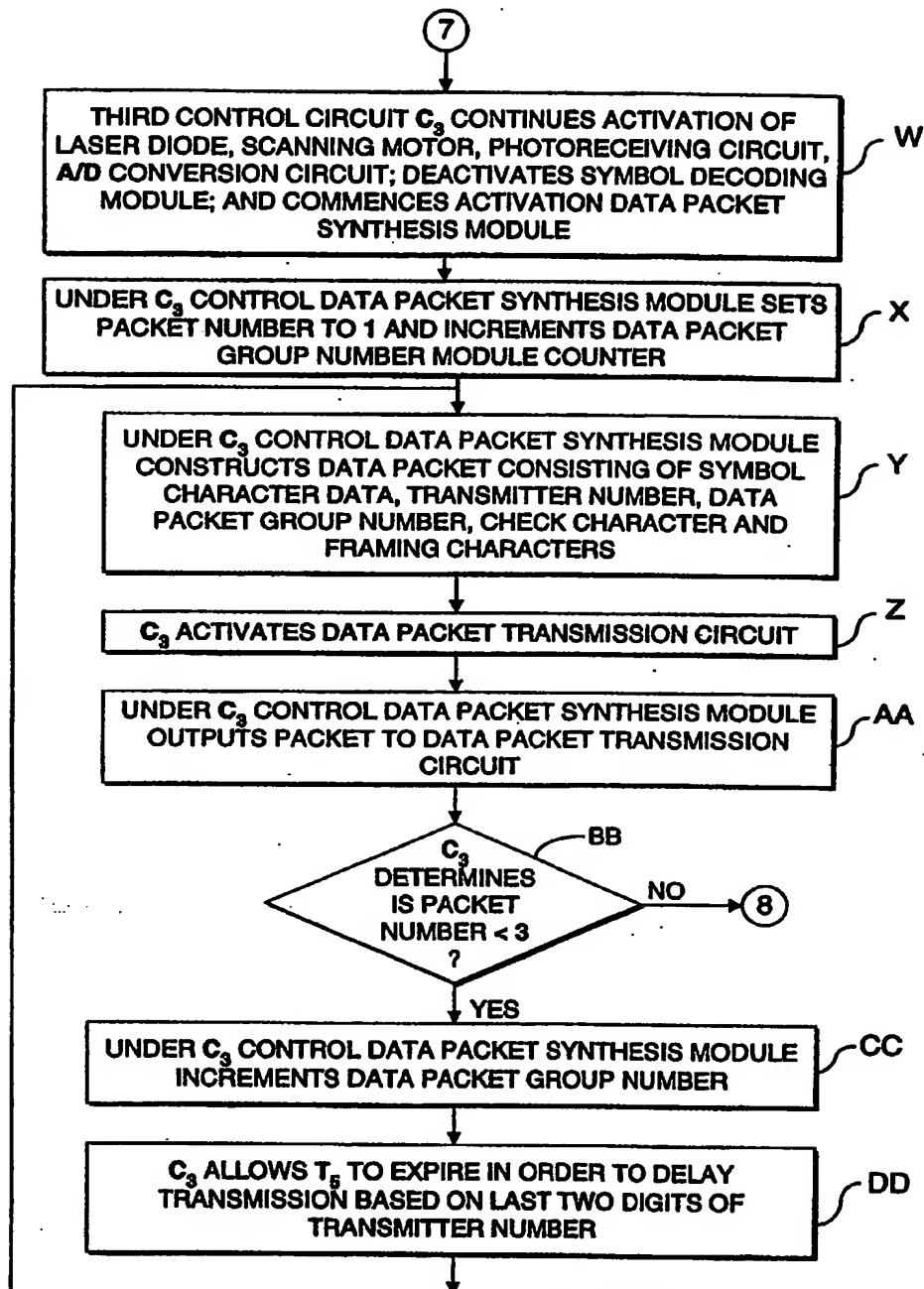


FIG. 23D

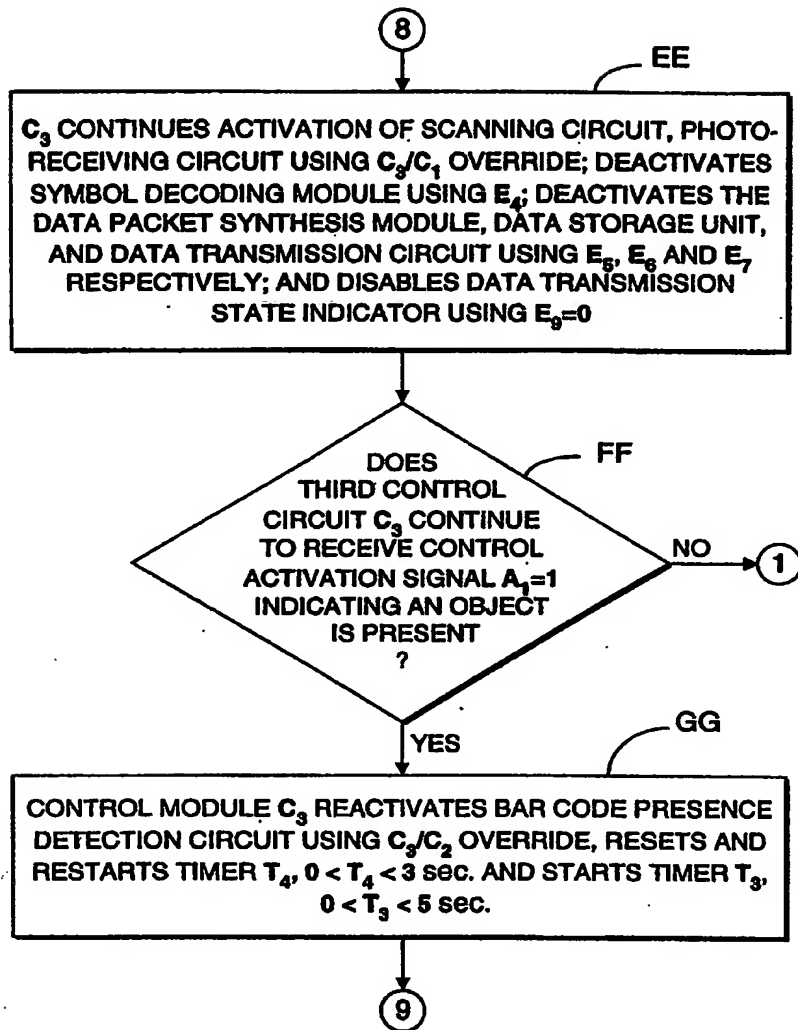


FIG. 23E

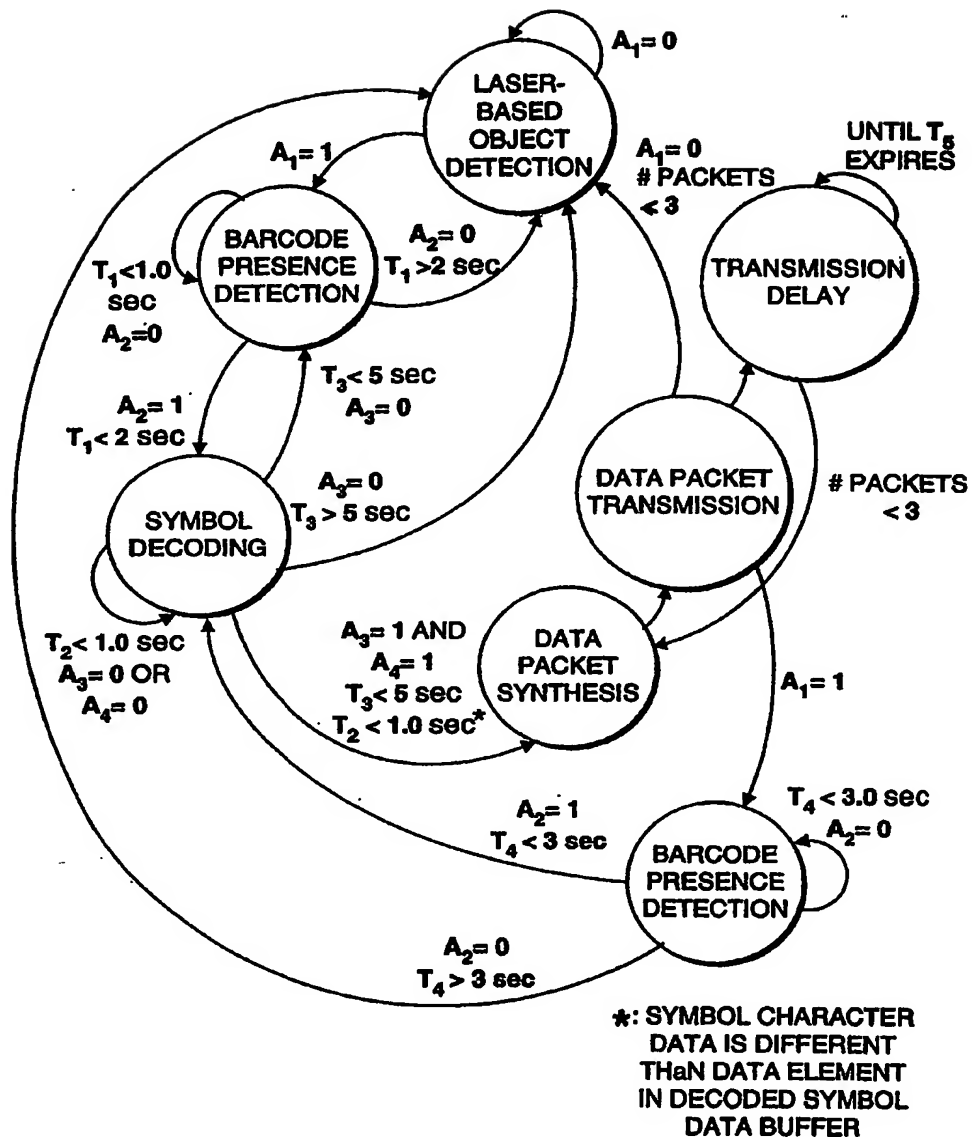


FIG. 24

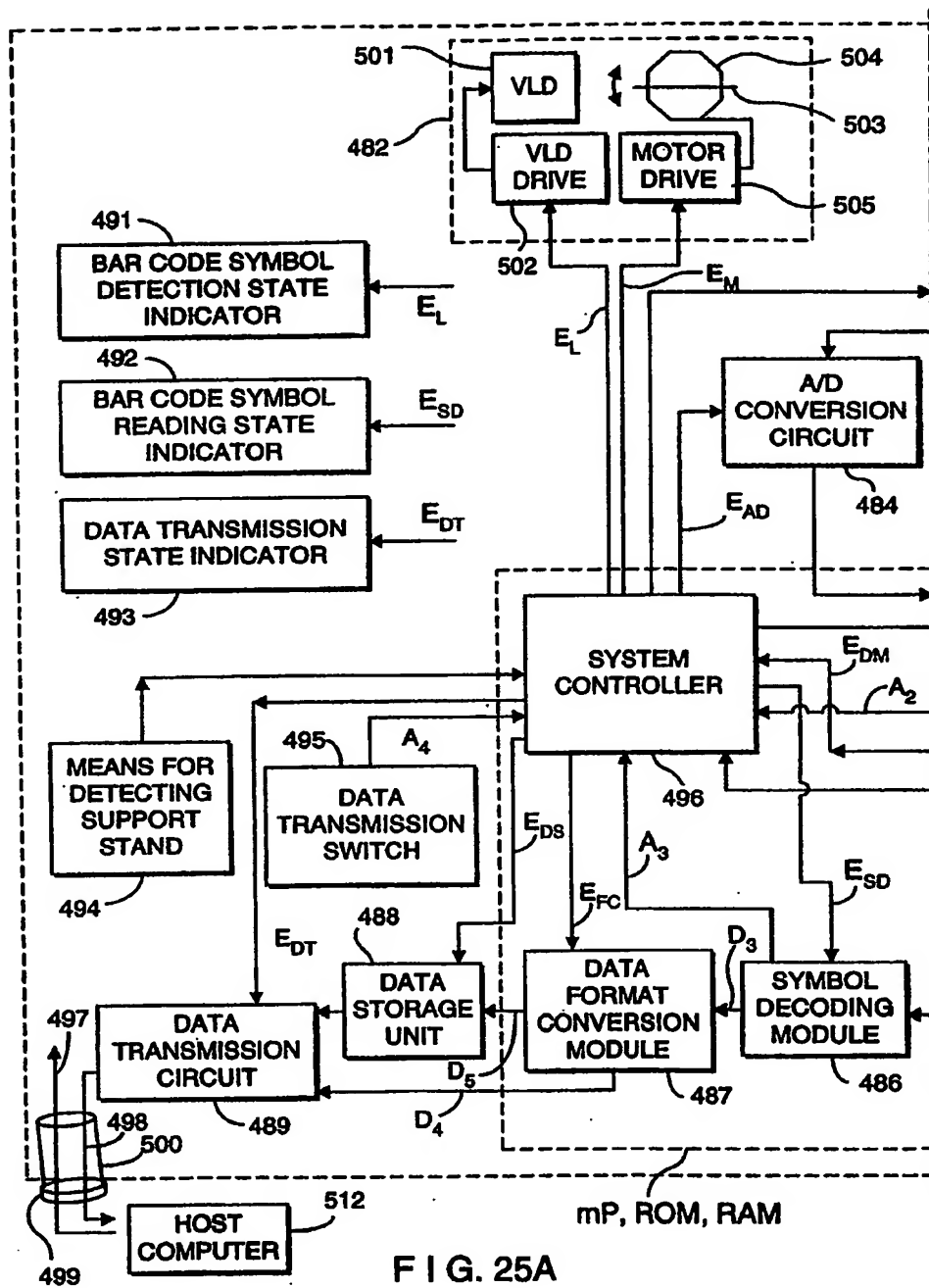


FIG. 25A

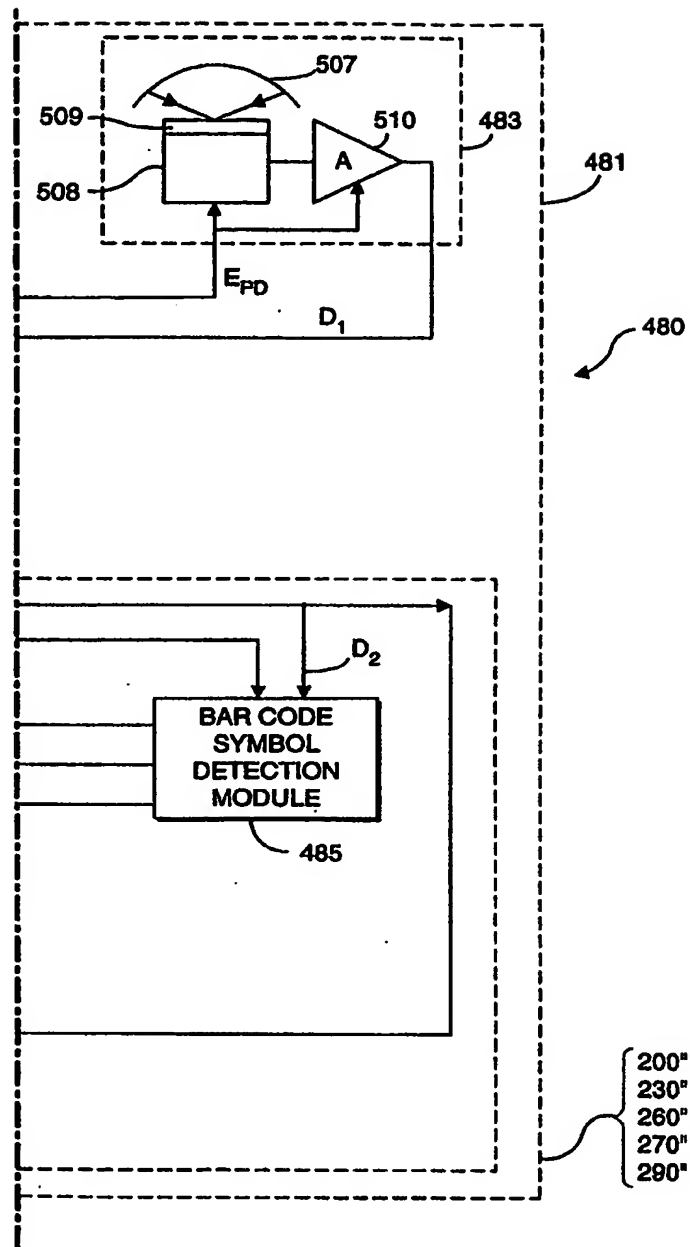
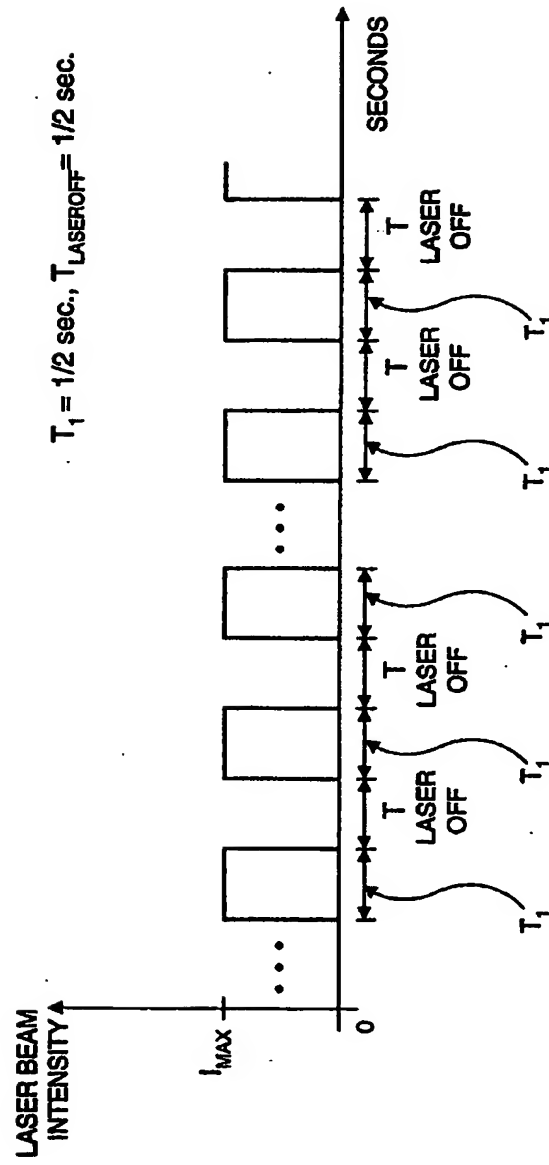


FIG. 25B



**FIG. 26**

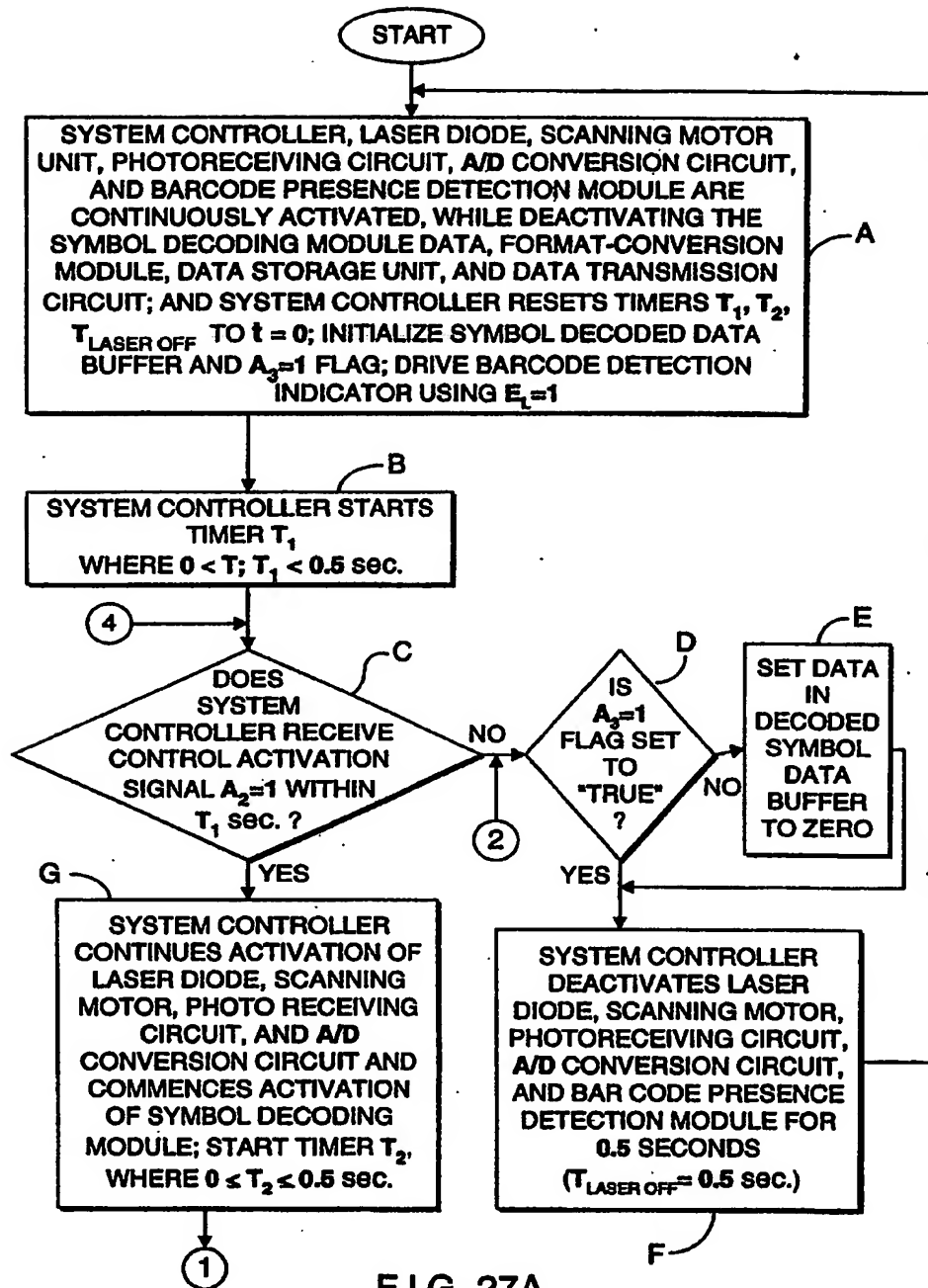


FIG. 27A

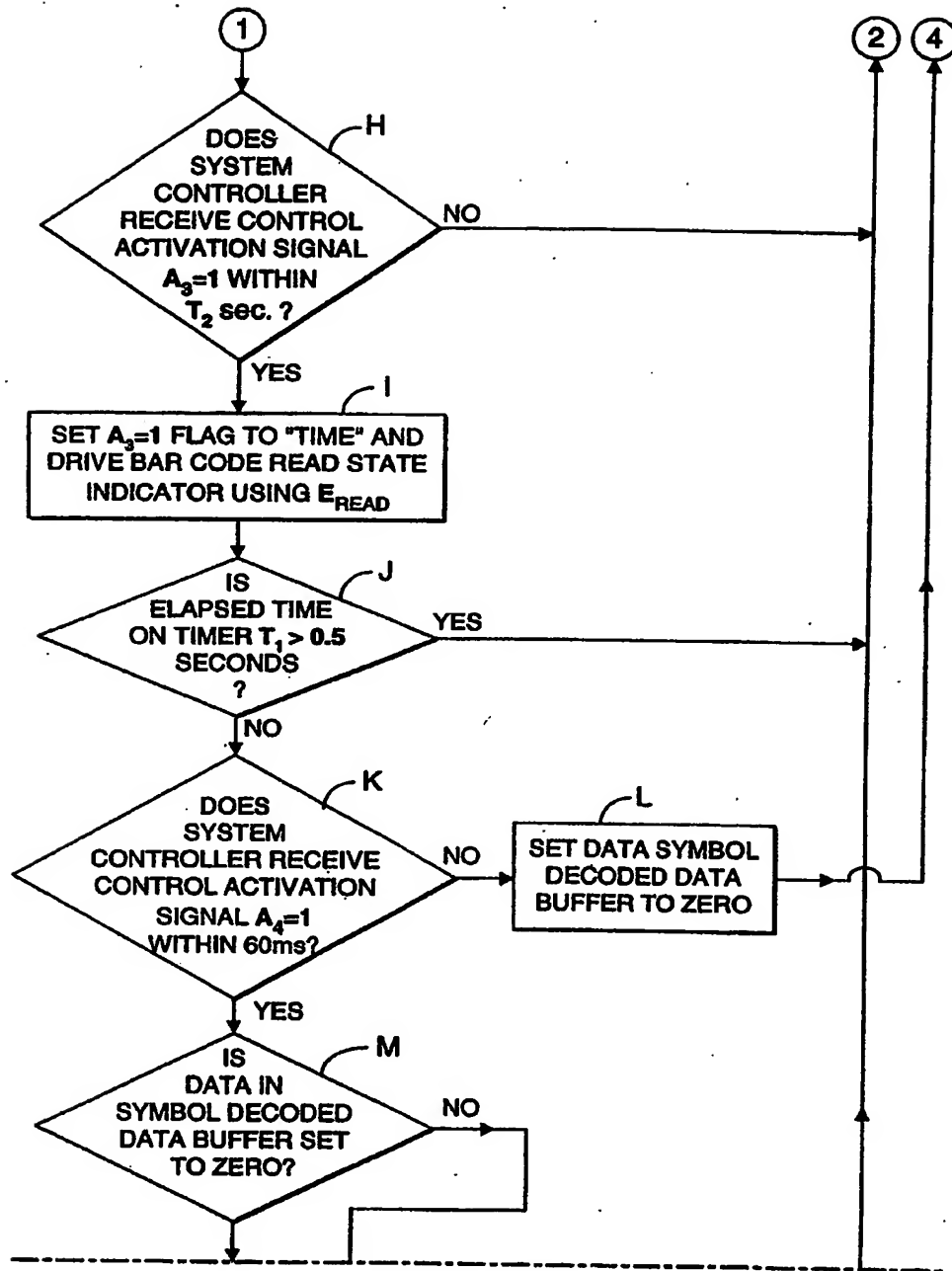


FIG. 27B1



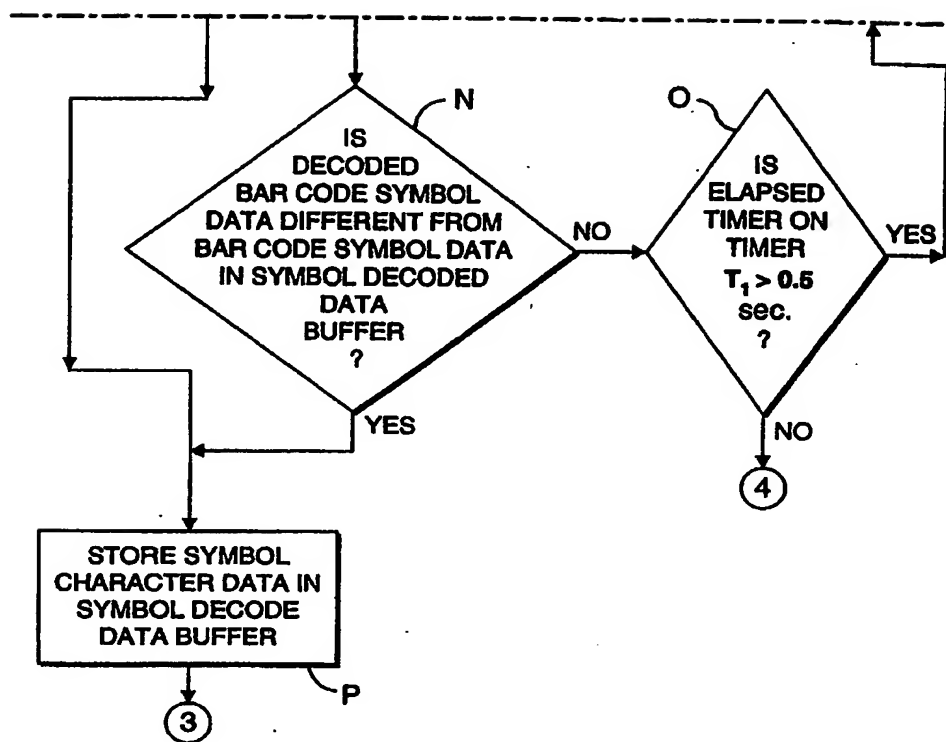


FIG. 27B2

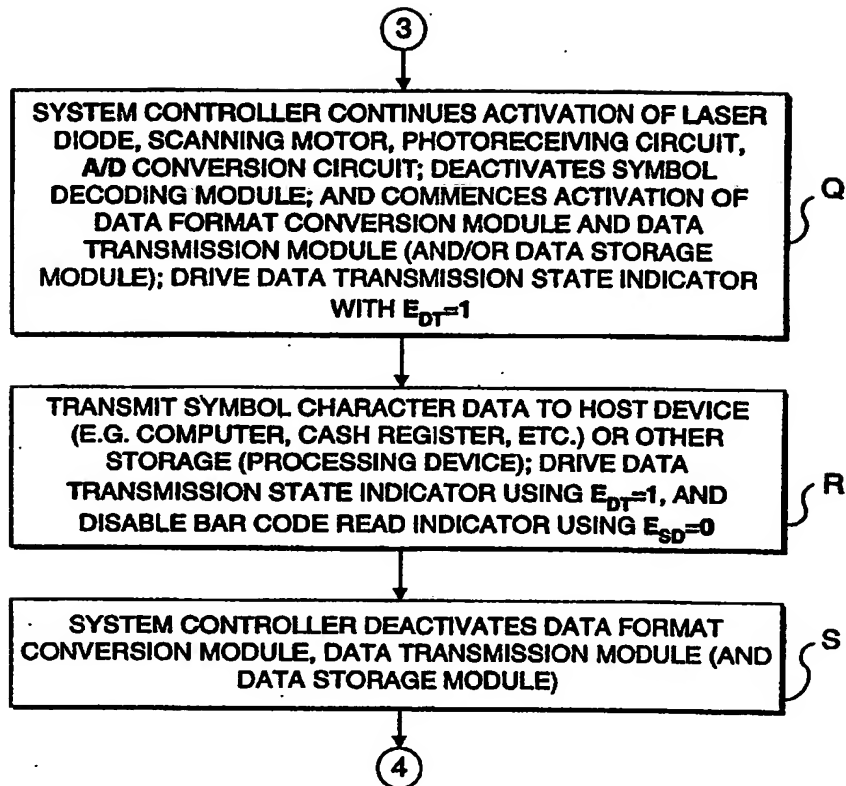


FIG. 27C

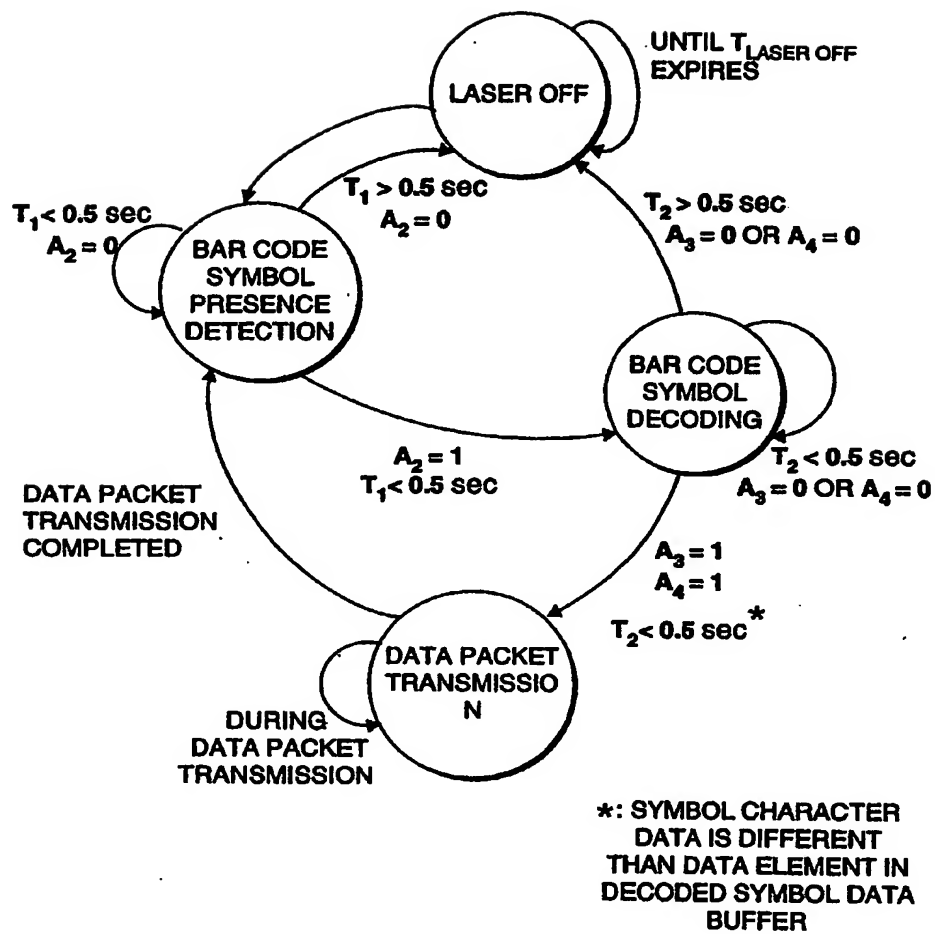


FIG. 28

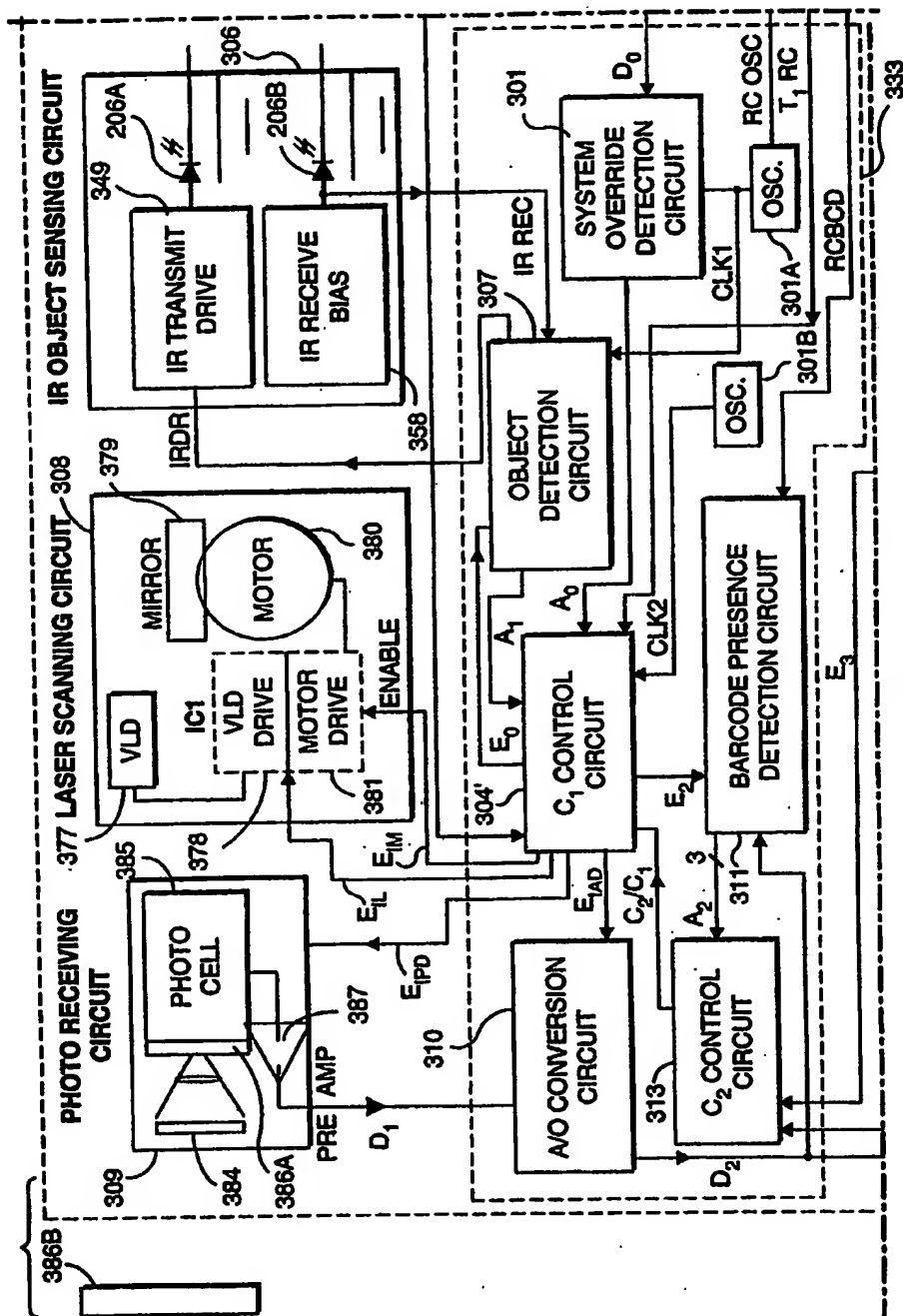


FIG. 29A1

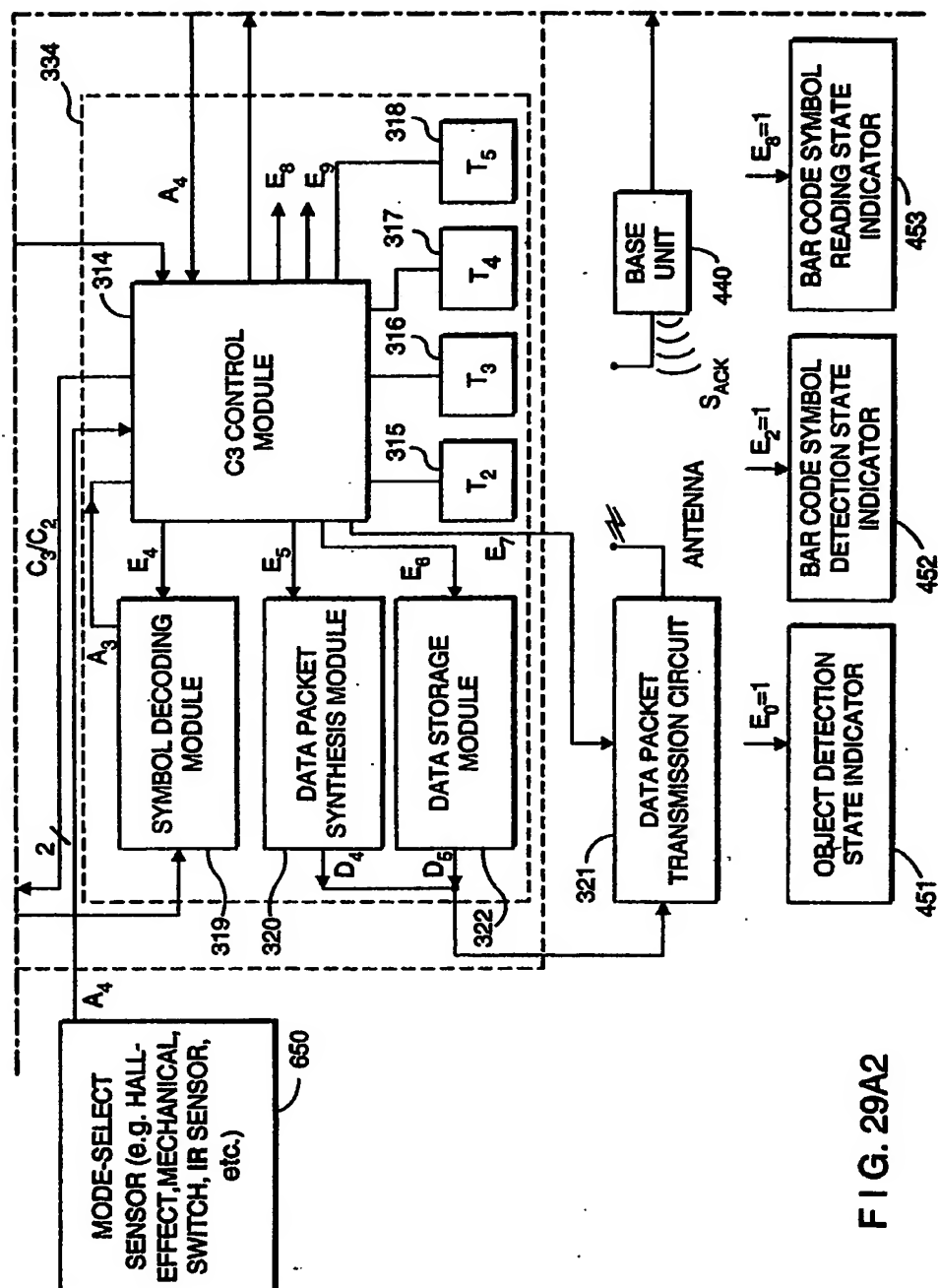


FIG. 29A2

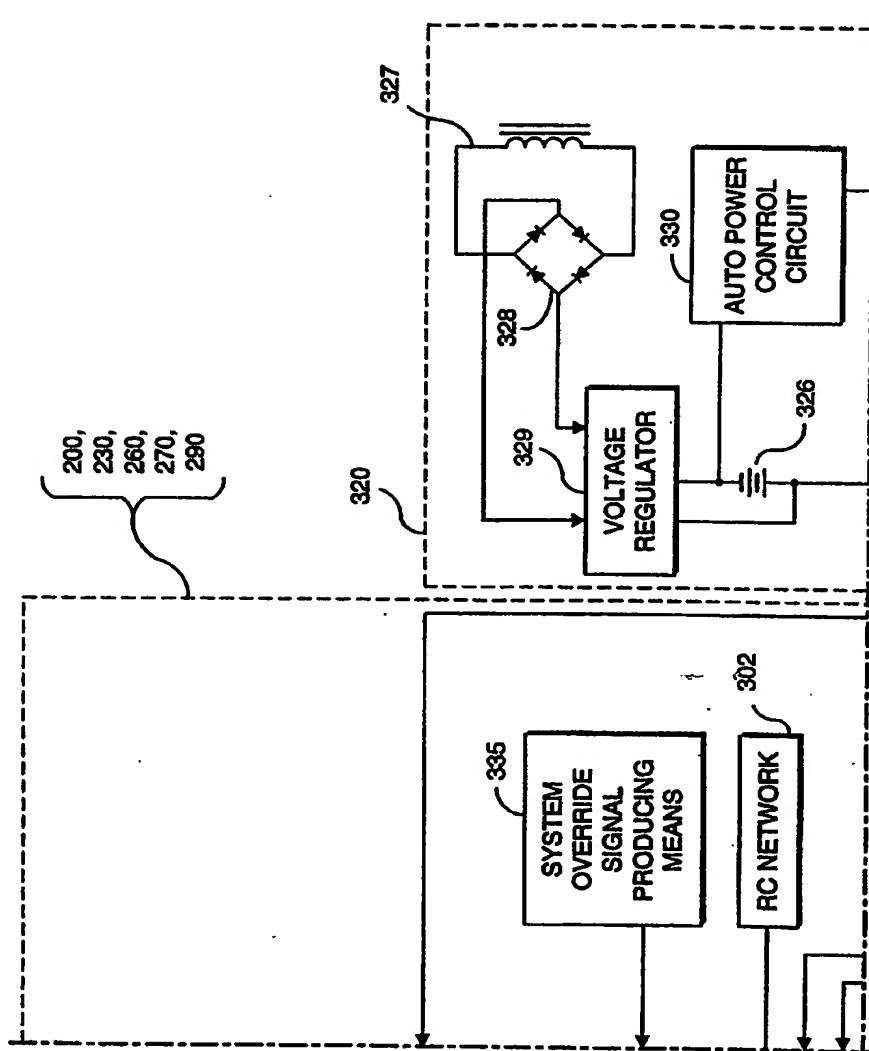


FIG. 29A3

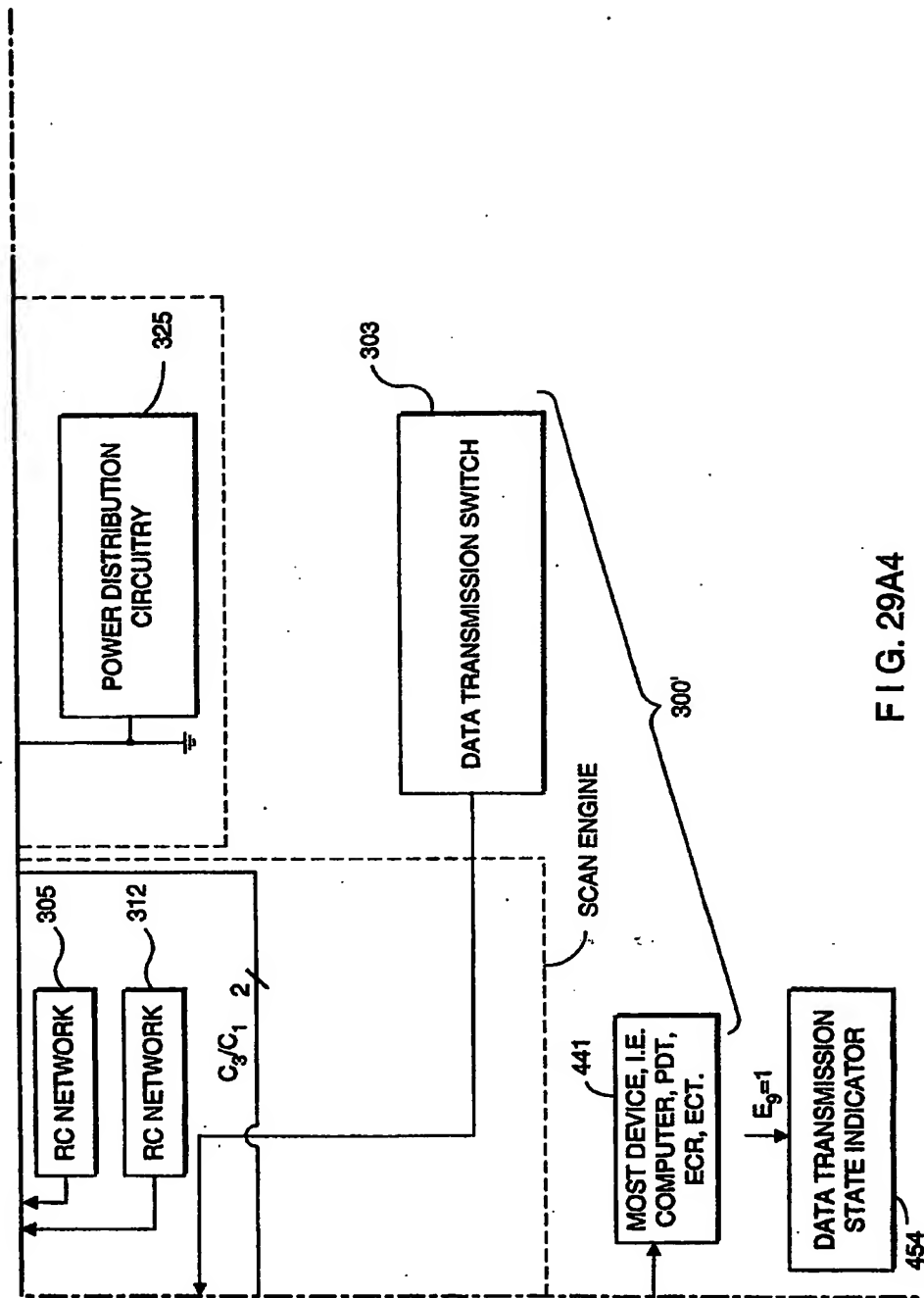


FIG. 29A4

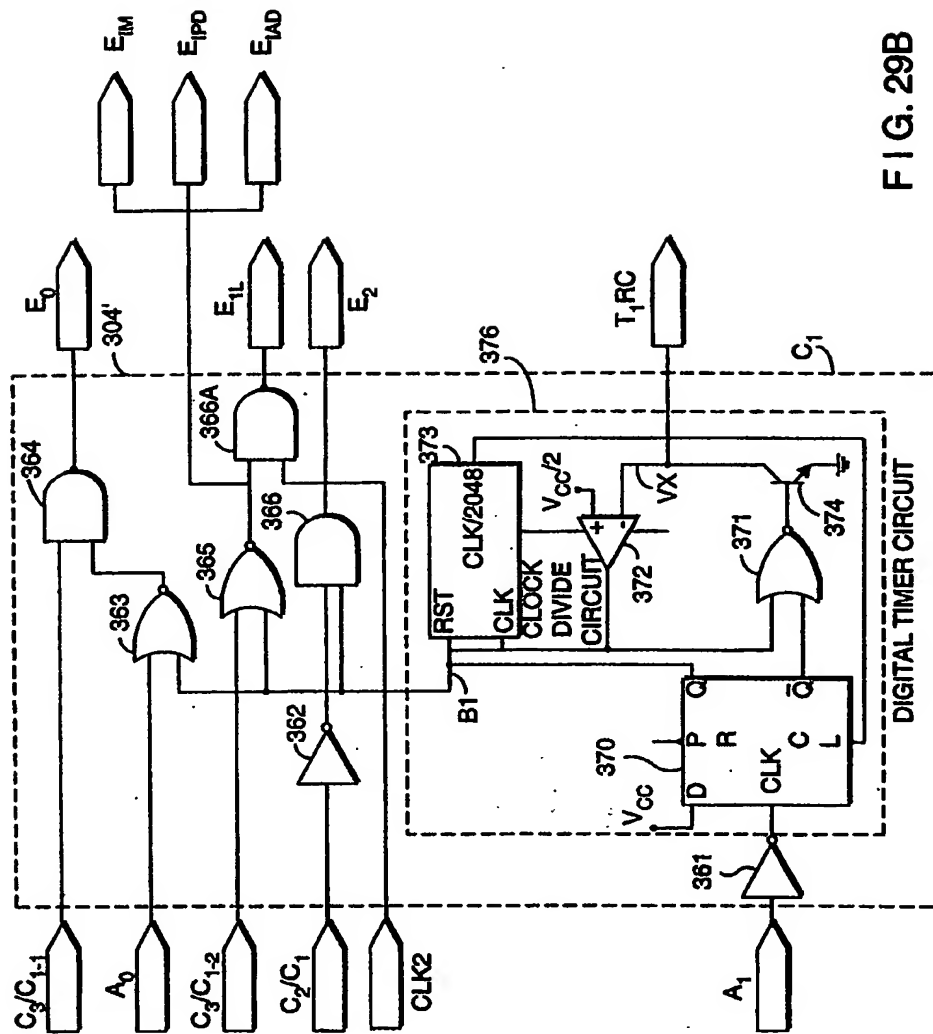


FIG. 29B



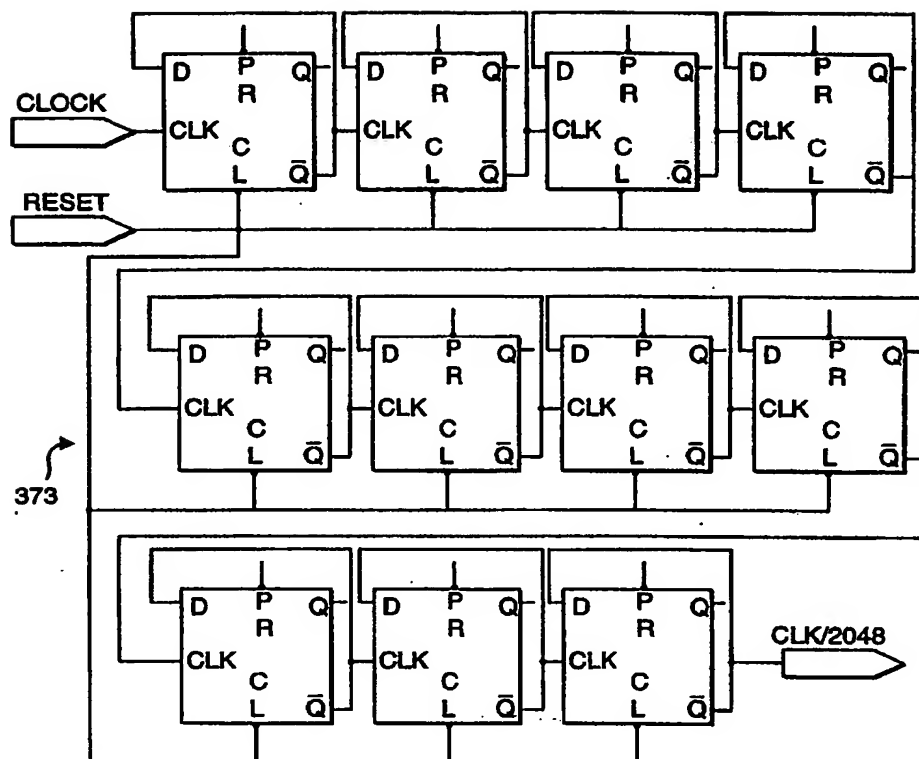


FIG. 29C

$$\left\{ \begin{array}{l} E_0 = \overline{(B1 + A_0) (C_3 / C_{1-1})} \\ E_{IM} = E_{IPD} = E_{IAD} = \overline{(C_3 / C_{1-2}) + B1} \\ E_L = \overline{[(C_3 / C_{1-1}) + B1]} [B2] \\ E_2 = \overline{(C_2 / C_1) (B1)} \end{array} \right.$$

FIG. 29D

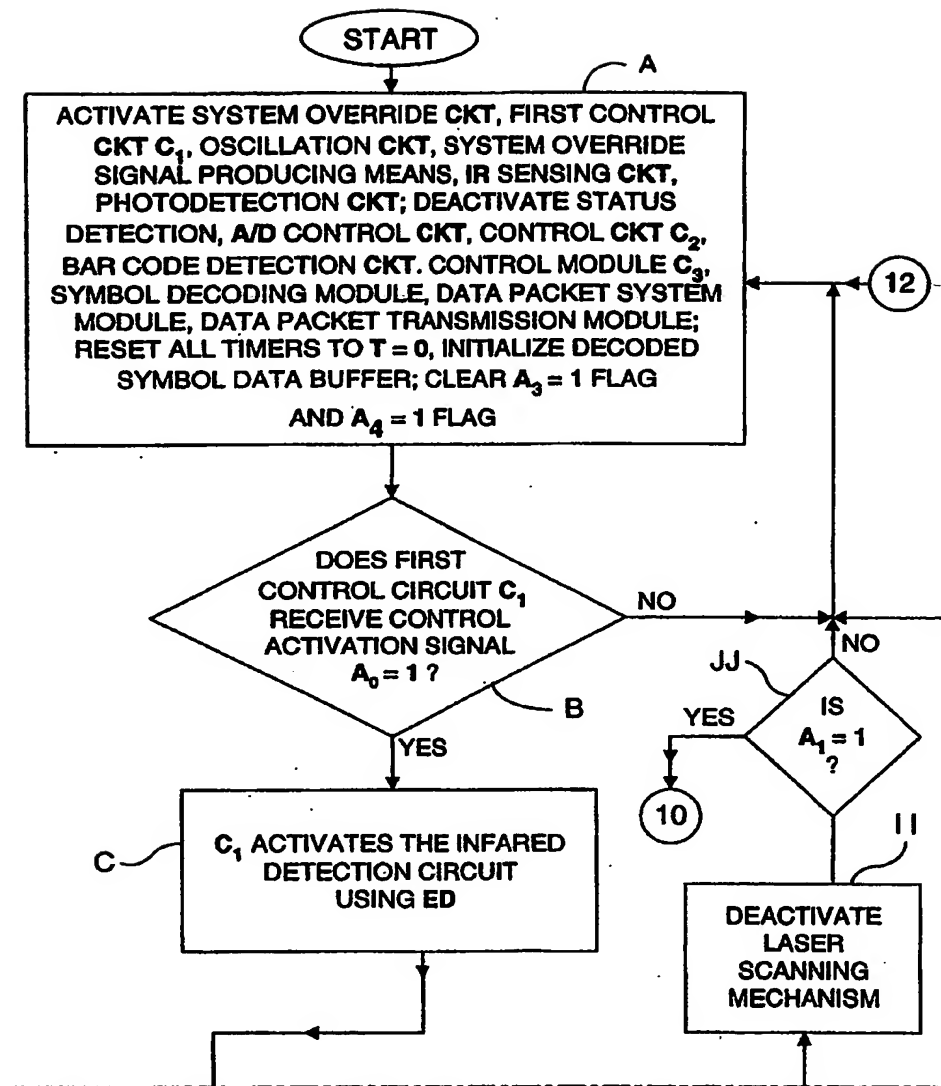


FIG. 30A1

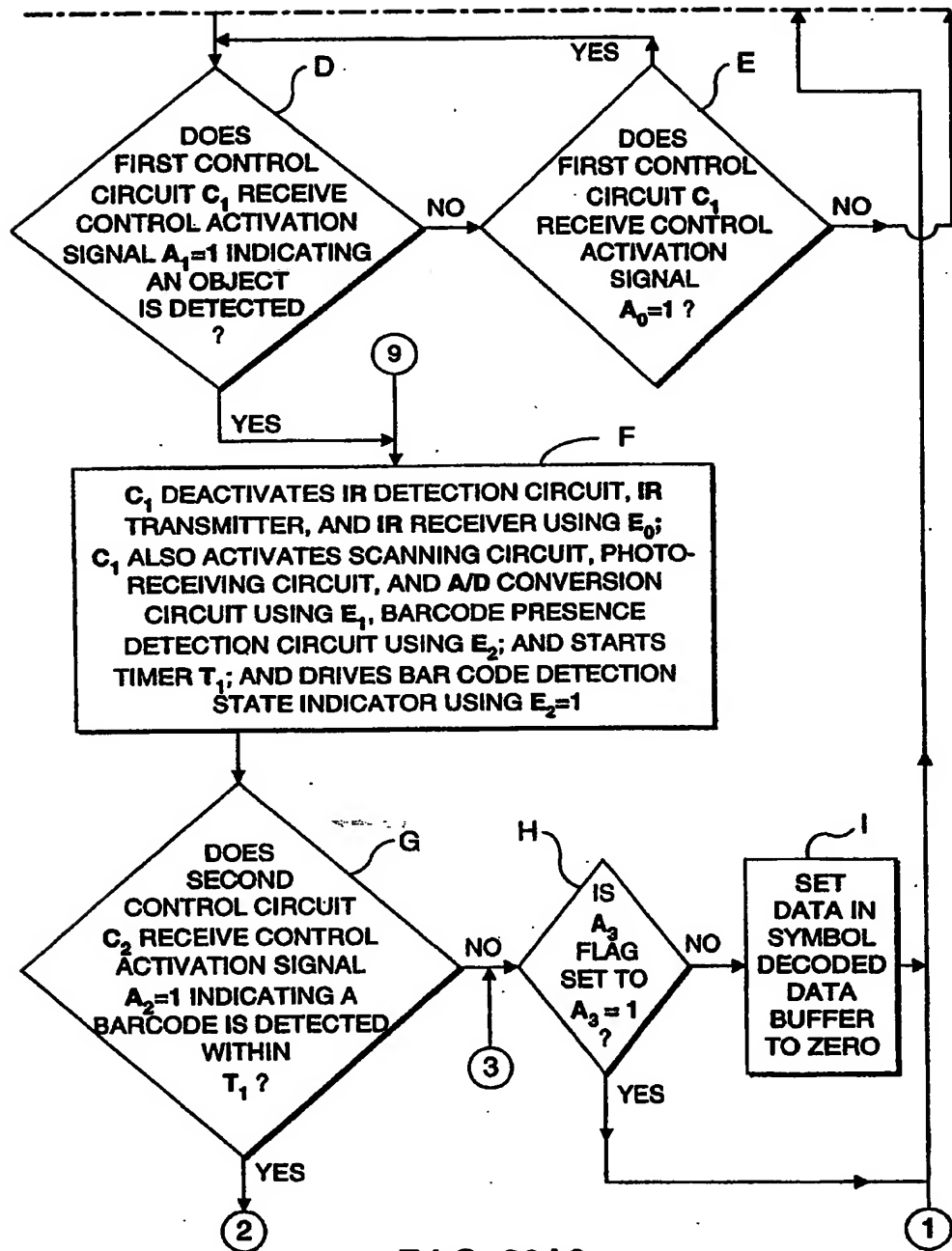
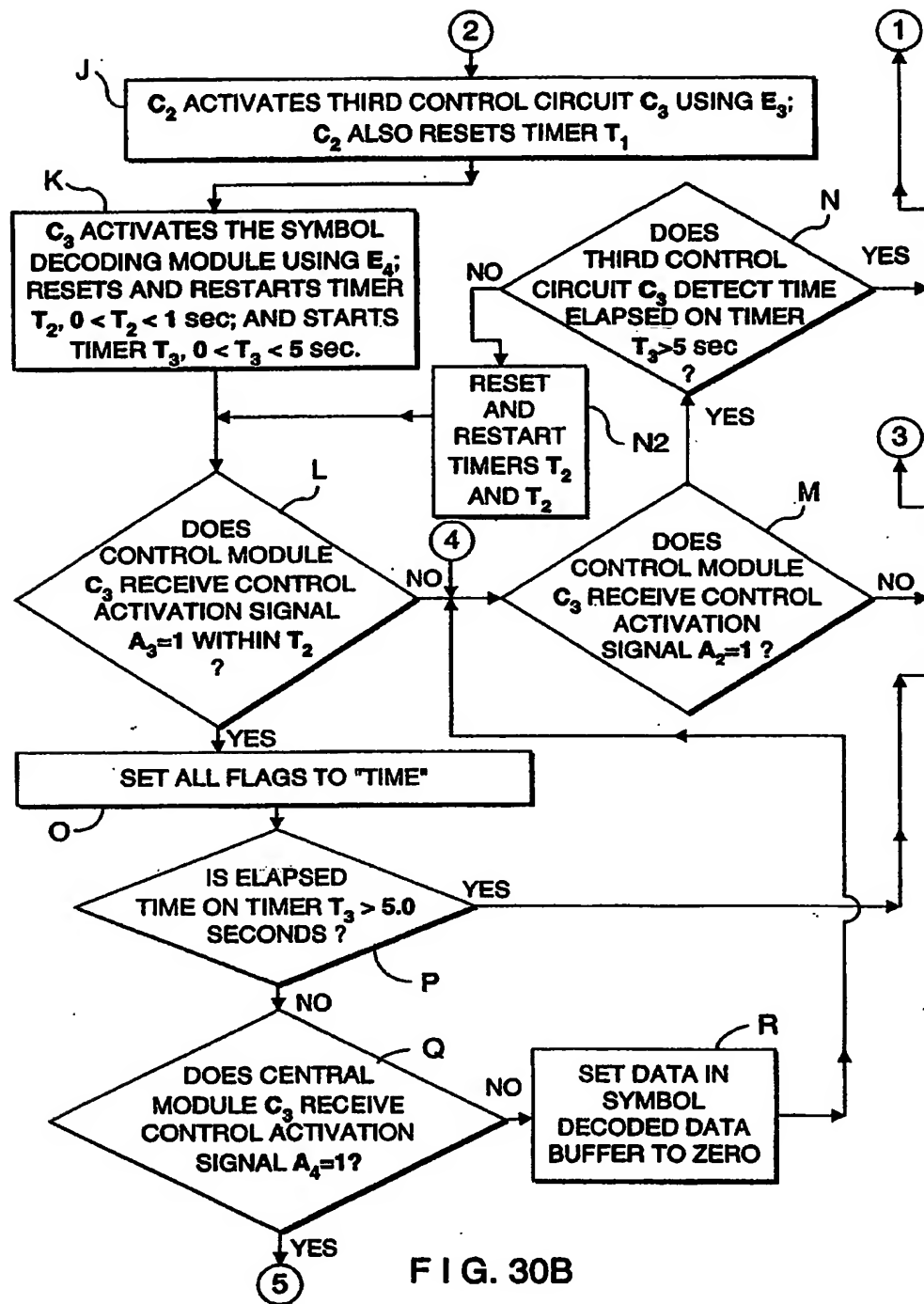


FIG. 30A2



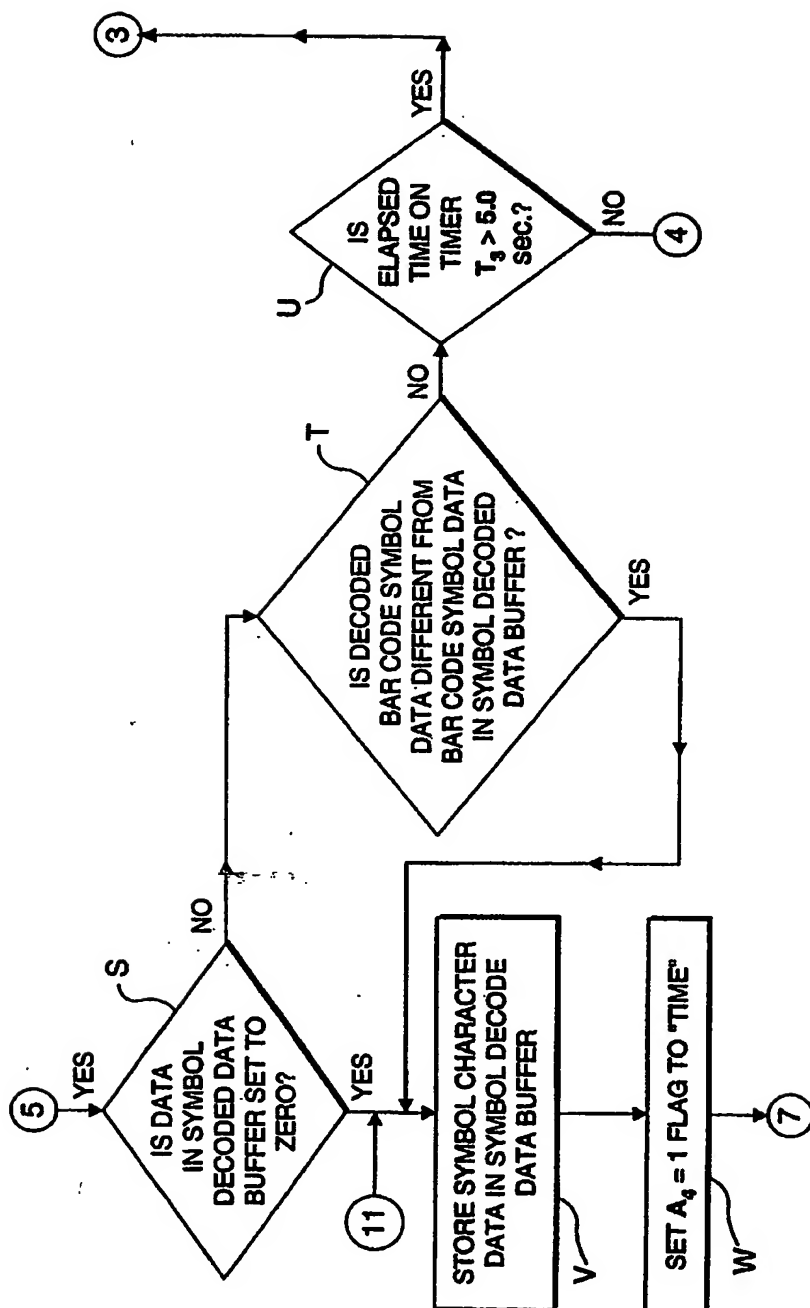


FIG. 30C

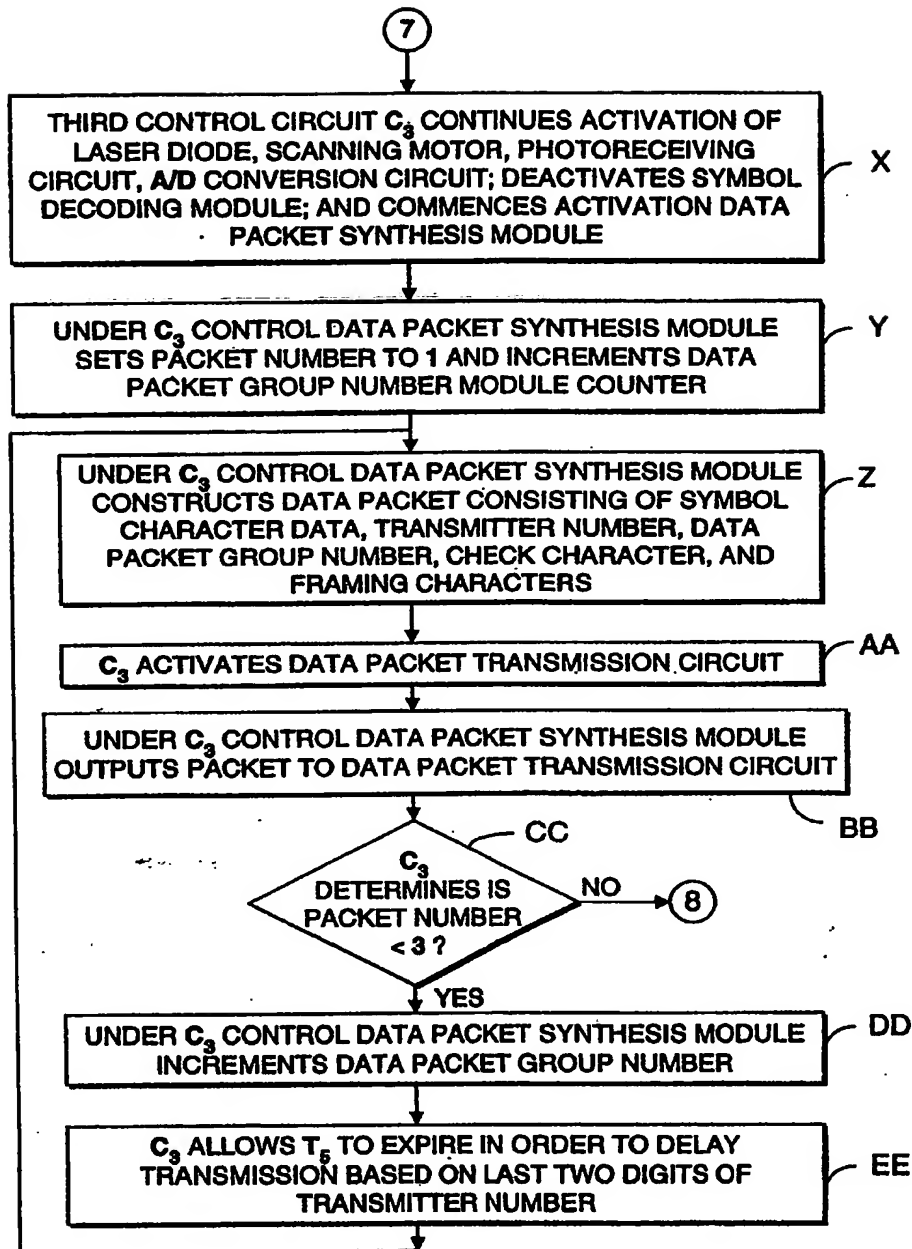
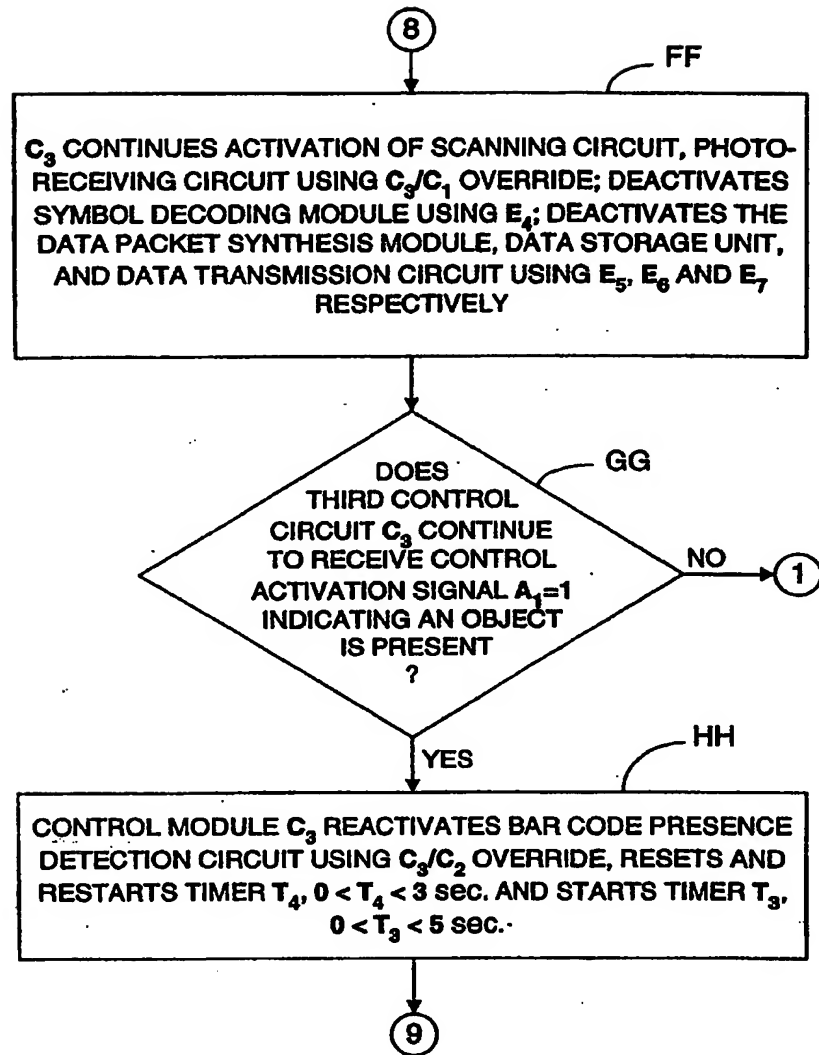


FIG. 30D



**FIG. 30E**



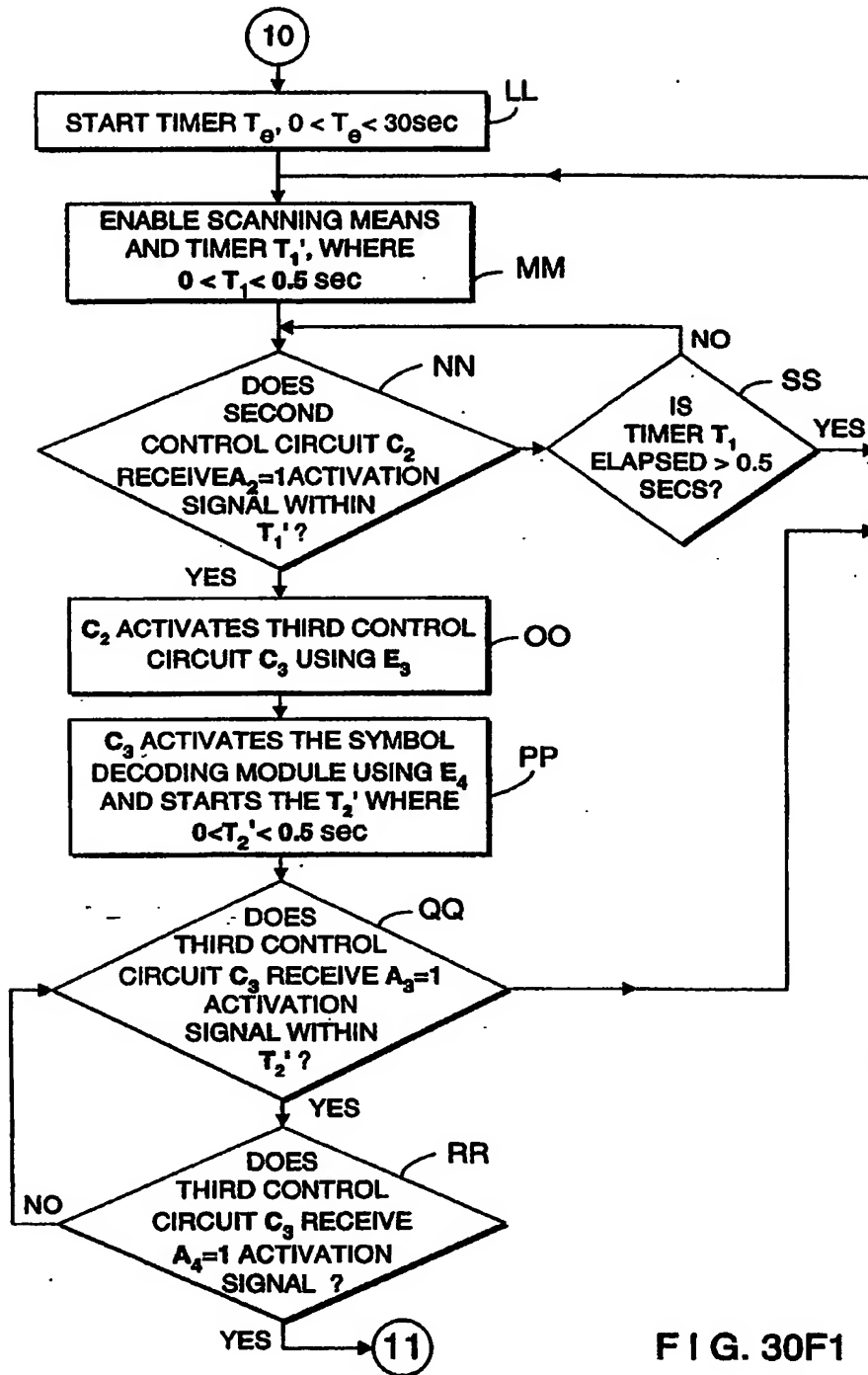
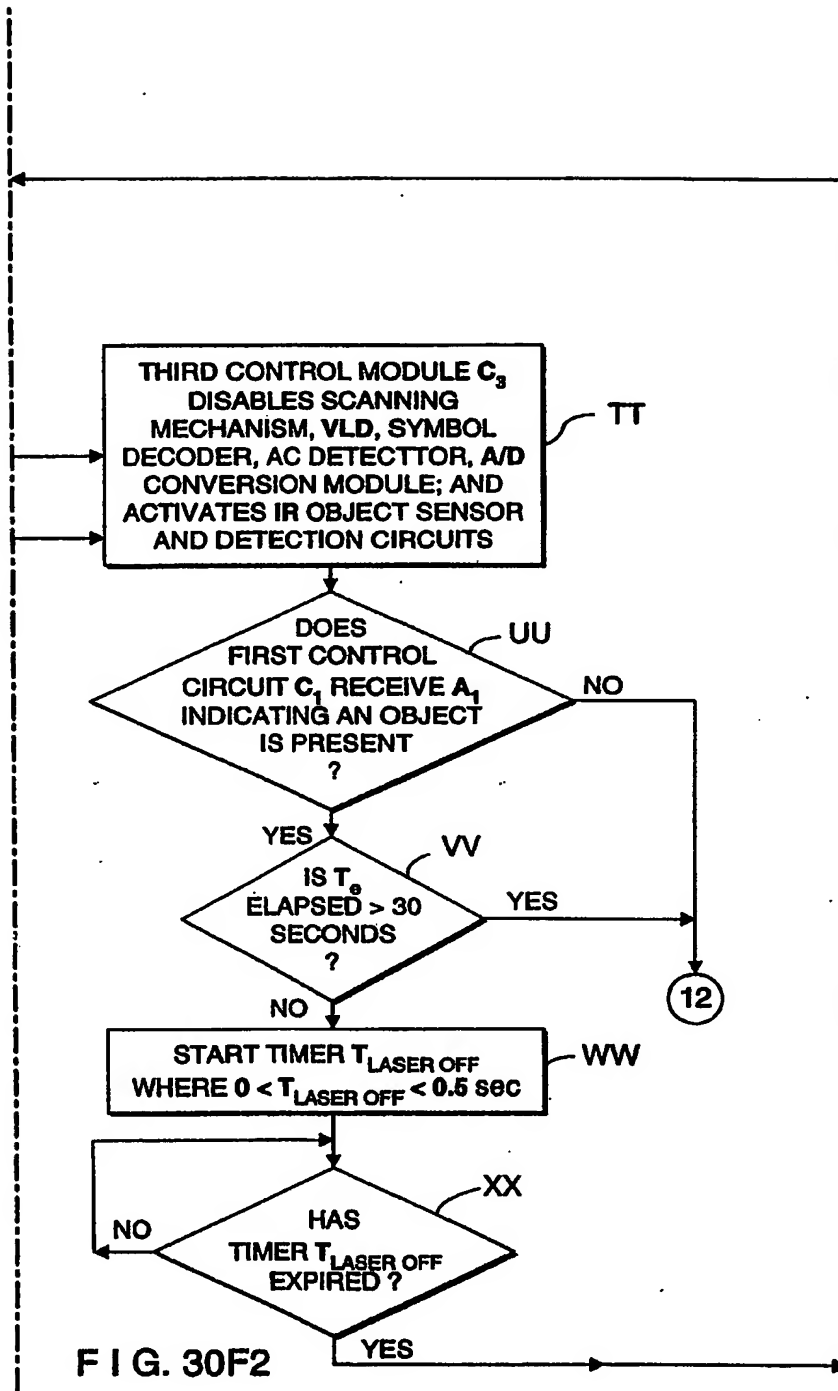


FIG. 30F1



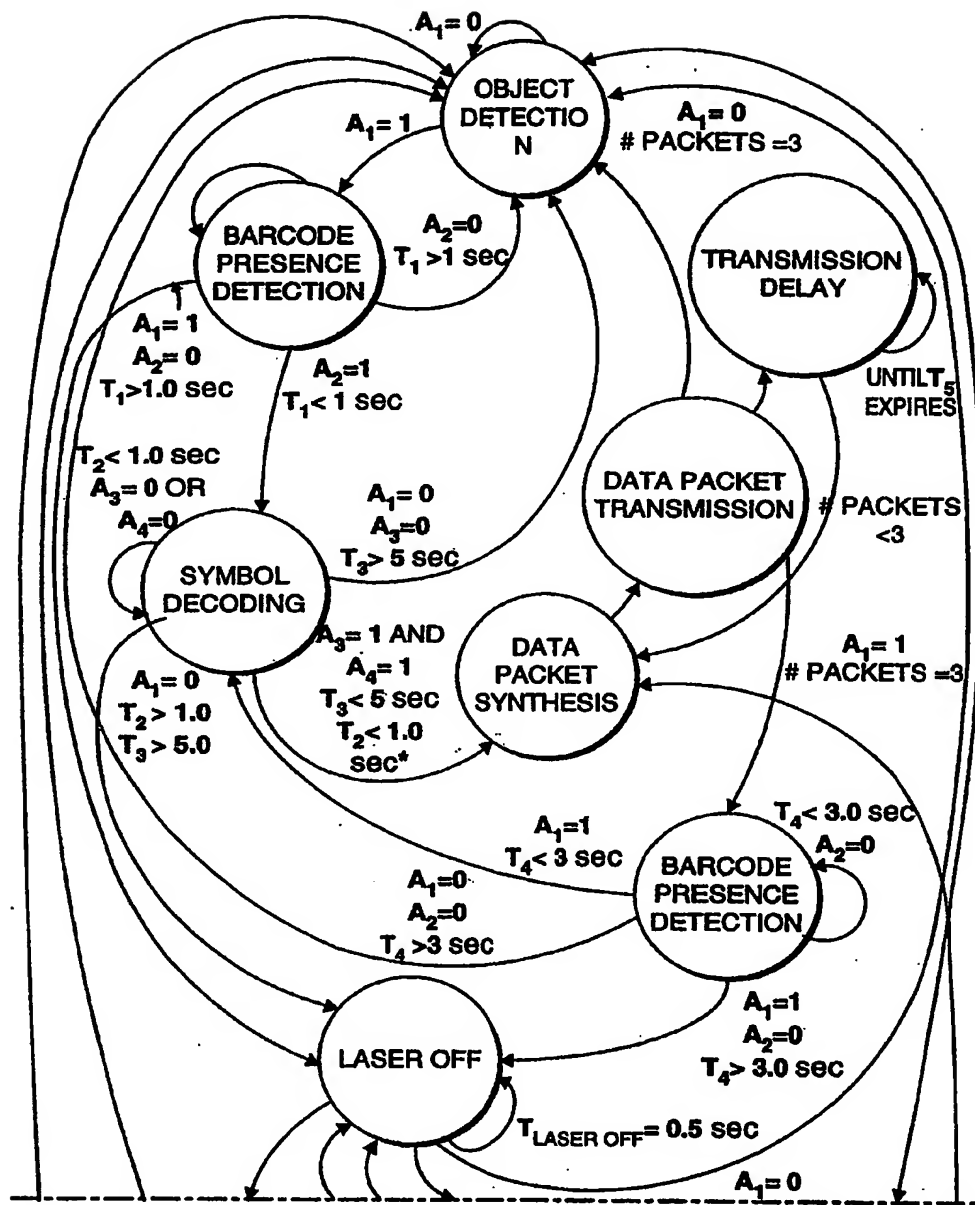
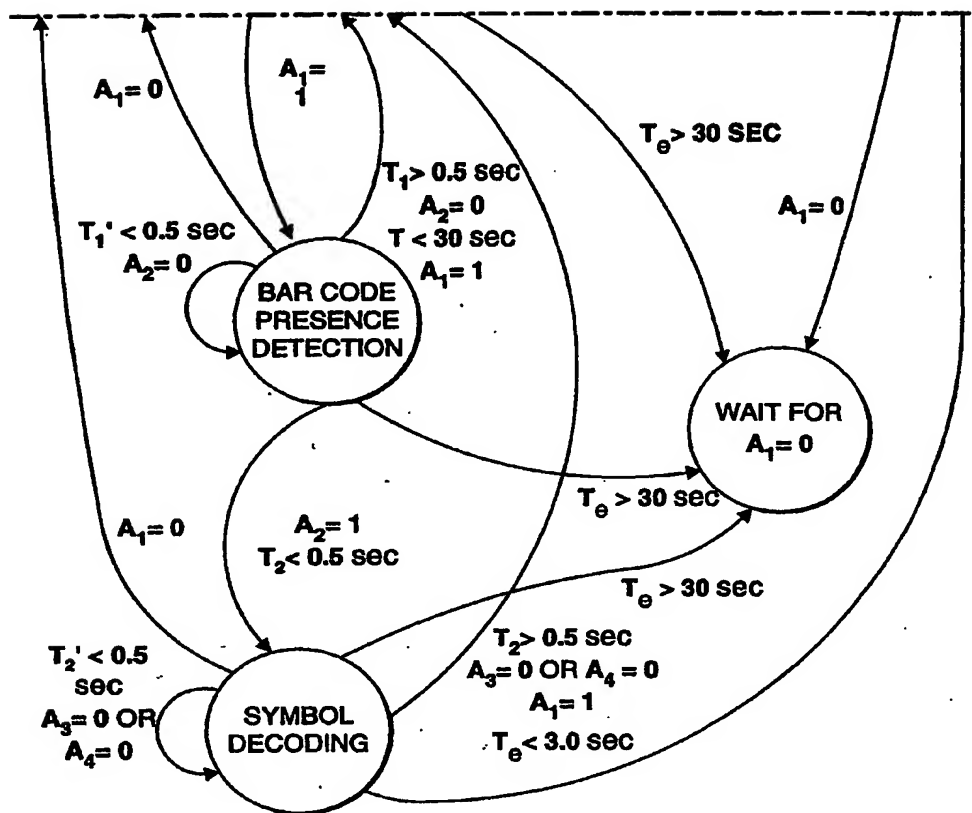


FIG. 31A



$A_3=1, A_4=1$   
 $T_2' < 0.5 \text{ sec}$

\*: SYMBOL CHARACTER  
 DATA IS DIFFERENT  
 THAN DATA ELEMENT IN  
 DECODED SYMBOL  
 DATA BUFFER

FIG. 31B

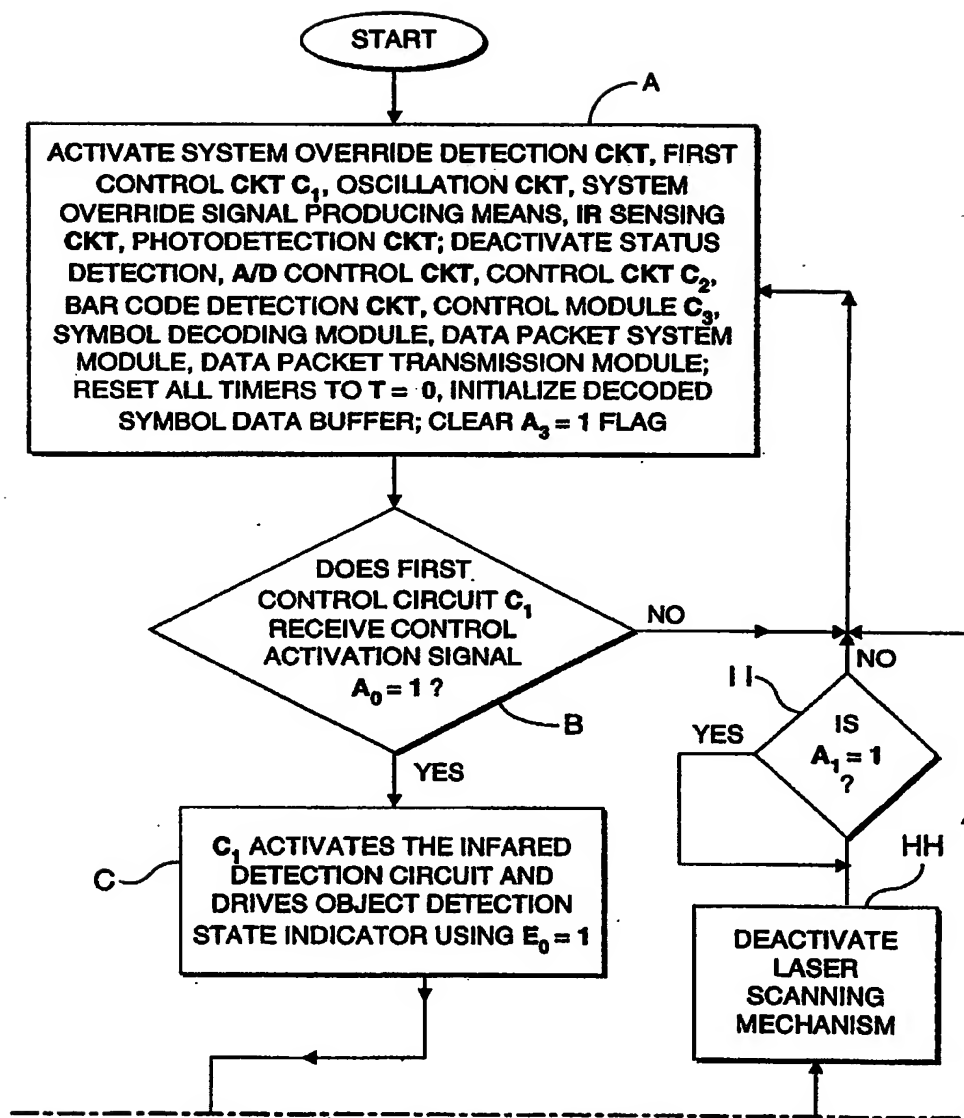


FIG. 32A1

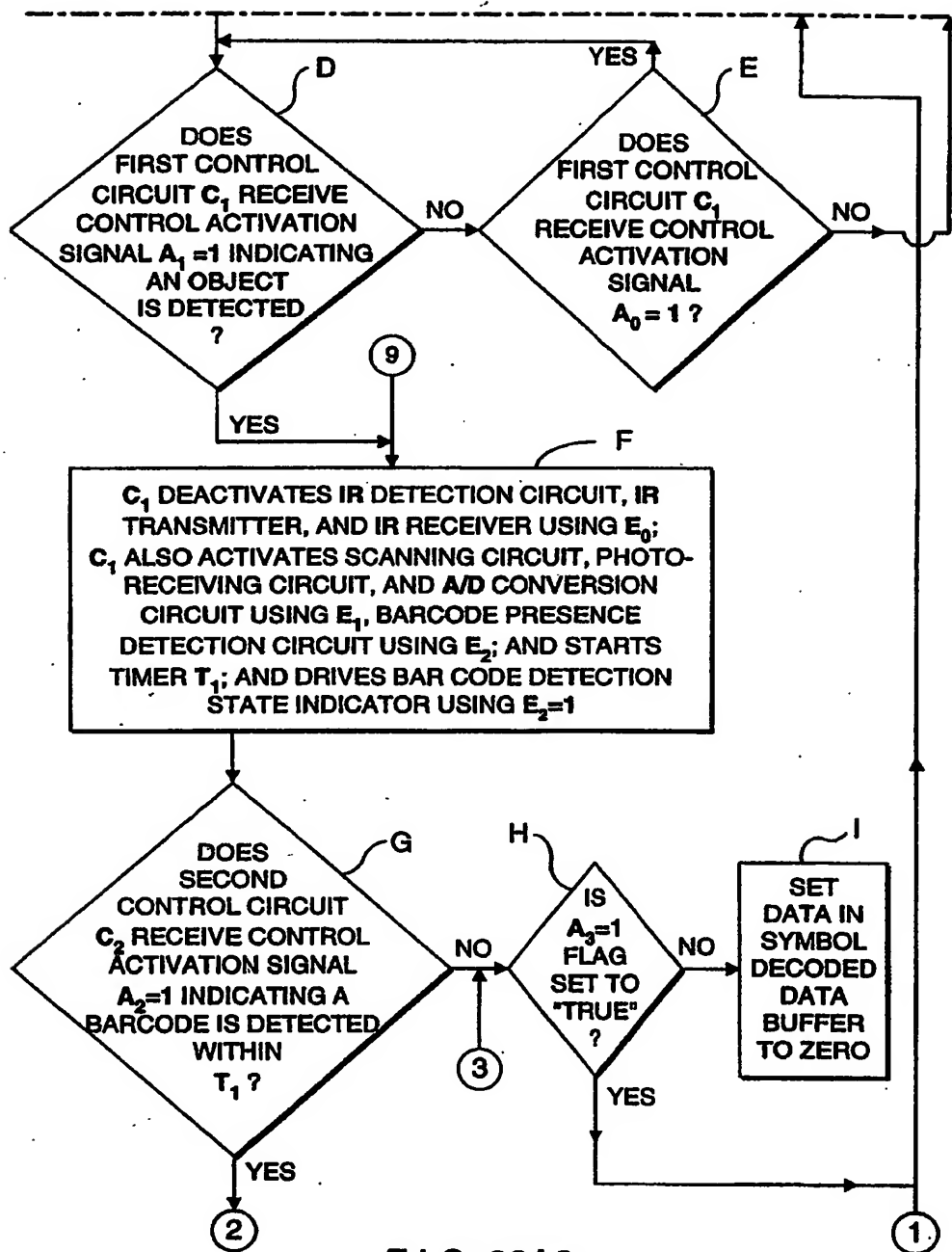


FIG. 32A2

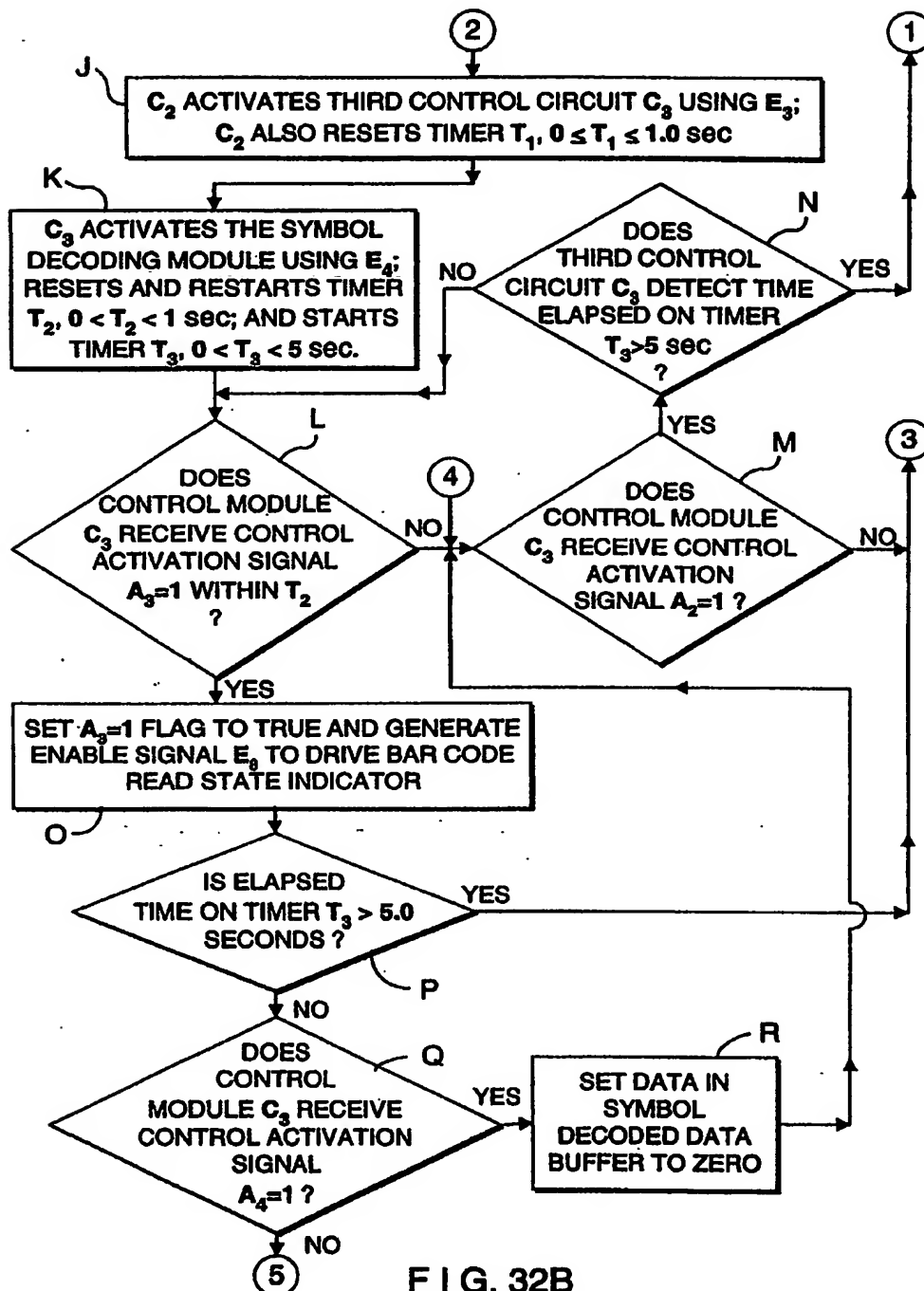


FIG. 32B

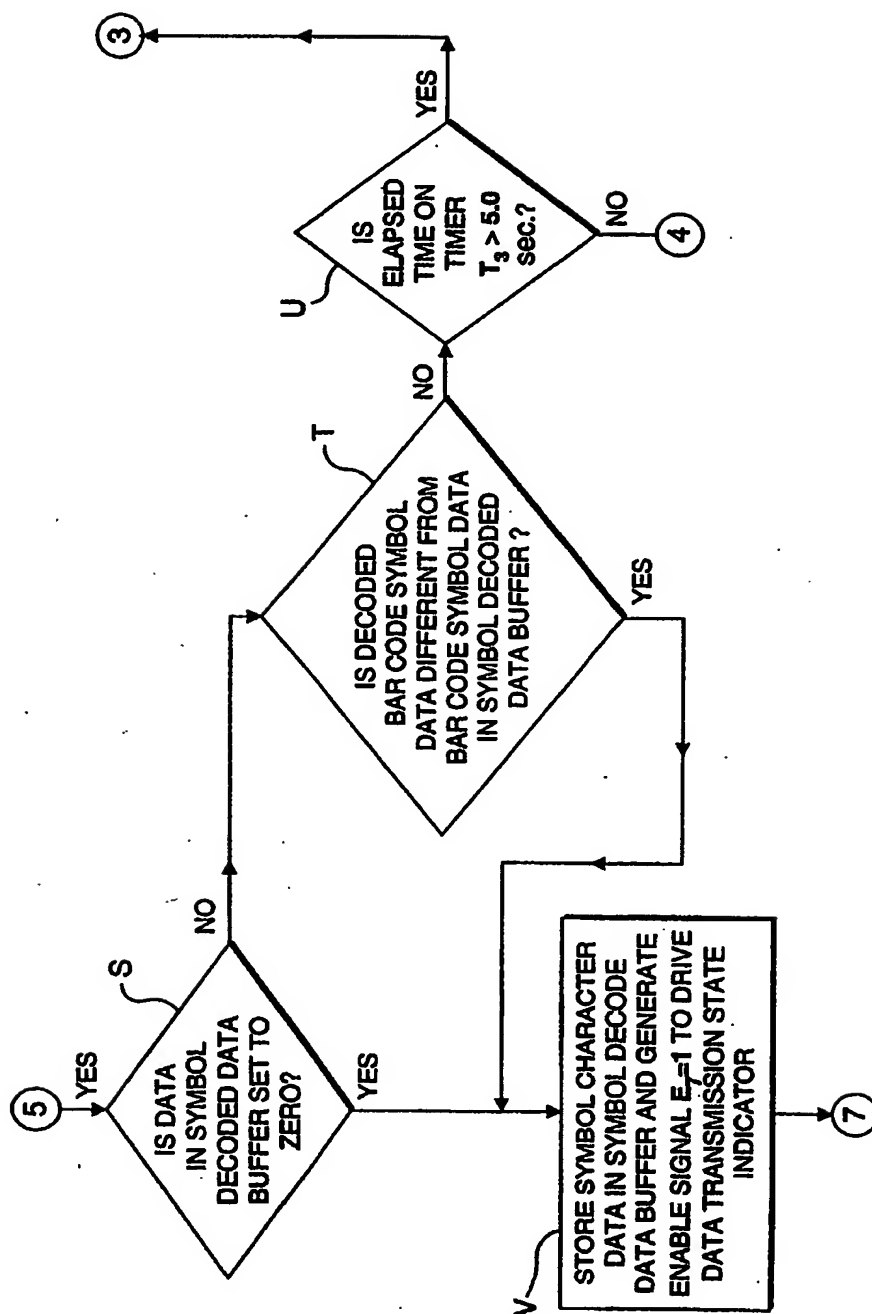


FIG. 32C



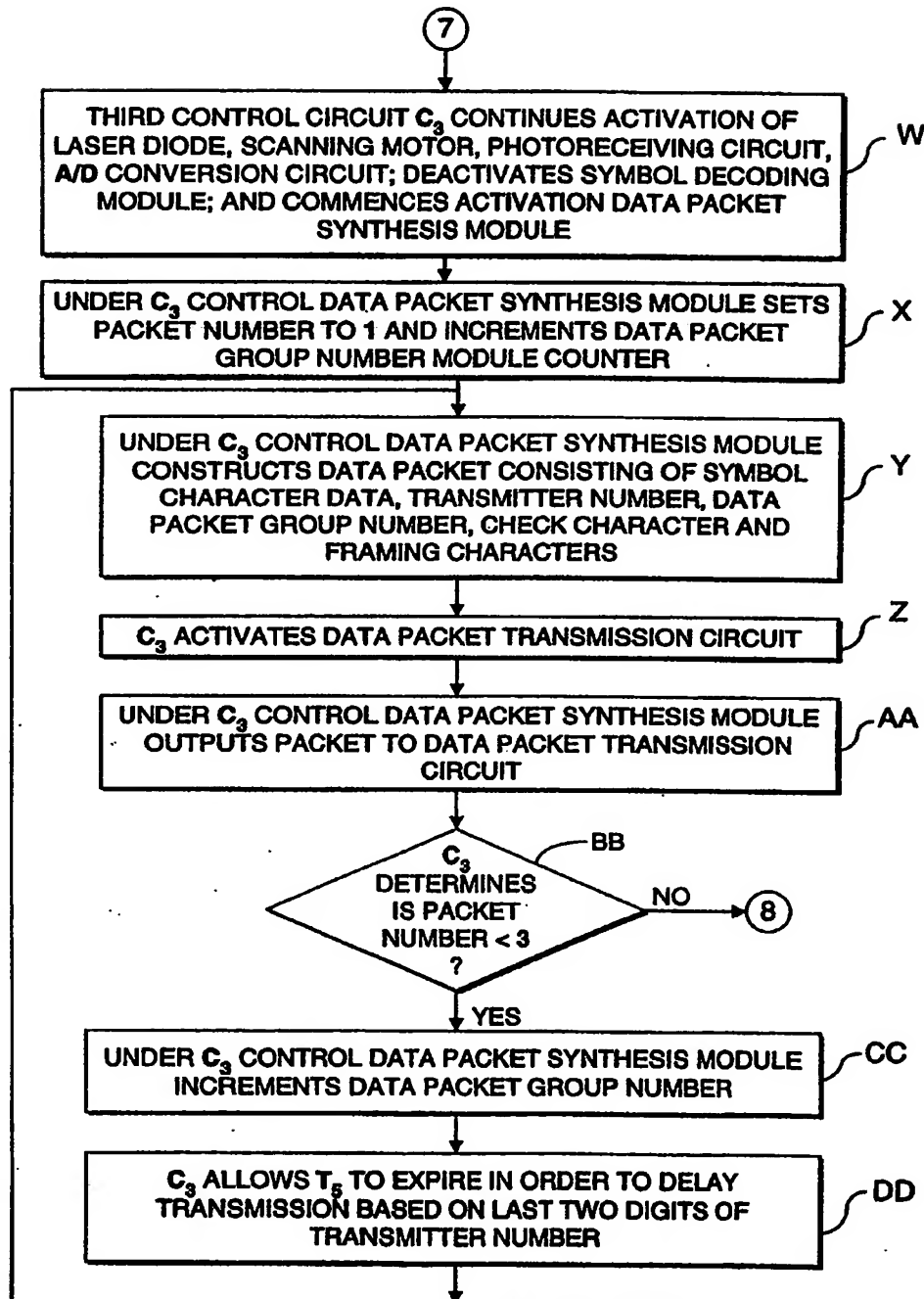


FIG. 32D

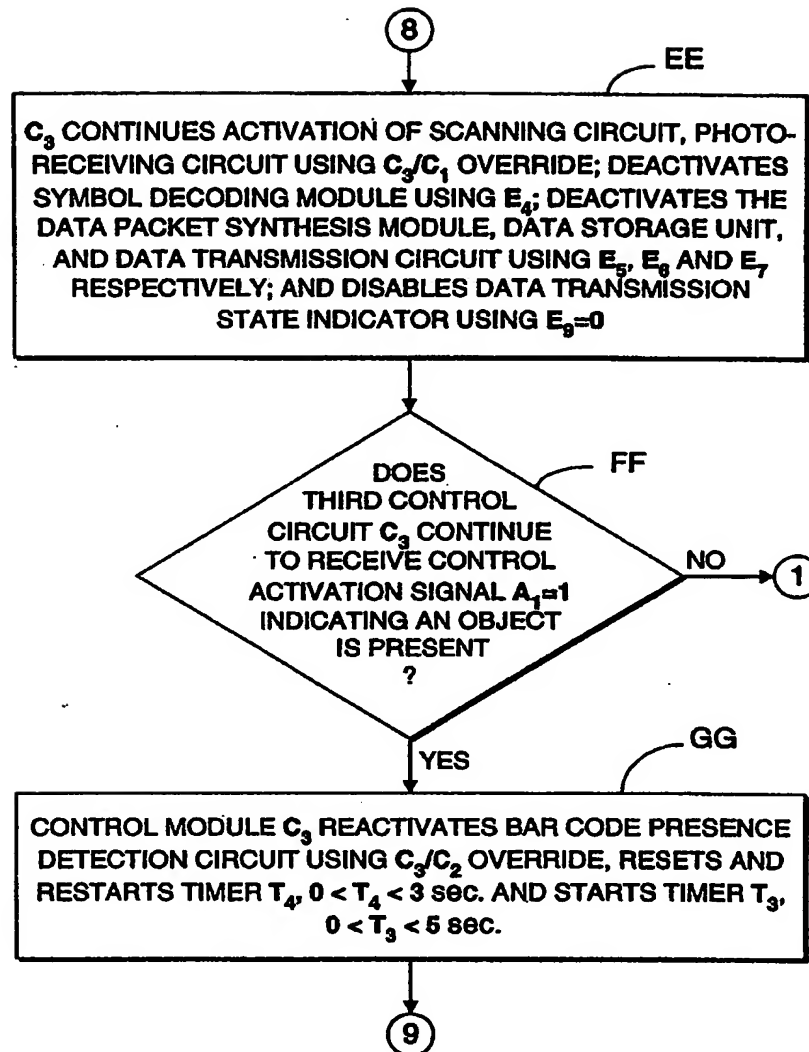


FIG. 32E

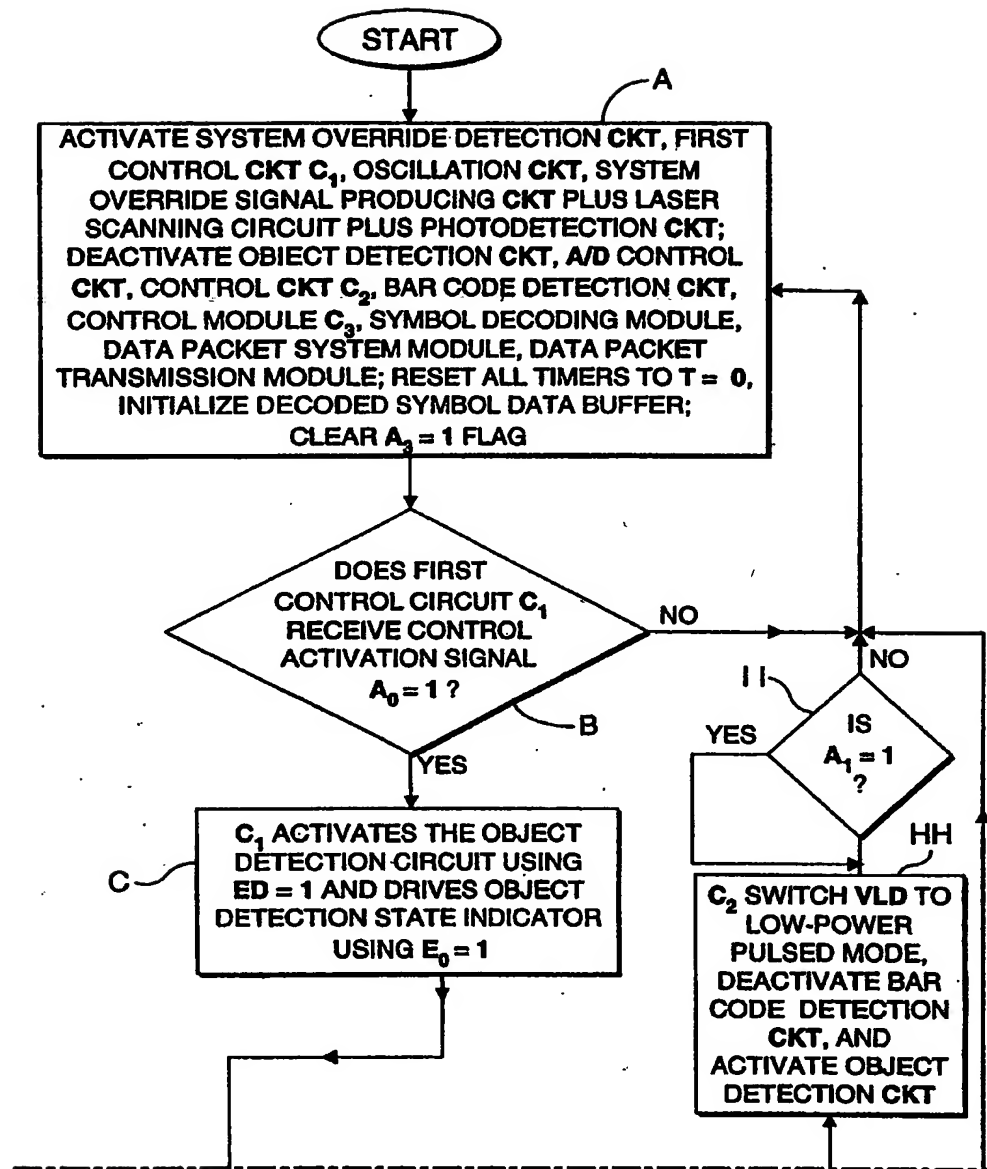


FIG. 33A1

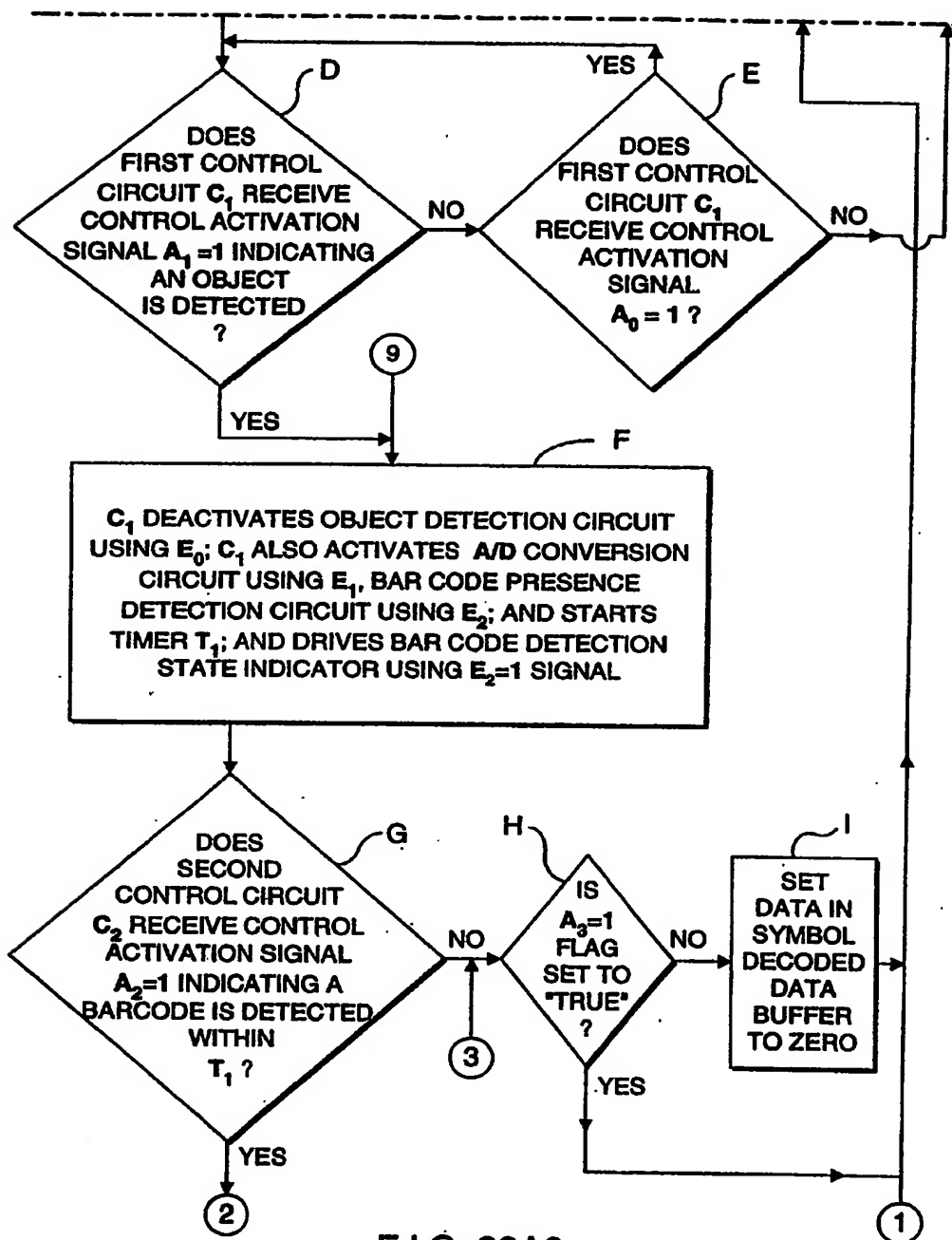


FIG. 33A2

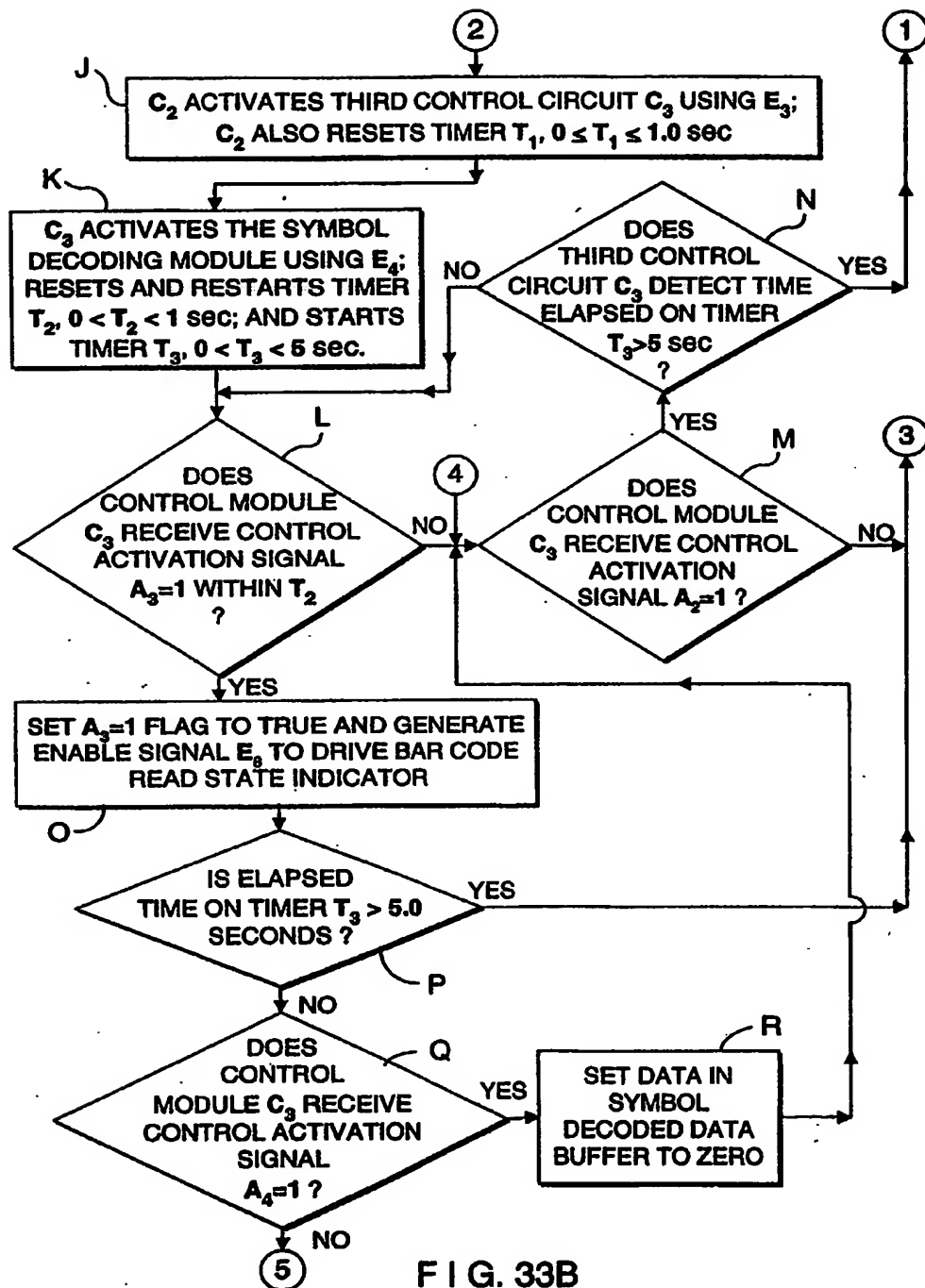


FIG. 33B

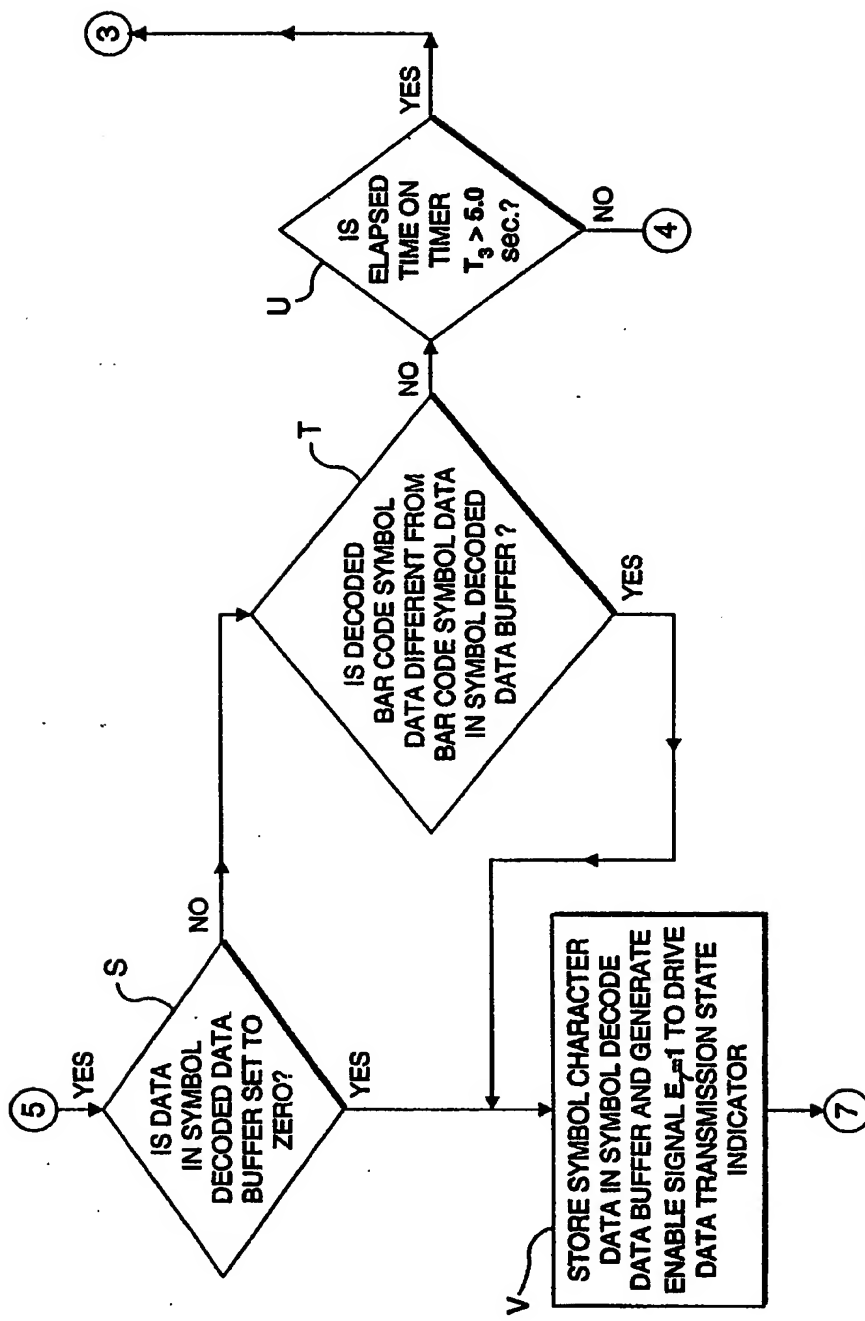


FIG. 33C

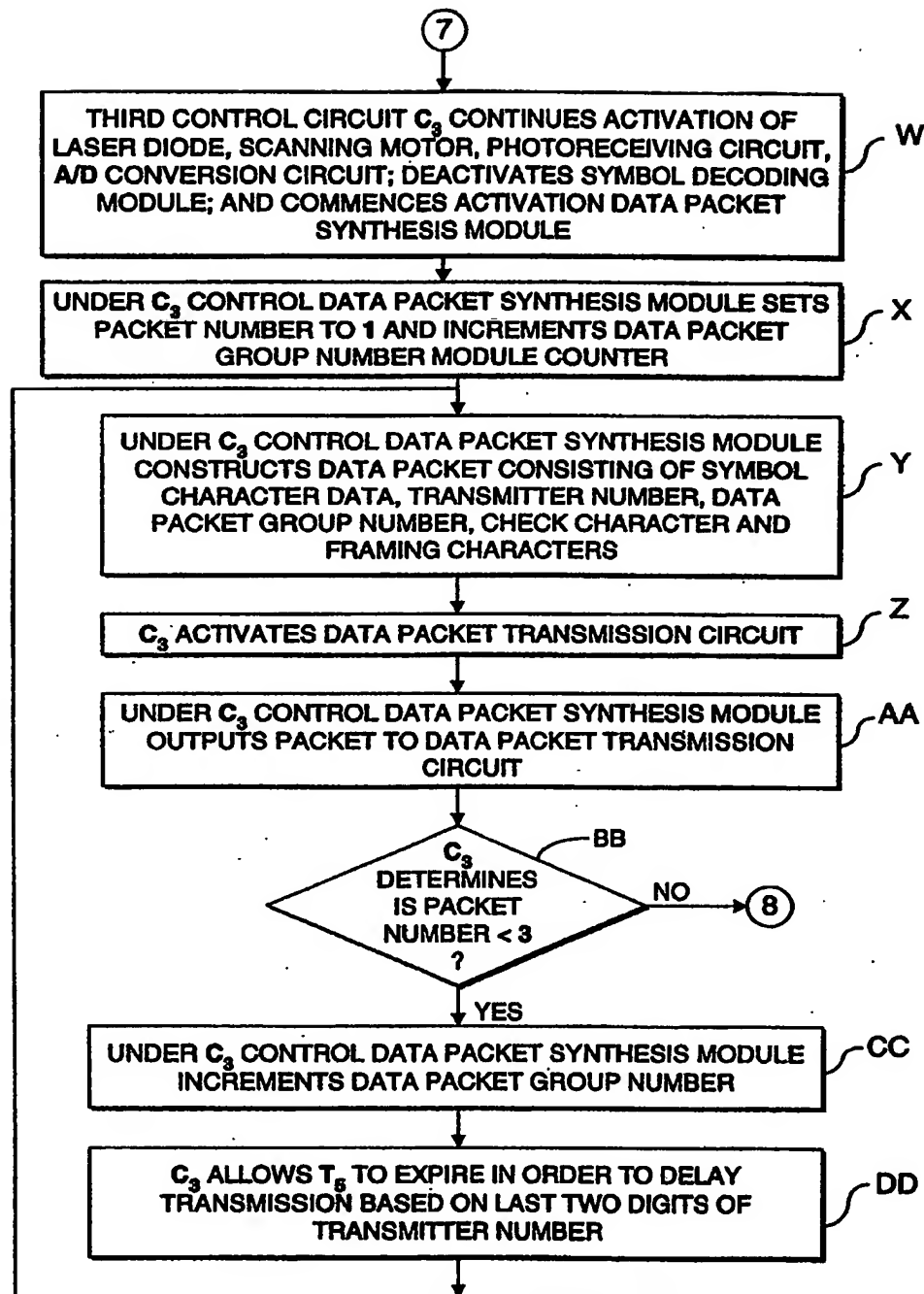
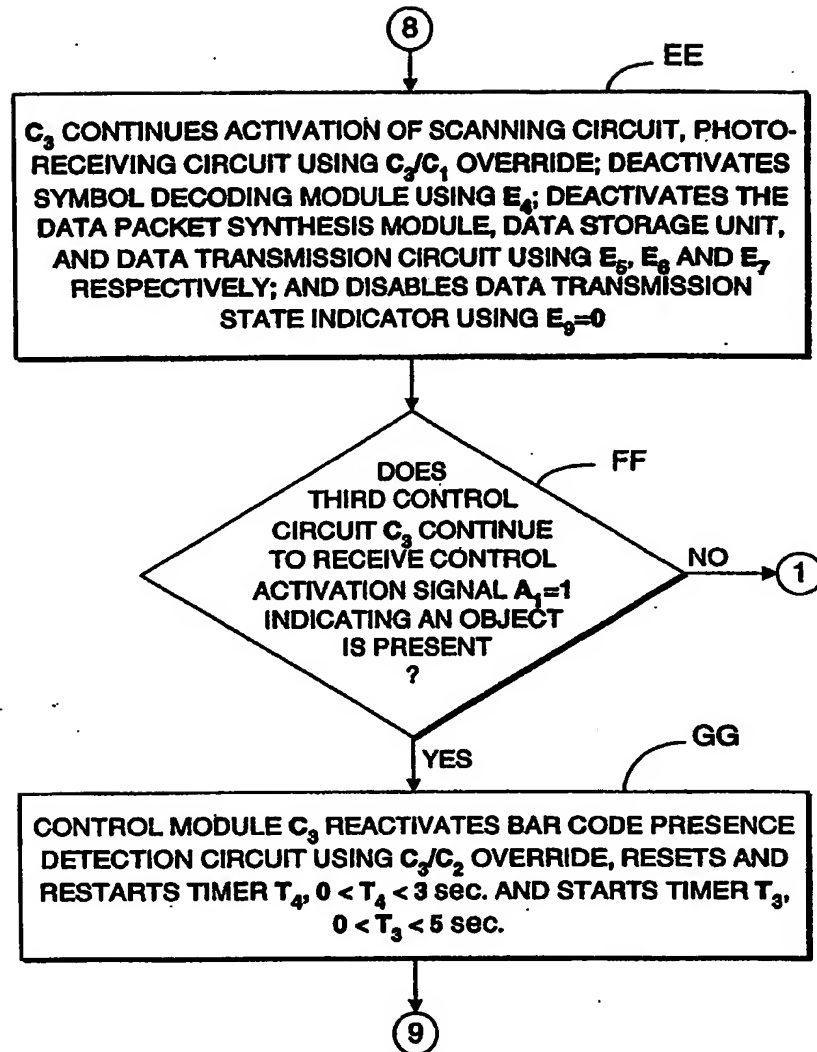


FIG. 33D



**FIG. 33E**



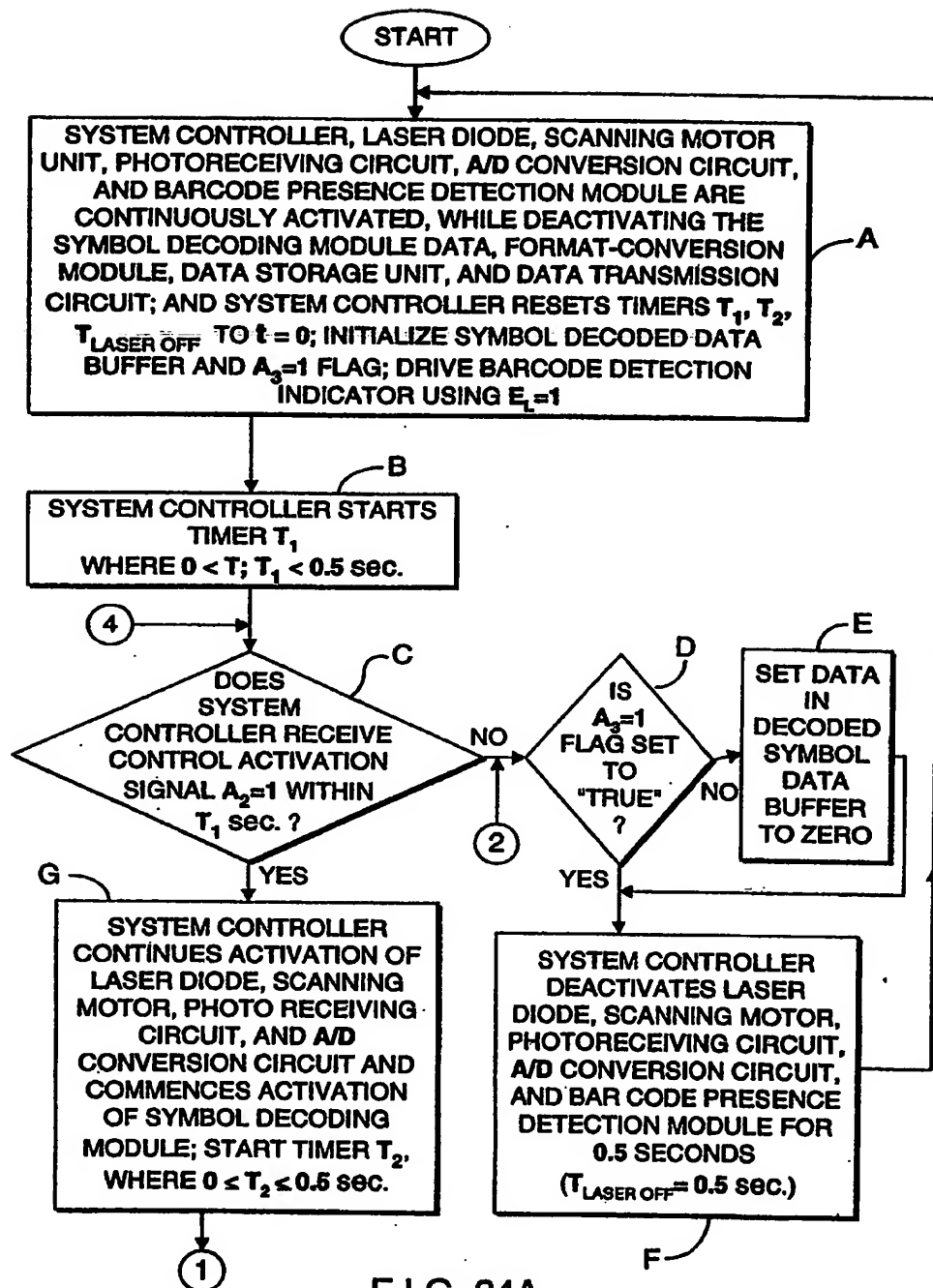


FIG. 34A

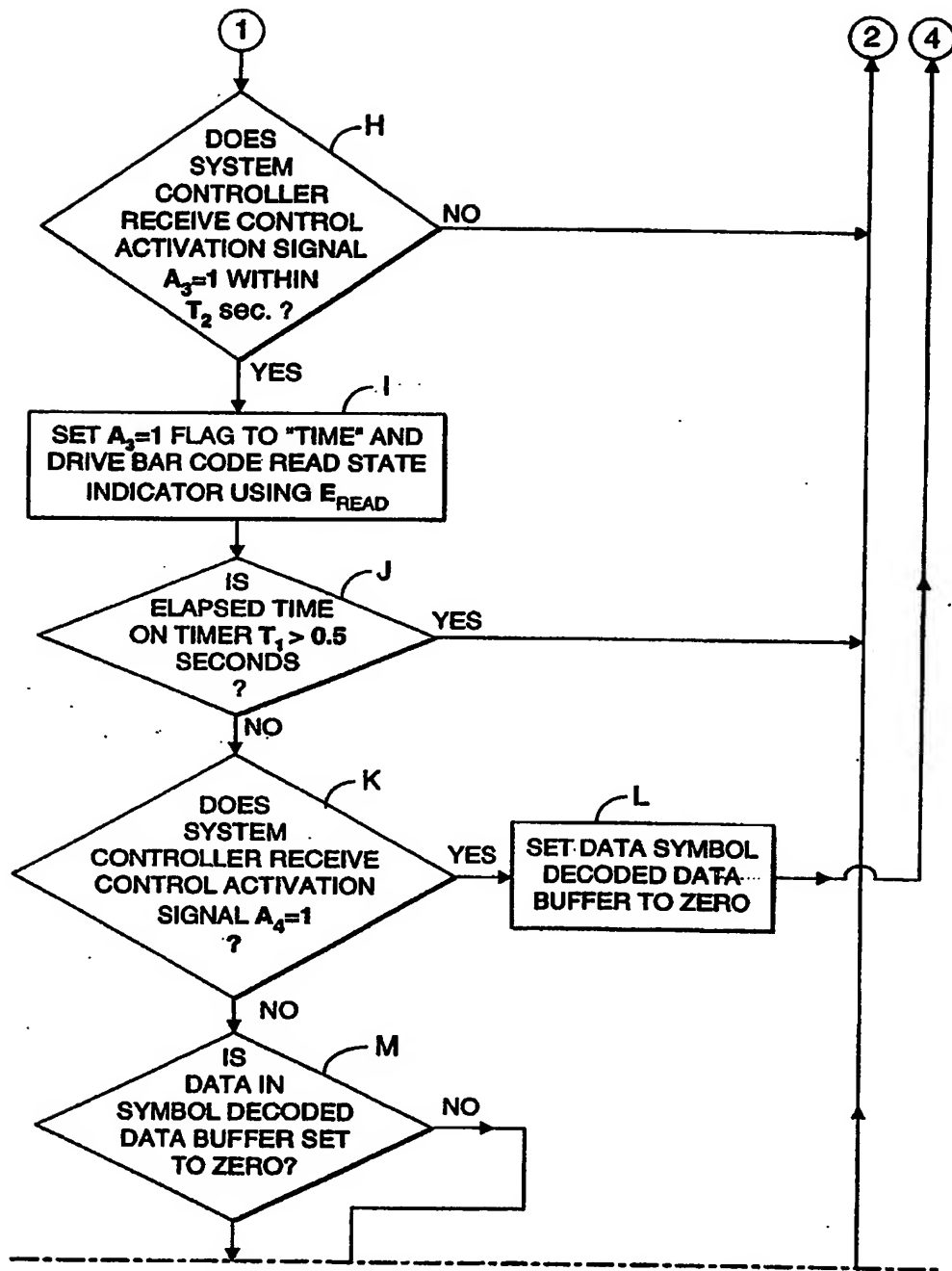


FIG. 34B1

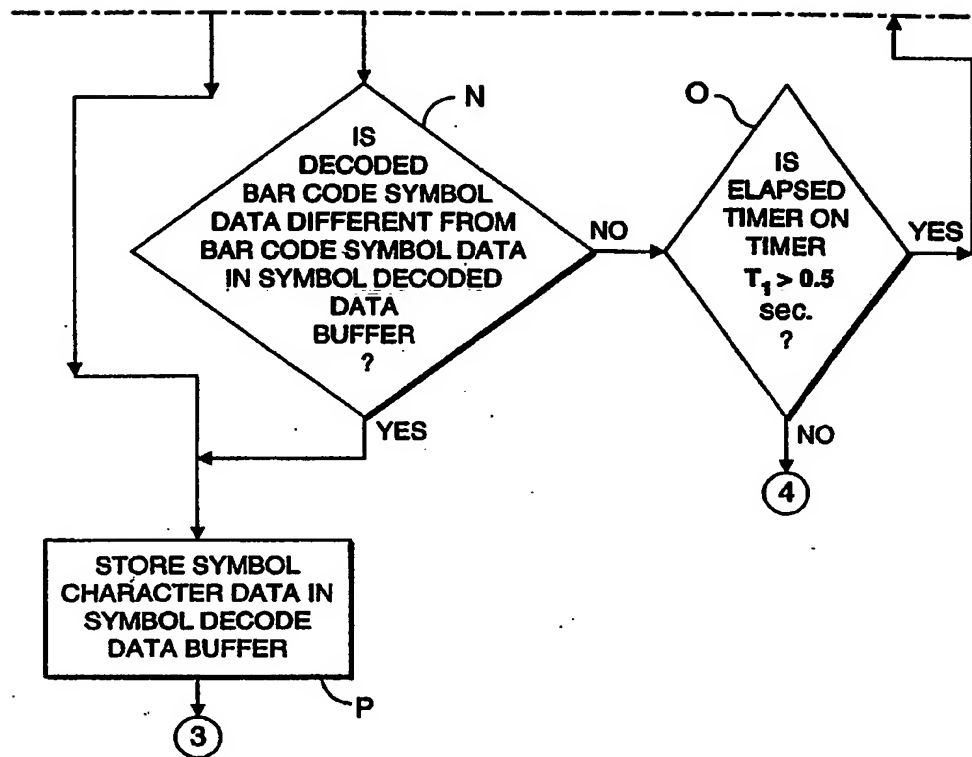


FIG. 34B2

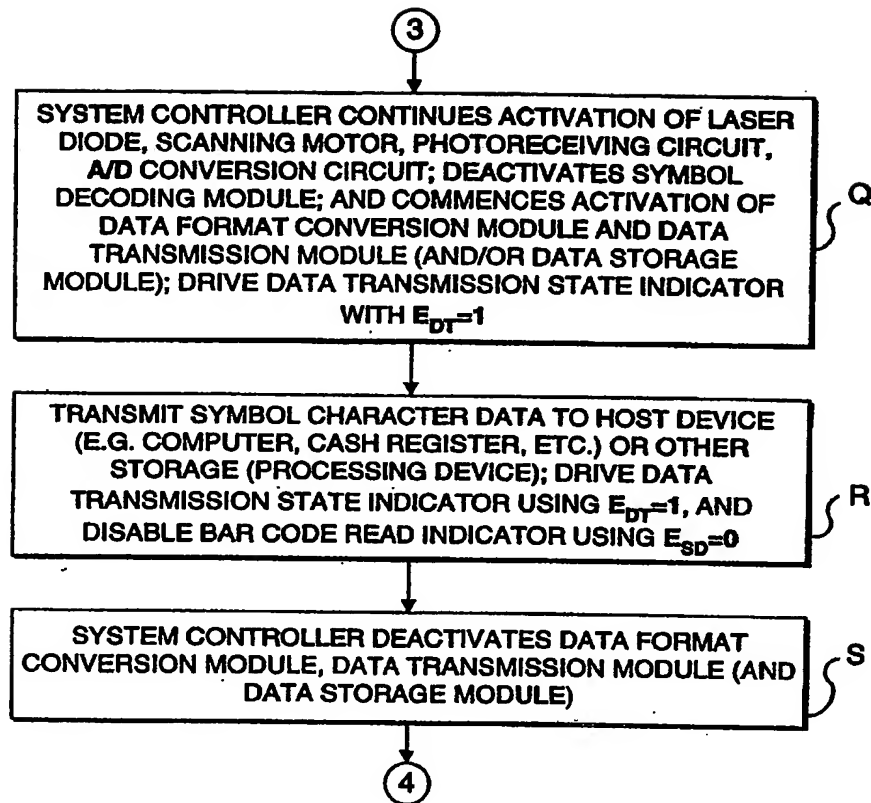


FIG. 34C

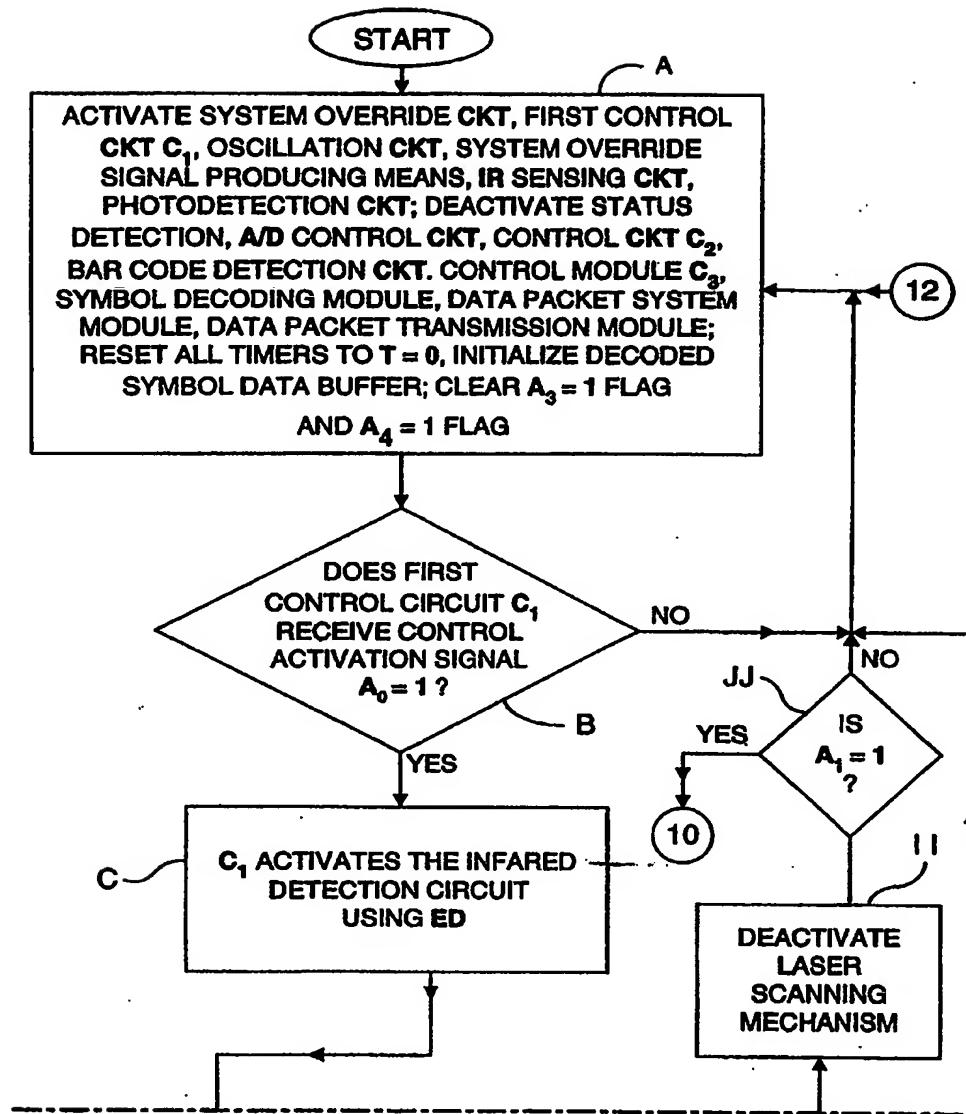


FIG. 35A1

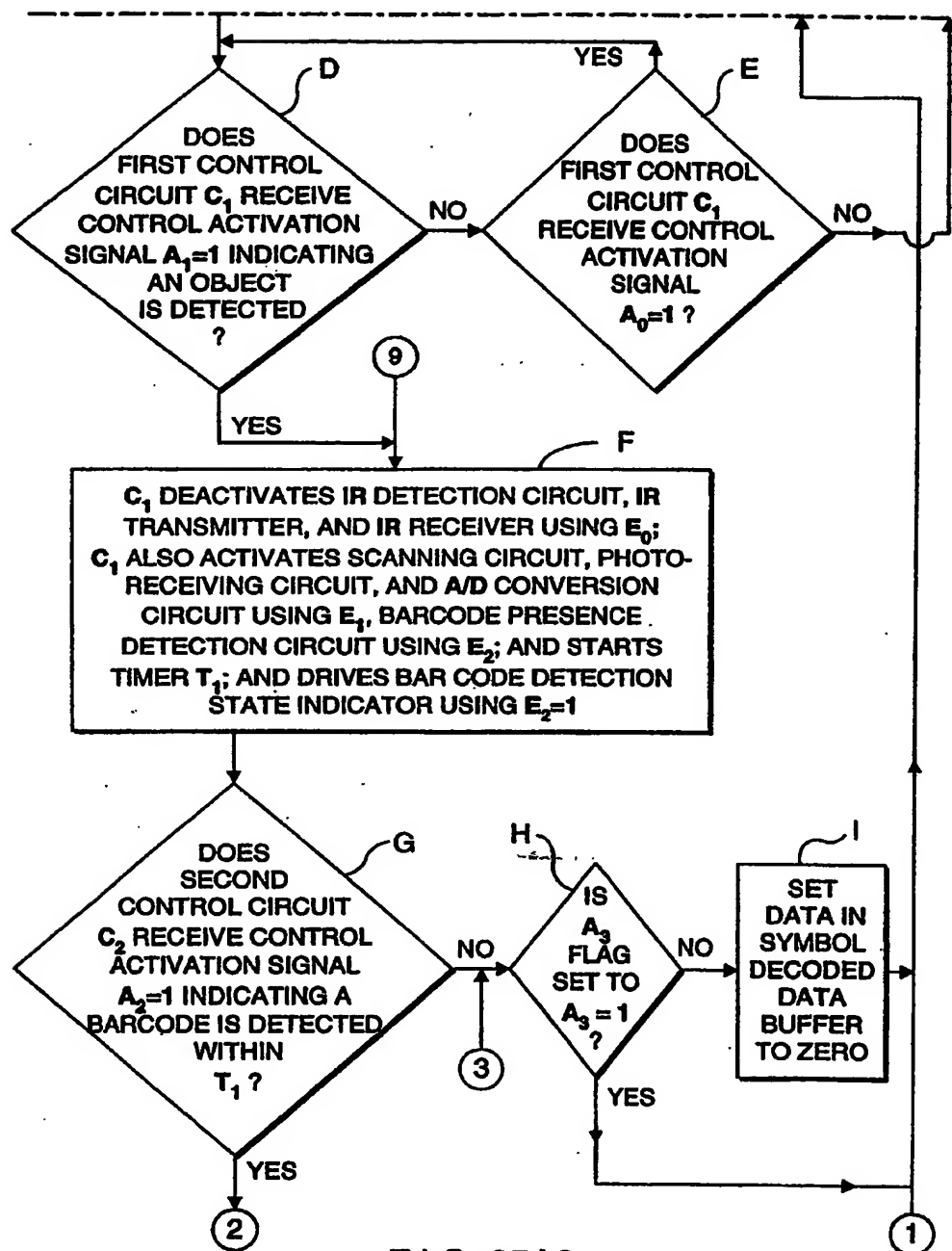


FIG. 35A2

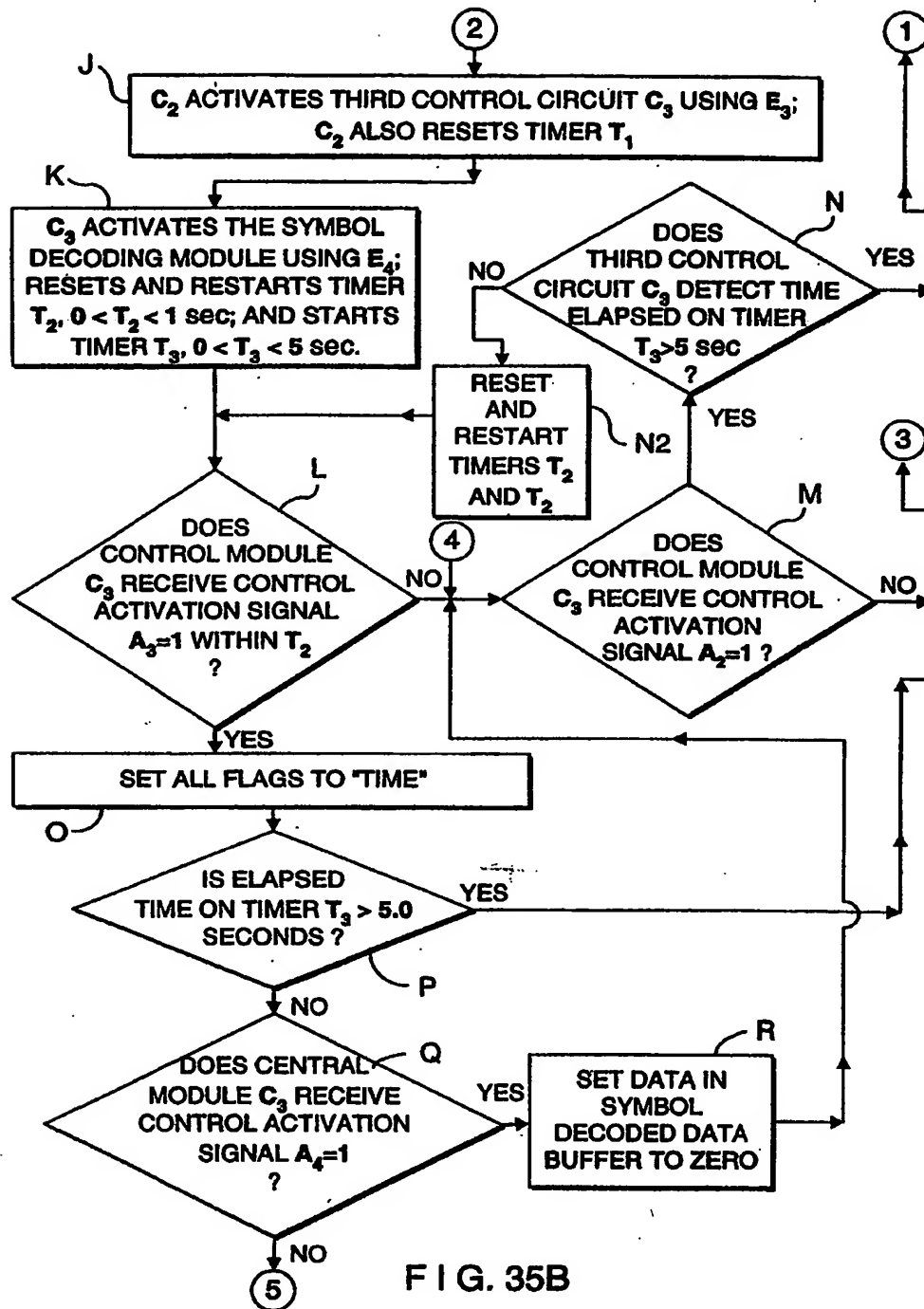


FIG. 35B

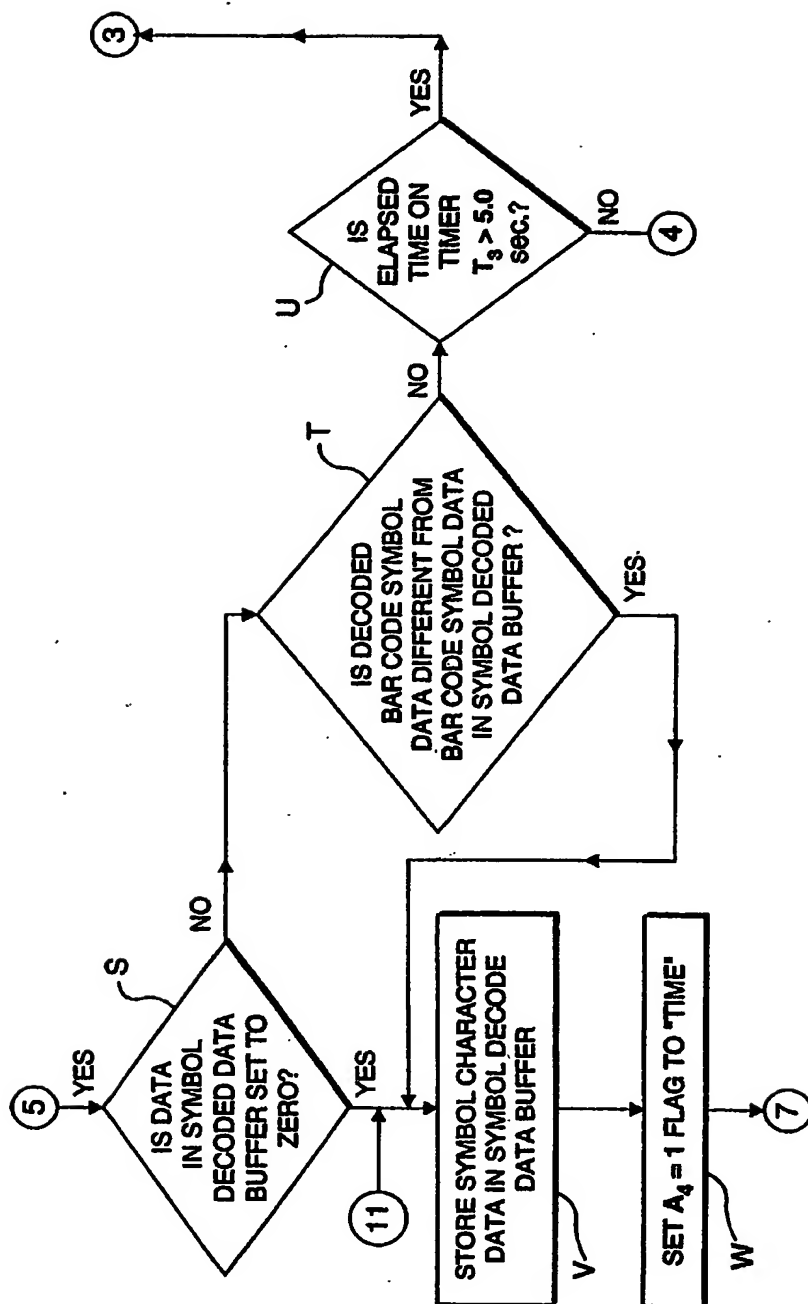


FIG. 35C



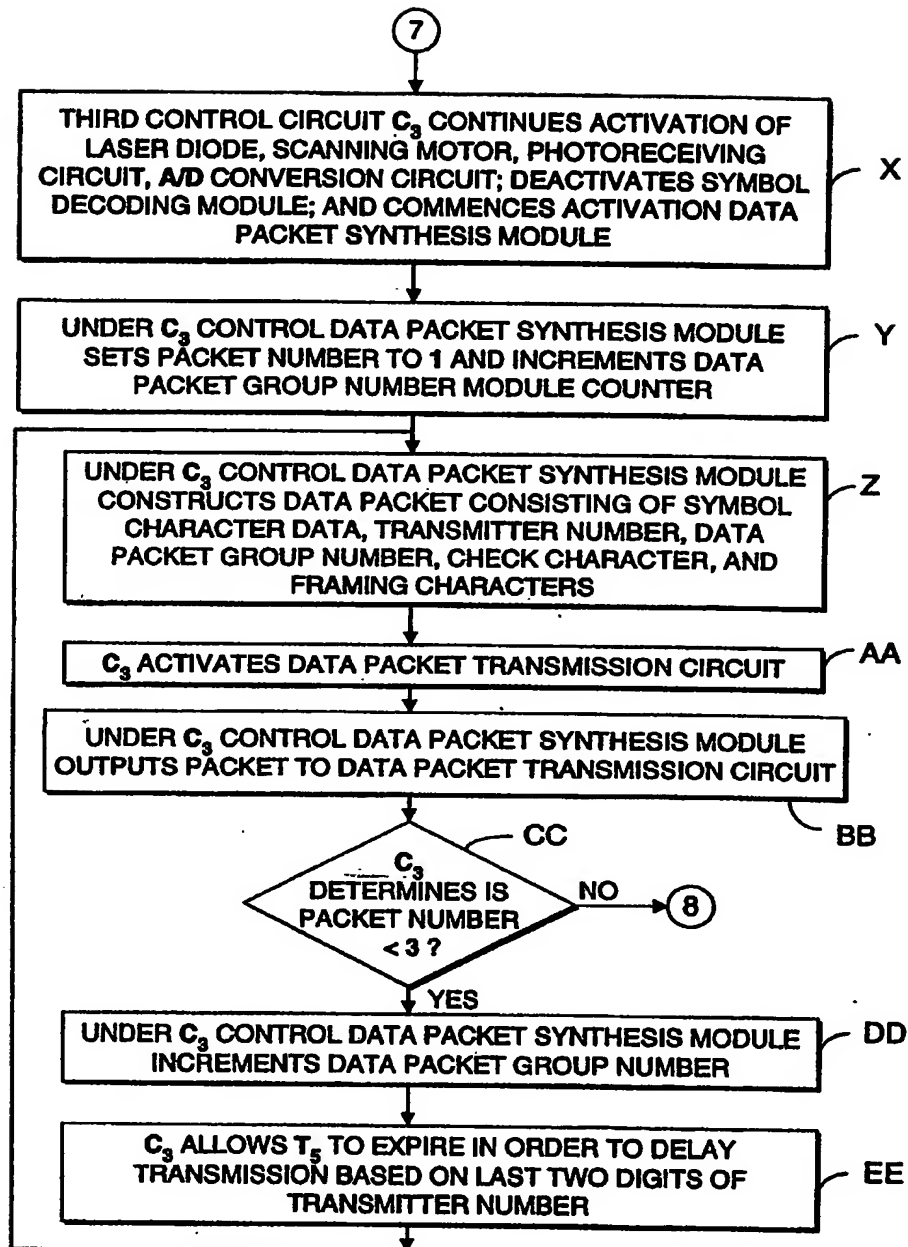


FIG. 35D

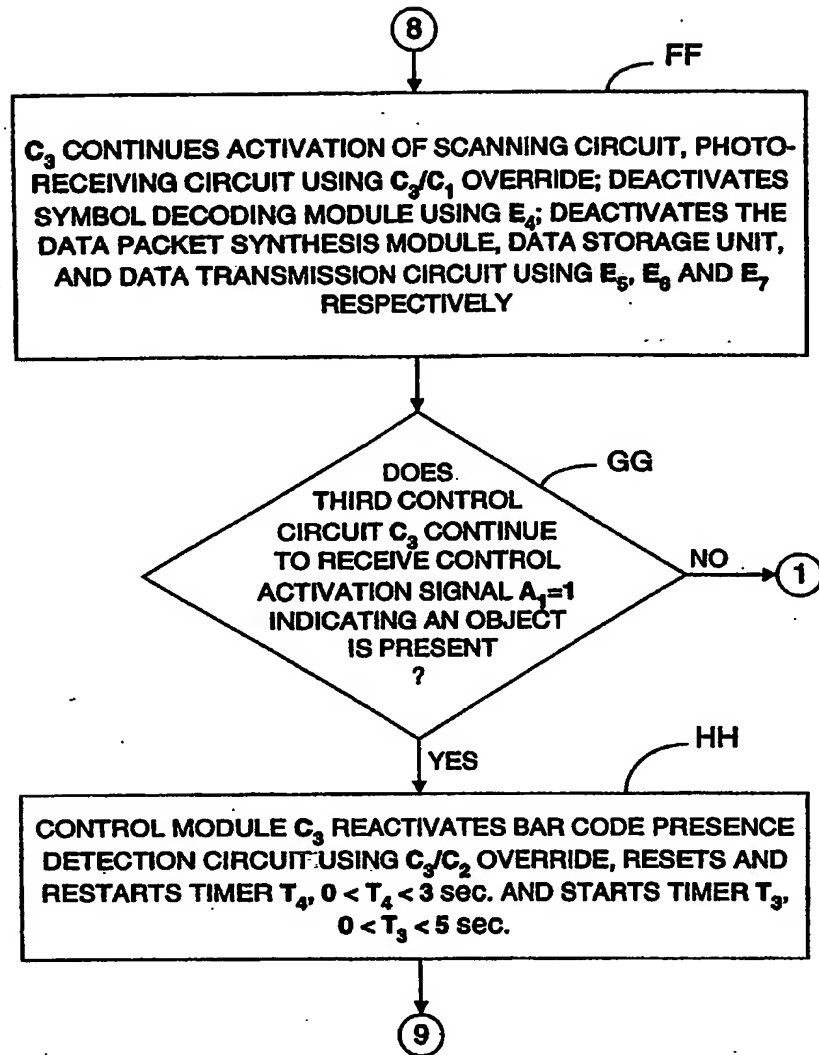


FIG. 35E

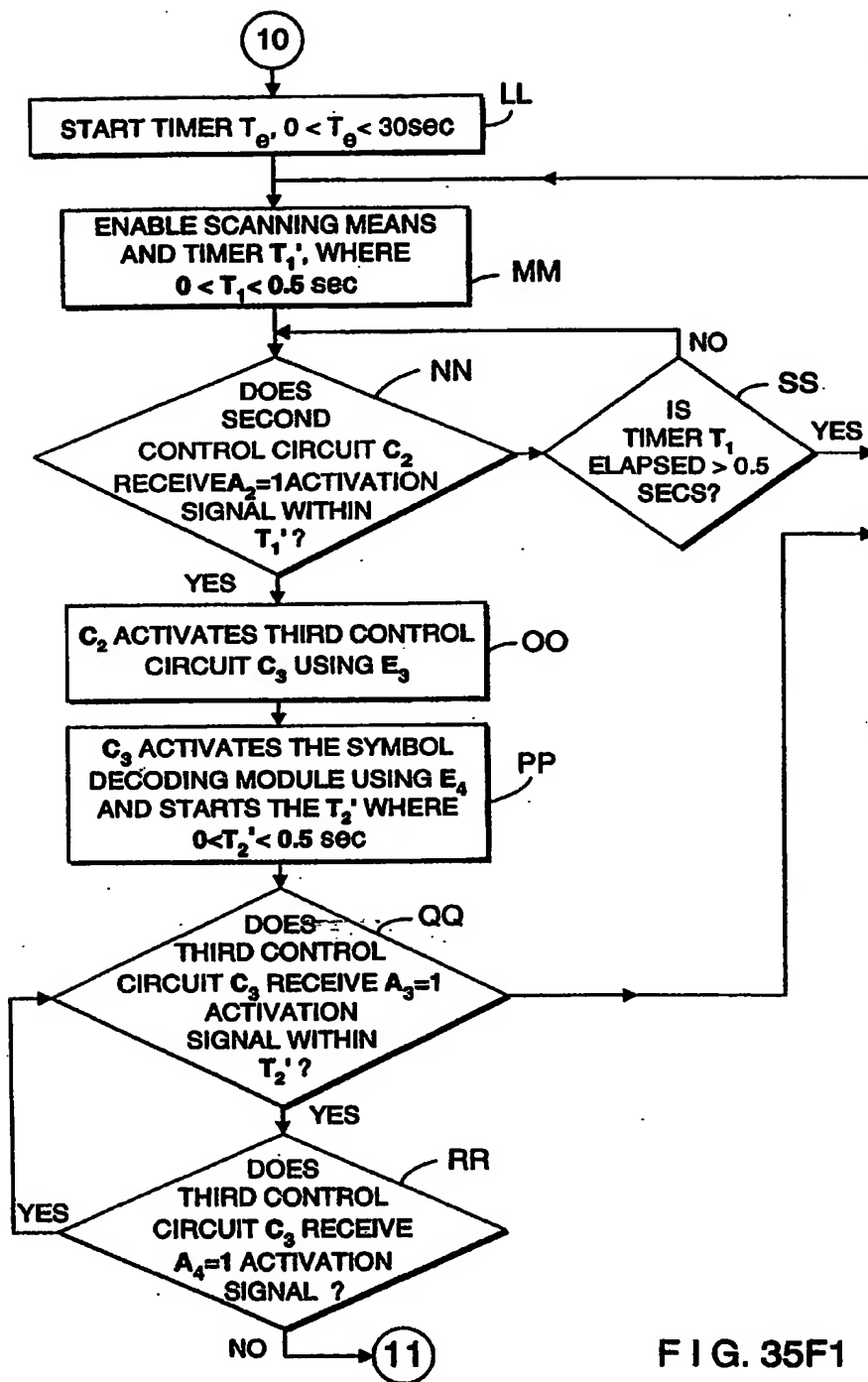
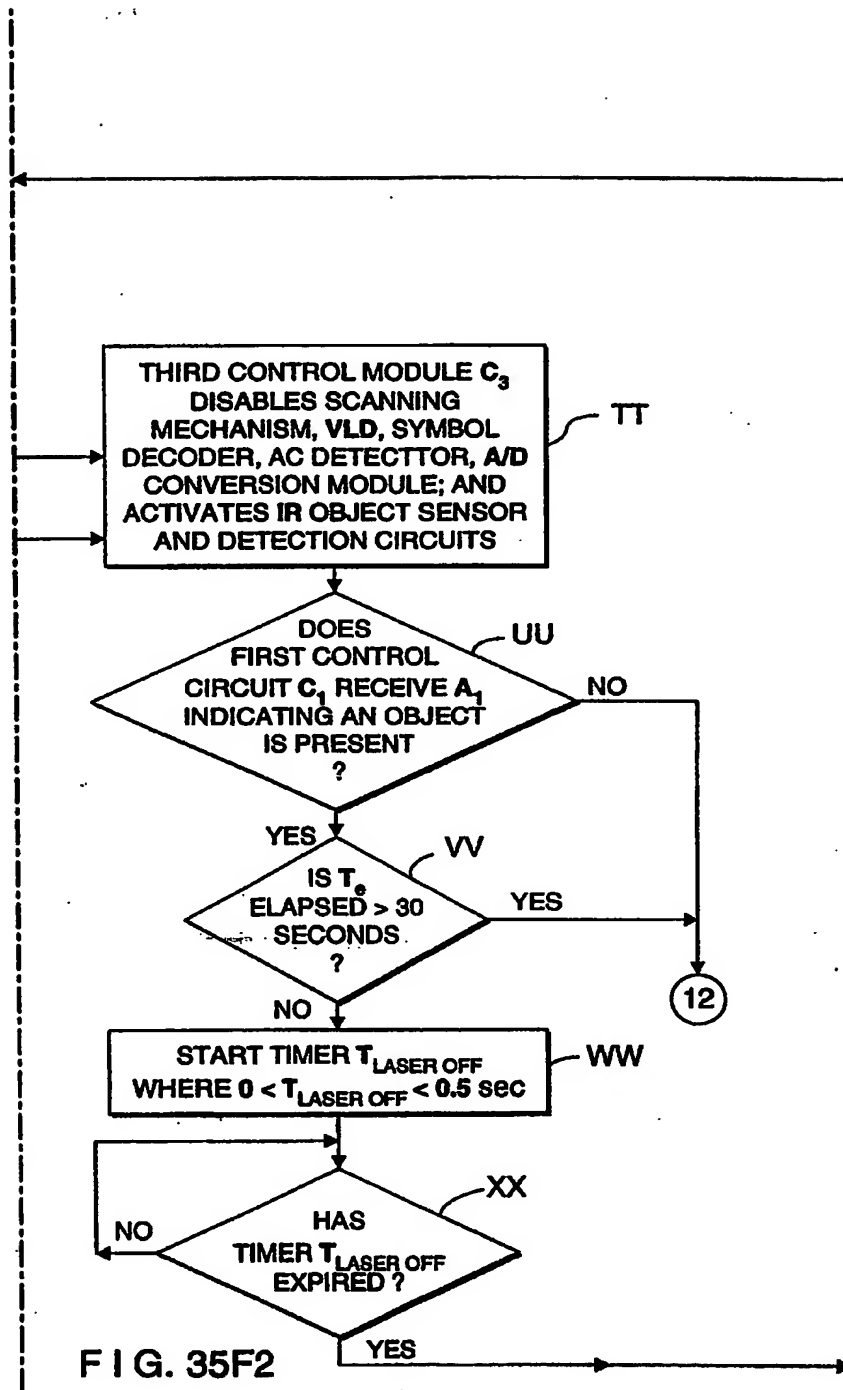
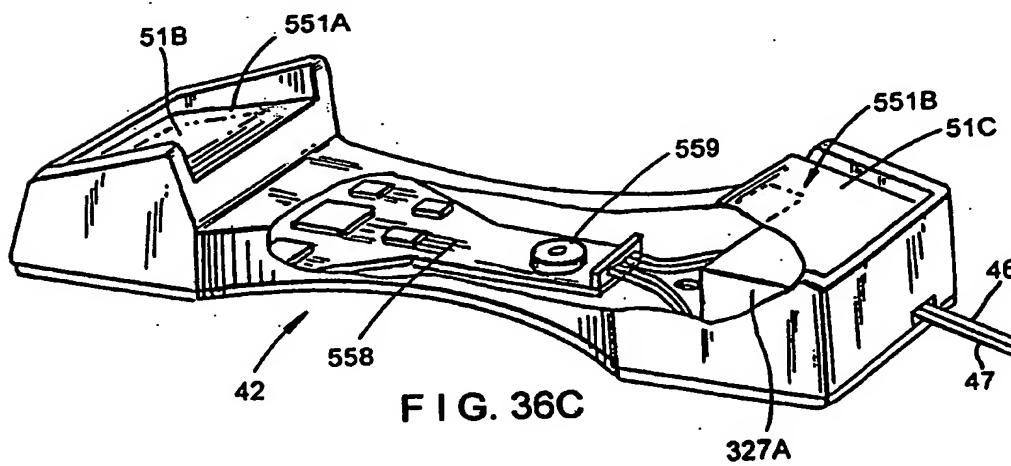
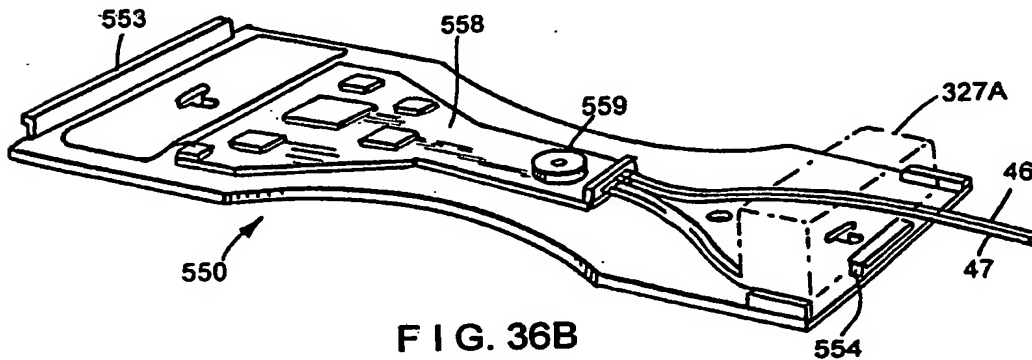
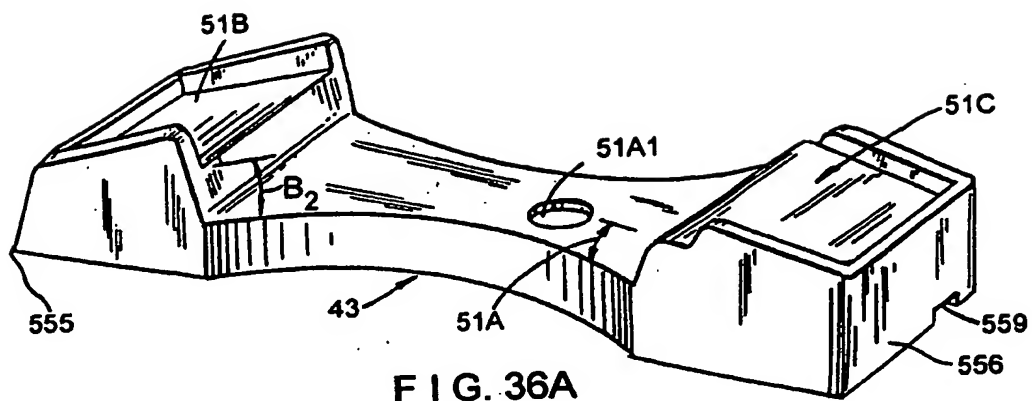


FIG. 35F1





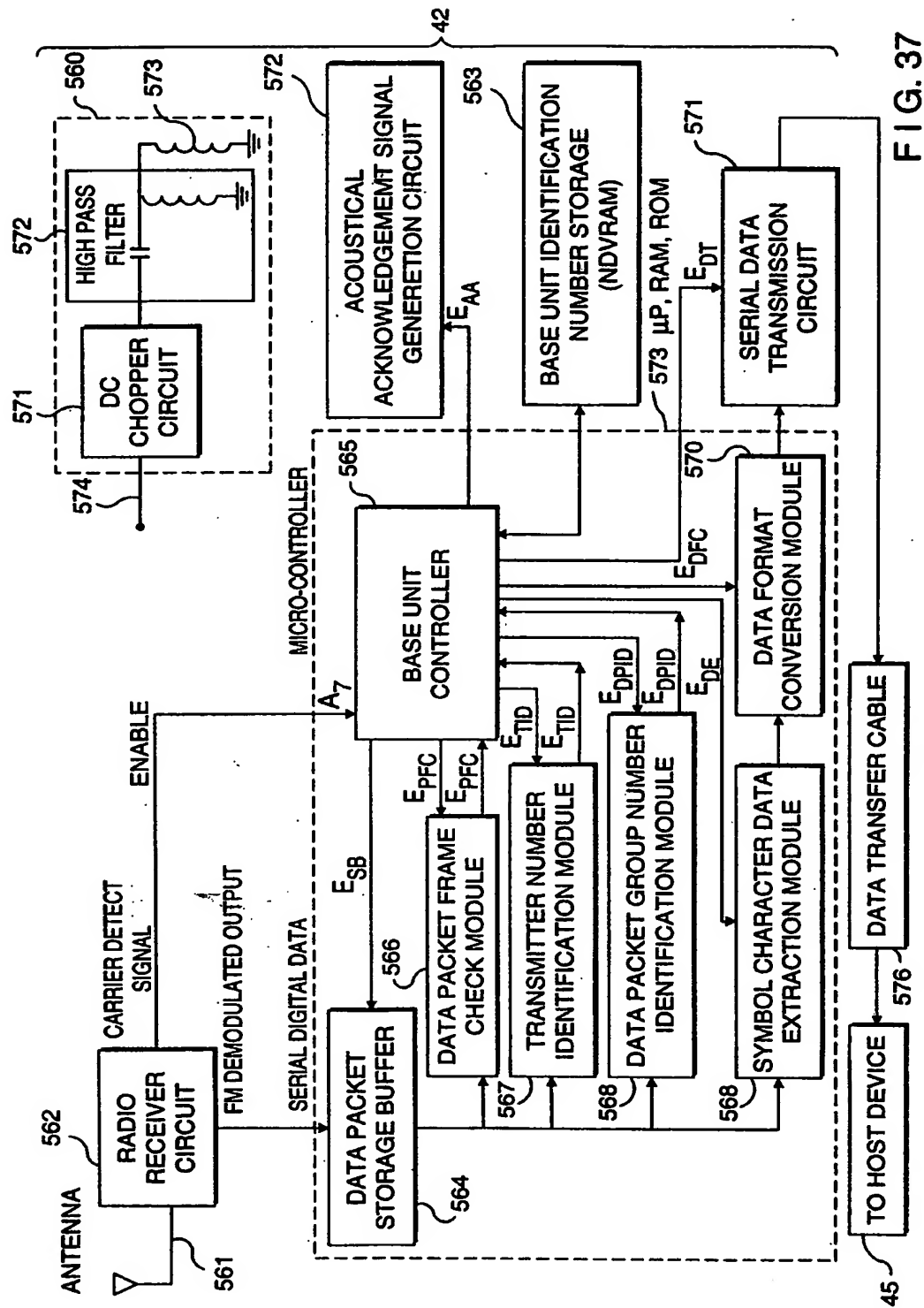


FIG. 37

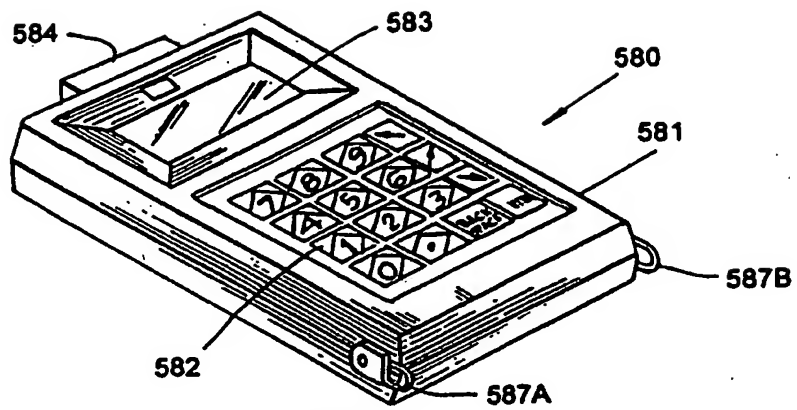


FIG. 38A



FIG. 38B

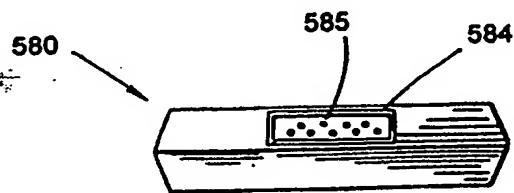


FIG. 38C

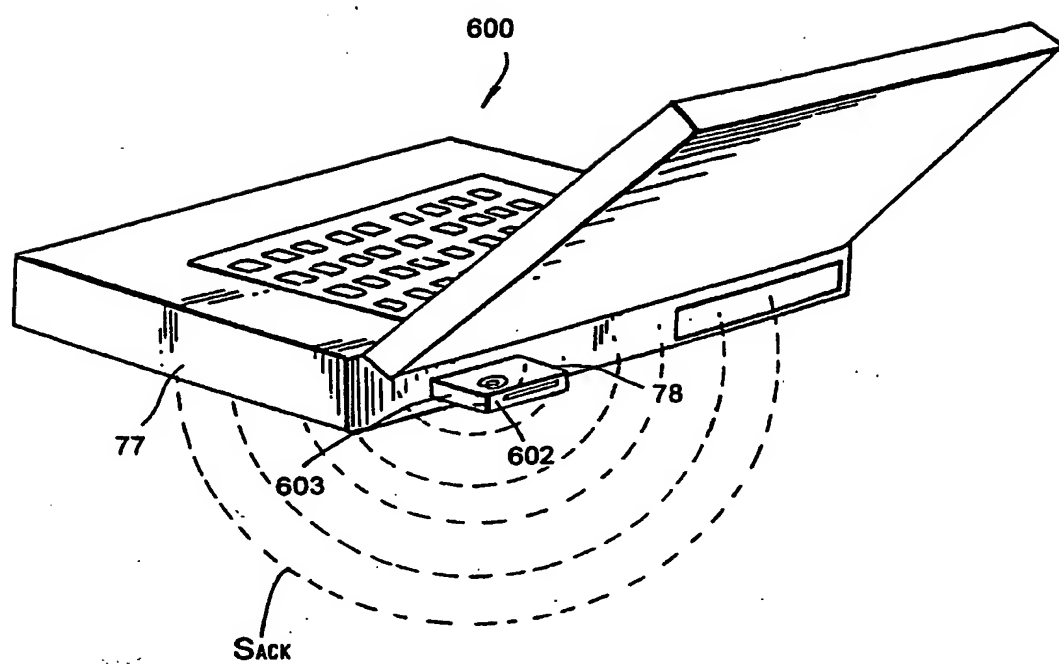
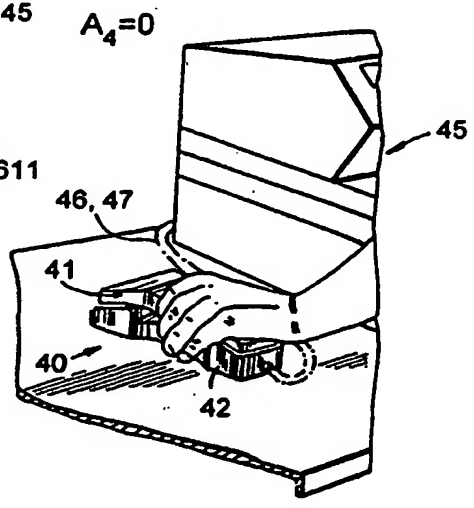
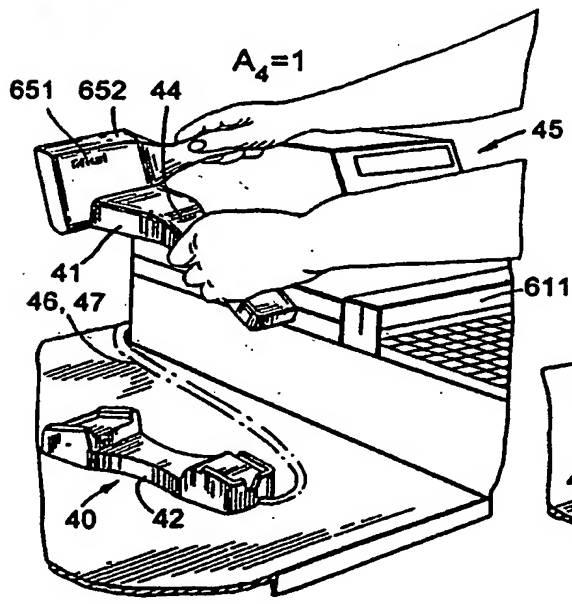
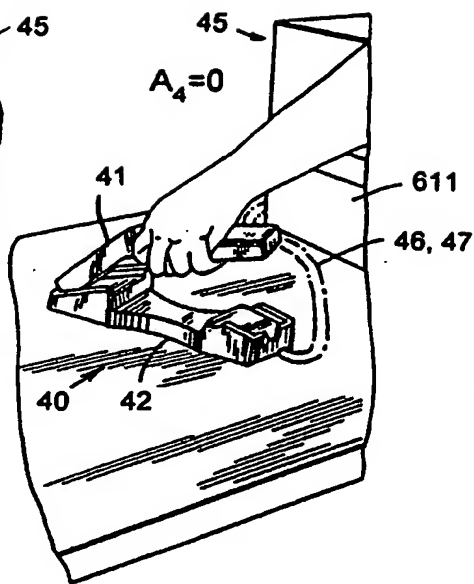
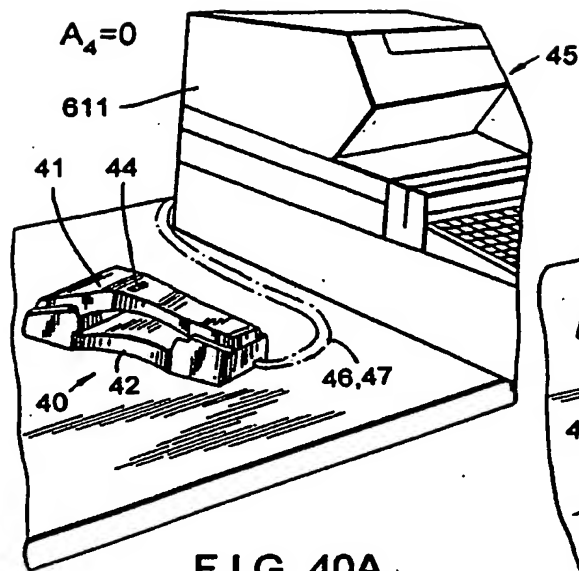


FIG. 39





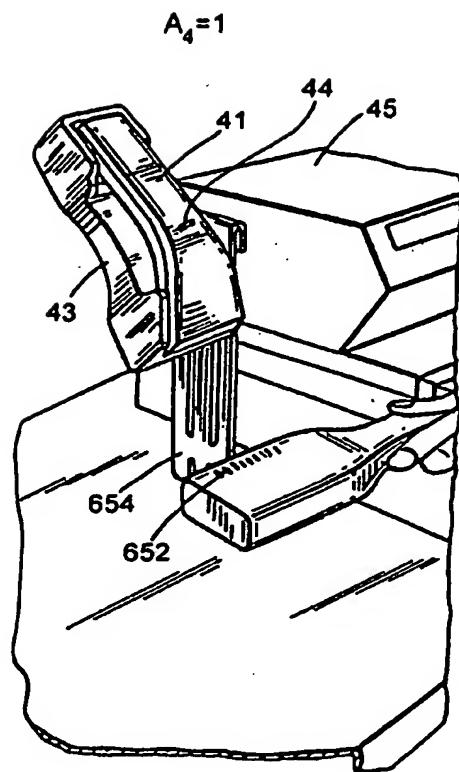


FIG. 41A

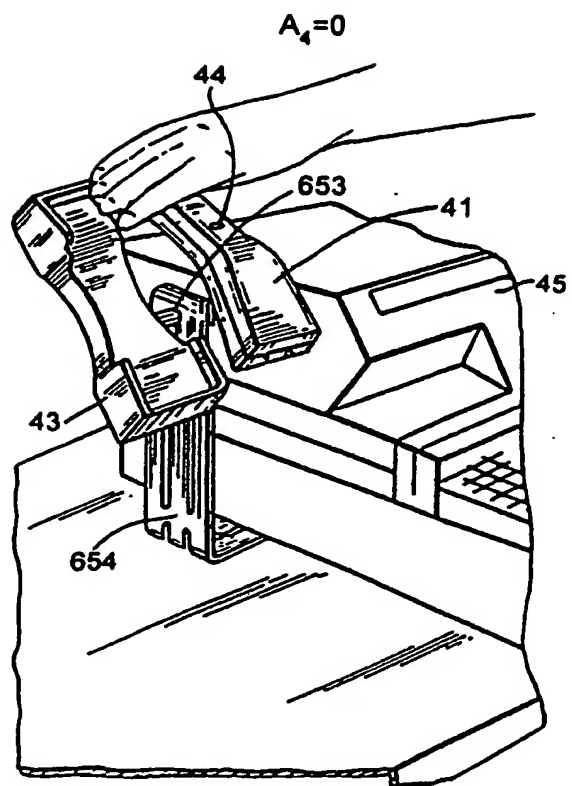


FIG. 41B

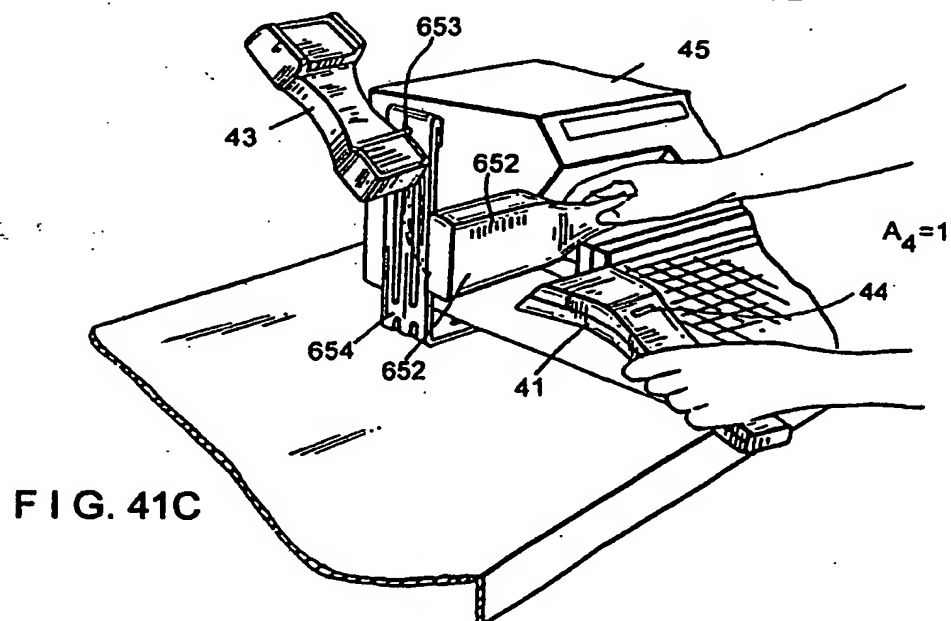
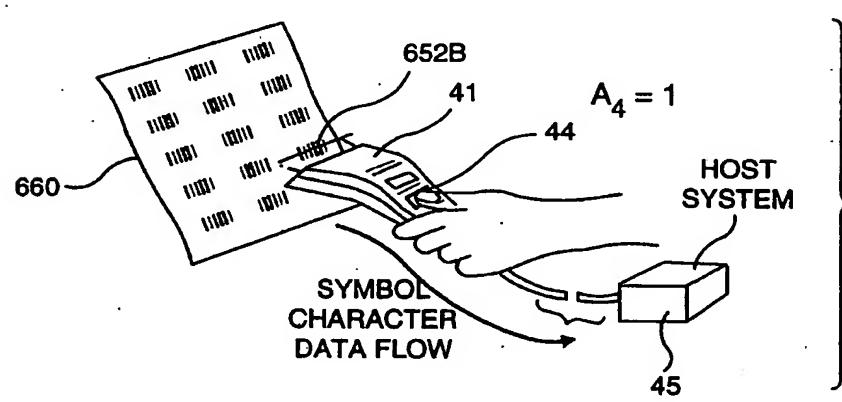
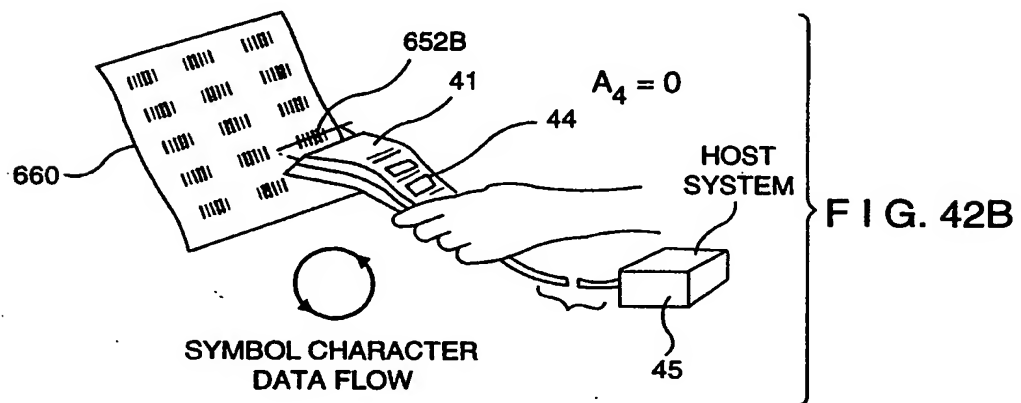
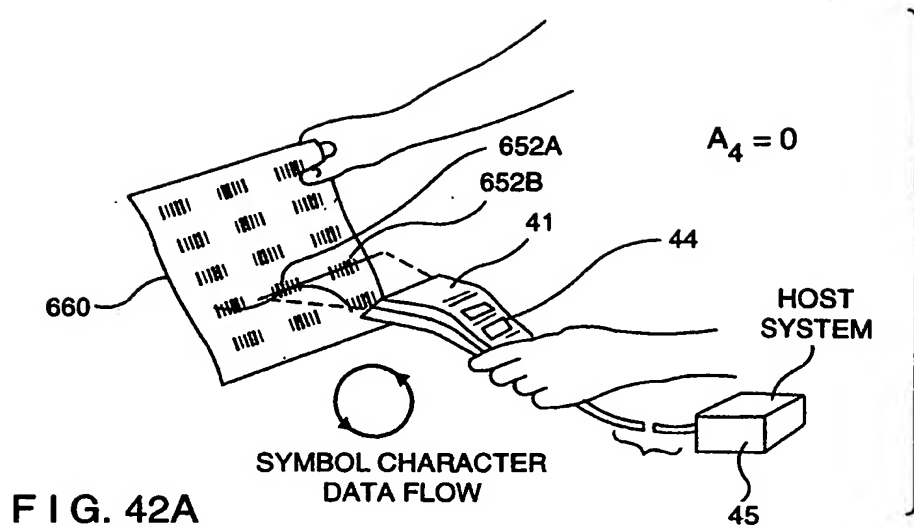


FIG. 41C



Automatic Bar Code Reading System With  
2-Way RF Communication Link

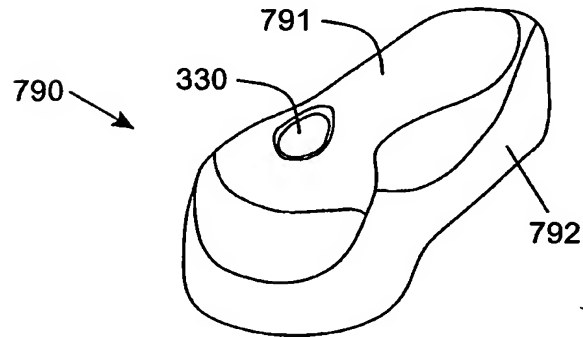


FIG. 43A

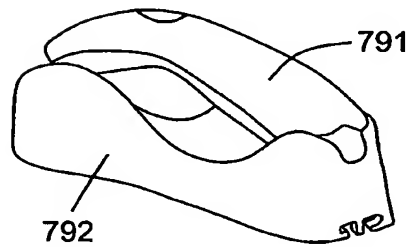


FIG. 43B

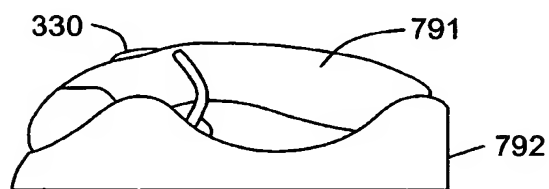


FIG. 43C

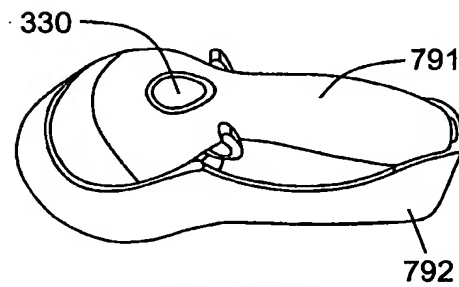


FIG. 43D

Protracted Configuration

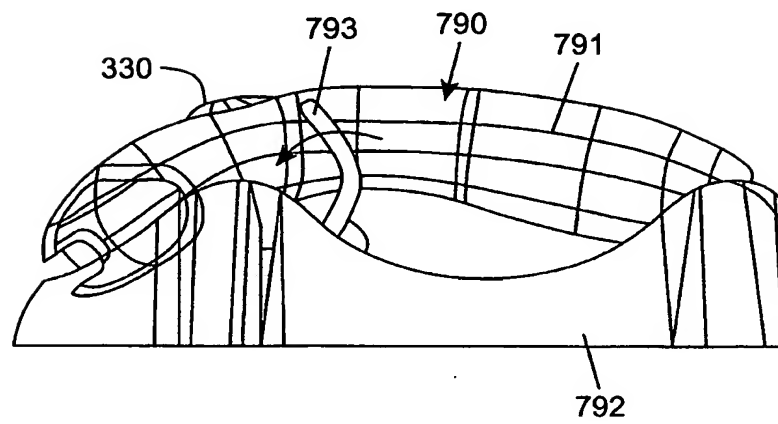


FIG. 43E

Protracted Configuration

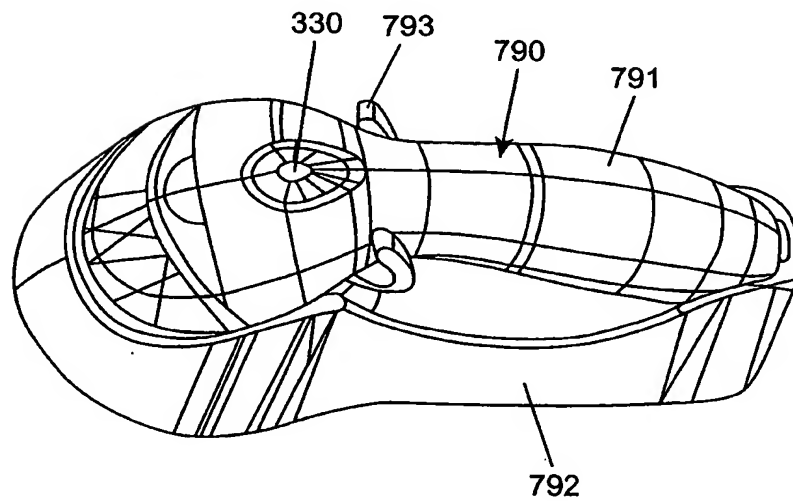


FIG. 43F

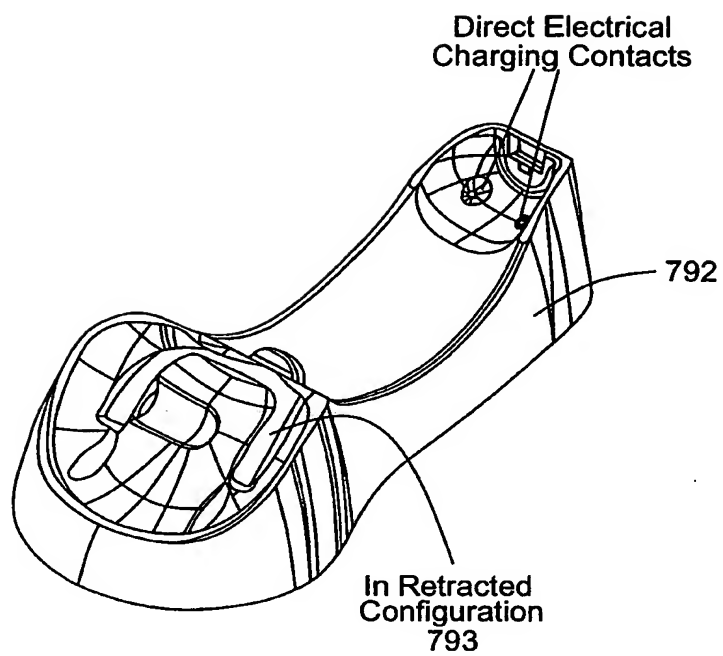


FIG. 43G

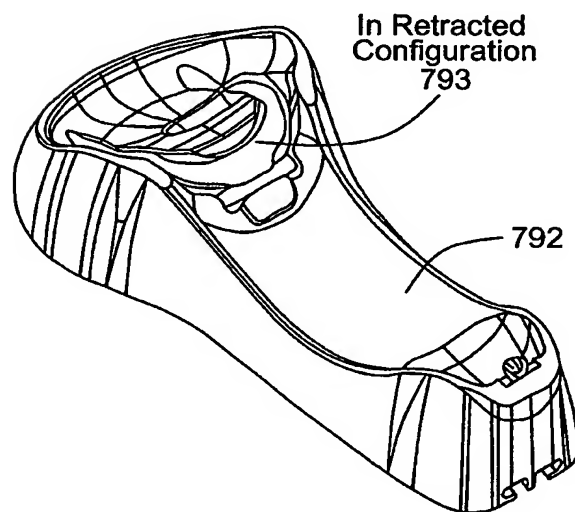


FIG. 43H

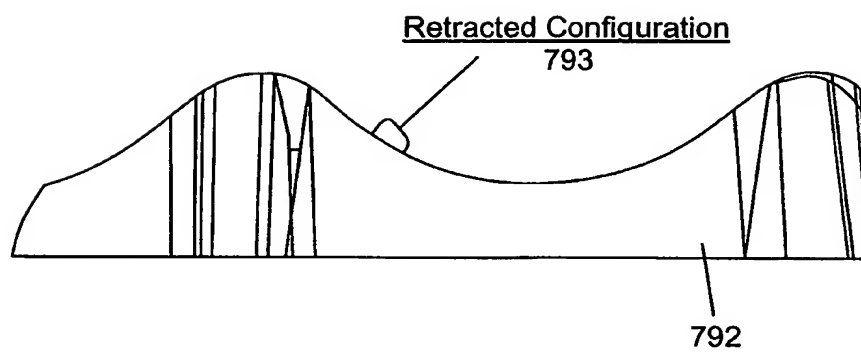


FIG. 43I

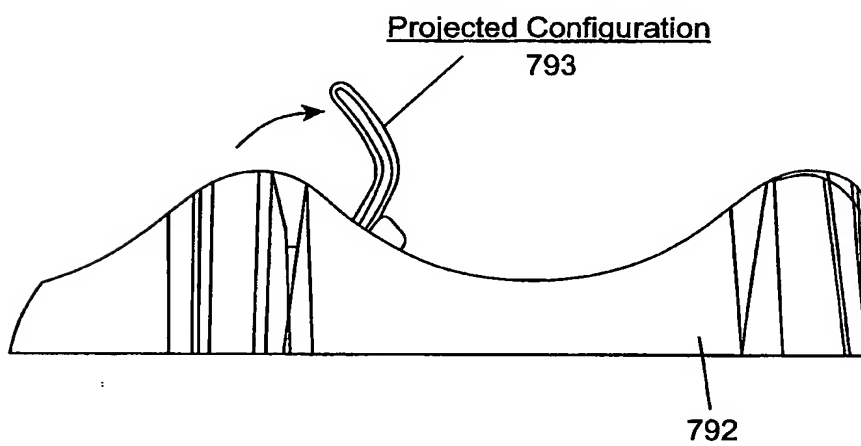


FIG. 43J

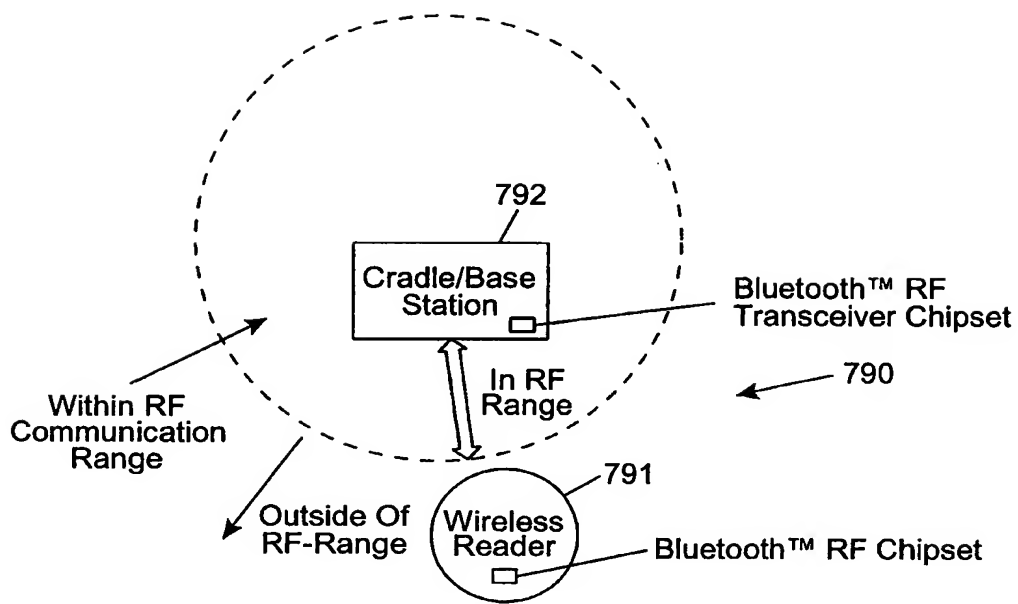


FIG. 44A1

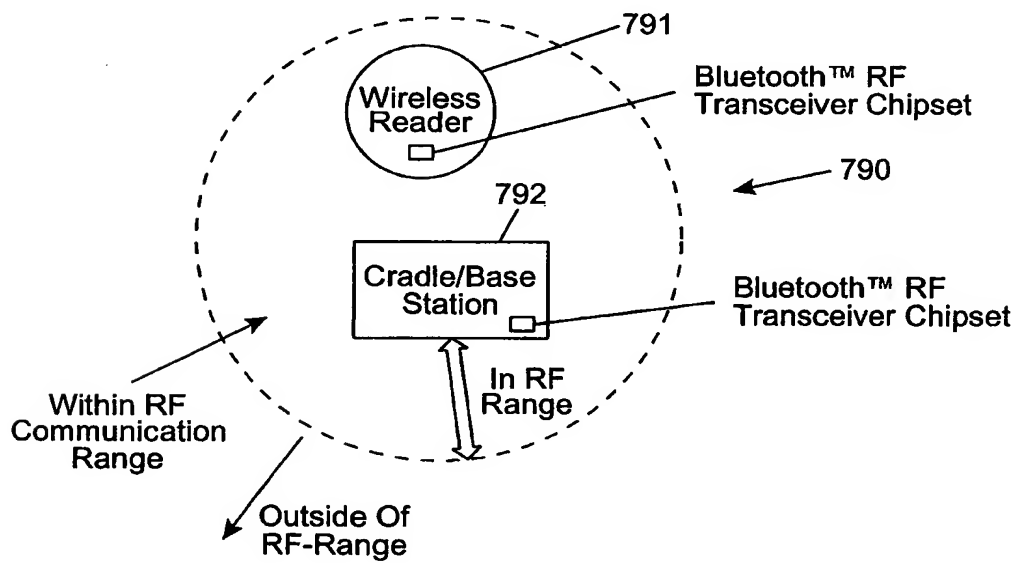


FIG. 44A2



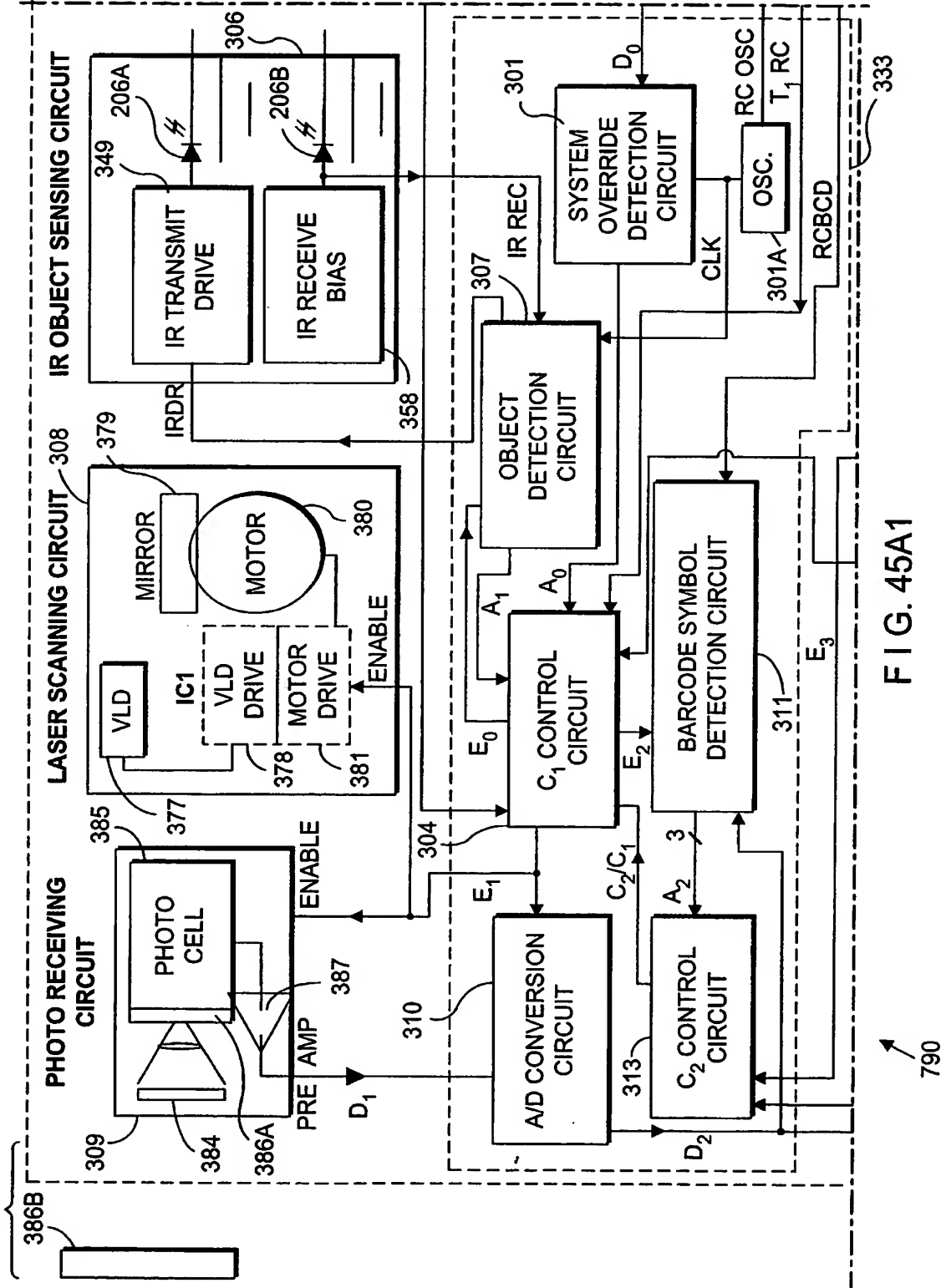


FIG. 45A1

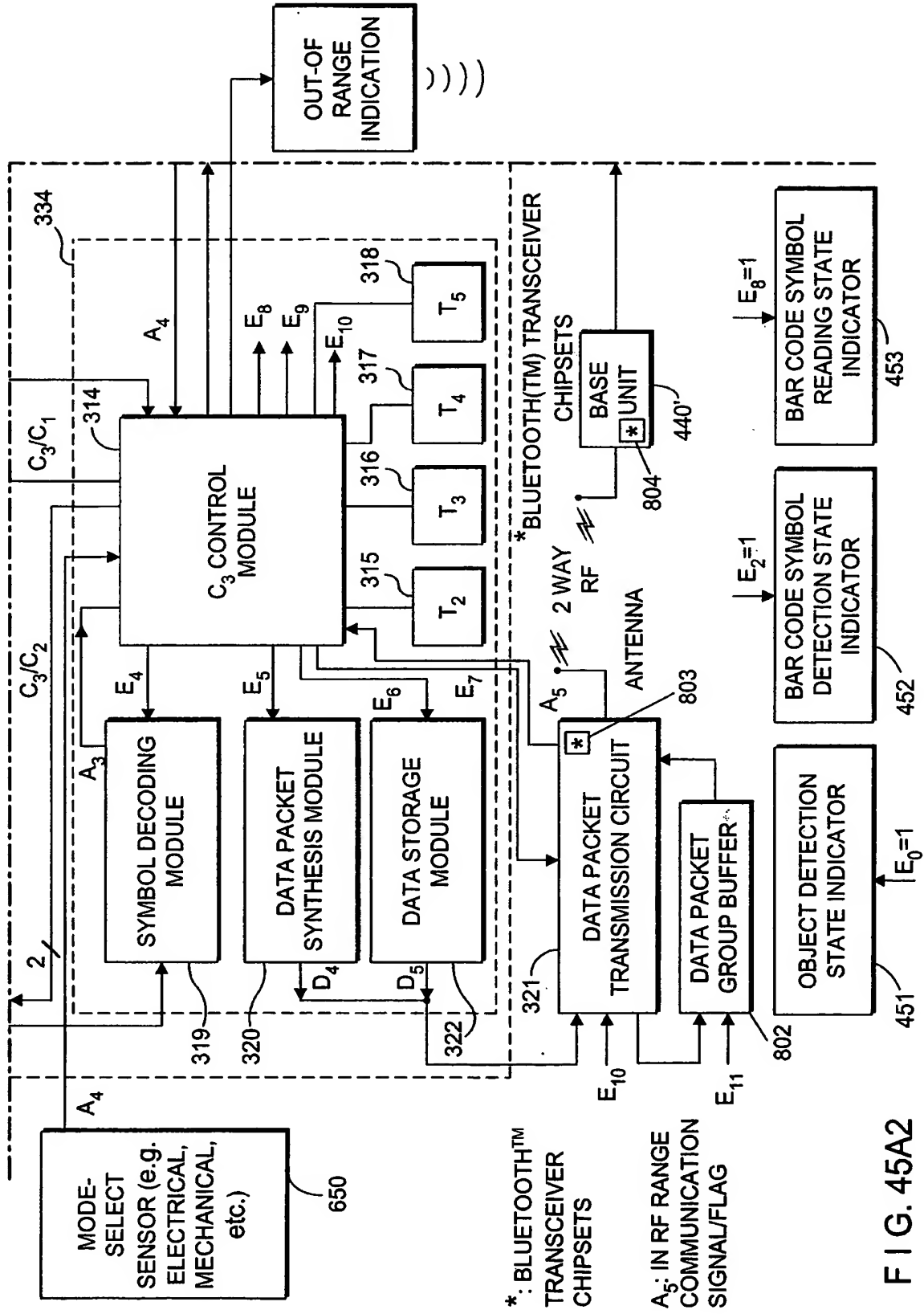


FIG. 45A2

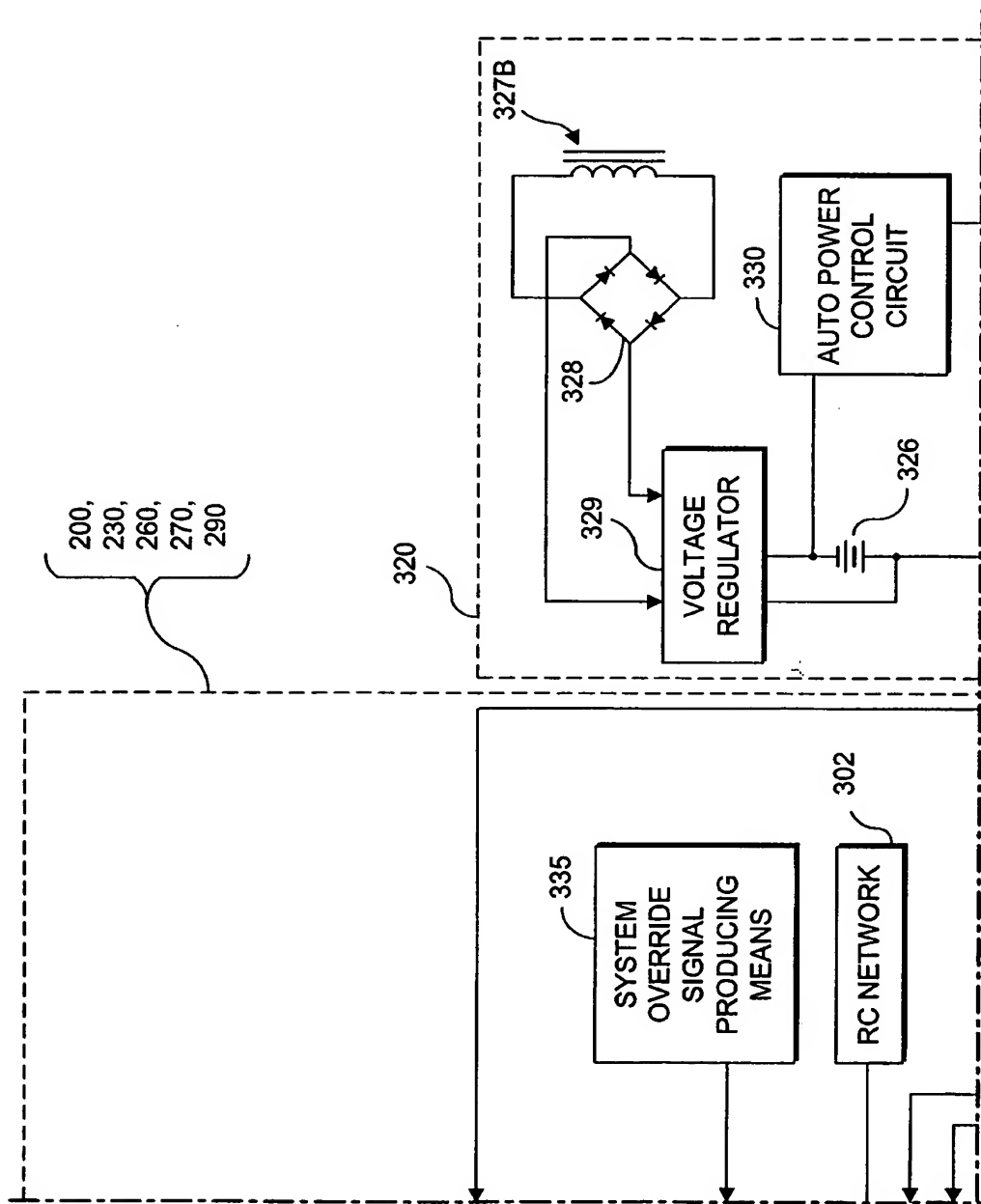


FIG. 45A3

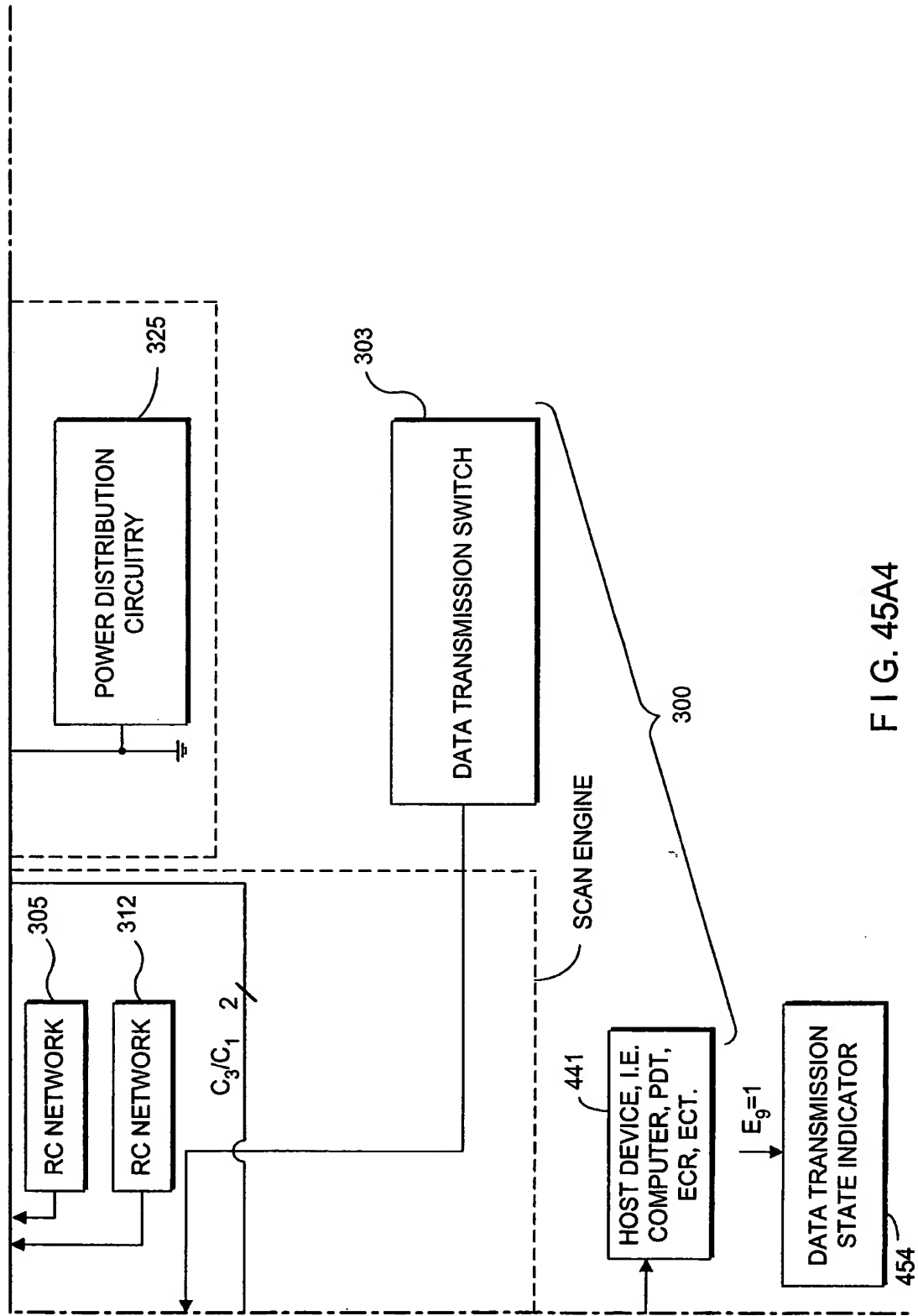


FIG. 45A4

"Direct-Contact Charge Technique"

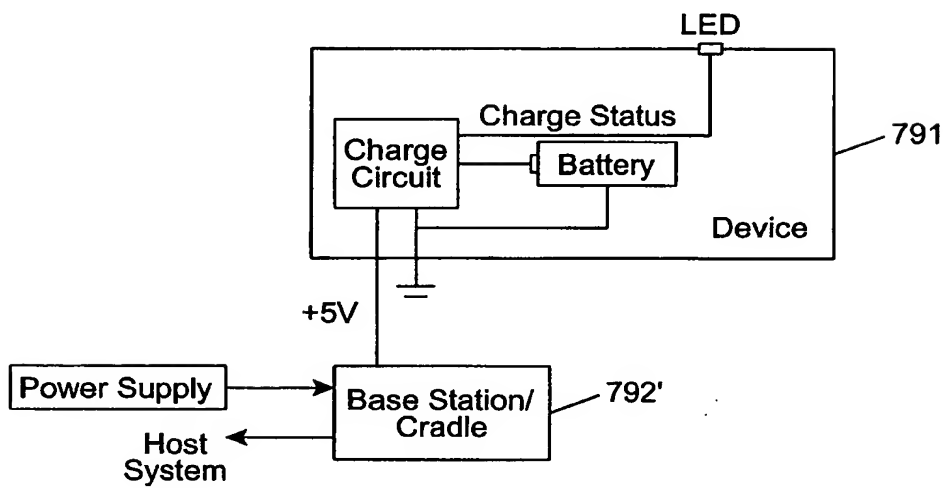


FIG. 45B

DATA PACKET TRANSMISSION VIA 2-WAY RF WITH  
AUTOMATIC RF-RANGE DEPENDENT CONTROL

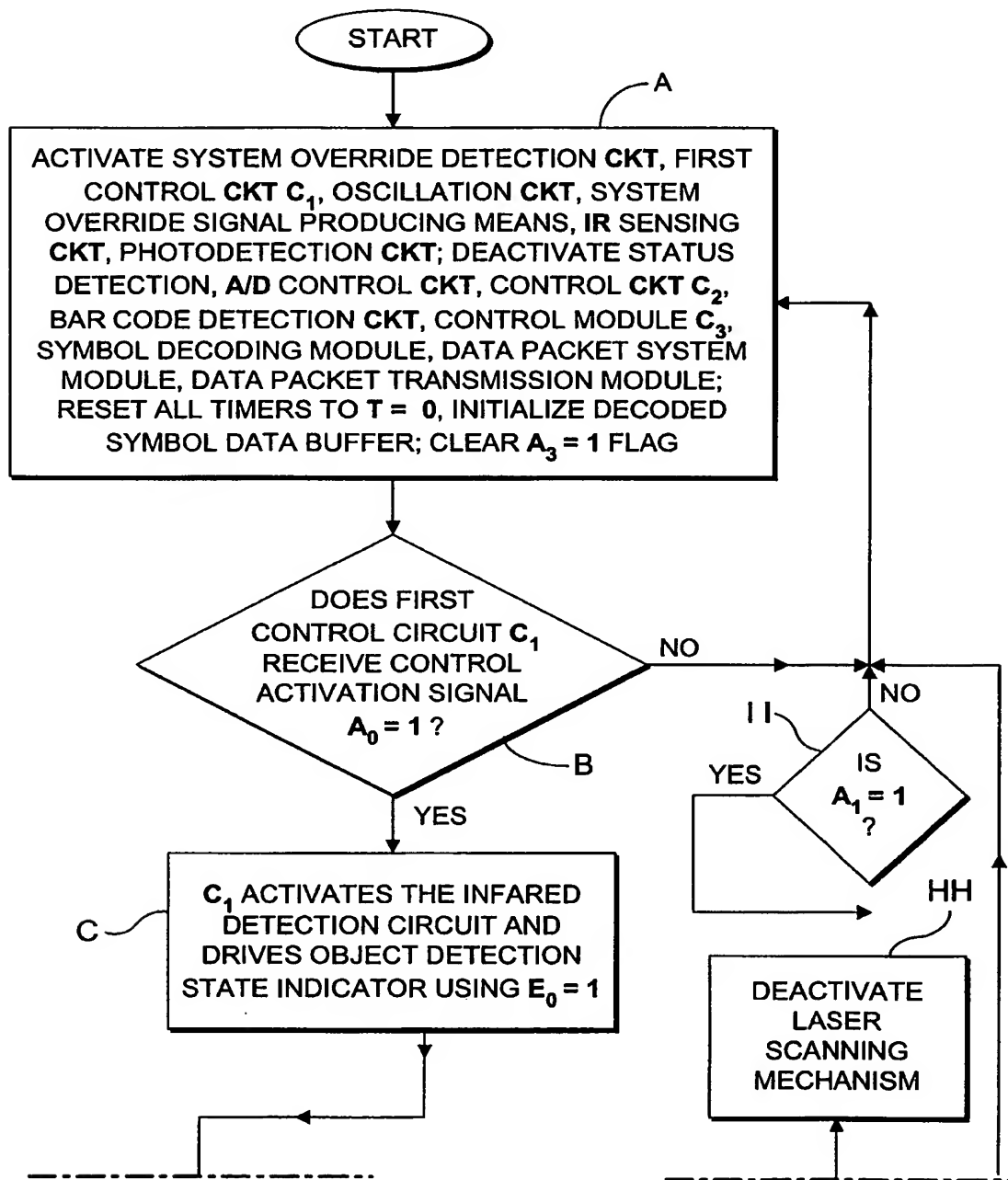


FIG. 46A1

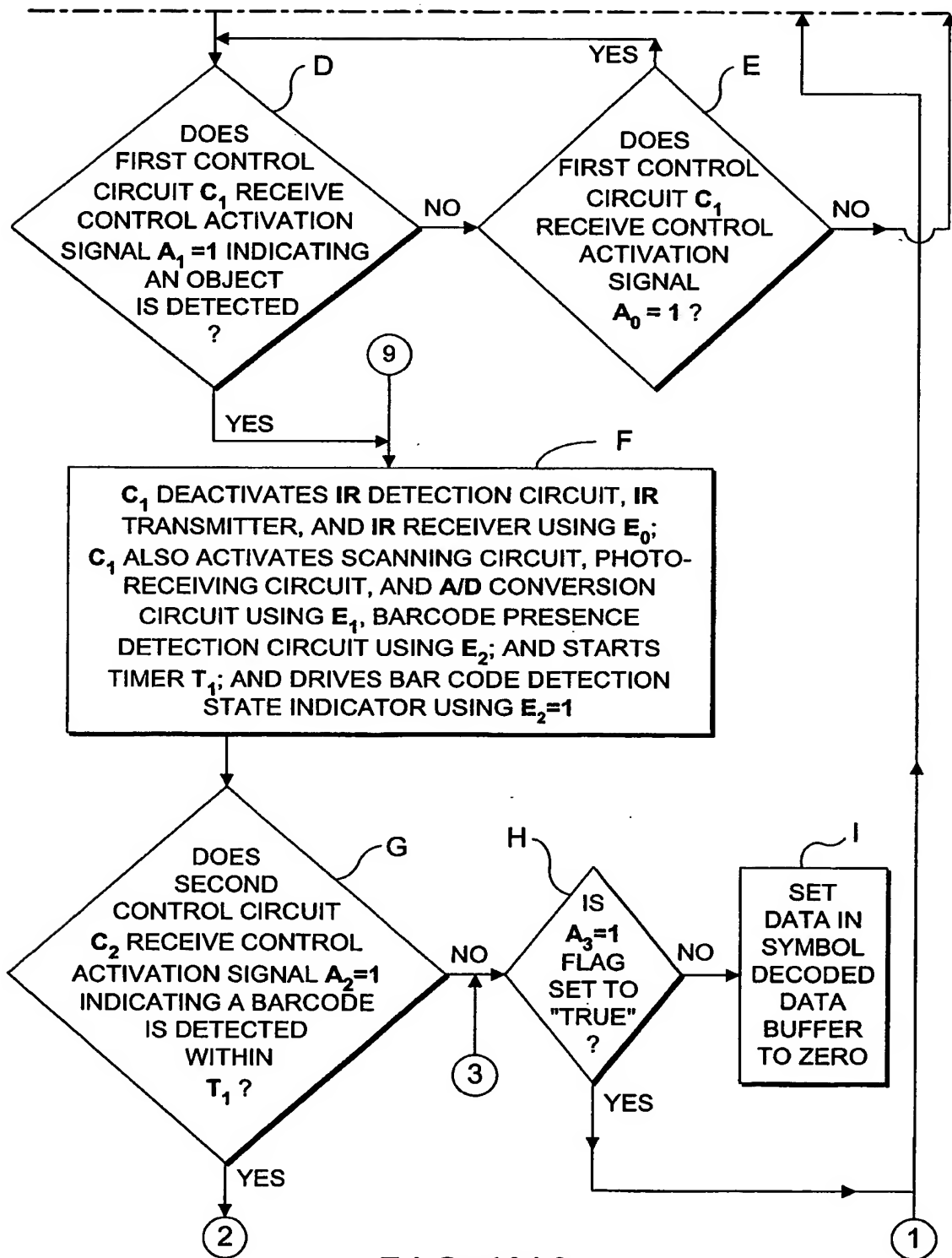


FIG. 46A2

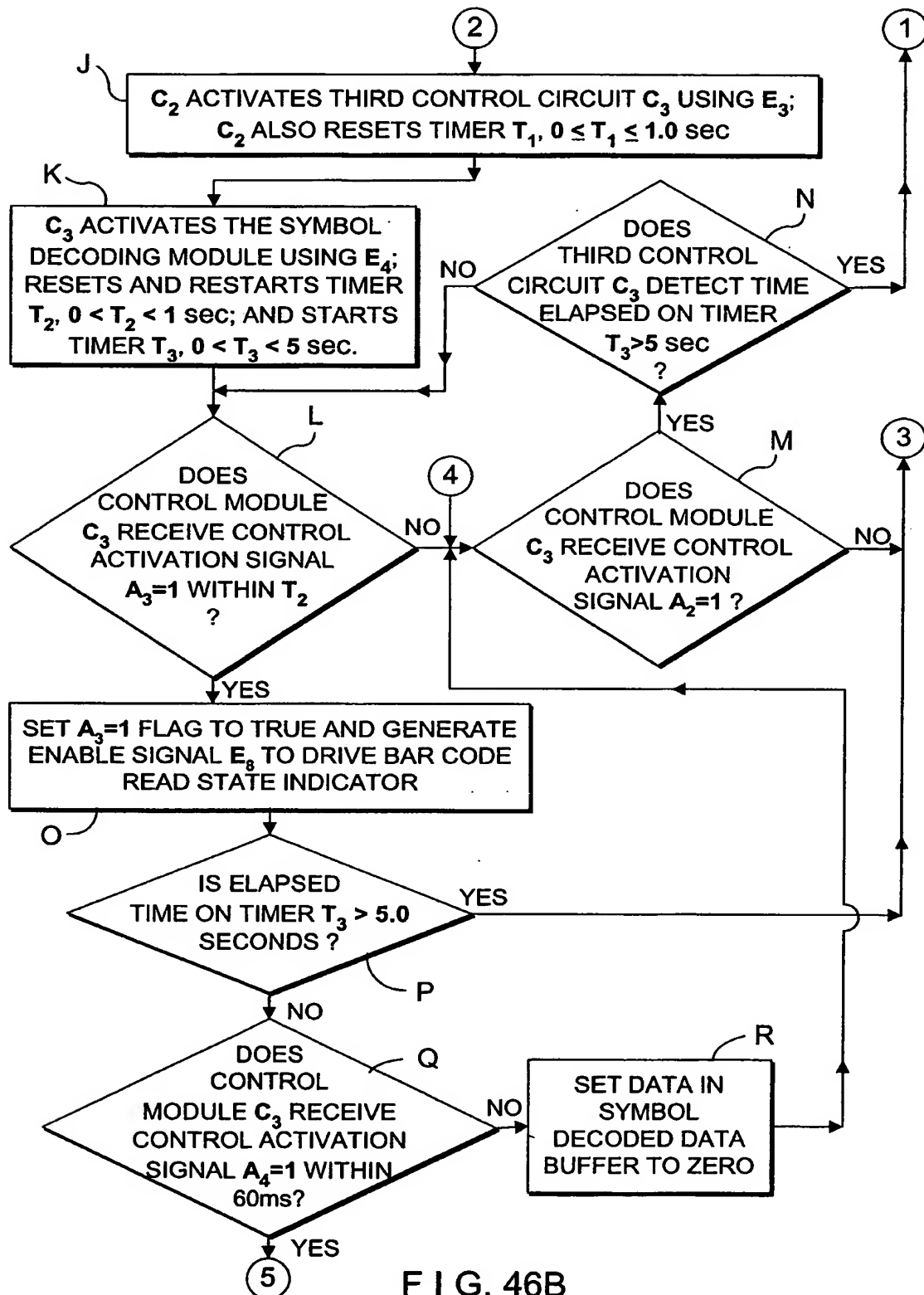


FIG. 46B



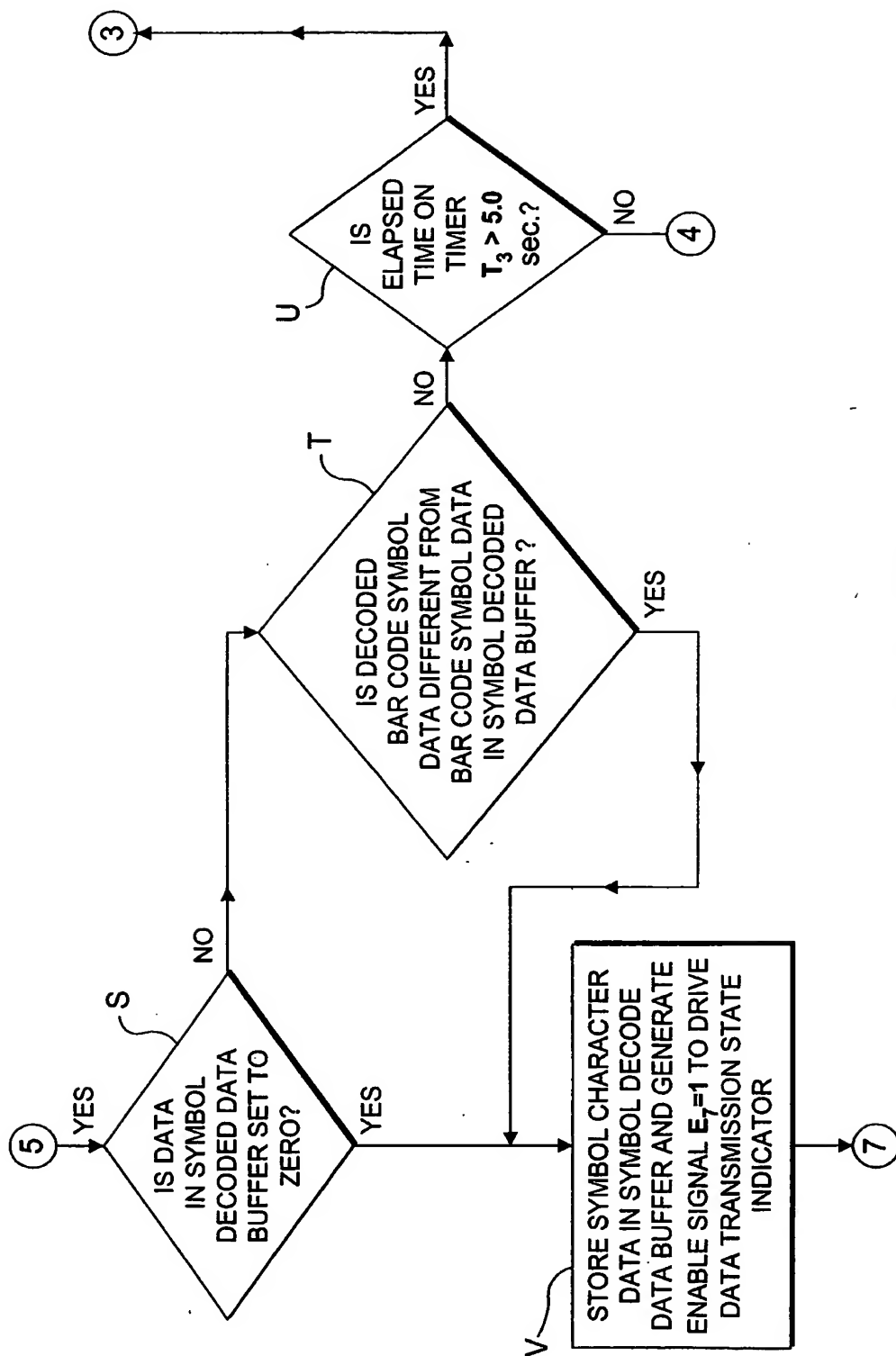
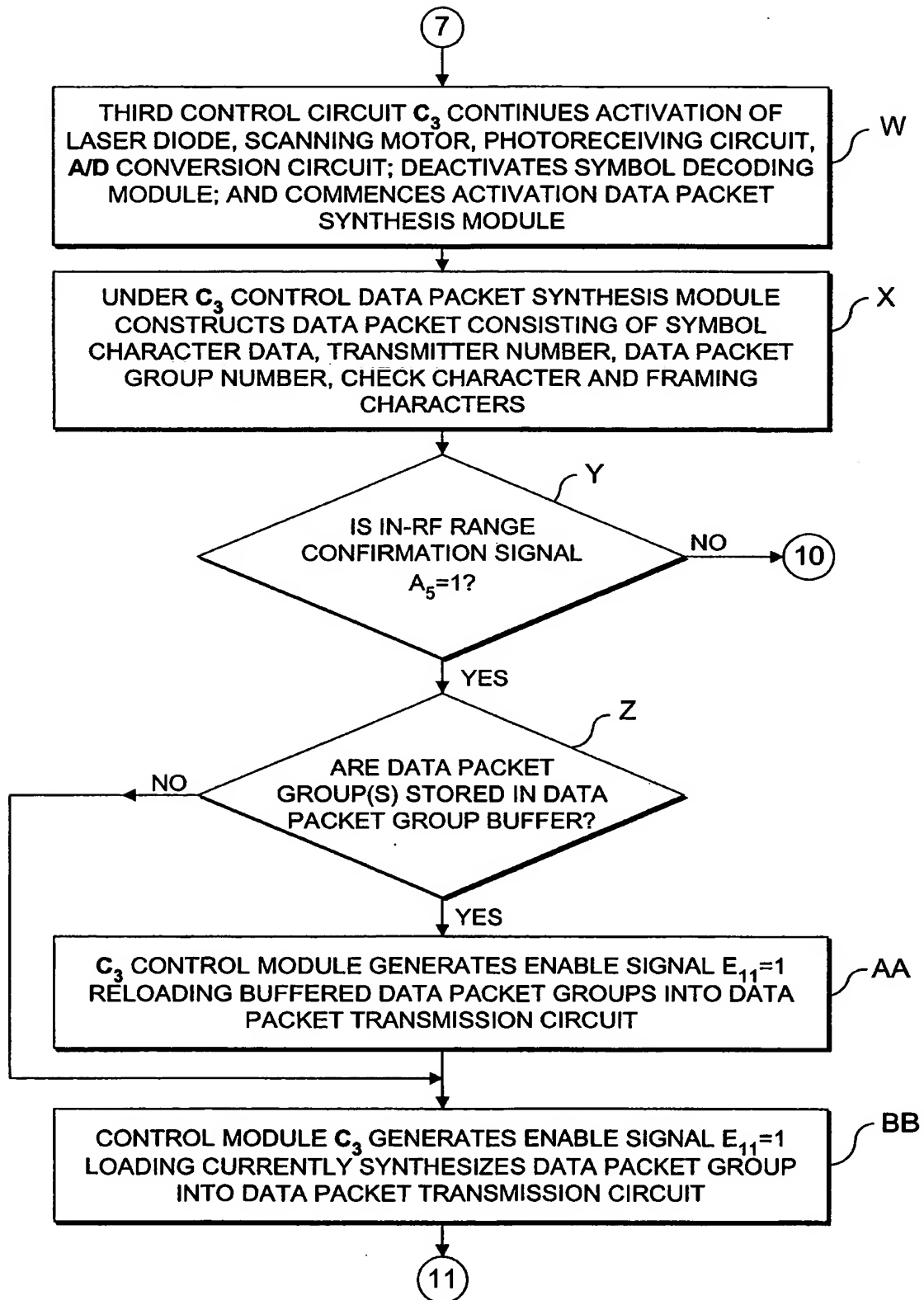


FIG. 46C1



F I G. 46C2

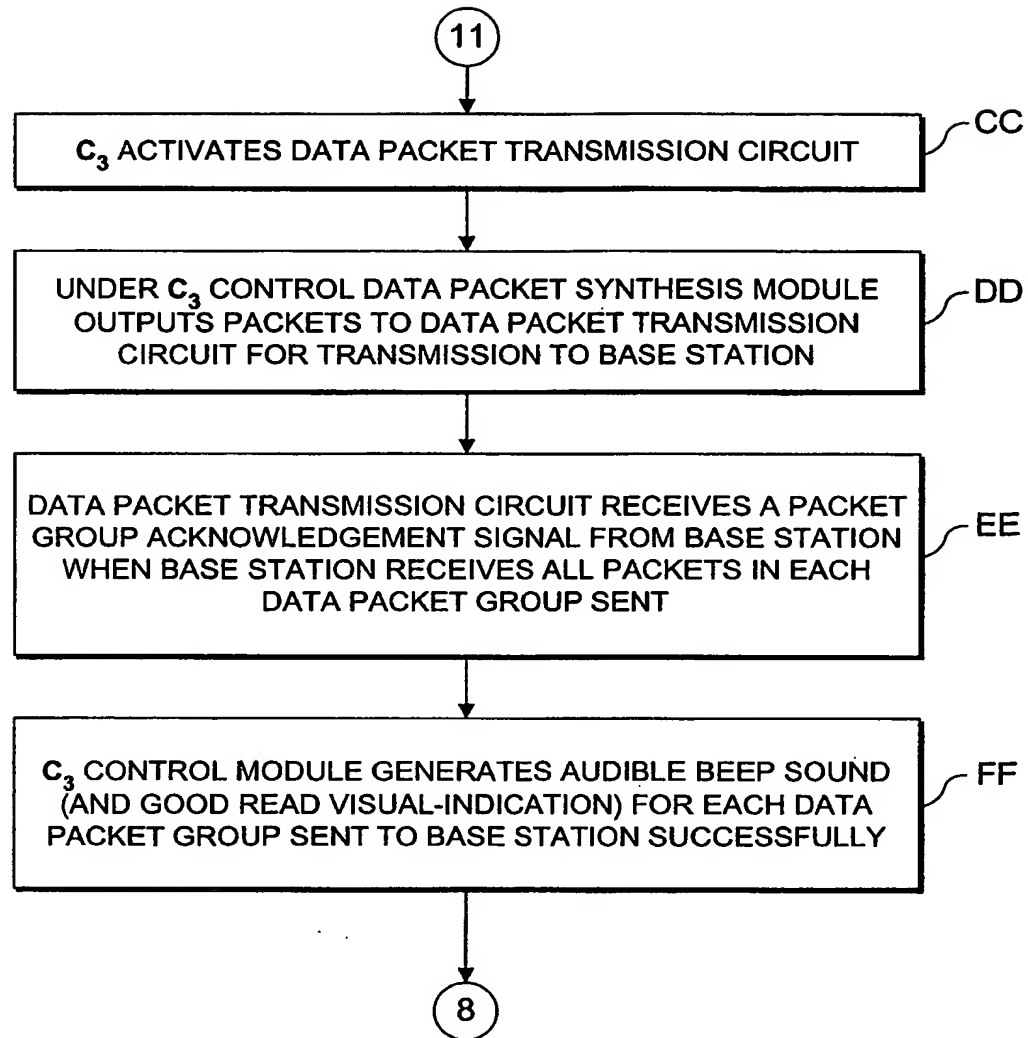


FIG. 46C3

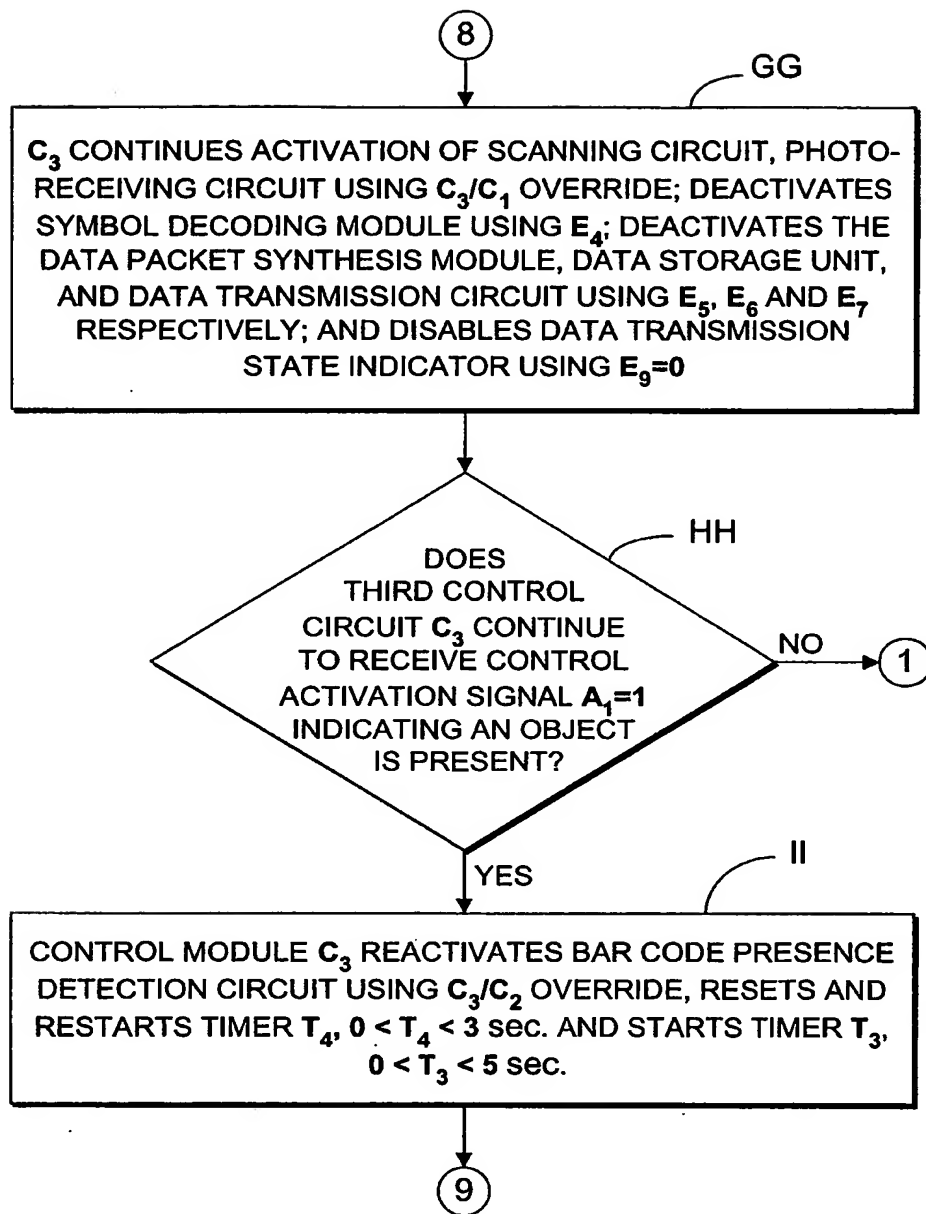


FIG. 46C4

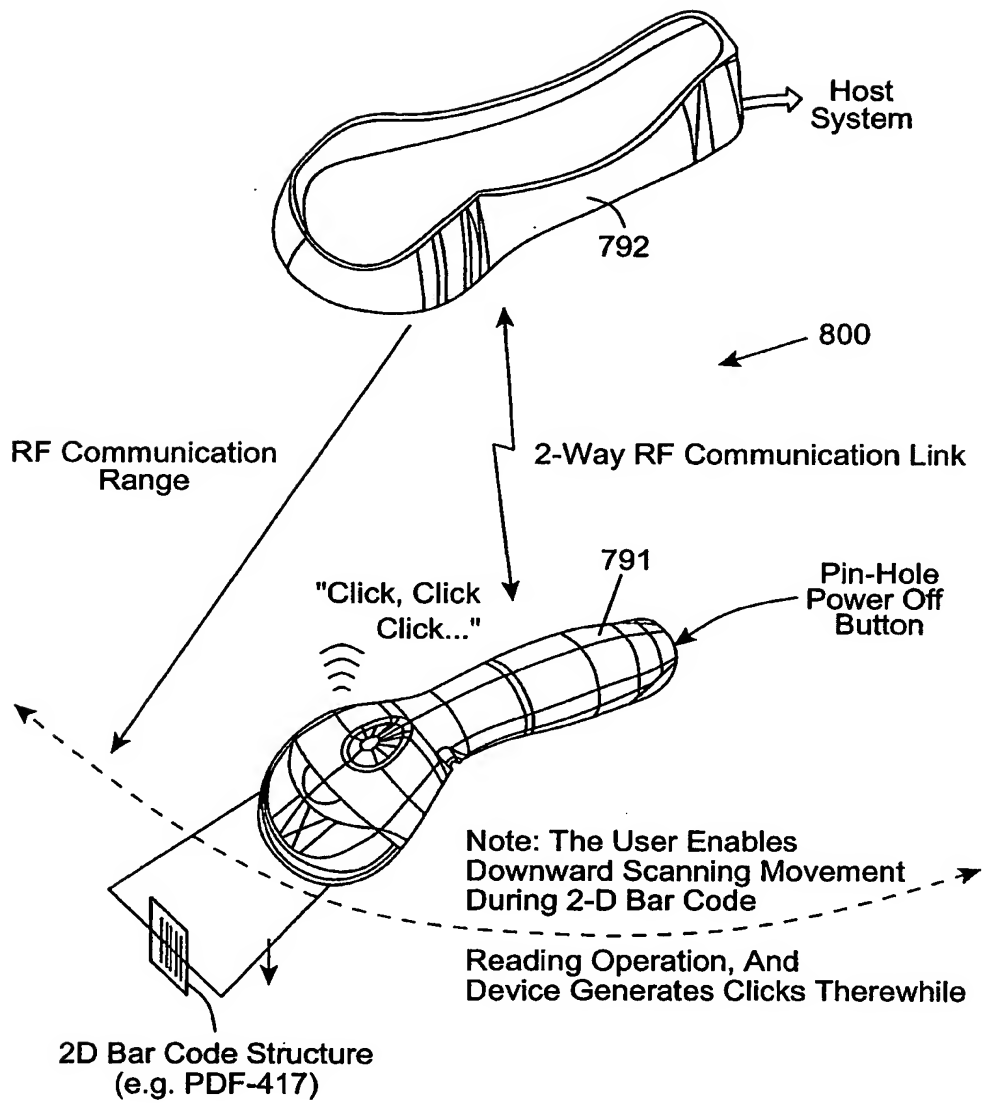


FIG. 47

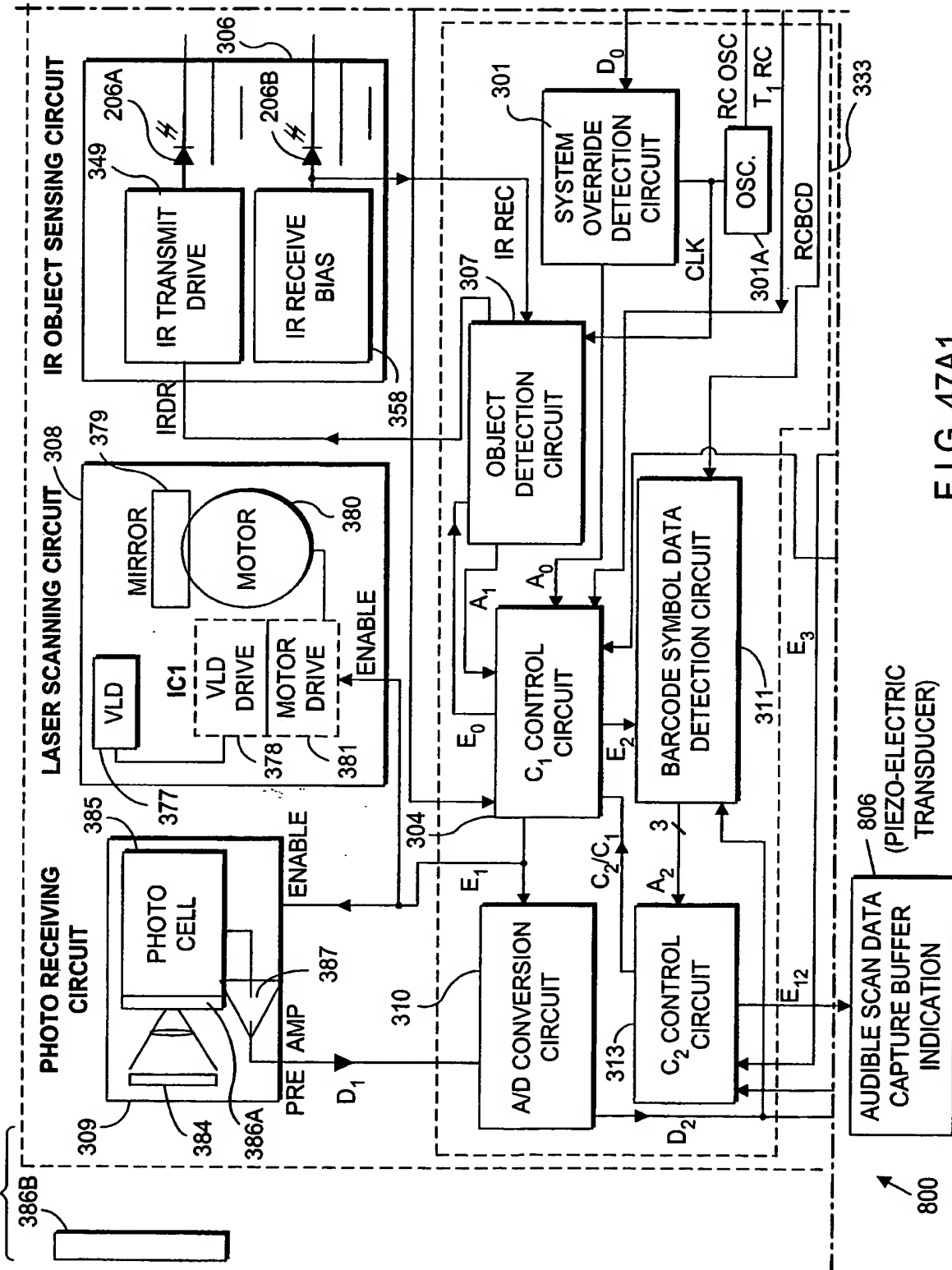


FIG. 47A1

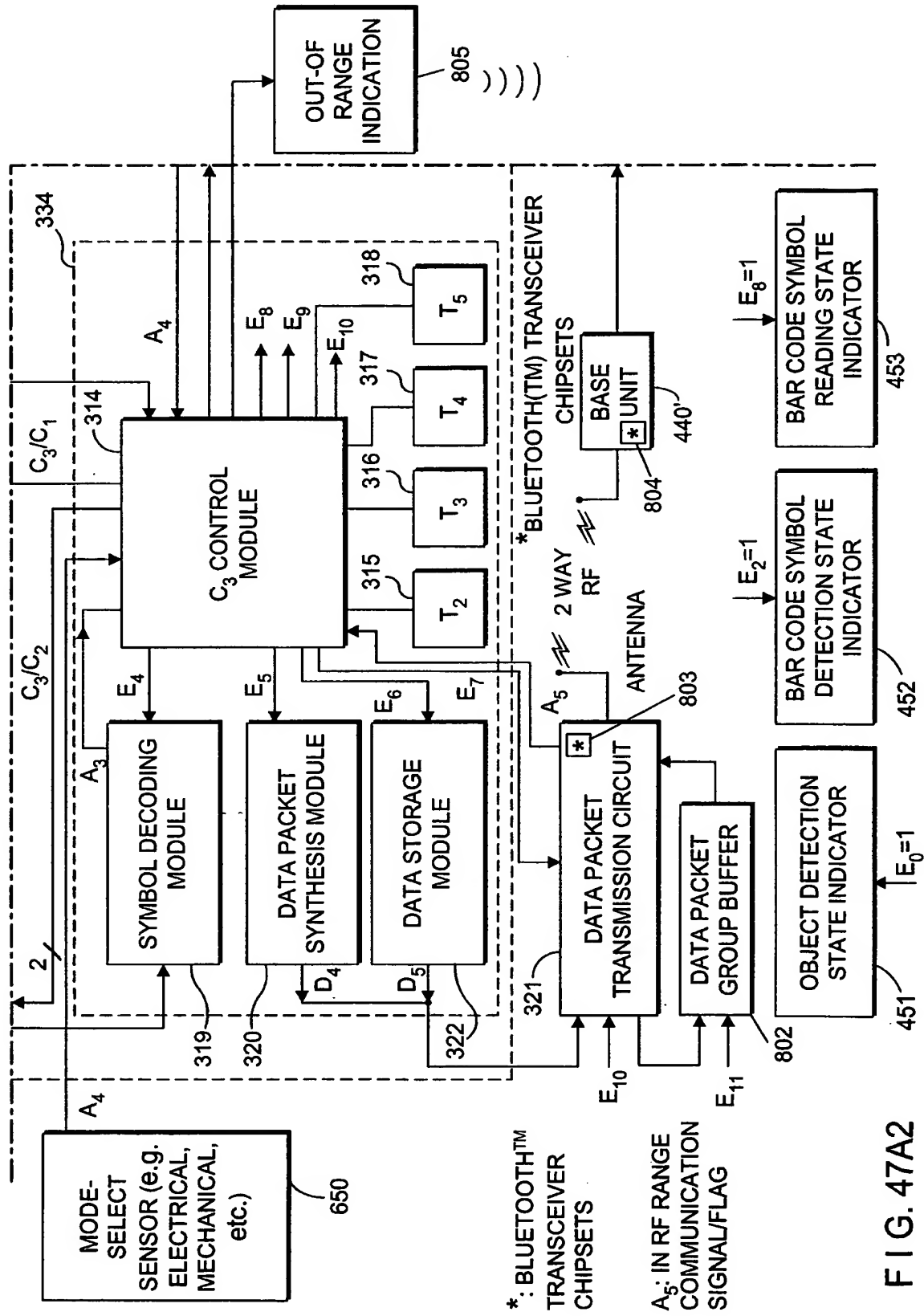
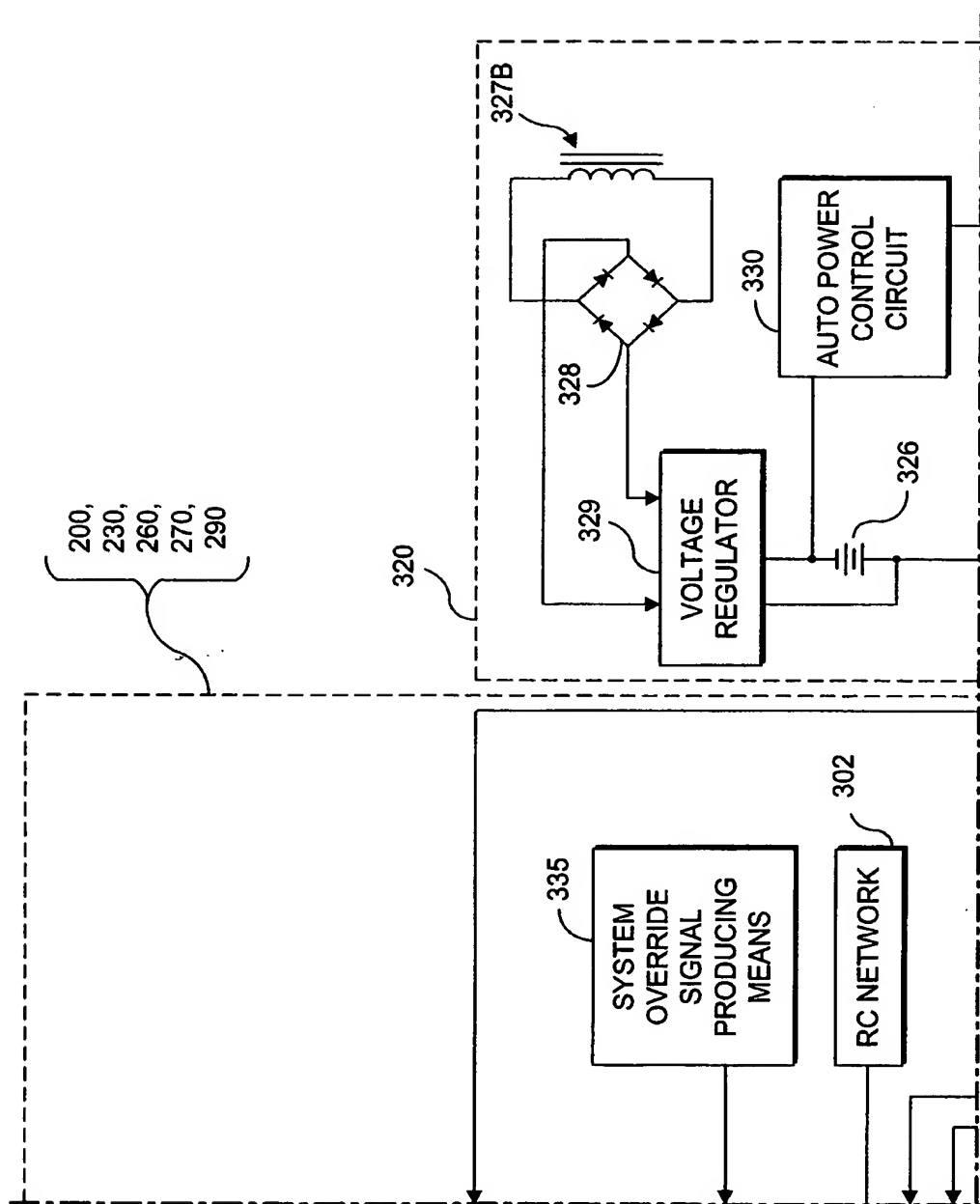
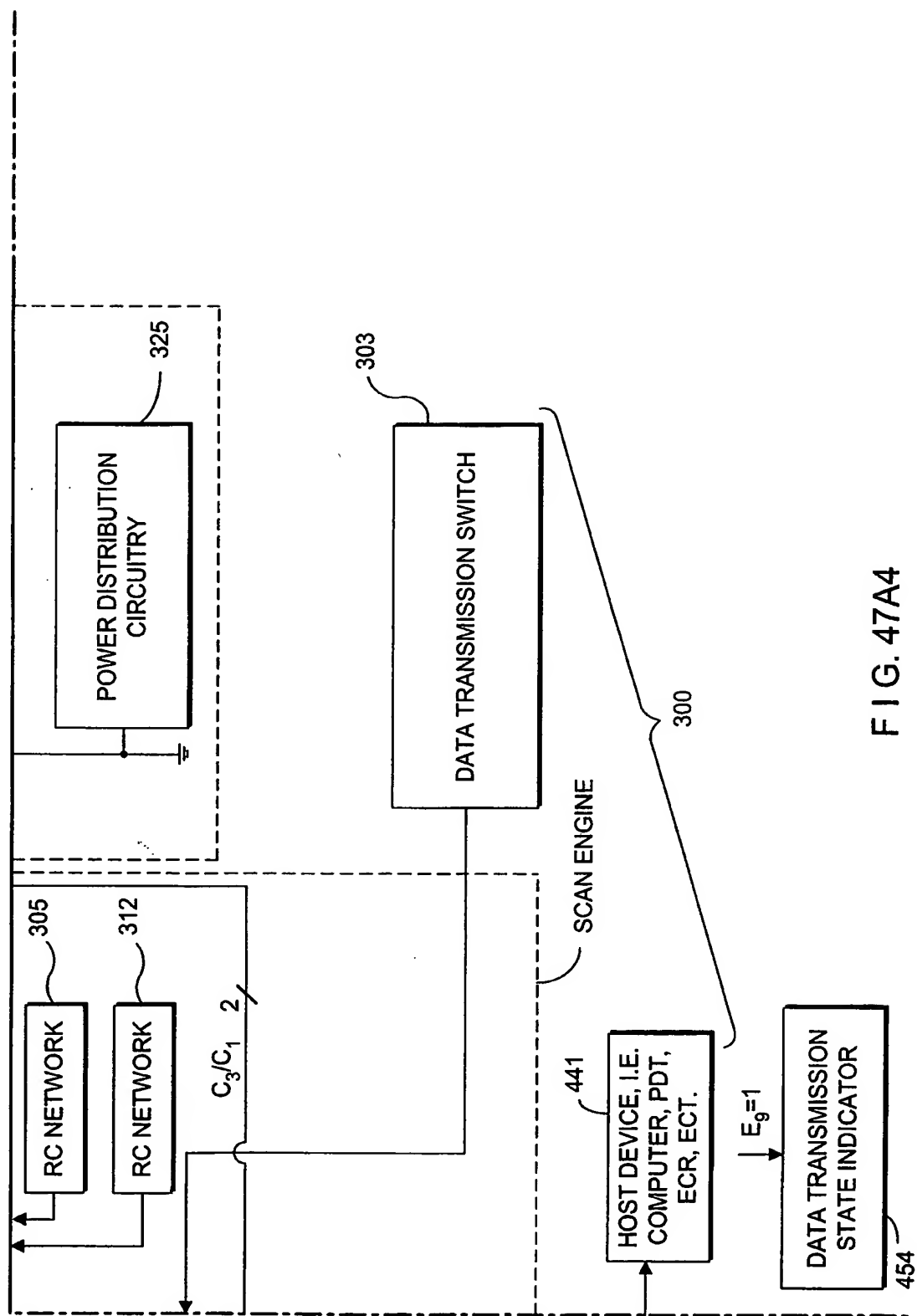


FIG. 47A2







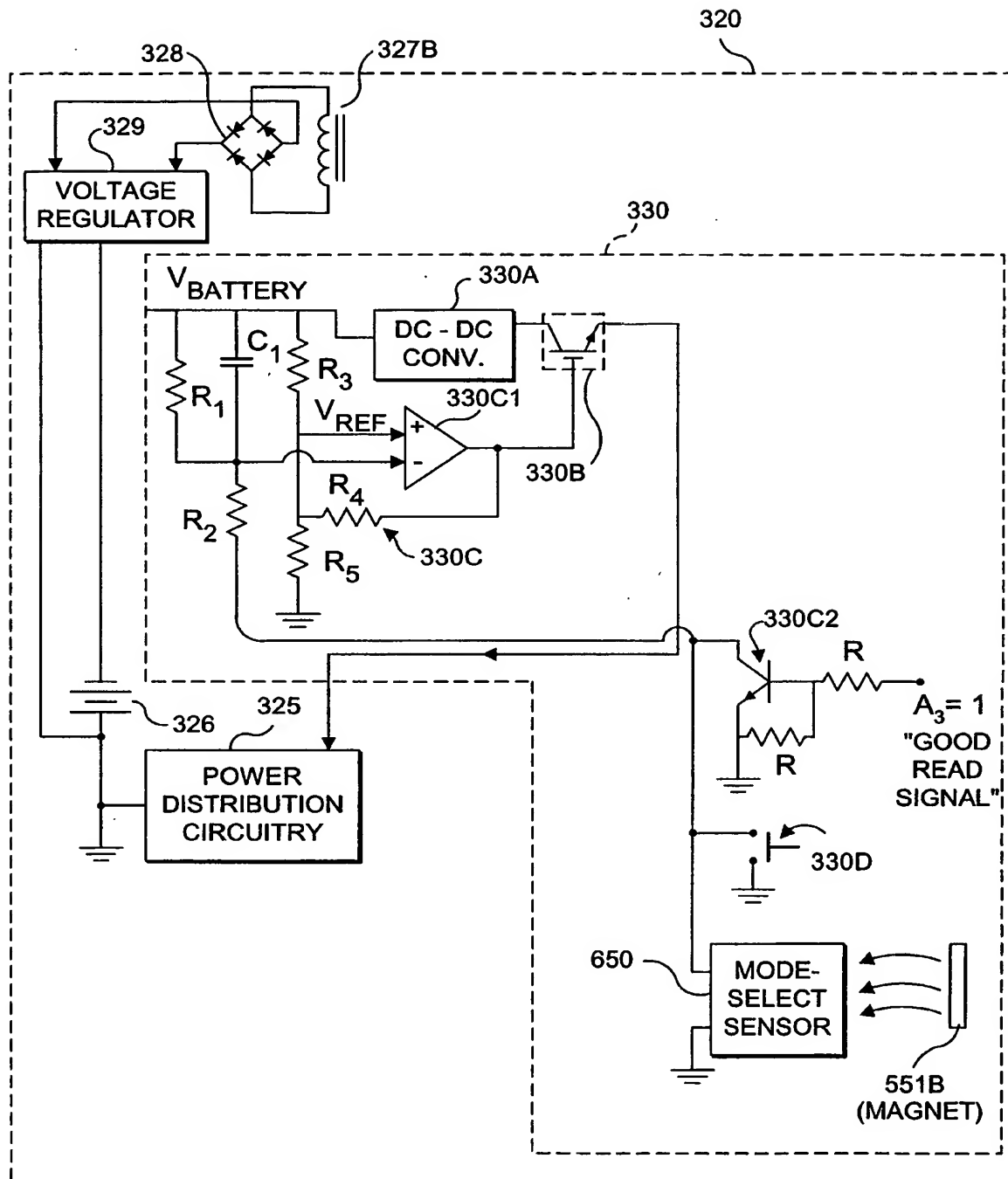


FIG. 47B

PDF DATA PACKET TRANSMISSION VIA 2-WAY RF WITH  
AUTOMATIC RF-RANGE DEPENDENT CONTROL  
(2-D READING MODE)

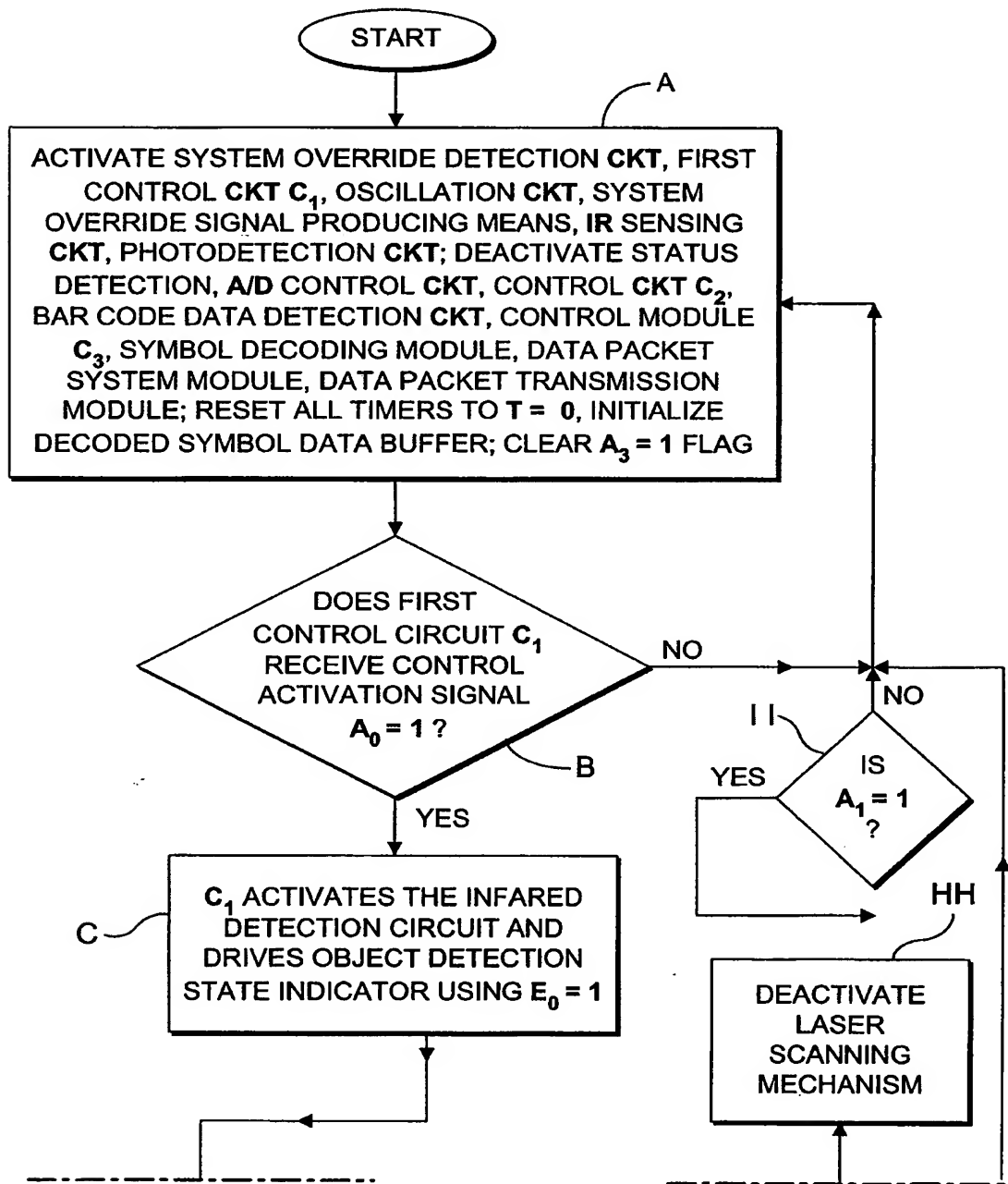


FIG. 48A1

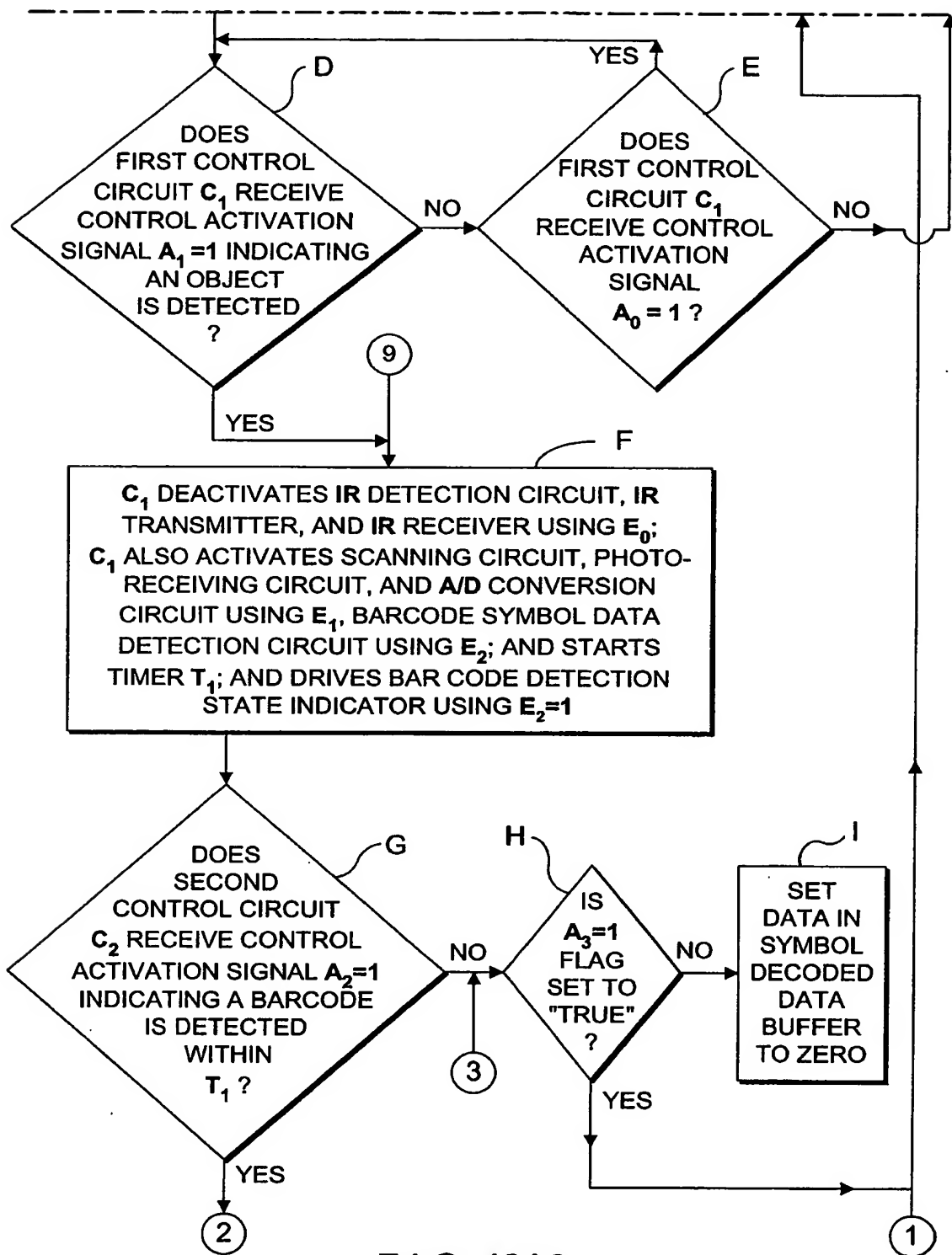


FIG. 48A2

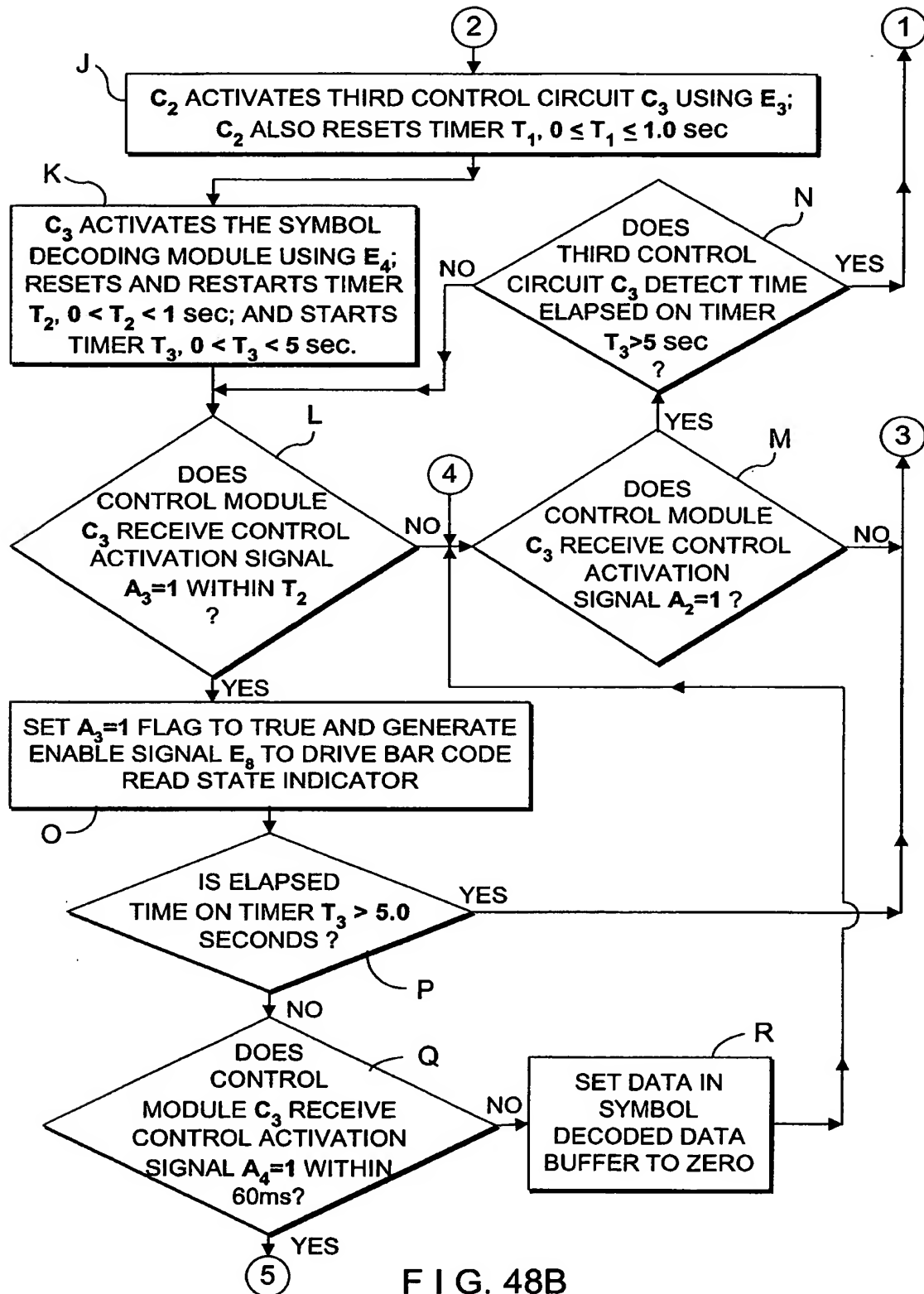


FIG. 48B

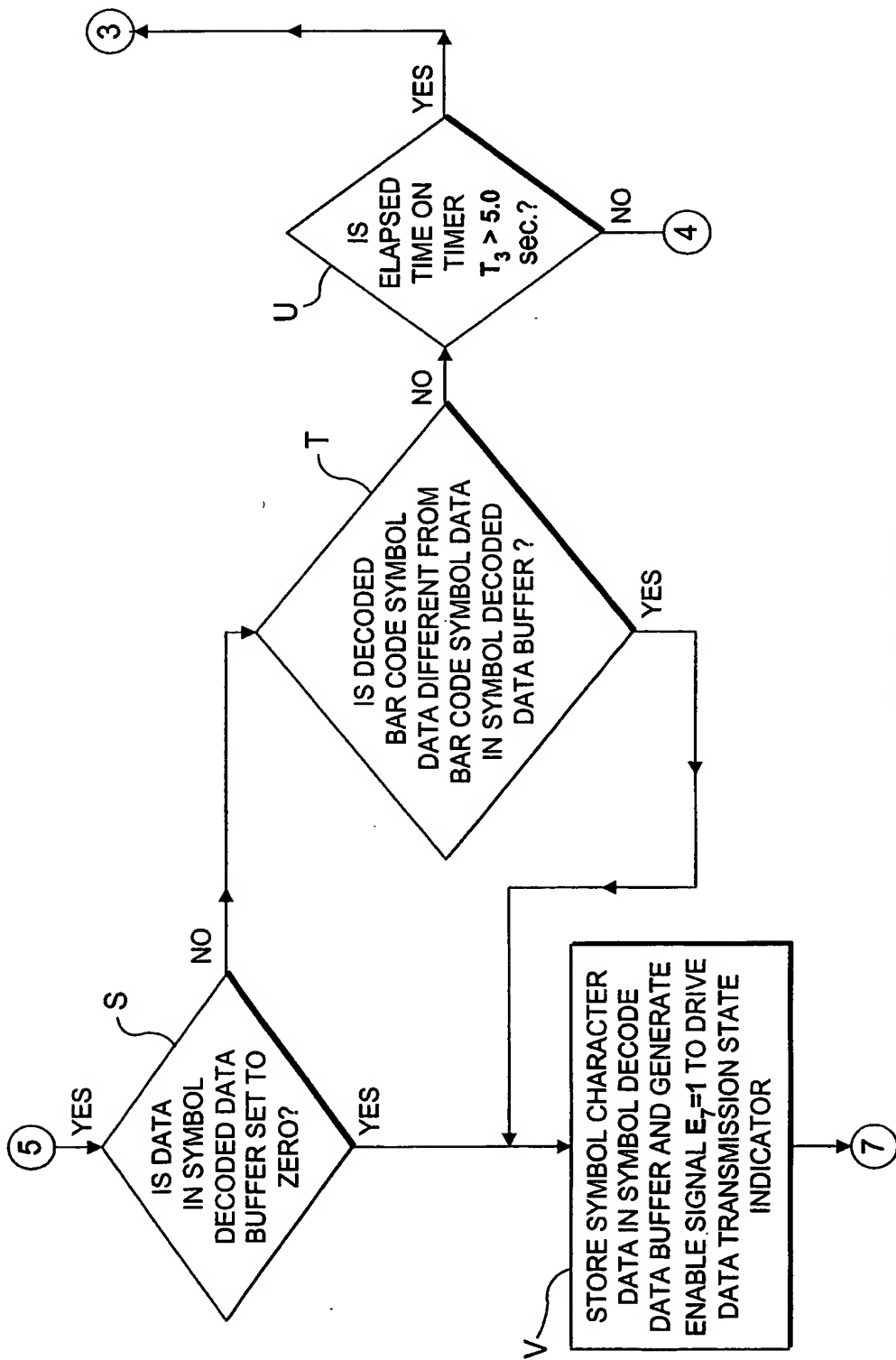


FIG. 48C1

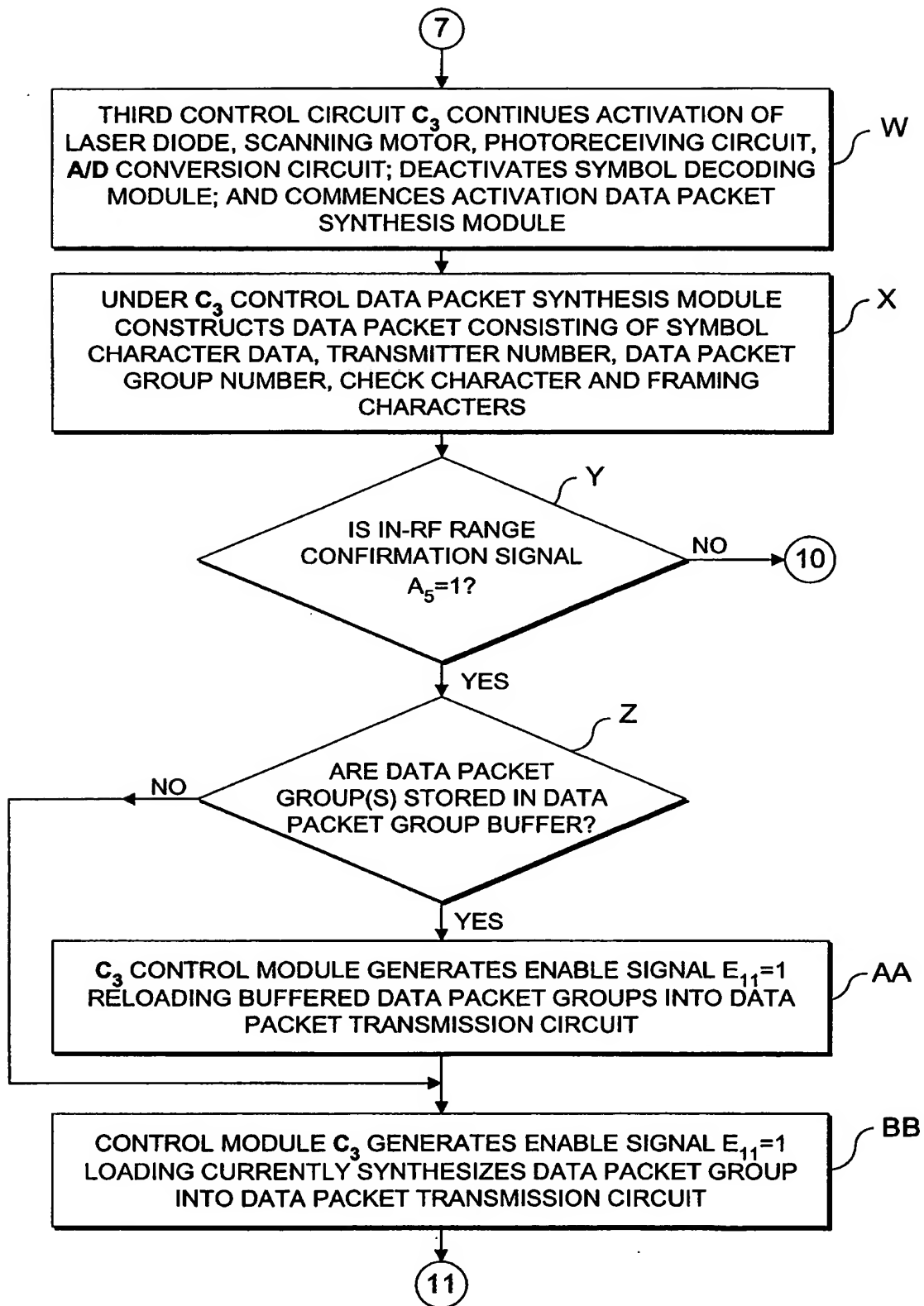


FIG. 48C2

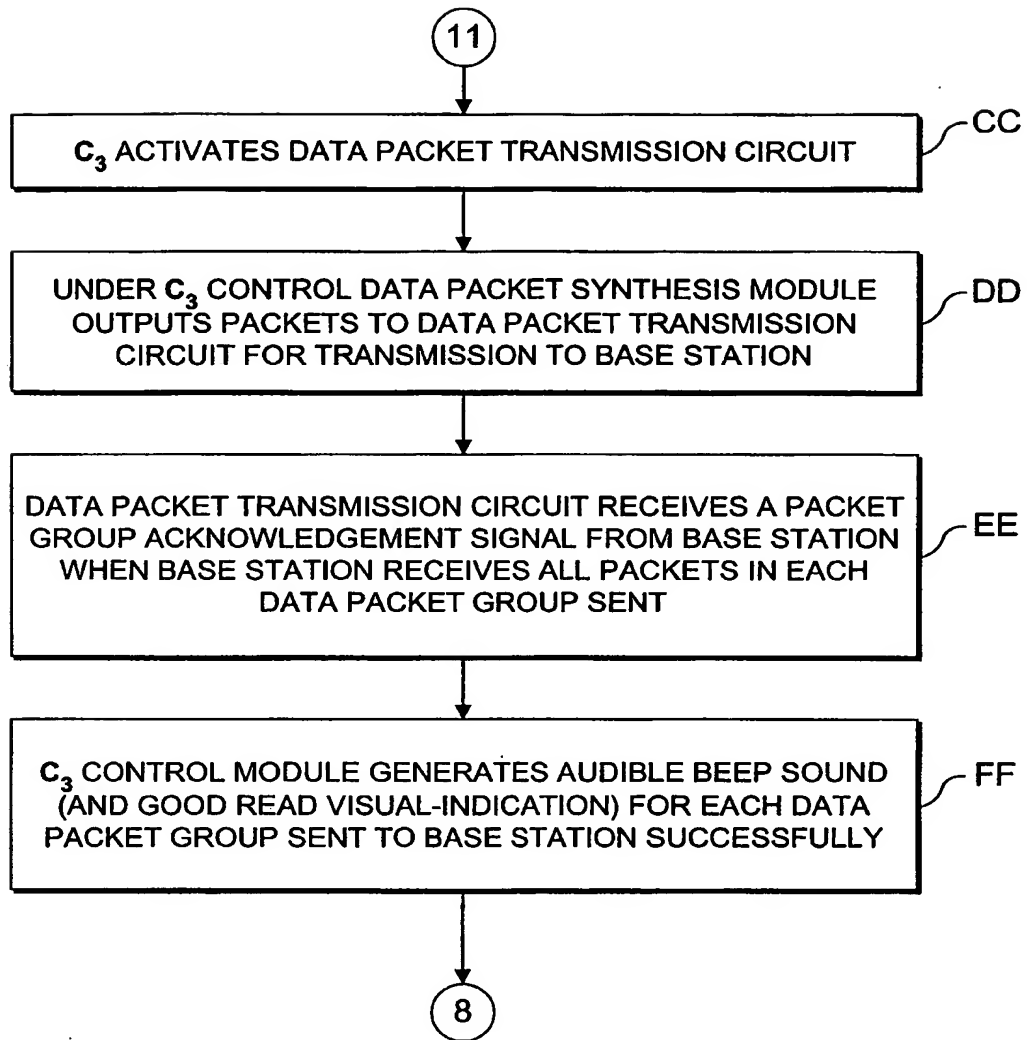


FIG. 48C3



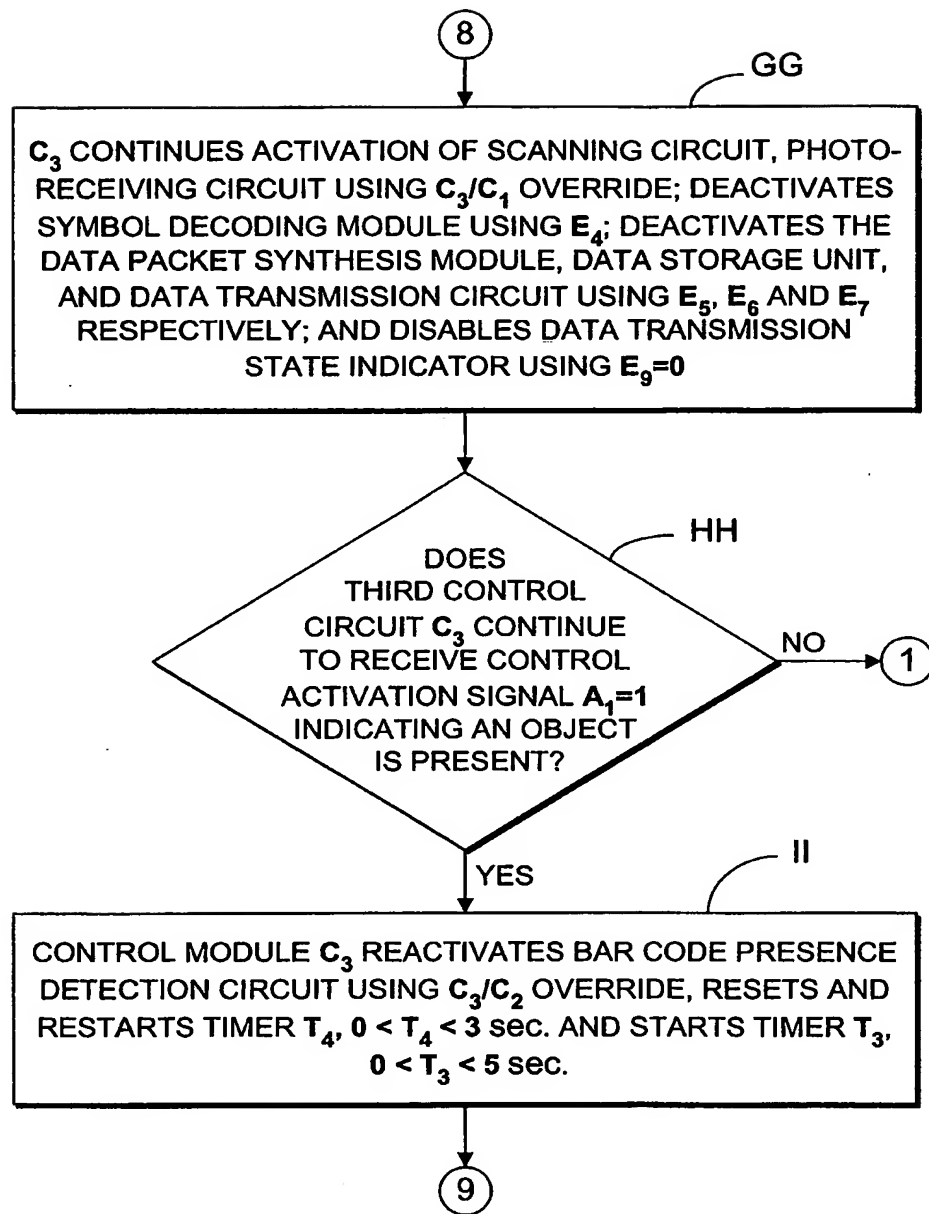


FIG. 48C4